# МИНИСТЕРСТВО ОБРАЗОВАНИЯ И НАУКИ КЫРГЫЗСКОЙ РЕСПУБЛИКИ КЫРГЫЗСКИЙ НАЦИОНАЛЬНЫЙ УНИВЕРСИТЕТ им. Ж. БАЛАСАГЫНА ФАКУЛЬТЕТ ХИМИИ И ХИМИЧЕСКОЙ ТЕХНОЛОГИИ

Кафедра органической химии и образовательных технологий

На правах рукописи: УДК [547.241+547.362+547.824+547.88.4]

# ИБРАГИМОВА АЙЗААДА АЛМАЗБЕКОВНА

Синтез и свойства N-замещенных у-пиперидонов

02.00.03 - органическая химия

# **ДИССЕРТАЦИЯ**

на соискание ученой степени кандидата химических наук

Научный руководитель: доктор химических наук, профессор Сарымзакова Р.К.

# СОДЕРЖАНИЕ

ВВЕД	ЕНИЕ	4
ГЛАВ	ЗА І. ОБЗОР ЛИТЕРАТУРЫ	9
1.1	Обзор синтезов и свойств ү-пиперидонов и их производных	9
1.2	Углеводсодержащие гетероциклы	23
1.3	Реакция карбамоилирования	31
ГЛАВ	ВА ІІ. МЕТОДОЛОГИЯ И МЕТОДЫ ИССЛЕДОВАНИЯ	36
2.1	Материалы и методы исследования	36
2.2	Синтез 2,6-дифенил-3-изопропилпиперидин-4-она и его	
	аналогов	37
2.2.1	Синтез N-метил-2,6-дифенил-3-изопропилпиперидин-4-она и	
	его производных	40
2.2.2	Синтез N-этил-2,6-дифенил-3-изопропилпиперидин-4-она и	
	его производных	41
2.2.3	Синтез N-(3'-м-нитрофенил-3'-оксопентил)-2,6-дифенил-3-	
	изопропилпиперидин-4-она и его производных	44
2.2.4	Синтез N- бензил-2,6-дифенил-3-изопропилпиперидин-4-она	
	и его производных	46
2.2.5	Синтез N-(2'-метил-3'-оксобутил)-2,6-дифенил-3-изопропил-	
	пиперидин-4-она и его производных	47
2.2.6	Синтез производных 2,6 – ди – (п – N,N – диметиламино-	
	фенил) – 3– изопропилпиперидин – 4 – она	50
2.2.7	Синтез углеводных производных 2,6-дифенил-3-	
	изопропилпиперидин-4-она	53
2.2.8	Синтез углеводных производных 2,6-дифенил-3-амил-	
	пиперидин-4-она	58

ГЛАВА III. РЕЗУЛЬТАТЫ СОБСТВЕННЫХ			
исс.	ЛЕДОВАНИЙ	62	
3.1.	Синтез и свойства производных 2,6-дифенил-3-изопропил-		
	пиперидин-4-она	62	
<b>3.2.</b>	Синтез и свойства оксимов, гидразонов, фенилгидразонов,		
	семикарбазонов, тиосемикарбазонов, 2,4-динитрофенил-		
	гидразонов N- производных γ-пиперидонов	86	
3.3.	Синтез и свойства углеводных производных		
	гетероциклических кетонов на основе реакции		
	переамидирования нитрозокарбамидов	103	
3.4.	Биологическая активность углеводных производных ү-		
	пиперидонов	112	
ЗАКЛ	ЗАКЛЮЧЕНИЕ		
СПИ	СПИСОК ИСПОЛЬЗОВАННЫХ ИСТОЧНИКОВ		
ПРИЛОЖЕНИЕ			

#### **ВВЕДЕНИЕ**

Актуальность темы исследования. Поиск новых типов физиологически активных веществ является одним из важных направлений современной органической химии. Важно выявить зависимость активности веществ от их структуры, снизить негативные побочные эффекты, расширить область терапевтического действия. Поэтому большое значение придается разработке новых подходов к созданию физиологически активных веществ с заданными свойствами путем модификации химической структуры известных лекарственных средств, среди которых важное место занимают производные гамма – пиперидонов [1].

Гетероциклические соединения пиперидинового ряда и его производные обладают широким спектром биологической активности и являются составной частью многих природных физиологически активных соединений, что является причиной интереса к их синтезу, установлению структуры и исследованию влияния пространственного строения на их биологическую активность [2]. К настоящему времени синтезированы и изучены десятки тысяч соединений этого ряда, более трехсот из них применяют в медицинской практике в качестве лекарственных средств. И всё же, несмотря на всестороннее исследование соединений пиперидинового ряда, оксимированные производные пиперидиновых кетонов практически малоизучены. Патентные исследования показали, что оксимы алифатических, ароматических и гетероциклических кетонов тонкивкоси антибактериальную, противовоспалительную, анальгетическую, противогрибковую, гербицидную и ростовую активность [3].

В научной литературе имеется большое число обзоров, посвященных свойствам гетероциклических производных γ-пиперидонов, как представителей лекарственных веществ, имеющих в своем составе пиперидиновый цикл и применяемых в медицинской практике, в основном как анальгезирующие вещества. Синтез новых лекарственных средств продолжает оставаться очень актуальной задачей, вследствие того, что ни один из известных анальгетиков

полностью не отвечает современным требованиям медицины, в основном из — за высокой токсичности, угнетения организма в целом и из—за наркотического действия этих препаратов [4,5]. Незначительны сведения об эффектах избирательности действия производных у-пиперидонов, как в отечественной, так и зарубежной литературе. Ограниченность и недостаточность указанной выше информации, обуславливает актуальность исследований синтеза и изучения свойств N- замещенных у — пиперидонов.

Связь диссертации c приоритетными научными темы Работа направлениями, научными проектами. выполнена согласно тематическому плану НИР кафедры органической химии и образовательных технологий факультета химии и химической технологии Кыргызского национального университета имени Ж. Баласагына (2017 – 2025гг), гранта Министерства образования и науки Кыргызской Республики на тему: «Синтез и физико-химическая характеристика новых биологически активных веществ» (2017-2020гг), внутривузовского гранта КНУ о научно – исследовательской работе по теме: «Синтез и свойства производных гамма-пиперидонов на основе углеводов» (2024-2025гг).

**Цель исследования.** Разработка способов получения и изучение свойств модифицированных гетероциклических соединений на основе N–замещенных γ-пиперидонов.

#### Задачи исследования:

- 1. Синтез и свойства N-замещенных производных γ-пиперидонов, содержащих в пиперидиновым цикле заместители по атому азота: метил, этил, бензил, 3'-м-нитрофенил-3'-оксопентил, 2'-метил-3'-оксобутил, а в гетероцикле: изопропильный, амиловый, фениловые и п N,N-диметиламинофениловые радикалы.
- 2. Синтез и свойства производных γ-пиперидонов путем модификации по нуклеофильному центру карбонильной группы с образованием оксимов, гидразонов, фенилгидразонов, семикарбазонов, тиосемикарбазонов, 2,4-динитрофенилгидразонов и стереоизомерных пиперидиловых спиртов.

- 3. Синтез и свойства углеводных производных гетероциклических кетонов на основе реакции переамидирования нитрозокарбамидов.
- 4. Исследование потенциальной биологической активности полученных N–замещенных γ-пиперидонов.

Научная новизна. В работе впервые проведены исследования по синтезу новых гетероциклических соединений N-замещенных 2,6-дифенил-3-изопропилпиперидин-4-она, содержащих в пиперидиновым цикле различные функциональные заместители; были изучены реакции γ-пиперидонов по карбонильной группе с образованием оксимов, гидразонов, фенилгидразонов, семикарбазонов, тиосемикарбазонов и 2,4-динитрофенилгидразонов. Изучены реакции синтеза стереоизомерных спиртов на основе N- замещенных γ – пиперидонов; установлены структуры молекул полученных спиртов. Впервые осуществлен синтез некоторых гликозилированных N- замещенных γ – пиперидонов, обладающих потенциальной биологической активностью.

Практическая значимость полученных результатов. Научно обоснован и защищен патентом Кыргызской Республики способ синтеза N- замещенных γ – пиперидонов. Разработаны методы синтеза и выделения γ-пиперидонов, содержащих в пиперидиновом цикле различные заместители. Осуществлен синтез стереоизомерных спиртов на основе N- замещенных γ – пиперидонов, установлена структура и их физико-химические характеристики. Гликозилированные производные синтезированных кетонов могут проявлять биологическую активность.

# Основные положения диссертации, выносимые на защиту:

- Изучение условий синтеза и выделения новых гетероциклических соединений: N—замещенных γ-пиперидонов; изучение химических реакций по карбонильной группе синтезированных кетонов.
- Исследование образования стереоизомерных спиртов на основе N-замещенных γ пиперидонов, установление их строения и физико-химическая характеристика.

- Изучение реакции гликозилирования некоторых гетероциклических N- замещенных γ пиперидонов на основе моносахаридов (глюкозы, галактозы, ксилозы, рибозы, арабинозы) и дисахаридов (мальтозы и лактозы).
- Сопоставительная характеристика N- замещенных γ пиперидонов и их гликозилированных аналогов, обладающих потенциальной биологической активностью.

вклад соискателя. Автором самостоятельно получен Личный обработан химическими и физико – химическими методами весь массив экспериментальных данных. Проведен комплексный результатов синтеза и химических превращений на основе N -замещенных у-Установлены пиперидонов. структура И конфигурации стереоизомерных 2,6-дифенил-3-изопропилпиперидин-4-олов, 2,6-дифенил-3изопропилэтинилпиперидин-4-олов, 2,6-дифенил-3изопропилфенилэтинилпиперидин-4-олов. Показана возможность некоторых гликозилированных производных N- замещенных у – пиперидонов, обладающих потенциальной биологической активностью.

Апробация результатов исследования. Материалы диссертационной работы докладывались на международных и республиканских конференциях: Научно – практическая конференция молодых ученых КНУ им. Ж. Баласагына факультет Химии и ХТ (2017-2024гг.); На 60-й и 61-й Международных научно – технических конференциях молодых ученых, аспирантов, магистрантов и студентов «Научно – инновационные технологии: идеи, исследования и разработки» (КГТУ им. И. Раззакова 2018г, 2019г.); Международной научно - практической конференции (Китай г.Пекин, 2018г). КНУ им. Ж. Баласагына Международной научно – практической конференции на тему: «Устойчивое развитие горных регионов и зеленая экономика», факультет Химии и ХТ (2023 г.); Международной научно – практической конференции на тему «Актуальные аспекты научных исследований горных территорий» посвященной дню Земли. КНУ им. Ж. Баласагына (г. Бишкек, 2024 г.); 10-ой Польско-Казахской конференции (10th PKM) по химии и биологии (Польша, г. Познань, 2024г.)

#### Полнота отражения результатов диссертации в публикациях. По

результатам исследований опубликовано 12 статей в материалах Международных и Республиканских конференций, рецензируемых журналах, индексируемых системами «Scopus», «РИНЦ». Научно обоснован и получен патент Кыргызской Республики № 2066 от 31 мая 2018 года «N — замещенные гамма — пиперидоны».

Структура и объем диссертации. Диссертационная работа состоит из введения; обзора литературы, изложенного в главе I; описания методик проведенных экспериментов, изложенных во II главе; обсуждение экспериментальных данных, которому посвящена глава III; выводов и списка цитированной литературы. Работа изложена на 133 страницах компьютерного текста, содержит 10 рисунков (диаграммы), 28 таблиц список использованных источников включает 110 наименований.

#### ГЛАВА І. ОБЗОР ЛИТЕРАТУРЫ

#### 1.1 Обзор синтезов и свойств у – пиперидонов и их производных

Из всех пиперидиновых производных наибольшую ценность для дальнейших синтезов представляют γ — пиперидоны. Они способны к присоединению, восстановлению и конденсации с участием активных водородов, связанных с атомами углерода, соседними карбонилу [6].

Известно, что пиперидоны проявляют разнообразные биологические свойства, такие как противомикробные, антиоксидантные, противоопухолевые, цитотоксические, анальгетические, противораковые, анти-ВИЧ и т.д. Были синтезированы соединения, несущие скелет пиперидона, которые имитируют встречающиеся в природе алкалоиды и стероиды, с целью изучения их биологической активности и сравнения с встречающимися в природе соединениями. В этом обзоре представлена актуальная информация о методах, катализаторах, условиях реакции, которые принимаются для синтеза пиперидонов и их превращении в полезные производные [7].

#### Получение ү – пиперидонов по реакции Манниха.

Манних С. в 1931 году конденсировал диэтилкетон с формальдегидом и получил симметричный 1,3,5 – триметилпиперидон. На этом примере Маннихом был установлен общий характер реакции. Позднее он заменял формальдегид на другие альдегиды (уксусный, пропионовый, масляный) и, используя различные первичные амины, синтезировал ряд замещенных пиперидона.

Ким Д. К. и Тулемисова Г. Б. [8,9] разработали принципиально новый способ синтеза замещенных 2 — фенил (III)-и 2,6 — дифенил — 4 — пиперидонов (VI) по реакции Манниха на основе доступных 4 — гидрокси — 3 — метилбутан — 2 — она, бензальдегида и аммиака.

Из возможных путей формирования гетероцикла (III) наиболее вероятна реакция Манниха по α – метильной группе β – кетоспирта. Сначала

образуется  $\beta$  — гидрокси —  $\beta$  — аминокетон (I), переходящий в условиях синтеза в  $\beta$  — амино —  $\alpha$  — енон (II), из которого в результате внутримолекулярной гетероциклизации по Михаэлю образуется 2 — фенил — 5 — метил — 4 — пиперидон (III).

Формирование 2,6 – дифенил – 3 – метил – 3 – гидроксиметил – 4 – пиперидона (VI) можно объяснить внутримолекулярной гетероциклизацией продукта двойного присоединения бензальдегида (V), образующего в результате альдольной конденсации соединения (IV) с бензальдегидом по метинному центру.

Соединения (III, VI, VII) образовались в уксусной среде при комнатной или повышенной температуре.

2-Арил-4-пиперидоны были синтезированы путем конденсации ароматического альдегида и β-аминокетона этиленкетала и последующей циклизации полученного иминокетала с сухим хлористым водородом или безводной птолуолсульфоновой кислотой. Альтернативно, взаимодействие вышеуказанных иминокеталей с метилфторосульфонатом с последующей сухой обработкой хлористым водородом и кислотным гидролизом дает непосредственно N-метил-4-пиперидоны [10].

# Получение 4 – пиперидонов по методу Петренко – Критченко.

Остроумным синтезом соединений ряда пиперидина (IX) является метод, открытый и развитый Петренко – Критченко [11]. По этому методу две молекулы бензальдегида конденсируются с аммиаком (или первичным амином) и метиловым эфиром ацетондикарбоновой кислоты (VIII).

$$\begin{array}{c} CH_{3}OOC \ CH_{2} \ CC \ CH_{2} \ COOCH_{3} \ + \ 2C_{6}H_{5}CHO \end{array} \xrightarrow{R \ NH_{2}} \begin{array}{c} H_{3}COOC \ CC \ COOCH_{3} \end{array}$$

Этиловый эфир  $\alpha, \alpha$  — диэтилацетондикарбоновой кислоты (X) [11] реагирует с формальдегидом и метиламином с образованием 4 — пиперидона (XI)

$$\begin{array}{c} C_{2}H_{5}OOC \xrightarrow{C} CH \xrightarrow{C} CH \xrightarrow{C} COOC_{2}H_{5} & + \ 2CH_{2}O + CH_{3}NH_{2} & \\ C_{2}H_{5} & C_{2}H_{5} & \\ C_{2}H_{5} & C_{2}H_{5} & \\ \end{array}$$

$$\begin{array}{c} C_{2}H_{5}OOC \xrightarrow{C} COOC_{2}H_{5} \\ C_{2}H_{5} & \\ C_{2}H_{5} & \\ \end{array}$$

$$\begin{array}{c} C_{2}H_{5}OOC \xrightarrow{C} COOC_{2}H_{5} \\ C_{2}H_{5} & \\ \end{array}$$

$$\begin{array}{c} C_{2}H_{5}OOC \xrightarrow{C} COOC_{2}H_{5} \\ C_{2}H_{5} & \\ \end{array}$$

$$\begin{array}{c} C_{2}H_{5} & \\ C_{2}H_{5} & \\ \end{array}$$

$$\begin{array}{c} C_{2}H_{5} & \\ C_{2}H_{5} & \\ \end{array}$$

$$\begin{array}{c} C_{2}H_{5} & \\ \end{array}$$

$$\begin{array}{c} C_{2}H_{5} & \\ \end{array}$$

$$\begin{array}{c} C_{1}H_{5} & \\ \end{array}$$

$$\begin{array}{c} C_{2}H_{5} & \\ \end{array}$$

$$\begin{array}{c} C_{1}H_{5} & \\ \end{array}$$

$$\begin{array}{c} C_{2}H_{5} & \\ \end{array}$$

$$\begin{array}{c} C_{1}H_{5} & \\ \end{array}$$

$$\begin{array}{c} C_{2}H_{5} & \\ \end{array}$$

$$\begin{array}{c} C_{1}H_{5} & \\ \end{array}$$

$$\begin{array}{c} C_{2}H_{5} & \\ \end{array}$$

$$\begin{array}{c} C_{1}H_{5} & \\ \end{array}$$

$$\begin{array}{c} C_{2}H_{5} & \\ \end{array}$$

$$\begin{array}{c} C_{1}H_{5} & \\ \end{array}$$

$$\begin{array}{c} C_{2}H_{5} & \\ \end{array}$$

$$\begin{array}{c} C_{1}H_{5} & \\ \end{array}$$

$$\begin{array}{c} C_{2}H_{5} & \\ \end{array}$$

$$\begin{array}{c} C_{1}H_{5} & \\ \end{array}$$

$$\begin{array}{c} C_{2}H_{5} & \\ \end{array}$$

$$\begin{array}{c} C_{1}H_{5} & \\ \end{array}$$

$$\begin{array}{c} C_{2}H_{5} & \\ \end{array}$$

$$\begin{array}{c} C_{1}H_{5} & \\ \end{array}$$

$$\begin{array}{c} C_{2}H_{5} & \\ \end{array}$$

Попытки применения простых кетонов (XII) вместо ацетондикарбонового эфира не приводили к удовлетворителтным результатам до тех пор, пока Балиага [12] не нашел, что эта реакция протекает необычайно легко, если в качестве растворителя применяется уксусная кислота и с хорошими выходами можно получить различные производные 4 – пиперидона (XIII).

Бензальдегид может быть заменен другими ароматическими альдегидами без существенных изменений выхода.

$$\begin{array}{c} C \\ R \ CH_{2} \ C \ CH_{2} \ R^{1} \ + \ 2C_{6}H_{5}CHO \ + \ R^{11} \ NH_{2} \end{array} \xrightarrow{CH_{3}COOH} \begin{array}{c} R \\ C \\ C_{6}H_{5} \end{array} \xrightarrow{R^{1}} \\ \begin{array}{c} C \\ C_{6}H_{5} \end{array} & \begin{array}{c} C \\ C_{7}H_{7} \end{array} & \begin{array}{c} C \\ C_$$

Получение 4 – пиперидонов по Дикману.

Один из наиболее важных синтезов в 4 – пиперидонов состоит в конденсации сложных эфиров соответствующих дикарбоновых кислот или нитрилов дикарбоновых кислот по методу Дикмана, причём замыкание цикла происходит с образованием новой связи между углеродными атомами в  $\beta$ ,  $\gamma$  – положениях [13].

О первом случае такое замыкания цикла сообщили Ружичка и Фурназир [14], которые провели реакцию этилового эфира β - иодпропионовой кислоты (XIV) с этиловым эфиром β – аминопропионовой кислоты (XV), получив при этом ди – (β – карбэтоксиэтил)амин (XVI). При действии на это вещество металлического натрия или алкоголята натрия происходит внутримолекулярная конденсация Кляйзена, приводящая к образованию 3 – карбэтокси – 4 – пиперидона (XVII). Так как полученное соединение представляет собой эфир β – кетокислоты, гидролиз и декарбоксилирование приводят к образованию 4 – пиперидона. В дальнейшем методика получения производных 4 – пиперидона (XVIII), была усовершенствована [15,16].

Высокие выходы достигаются при применении третичных аминов [17,18]. Исходный эфир (XVII) получен из первичного амина и этилового эфира акриловой кислоты. Это реакция успешно протекает с соединениями, у которых R представляет собой алкильную группу (от метила до амила), а также фенил, бензил, бензоил, β — фенилэтил. Реакция протекает гладко, если вместо этилового эфира акриловой кислоты взять акрилонитрил. При этом образуется 3 — цианпиперидон — 4 (XIX).

Высокие выходы достигаются при применении третичных аминов [17,18]. Исходный эфир (XVII) получен из первичного амина и этилового эфира акриловой кислоты.

$$2CH_2 = CH - CN \xrightarrow{R - NH_2} RN \xrightarrow{CH_2 - CH_2 - COOCN} CN$$

$$CH_2 - CH_2 - COOCN$$

$$R - NH_2 RN$$

$$CH_2 - CH_2 - COOCN$$

$$R - NH_2 RN$$

$$CH_2 - CH_2 - COOCN$$

$$R - NH_2 RN$$

$$CH_2 - CH_2 - COOCN$$

$$R - NH_2 RN$$

$$CH_2 - CH_2 - COOCN$$

$$R - NH_2 RN$$

$$CH_2 - CH_2 - COOCN$$

$$R - NH_2 RN$$

$$CH_2 - CH_2 - COOCN$$

$$R - NH_2 RN$$

$$CH_2 - CH_2 - COOCN$$

$$R - NH_2 RN$$

$$CH_2 - CH_2 - COOCN$$

$$R - NH_2 RN$$

$$CH_2 - CH_2 - COOCN$$

$$R - NH_2 RN$$

$$CH_2 - CH_2 - COOCN$$

$$R - NH_2 RN$$

$$R - NH_$$

Пралиевым К. Д. с сотрудниками [19] предложен метод синтеза N – производного 4 – пиперидона (XXI), основанный на взаимодействии 1-(2- этоксиамино) – 2- карбаметоксипропана (XX) с метиловым эфиром метакриловой кислоты в метаноле.

# Получение у – пиперидонов конденсацией винилацетилена с кетонами.

Этот метод получения  $\gamma$  — пиперидонов ввел Назаров И. Н. и его сотрудники. Разработанные ими последовательные реакции конденсации винилацетилена с кетонами и дегидратация образующихся при этом винилацетиленовых спиртов до дивинилацетиленовых углеводородов, а затем гидратация последних до дивинилкетонов — представляют собой простой и доступный путь синтеза этих ранее труднодоступных соединений.

До работ Назарова из дивинилкетонов только форон и дибензальацетон использовались в синтезах  $\gamma$  – пиперидонов. Метод Назарова сделал доступным получение  $\gamma$  – пиперидонов, разнообразных по характеру замещения в пиперидоновом цикле, который зависит от строения кетона, вводимого в реакцию конденсации с винилацетиленом. По этому методу в заводских условиях получают 1,2,5 – триметилпиперидон – 4 [20].

$$\begin{array}{c} R-C \\ R-C \\$$

#### Получение у – пиперидонов конденсацией аминокетонов с ацетоном.

Рассмотрим получение 2,2,6,6, - тетраметилпиперидона — 4:2,2,6,6 — тетраметилпиперидон — 4 (триацетонамин) бесцветное кристаллическое вещество с температурой плавления 35°С. Из водного эфира он выделяется с одной молекулой воды и в таком виде плавится при 58°С, легко растворим в воде, спирте и эфире. Сильное вторичное основание. Подобно своему низшему гомологу с гидроксиламином образуют оксим, с азотистой кислотой —

нитрозамин. При восстановлении же амальгамой натрия превращается в алкамин -2,2,6,6 — тетраметил -4 — оксипиперидин [22].

$$\begin{array}{c} O \\ \parallel \\ C \\ H_{3}C \\ \downarrow \\ H_{3}C \\ \end{array} \begin{array}{c} CH_{3}COCH_{3} \\ \downarrow \\ NH_{2} \\ \end{array} \begin{array}{c} CH_{3}COCH_{3} \\ \downarrow \\ NH_{2} \\ \end{array} \begin{array}{c} CH_{3}COCH_{3} \\ \downarrow \\ NH_{2} \\ \end{array} \begin{array}{c} CH_{3}COCH_{3} \\ \downarrow \\ NH_{3}C \\ \end{array}$$

#### Получение у – пиперидонов конденсацией дивинилкетонов с аммиаком.

Указанным способом был получен первый  $\gamma$  – пиперидон – 2,2,6,6 – тетраметилпиперидон – 4 [21]:

#### Восстановление гамма - пиперидонов

Анализируя продукты восстановления гамма пиперидонов, очевидным является то, что восстановление 2 – оксипиридина занимает исключительное положение среди таких же реакций остальных оксипиридинов; 2 – пиперидон вследствие амидной структуры резко отличается от 3 – или 4 – изомера. Такое производное гидропиридона, как N – (п – метоксифенил) хелидамовая кислота (а), которая легко получается из хелидоновой кислоты, восстанавливается до В пиперидина. производное ходе восстановления происходит декарбоксилирование и образуется  $1 - (п - метоксифенил) - \gamma - оксипиперидин$ (б) с 50% выходом. При электролитическом восстановлении хелидамовая кислота восстанавливается до 4 – оксипиперидин – 2,6 – дикарбоновой кислоты без декарбоксилирования [22].

$$NH_2-C_6H_4-OCH_3$$
  $Na+C_2H_5OH$   $Na+C_2H$ 

#### Реакция нуклеофильного присоединения по карбонильной группе

Присоединение нуклеофильных агентов по карбонильной группе является обратным процессом практически во всех случаях. Исключение составляет реакция восстановления карбонильной группы с помощью комплексных гидридов LiAlH<sub>4</sub>; NaBH<sub>4</sub>; LiBH<sub>4</sub>, с образованием первичных и вторичных спиртов, а также присоединение металлоорганических соединений. Присоединение большинства реагентов по двойной связи C=O происходит по механизму нуклеофильного присоединения (Ad<sub>N</sub>).

#### Присоединение гидросульфитов

Данная реакция служит для выделения альдегидов и низших гомологов ряда кетонов из смесей с другими веществами. Образующиеся гидросульфитные производные карбонильных соединений гидролизуются водой в кислой или щелочной среде с выделением исходного альдегида или кетона [23].

#### Присоединение реактива Гриньяра (R-MgX)

Связь (R-MgX) сильно поляризована, ее электроны смещены к более электроотрицательному атому углерода (электроотрицательность магния 1,2 Д.). Поэтому при разрыве связи R – Mg образуется карбанион R – (нуклеофил). Присоединение алкилмагнийгалогенидов R – MgHal K формальдегиду  $CH_2$ =O приводит K образованию первичных спиртов [24]:

$$H$$
 —  $C = O$  —  $H_3C$  —  $MgBr$  —  $H$  —  $C = O$  —  $H_2O$  —  $H$  —  $C = O$  —  $H$  —

Из других альдегидов получаются вторичные спирты:

с кетонами третичные спирты.

### Присоединение циановодородной (синильной) кислоты НСЛ

$$R \longrightarrow C = 0$$
: +  $H \longrightarrow C = 0$  R —  $C = 0$  R —  $C = 0$  Н  $C = 0$   $C = 0$ 

Реакция катализируется только основаниями, которые позволяют получить активный нуклеофил CN<sup>-</sup> и слабые кислоты HCN. В качестве

оснований в этой реакции используют NaOH,  $K_2CO_3$ , третичные амины, но чаще всего реакцию проводят с использованием водного раствора цианида натрия или калия. Механизм реакции (Ad<sub>N</sub>). Стадия 1 – образование цианид – иона:

Стадия 2 – медленное присоединение цианид – иона к карбонильной группе:

Стадия 3 – быстрое присоединение протона к алкоксид – иону:

:O: :OH

$$H_3C-C-CH_3 + H_2O \longrightarrow H_3C-C-CH_3 + HO$$
 $CN$ 

auteтопиангидрин

Реакция обратима на всех стадиях, так как в щелочной среде образовавшийся циангидрид расщепляется. Это реакция используется для удлинения углеродной цепи, а также для получения α – гидроксикислот R-CH(OH)COOH [25]:

$$R-CH(OH)CN + 2H_2O \longrightarrow R-CH(OH)COOH + NH_3$$

# Присоединение спиртов

Реакция между альдегидами и спиртами с образованием полуацеталей также происходит как нуклеофильное присоединение ( $Ad_N$ ).

$$R = 0$$
:  $R = 0$ :

Реакция катализируется кислотами или основаниями. В роли нуклеофила выступает молекула спирта с неподеленной парой электронов на атоме кислорода.

#### Кислотный катализ

Роль кислоты как катализатора состоит в превращении нейтрального карбонильного соединения в более активную частицу – карбокатион. При этом частичный положительный заряд на карбонильном атоме углерода преобразуется в полный заряд и атака этого атома даже слабым нуклеофилом осуществляется значительно легче.

1) 
$$R-C \stackrel{O}{\longleftarrow} H^{+} \stackrel{H^{+}}{\longleftarrow} R-\stackrel{HO^{+}}{\longleftarrow} R-\stackrel{OH}{\longleftarrow} H$$

2)  $R-\stackrel{+}{\longleftarrow} H$ 

$$R-\stackrel{+}{\longleftarrow} H$$

$$R-\stackrel{+}{\longleftarrow} H$$

$$R-\stackrel{+}{\longleftarrow} H$$

$$R-\stackrel{+}{\longleftarrow} H$$

$$R-\stackrel{+}{\longleftarrow} H$$

На первой стадии происходит протонирование атома кислорода карбонильной группы, на второй стадии, образовавшийся карбокатион присоединяет молекулу спирта, реакция завершается депротонированием аддукта.

#### Основный катализ

Основания, напротив, катализируют не карбонильное соединение, а нуклеофильный реагент превращая его в анион. Анион  $RO^-$ , являясь сильным нуклеофилом, легко взаимодействует с карбонильным углеродом, несущим частичный положительный заряд  $(\delta^+)$ .

1) 
$$R^{1}\ddot{O}H + B^{-}\vdots \longrightarrow R^{1}\ddot{O}\vdots + BH$$

2)  $R-C$ 

$$\ddot{O}: R^{1}\ddot{O}\vdots \qquad \vdots \ddot{O}\vdots$$

$$R-C-H \qquad OR$$
3)  $R-C-H + BH$ 

$$\ddot{O}R^{1}$$

$$\ddot{O}R^{1}$$

$$\ddot{O}R^{1}$$

На первой стадии происходит образование алкоксид – иона, который на второй стадии присоединяется к атому углерода карбонильной группы. На третьей стадии к образующемуся на второй стадии алкоксид – иону присоединяется протон [24].

#### Реакции с аммиаком и его производными

Большинство реакций карбонильной группы с N – нуклеофилами протекает по механизму присоединения – отщепления. К N - нуклеофилам относят аммиак и его производные Z –  $NH_2$ , где Z=H, Alk, Ar, OH,  $NH_2$ ,  $NHC_6H_5$ ,  $NHCONH_2$ ,  $NHCSNH_2$ 

На первой стадии происходит медленное присоединение N – нуклеофила по карбонильной группе, на второй стадии – быстрый перенос протона с атома азота на атом кислорода, на третьей стадии отщепляется молекула воды (1,2 – отщепление) [26]:

Продукты реакции карбонильных соединений с аммиаком и аминами называются иминами или основаниями Шиффа. Имины типа >C=NH называются незащищенными иминами, имины типа >C=NR — замещенными иминами. Многие другие производные аммиака также дают с альдегидами и кетонами аналогичные продукты конденсации. К таким производным относятся гидроксиламин (NH<sub>2</sub>OH), гидразин (NH<sub>2</sub>—NH<sub>2</sub>), фенилгидразин (NH<sub>2</sub>—NHC<sub>6</sub>H<sub>5</sub>) и семикарбазид (NH<sub>2</sub> — NHC(O)NH<sub>2</sub>). Продукты их конденсации с карбонильными соединениями называются соответственно оксимами, гидразонами, фенилгидразонами, и семикарбазонами:

$$R_2$$
C=O  $R_2$ C=N-OH оксим  $R_2$ C=N-OH оксим  $R_2$ C=N-NH2  $R_2$ C=N-NH2  $R_2$ С=N-NH  $R_2$ С=N-NH-ОН  $R_2$ С=N-NH-ОН  $R_2$ С=N-NH-ОН  $R_2$ С=N-NH-С-NH2  $R_2$ С=N-NH-С-NH2  $R_2$ С=N-NH-С-NH2  $R_2$ С=N-NH-С-NH2

Конденсацию карбонильных соединений с этими реагентами часто проводят в присутствии кислотного катализатора. Реакции с сильными нуклеофилами протекают без катализатора, слабые нуклеофилы реагируют только в присутствии катализатора. Образующиеся производные используют для идентификации карбонильных соединений, а сами реакции – как качественные на карбонильную группу [27].

#### Реакция микроволнового излучения.

В последние годы микроволновая помощь реакции стал новым инструментом в органическом синтезе [28]. Важные преимущества этой техники включают ускоренность реакции, сокращение времени реакции с улучшением качества продукта [29].

Новые микроволновые процедуры были разработаны учитывая два важных параметра: минимум время реакции и максимальный выход чистого продукта [30, 31, 32].

Пиперидин–4-оны, замещенные тиосемикарбазоном обладают высокой потенциальной фармакологической активностью.

Давно известно, что пиперидоны обладают анальгезирующим и местноанестезирующим действием, примером являются препараты «Рихлокан» и «Просидол» [33]. В частности оксимы и тиосемикарбазиды 2,6 – диарилпиперидин-4-онов обладают анальгезирующей, местноанесте-зирующей, противогрибковой активностью [34]. Оксимы пиперидонов и их производные могут обладать антимикробной активностью. Например, в статье [35] указывается, что хлорфенилметиловый эфир оксима 1,3,5 – триметил –2,6 – дифенилперидин –4 –она проявляет антибактериальную активность против Bacillussbtilis, причем его активность оказалась выше изестного применяемого в медицинской практике лекарства Стрептомицина. Производные 1,3 –диметил—2,6 –дифенилперидин –4 –она

O-(2-хлорфенилметиловый) и O-(2-бромфенилметиловый) оксимы проявляют противогрибковую активность против Aspergillumsflavusu Candida – 51 [36].

Многие производные пиперидин – 4 – она используются в сельском хозяйстве и в медицине. Быстрорастущий перечень лекарств, обладающих антимикробной активностью включает в себя разнообразные органические и неорганические соединения, клинические испытания которых ограничены из- за их относительно высокой токсичности и невысокой антимикробной активности.

Создание новых и высокоэффективных и безопасных лекарственных средств с низкой токсичностью является приоритетным направлением фармацевтической и химической науки, технологии [33].

# 1.2 Углеводсодержащие гетероциклы

Биологическую активность химического соединения можно связать с определенным набором химических реакций, происходящих с веществом в организме, в пределах ряда родственных соединений. Степень проявления

биологической активности будет определяться способностью членов ряда вступать в химические реакции определенного типа.

Принято считать, что молекулы биологически активного вещества претерпевают в организме ряд физико-химических и химических превращений. Это такие процессы как растворение, сорбция, распределение, связывание, химическая реакция, выделение и т.п. Очевидно, что любой из этих этапов или их сочетание в каждом конкретном случае может определять направленность фармакологического действия вещества или являться лимитирующей стадией суммарного эффекта, определяемого как биологическая активность.

Для описания физиологической активности вышеназванных соединений необходимо оценить как минимум четыре физико-химические характеристики соединений, как способность вещества распределяться между водной и липидной фазой, объемом молекулы, заряд и основность азотсодержащих соединений.

Для сравнения реакционной способности в рядах родственных соединений часто применяют методы, основанные на сравнении квантово-химических индексов реакционной способности (ИРС) молекул – величин, получаемых при помощи квантово-химических расчетов.

Известно [37-41], что введение N-агликона в структуру углевода приводит к значительному повышению реакционной способности гликозидного центра по отношению к агентам нуклеофильного характера. Причиной этого является более высокая основность атома азота (N) по сравнению с кислородными атомами простых сахаров-гликозидного и циклического.

Углеводсодержащие гетероциклы — обширная и глубоко разветвленная область химии и биохимии углеводов, в которой важнейшую часть составляют производные сахаров с гетероциклическими агликонами [42]. В свое время эти соединения привлекли к себе внимание возможностью использования их в качестве синтетических аналогов нуклеозидов для борьбы с заболеваниями, не поддающимися лечению традиционными средствами. Этот интерес не угас и до настоящего времени, о чем свидетельствуют периодические публикации.

Подходы к синтезу углеводсодержащих гетероциклов в общем не отличаются большим разнообразием – это прямое взаимодействие гликозильных производных сахаров c готовыми гетероциклами формирование И гетероциклических структур при гликозидном центре из N-агликонов надлежащей структуры. Оба подхода дополняют друг друга, и могут обеспечить синтез неисчерпаемого множества углеводсодержащих гетероциклов. Большие успехи достигнуты при использовании производных изо(тио)цианатов. В этой части наиболее привлекательным и практически актуальным является синтез природных нуклеозидов и их синтетических аналогов.

В работе [43] для получения аналогов ксилофуранозиладеинина, проявляющего противоопухолевую активность, синтезирован ряд углеводных производных аденина реакцией конденсации 2,3,5-три-О-β-D-кислофуранозилбромида с хлористой ртутью 2-алкилтиоаденина.

Второй альтернативной схемой синтеза аналогов нуклеозидов является построение гетероциклических систем, связанных с остатком углевода, исходя из соответствующих изотиоцианатов. В этой области химии гликозилизо(тио)цианатов и синтеза гетероциклических производных успешно работают ученые России, Японии.

Другие гетероциклические производные углеводов, агликонами которых являются тиазольные радикалы были синтезированы из глюкозилитиоцианата и глюкозилтиомочевины [44,45].

Синтез N-D-глюкопиранозилтиокарбамоил производных (13) в результате обработки глюкозилтиоцианата 5-алкилтетрагидро-5-нитро-1,3-оксазинами изложен в работе [46].

Реакция образования имидазолидин-2-тионов протекает в присутствии сухого пиридина, триэтилмина или безводного ацетата натрия в аценитриле при взаимодействии соответствующих гликозилизотиоцианатов с гидрохлоридами

хлораламина. Реакция, возможно, протекает по пути образования интермедиата тимочевины, с последующей циклизацией и образованием имидазолин-2-тионов.

$$R \longrightarrow C \longrightarrow S + NH_2(CH_2)nC \longrightarrow HN \longrightarrow (CH_2)n$$

$$R \longrightarrow C \longrightarrow R$$

$$R \longrightarrow R$$

где: R=2,3,4,6-тетра-О-ацетил- $\beta$ - D-глюкопиранозил; 2,3,4-три-О-ацетил- $\alpha$ -D-арабинопиранозил; 2,3,5-три-О-бенозил- $\beta$ -D-рибофуранозил.

$$R-N=C=S + NH_{2}(CH_{2})_{2}OH \xrightarrow{C_{6}H_{6}} R-N-C-NH-(CH_{2})_{2}-OH$$

$$\downarrow SOCl_{2}$$

$$\downarrow NH-C-SH$$

$$\downarrow NH-C-SH$$

Взаимодействие глюкозилизотиоцианата с 2,6-диаминопиридном, приводящее к образованию дитиомочевины обсуждалось в работе [44]. Реакции изотиоцианатов сахаров с аминокислотами были изложены в работах авторов [44].

Таким образом, метод гликозилирования позволяет, в принципе, наметить решение трех важных задач: снижение токсичности химиотерапевтического агента, повышения его водной растворимости и изменение степени прохождения молекул через клеточные барьеры [47].

Методом гликозилирования синтезирован ряд углеводных производных: аденина реакцией конденсации 2,3,5-три-О-ацетил-Б-ксилофуранозил зилбромида с хлористой ртутью 2-алкилтиоаденина.

Второй альтернативной схемой синтеза аналогов нуклеозидов является построение гетероциклических систем, связанных с остатком углевода, исходя из соответствующих изотиоцианатов. В этой области химии гликозилизо(тио)цианатов и синтеза гетероциклических производных успешно работают ученые России, Японии, Польши и другие. Химия изотиоцианатов сахаров датируется со времени ранних работ Э. Фишера и Гельфериха, в которых они описывают превращение изотиоцианатов в производные [48].

Принципы построения гетероциклических систем и методические приемы в работе с углеводными аналогами изотиоцианатных фрагментов достаточно хорошо известны и не требуют особых пояснений. Следующие достаточно

очевидные примеры формирования структур могут служить примерами гетероциклизации [49].

$$Ry-N=C=S$$

$$Ry-NH$$

$$NH_2$$

$$NH_3$$

$$NH_4$$

$$(20)$$

где  $R_v$  – углевод.

Препараты класса нитрозоалкилмочевин (НАМ) широко применяются в противоопухолевой терапии [50]. Молекулярный механизм биологического действия НАМ обусловлен выраженной реакционной способностью продуктов их биоградации к алкилированию и карбамоилированию макромолекул. Эти реакции могут приводить к модификации структуры ДНК, повреждению аппарата транскрипции и трансляции, блокированию систем репарации и лежат в основе противоопухолевого эффекта нитрозоалкилмочевин.

Гликозилнитрозомочевина была избрана ключевым соединением для разработки методов получения новых углеводных аналогов медицинских препаратов. Этот класс соединений обладает высокой реакционной

способностью, и на его основе были синтезированы углеводные производные мочевины и тиомочевины (схема 1).

Установлено, что при непродолжительном нагревании эквимолекулярных количеств реагентов в водно- спиртовых средах гликозилнитрозомочевины гладко вступают в реакции конденсации с аминами. Взаимодействие свежеперегнанного основания фенилгидразина с гликозилнитрозометилмочевинами в спиртовой среде в присутствии уксусной кислоты приводит к образованию продуктов присоединения с выходом 60%. Нуклеофильное замещение для протекания процесса образования конечных продуктов не требует в большинстве случаев добавок катализирующих агентов.

Схема 1.

Был изучен стереоселективный синтез нескольких β-N-арилгликозидов путем гликозилирования ароматических первичных аминов с использованием незащищенных углеводов в водном растворе. Это был первый отчет, показывающий эффективный метод синтеза с одной стадией β-N-гликозил-пара-аминофенилаланиновых строительных блоков для синтеза гликопептидов углеводного антигена (ТАСА), связанного с опухолью. Анализ продуктов с помощью 1Н и 13С ЯМР показал, что перегруппировка Амадори не произошла после образования стереоселективной связи β-N-гликозида (естественная связь N-гликопротеина). Было также исследовано изучение химической и ферментативной стабильности в водных средах синтезированных β-N-

арилгликозидов. Впервые было показано, что N-гликозидная связь относительно стабильна при рН около 7 и более стабильна, чем О-гликозидная связь к ферментативному гидролизу. Эта более высокая ферментативная и химическая стабильность N-гликозидной связи имеет важное значение для обеспечения дальнейшего развития стабильных строительных блоков ТАСА [51].

Реакционная способность гликозидного центра ( $C_1$ ) сахаров по отношению к атакующим нуклеофильным агентам определяется величиной эффективного положительного заряда на  $C_1$ , поэтому все факторы способствующие увеличению этого заряда, благоприятствуют протеканию реакции нуклеофильного присоединения и замещения по  $C_1$ . К числу таких факторов следует отнести кислотный катализ, кинетические эффекты которого можно описать на основе представлений о протонизации гетероатома гликозидной связи.

Для нуклеофильноых реакций  $C_1$  циклических форм гликозидов возможны два существенно различающихся варианта: A)  $S_{N2}$ — нуклеофильного замещения «старого» агликона  $B_1$  на «новый»  $B_2$ : разрыв гликозидной связи  $C_1 - B_1$  в момент атака  $HB_1$  с сохранением исходной циклической структуры углеводного остатка и обращением конфигурации при  $C_1$ ; Б) Разрыв полуацетального кислородного мостика  $C_1$ — О — цикла с образованием промежуточных соединений в форме структур ацетального типа.

#### 1.3 Реакция карбамоилирования

Синтез и изучение физиологические активных веществ для использования их в медицине и в других отраслях народного хозяйства является одним из

актуальных направлений современной органической химии. Известно, что лишь очень немногие из синтетических препаратов, обладающих высокой биологической активностью, находят практическое применение. Большинство из полученных соединений не находят применения из-за высокой токсичности, слабой водной растворимости, не избирательности действия и ряда других побочных явлений. Поэтому очень важным представляется поиск путей «облагораживания» физиологически активных соединений путем сочетания их с объектами природного происхождения, в частности с углеводами [52].

В последние время, углеводы находят широкое применение для модификации лекарственных препаратов [53,54]. Достигается это путем «привязки» физиологически активных соединений к углеводам. Ранее [55] было установлено, углеводы с незащищенными ОН-группами в углеводном кольце могут выполнять функции носителей физиологически активных фрагментов, существенно повышать водную растворимость и снижать общую токсичность препаратов. В работах [56,57] показано, что введение углеводных остатков в структуру биологически активных соединений приводит к резкому снижению их токсичности. В пользу этого говорит также анализ биохимического цикла «глюкуроновой детоксикации». Эти обстоятельства позволяют рекомендовать гликозилирование — привязывание физиологически активного соединения или его возможных путей синтеза малотоксичных лекарственных средств.

Имеются основания полагать, что гликозилирование позволит изменить проницаемость физиологически активных соединений через клеточные мембраны, а привязывание этих соединений к олиго- и полисахаридам пролонгировать действие лекарственных препаратов в животном организме [58,59].

При создании малотоксичных углеводсодержащих лекарственных средств с ценными терапевтическими свойствами возникают проблемы устойчивости гликозилированных препаратов, биотрансформации их организма, а также подбора стыковочных звеньев, при помощи которых осуществляется привязка лекарственного соединения к сахарам.

Для решения этих проблем представляется перспективным использовать производные гликозил(тио)мочевин.

Литературный анализ последних лет, посвященный химии углеводов, показывает, что внимание исследователей привлечено к синтезу производных сахаров, агликонами которых являются различные биологически активные соединения. Аналогами этих соединений является природные и синтетические гликозиды, используемые в фармакологии, сельском хозяйстве и медицине. В частности, углеводные производные нитрозоалкилмочевин (НАМ) обладающие не только противоопухолевой активностью, но и высокой реакционной способностью.

В синтезе карбамидов сахаров используют два основных подхода: прямое взаимодействие углеводов с карбамидами и их аналогами в условиях кислотного катализа (а) и взаимодействие ацилзамещенных N-гликозилизоцианатов с аминами (б) или взаимодействие ацилзамещенных гликозиламинов с арилизоцианатами (в) [58].

Первый прямой путь требует продолжительного выдерживания реакционной смеси при повышенных температурах. Второй метод – аминирование гликозилизо(тио)цианатов был предложен Э. Фишером.

Метод нашел широкое применение в синтезе аналогов гликопротеинов и пиримидиновых нуклеозидов и гетероциклических производных углеводов.

Среди веществ, проявляющих антигельминтную активность, известно большое количество производных диэтилендиамина и их солей, нашедших применение в гельминтологической практике. Поэтому поиск путей получения новых углеводосодержащих производных диэтилендиамина и внедрение их в гельминтологическую практику значительно расширяет терапевтические возможности борьбы с инвазионными болезнями. В работе [60] была показана специфическая фармакологическая активность нового углеводного производного N-(β-D-гликопиранозил-карбамоил) диэтилендиамина, который в свою очередь синтезируют нитрозированием N-метил-N¹-(β-D-гликопиранозил)-мочевины.

Среди производных углеводов, которые содержат такие функциональные группы, которые способны быть основой для построения гликозиламидных систем, особое место занимают гликозилнитрозоалкилмочевины - являющиеся генераторами весьма реакционно – способных фрагментов карбамоилирующего и алкилирующего действия.

Моносахаридные производные диэтилендиамина хорошо кристаллизующиеся вещества, белого цвета, без запаха, слегка горьковатого вкуса, устойчивы при длительном хранении.

В качестве стратегии синтеза новых углеводородных производных с гликозиламидными связями четко проявляются по крайней мере две тенденции:

- синтез производных аминов с целью поиска биологически активных веществ и введения в структуру углеводных молекул агликона с известной биологической активностью;
- возможность получить соединение, обладающее значительно более низкой токсичностью, большей растворимостью в воде, чем исходный агликон и придать гликозиламидным соединениям новые биологические свойства [60].

#### ГЛАВА II. МЕТОДОЛОГИЯ И МЕТОДЫ ИССЛЕДОВАНИЯ

#### 2.1 Материалы и методы исследования

Объект исследования. Производные γ-пиперидона, содержащие в пиперидиновым цикле различные заместители и их гликозилированные производные.

Предмет исследования. Сопоставительная физико - химическая характеристика синтезированных гамма — пиперидонов и гетероциклических соединений пиперидинового ряда, полученных на основе моносахаридов (глюкозы, галактозы, ксилозы, рибозы и арабинозы) и дисахаридов (мальтозы и лактозы). Приведены методы и условия синтеза N — замещенных ү — пиперидонов и их гликозилированных аналогов, обладающих потенциальной биологической активностью. Представлены методики применения используемых физических, физико — химических методов, необходимых для решения задач, являющихся предметом исследования настоящей работы.

Методы исследования: тонкослойная и бумажная хроматография, определения температуры плавления, элементного анализа, ИК, ПРМ-спектроскопия. Оценку компьютерного прогнозирования биологической активности проводили методом PASS (Prediction of activity Spectra for Substans: complex and Trainity).

В ходе исследования были также использованы классические методы органического синтеза, выделения, перекристаллизации, фильтрования и очистки полученных продуктов.

Тонкослойная хроматография. Контроль за ходом реакции и чистотой синтезированных соединений осуществляли с помощью ТСХ на пластинках «Silufol UV-254» (сорбент: силикагель), а также восходяшей хроматографии на незакрепленном слое окиси алюминия, при использовании следующих систем: бензол-диокасн (40:1), бензол-диокасн (60:1), гептан-диоксан (20:1), толуолацетон (3:1), толуол-ацетон (1:1), гексан-диоксан (20:1).

Температуру плавления синтезируемых соединений измеряли на микронагревательном столике Boetuis. Скорость подъема температуры на столике составляла  $4^{\circ}$ С в минуту.

ИК-спектроскопия. В работе были использованы спектрофотометры: ИКС-29, Specord M-80 с программой «Soft Spectra», ИК-Фурье спектрометр «Termomo Fisher».

На этапе до экспериментального скрининга использована компьютерная система PASS. На сайте http://www.way2drug.com/passonline доступен web-ресурс, позволяющий прогнозировать более 4000 видов биологической активности.

#### 2.2 Синтез 2,6-дифенил-3-изопропилпиперидин-4-она и его аналогов

Синтез 2,6-дифенил-3-изопропилииперидин-4-она. В круглодонной колбе емкостью 500мл, снабженной обратным холодильником, смешивают 63мл (0,5моль) 4-метилпентанона-2, 102мл (1моль) бензальдегида, 53г (0,7 моль) уксуснокислого аммония и 100мл этилового спирта. Смесь нагревают при температуре  $40-45^{\circ}$ С в течение 4-5 часов, перемешивая.

По окончании реакции реакционную смесь охлаждают до комнатной температуры и оставляют на сутки для кристаллизации, предварительно отделив нижний слой. Выпавшие кристаллы отфильтровывают под вакуумом на воронке Бюхнера, промывают изопропиловым высушивают. спиртом И Перекристаллизовывают ацетона. Получают 81г (54%)белого ИЗ кристаллического 2,6-дифенил-3-изопропилпиперидин-4-она с  $T_{nn}$ =119-121 °C.  $R_f$ =0,83 в системе бензол-диоксан (40:1). Вычислено, %: N4,78.  $C_{20}H_{23}NO$ . Найдено, %:N4,14. ИК-спектр, см<sup>-1</sup>: 2948,6(С<sub>алиф</sub>-Н), 1698,1(С=О), 3298,8(N-H),1130,4 (C-N).

2,6-дифенил-3-изопропилпиперидин-4-он исследовали на микробиологическую чистоту методом мембранной фильтрации [Государственной фармакопеи Российской Федерации XII издания подготовлена Институтом стандартизации и контроля лекарственных средств.

Часть 1. С.160]. Испытание на микробиологическую чистоту включает в себя несколько показателей, в зависимости от назначения объекта испытания: ОМЧ (общее микробное число), дрожжевые и плесневые грибы, кишечная палочка, энтеробактерии и некоторые др. грамотрицательные бактерии; синегнойная палочка, сальмонелла, золотистый стафилококк. Наш кетон образец был подвергнут испытанию на микробиологическую чистоту по показателю ОМЧ. Общее микробное число является показателем общей микробной загрязненности. Это общее количество всех микроорганизмов, находящееся в 1 мл или 1 г пробы. Его значение выражают в колониеобразующих единицах: КОЕ/мл или КОЕ/г. Колониеобразующая единица – это микроорганизм, образующий колонию в ходе размножения. Испытание показали что кетон относится к категории 3А. Рекомендуемые требования – общее число аэробных бактерий не более  $10^3$  КОЕ/г. Методика проведения: испытание проведено методом мембранной фильтрации в одноразовых чашках Петри диаметром 47 мм. Для посева использовали мембранные фильтры с диаметром пор 0,45 мкм, способные эффективно задерживать все микроорганизмы.

Образец в количестве 0,2 г растворили в фосфатном буферном растворе рН 7,0 в соотношении 1:10. В воронку фильтровальной установки внесли сначала промывочную жидкость (физ. p-p, примерно 5 мл) для смачивания фильтра. Добавили 10 мл препарата в разведении 1:10 и фильтровали в двух параллелях одновременно с последующим промыванием фильтров. По окончании фильтрации мембраны перенесли в чашки Петри с питательной средой Триптон -глюкозного экстракта для определения ОМЧ. Посевы инкубировали в термостате при температуре 37°C.

Учет результатов. Подсчет колоний производят через 48-72 часов. Отбирают чашки, где число колоний на фильтрах не превышает 100, и рассчитывают число микроорганизмов на 1,0 г или на 1,0 мл образца. Если при разведении образца 1: 10 на чашках нет роста, то результат интерпретируют следующим образом: «В 1 г образца менее 10 бактерий». Результат микробиологического исследования подтвержден протоколом испытаний,

представленным Центральной контрольно - аналитической лабораторией Департамента лекарственных средств и медицинской техники при Министерстве здавоохранения и социального развития Кыргызской Республики (см. Приложение №1). Таким образом наш кетон обладает антибактеральной активности.

Синтез 2,6-дифенил-3-амилпиперидин-4-она. В круглодонной колбе емкостью 500 мл, снабженной обратным холодильником, смешивают 64 г (0,5 моль) гексилметилкетона, 106 г. (1 моль) бензальдегида, 38,5 г (0,5 моль) уксуснокислого аммония и 75 г этилового спирта. Смесь нагревают при температуре 40 – 45°С в течение 9 часов, периодически помешивая. По окончании реакции смесь охлаждают до комнатной температуры и оставляют на сутки для кристаллизации. Выпавшие кристаллы отфильтровывают, промывают изопропиловым спиртом и высушивают. Перекристаллизовывают из ацетона.

Получают 128,4г (80%) белого кристаллического 2,6 – дифенил – 3 – амилпиперидин – 4 – она с  $T_{\text{пл}}$ =113 $^{0}$ C; Rf=0,81 в системе бензол–диоксан (60:1). Найдено, %C82,24; H8,41; N4,43.  $C_{22}H_{27}ON$ . ИК – спектр, см $^{-1}$ ; 1716 (C=O), 3316 (N – H), 756, 699 ( $C_{ap}$ - H), 2956 (C-H).

Синтез 2,6—ди—(n-N,N-диметиламинофенил)—3—изопропилпиперидин—4—она. В круглодонной колбе емкостью 500 мл, снабженной обратным холодильником, смешивают 42 мл (0,34моль) 4—метилпентанона—2, 100 г (0,67моль) п—N,N—диметиламинобензальдегида, 50 г (0,68моль) ацетата аммония и 200 мл этилового спирта. Смесь нагревают при температуре  $40-45^{\circ}$ С в течение 36 часов, периодически перемешивая.

По окончании реакции реакционную смесь охлаждают до комнатной температуры и оставляют на сутки для кристаллизации, предварительно отделив нижний слой. Выпавшие кристаллы отфильтровывают, промывают изопропиловым спиртом и высушивают. Перекристаллизовывают из ацетона.

Получают 75г (58%) желтого кристаллического 2,6–ди–(п–N,N– диметиламинофенил)-3-изопропилпиперидин-4-она с  $T_{\text{пл.}}$ =28-30 $^{\circ}$ C,  $R_{\text{f}}$  =0,60 в

системе гексан-диоксан (20:1). Вычислено, %: N11,08.  $C_{24}H_{33}ON_{3.}$  Найдено, %: N10,80. ИК – спектр, см<sup>-1</sup>: 1673,9 (C=O), 3385,9 (N-H).

## 2.2.1 Синтез N-метил-2,6-дифенил-3-изопропилпиперидин-4-она и его производных

В круглодонной колбе емкостью 200 мл, снабженной ртутным термометром и мешалкой, смешивают 10 г (0,034 моль) 2,6 — дифенил — 3 — изопропилпиперидин -4- она, 4,3 мл (0,04 моль) формалина и 2,3 г (0,04 моль) муравьиной кислоты.

Полученную смесь нагревают при 75 – 85°C на водяной бане в течение 7 часов при постоянном перемешивании. Смесь охлаждают до комнатной температуры и нейтрализуют карбонатом калия. Экстрагируют диэтиловым эфиром. Эфирные вытяжки объединяют и сушат безводным хлористым кальцием, эфир отгоняют.

Получают 7,5 г (71%) N-метил-2,6-дифенил-3-изопропилпиперидин-4-она в виде белого кристаллического вещества с  $T_{nn}$ =108 – 109 $^{0}$ C. Rf=0,91 в системе бензол-диоксан (40:1). Вычислено, %: N4,56; C82,08; H8,18.  $C_{21}H_{25}ON$ . Найдено, %: N4,46; C82,68; H8,74. ИК-спектр см $^{-1}$  1711 (C=O), 1273 (N-C).

Синтез стереоизомерных *N-метил-2,6-дифенил-3-изопропил*фенилэтинилпиперидин-4-олов. В трехгорлую круглодонную колбу, снабженную механической мешалкой и капельной воронкой, наливают 15 мл абсолютного диэтилового эфира, помещают 2,8 г порошкообразного едкого кали и в течение часа при перемешивании прикапывают 0,7 г (0,007 моль) фенилацетилена, растворенного в 3,5 мл абсолютного эфира. Смесь перемешивают еще час, затем (0.007)прикапывают 2часа 2г моль) N-метил-2,6-дифенил-3изопропилпиперидин-4-она, растворенного в 30 мл абсолютного эфира. По окончанию прикапывания смесь перемешивают еще несколько часов, затем на следующий день разлагают водой и экстрагируют эфиром. Эфирные вытяжки нейтрализуют углекислым газом и сушат поташом. После отгонки эфира получают 1,4г (52%) смеси изомеров N-метил-2,6-дифенил-3-изопропил – 4фенилэтинилпиперидин-4-олов, которые разделяют дробной кристаллизацией из бензина. Выделяют 1,2 г (87%) изомера N-метил-2,6-дифенил-3-изопропил — 4-фенилэтинилпиперидин-4-ол с экваториально расположенной гидроксильной группой при  $C_4$  атоме пиперидинового цикла  $T_{nn}$ =127 -128 $^{\circ}$ C. Rf=0,75 системе бензол-диоксан (60:1). Вычислено, %: N3,54.  $C_{29}H_{31}ON$ . Найдено, %: N3,60. ИКспектр, см<sup>-1</sup>: 3412 (O-H), 1079 (C-O), 1265 (N –C), 2099 (C=C).

Изомер с аксиально орентированной гидроксильной группой в системе бензол-диоксан (60:1) Выделяют 0,2 г (12%) N-метил-2,6-дифенил-3-изопропил-4-фенилэтинилпиперидин-4-ола с  $T_{\rm пл}$ =185-186 $^{\rm 0}$ C. Rf=0,82. Вычислено, %: N3,54.  $C_{29}H_{31}$ ON. Найдено, %:N3,63. ИК-спектр, см $^{\rm -1}$ : 3422 (O-H), 1053 (C-O), 1265 (N – C), 2222 (C=C).

# 2.2.2 Синтез N-этил-2,6-дифенил-3-изопропилпиперидин-4-она иего производных

В круглодонной колбе емкостью 200мл, снабженной ртутным термометром И мешалкой смешивают **30**Γ (1 моль) 2,6-дифенил-3изопропилпиперидин-4-она, 6,7мл (0,15 моль) уксусного альдегида и 6,9мл (0,15моль) муравьиной кислоты.

Полученную смесь нагревают при 75-85°C на водяной бане в течение 14 часов при постоянном перемешивании. Смесь охлаждают до комнатной температуры и нейтрализуют карбонатом калия, экстрагируют диэтиловым эфиром. Эфирные вытяжки объединяют и сушат безводным хлористом кальцием, эфир отгоняют.

Получают 21,5г (71,6%) N-этил-2,6-дифенил-3-изопропилпиперидин-4-она в виде белого кристаллического вещества с  $T_{\text{пл}}$ =115-116°C. Rf =0,72 в системе бензол-диоксан (40:1). Вычислено, %: N4,4; C82,24; H8,41. С<sub>22</sub>H<sub>28</sub>ON. Найдено, %: N4,3; C81,04; H8,30. ИК-спектр, см<sup>-1</sup>: 1720 (C=O), 1257 (N–C).

Синтез N-этил-2,6-дифенил-3-изопропилииперидин-4-олов. В круглодонную трехгорлую колбу емкостью 50мл, снабженную термометром, мешалкой и обратным холодильником, помещают 4,4г (0,003 моль) N-этил-2,6-дифенил-Зизопроплпиперидин-4-она и при постоянном перемешивании и нагревании в пределах 40-45°C растворяют в 120мл абсолютного спирта. При

постоянном перемешивании в реакционную смесь добавляют 3г металлического натрия в течение 8 часов при перемешивании. По окончании нагревания смесь охлаждают до комнатной температуры. Затем к смеси добавляют 150 мл воды.

Полученный раствор экстрагируют диэтиловым эфиром. Эфирные объединяют сушат безводным хлоридом После вытяжки И кальшия. фильтрования хлорида кальция и отгонки эфира и спирта получают смесь изомерных N-этил-2,6-дифенил-3-изопропилпиперидин-4-олов, из которой перекристаллизацией абсолютного дробной ИЗ спирта выделяют индивидуальные изомеры.

Получают 0,69г (15,7%) е-аномера N-этил-2,6-дифенил-3-изопропилпиперидин-4-ола, белого цвета с  $T_{\text{пл}}$ =168-169°C. Rf =0,54 в системе бензол-диоксан (40:1). Вычислено, %: N4,33.  $C_{22}H_{29}ON$ . Найдено, %: N4,26. ИК-спектр, см<sup>-1</sup>:1050 (С–O), 3386 (O–H).

Получают 0,32г (7,3%) а-аномера N-этил-2,6-дифенил-3-изопропилпиперидин-4-ола, белого цвета с  $T_{пл}$ =198°C. Rf=0,69 в системе бензолдиоксан (40:1). Найдено, %: N4,25,  $C_{22}H_{29}ON$ . Вычислено, %: N4,33. ИК-спектр, см<sup>-1</sup>: 1028 (C–O), 3400 (O–H).

Синтез N-этил-2,6-дифенил-3-изопропил-4-О-бензоилпиперидина. В круглодонную колбу емкостью 50мл, снабженную ртутным термометром и обратным холодильником помещают 0,007г (0,00001 моль) N-этил-2,6-дифенил-3-изопропилпиперидин-4-ола (е), затем прибавляют 0,5мл хлористого бензоила и 0,25мл ледяной уксусной кислоты. Смесь нагревают 30 мин. при температуре 100°С. Хлористый бензоил по окончании реакции упаривают, к остатку добавляют петролейный эфир. Выпавшие кристаллы перекристаллизовывают из ацетона.

Получают 0,006г (66%) е-аномер N-этил-2,6-дифенил-3-изопропил-4-О-бензоилпиперидина, белого цвета с  $T_{nn}$ =107°C. Rf=0,21 в системе бензол-диоксан (40:1). Вычислено, %: N3,29. С<sub>29</sub>H<sub>32</sub>O<sub>2</sub>N. Найдено, %: N3,20. ИК-спектр, см<sup>-1</sup>: 1257 (С–О–С).

Получают 0,001г (5,3%) а-аномер N-этил-2,6-дифенил-3-изопропил-4-О-бензаилпиперидина, белого цвета с  $T_{nn}$ =123°C. Rf=0,34 в системе бензол-диоксан (40:1). Вычислено, %: N3,29.  $C_{29}H_{32}O_2N$ . Найдено, %: N3,23. ИК-спектр, см<sup>-1</sup>: 1243, 1250 (С–O–C).

Синтез N- этил-2,6-дифенил-3- изопропил-4-этинилпиперидин — 4 олов. В трехгорлую колбу, снабженную трубкой для пропускания ацетилена, механической мешалкой и капельной воронкой, помещают 25 г (0,45 моль) технического порошкообразного едкого кали и 200 мл абсолютного эфира. При энергичном перемешивании и охлаждении до -10°C насыщают очищенным от примеси ацетиленом в течение 2 часов. Затем при перемешивании, продолжая пропускание сильного тока ацетилена, прибавляют по каплям в течение 1,5 часов раствор 15г (0,45 моль) N-этил-2,6-дифенил-3-изопропилпиперидин-4-она в 100 мл абсолютного эфира. После окончания прибавления кетона ацетилен пропускают еще 6 часов. Реакционную смесь оставляют на ночь.

Продукт реакции при охлаждении разлагают водой и экстрагируют эфиром. Эфирные вытяжки нейтрализуют углекислым газом. После отгонки эфира получают 7,8 г смеси стереоизомерных N- этил - 2,6 - дифенил - 3 - изопропилпиперидин - 4 - олов, которые разделяют дробной кристаллизацией из абсолютного этилового спирта.

Выделяют 4,8 г (61,5%) изомера N-этил-2,6-дифенил-3-изопропил-4этинил – пиперидин – 4 – ола с экваториально расположенной гидроксильной группой при C<sub>4</sub> атоме пиперидинового цикла с  $T_{\text{пл}}$ =121 – 122°C. Rf=0,39 в системе бензол-диоксан (60:1). ИК – спектр, см<sup>-1</sup>: 1227 (N-C); 3343 (O-H), 3243 (C=C). Вычислено, %: N4,3. C<sub>24</sub>H<sub>29</sub>ON. Найдено, %: N3,9.

Выделяют 3г (38%) изомера N-этил-2,6-дифенил-3-изопропил-4-этинил – пиперидин – 4 – ола с аксиально расположенной гидроксильной группой при  $C_4$  атоме пиперидинового цикла с  $T_{\text{пл}}$ =124 – 125 $^{\circ}$ C. Rf=0,57 в системе бензолдиоксан (60:1).  $C_{24}H_{29}ON$ . ИК – спектр, см<sup>-1</sup>: 1227 (N-C); 3429 (O-H), 3300 (C=C).

Синтез N-этил-2,6-дифенил-3-изопропил — 4 - этинил-4-O-бензоил-пиперидина (а). В реакционную колбу емкостью 30 мл, снабженную ртутным

термометром и обратным холодильником, помещают 0,28 г (0,008 моль) N-этил-2,6-дифенил-3-изопропилпиперидин — 4 ола, приливают 2 мл хлористого бензоила и 1 мл ледяной уксусной кислоты. Смесь нагревают, при  $100^{0}$ С 30 минут. Хлористый бензоил по окончании реакции упаривают и к остатку добавляют петролейный эфир. Выпавшие кристаллы отфилтровывают. Получено вещество с  $T_{nn}$ =216 $^{0}$ С. Rf=0,62 в системе бензол-диоксан (40:1). Вычислено, % N3,10.  $C_{31}H_{33}O_{2}N$ . Найдено, % N3,07. ИК – спектр, см $^{-1}$ :1248, 2357 (С-O-С).

*Синтез N-этил-2,6-дифенил-3-изопропил-4-этинил-4-О-бензоил-пиперидина* (*e*). В реакционной колбе емкостью 50 мл смешивают 0,28 г (0,008 моль) N-этил-2,6-дифенил-3-изопропилпиперидин – 4 ола, затем приливают 2 мл хлористого бензоила и 1 мл ледяной уксусной кислоты. Смесь нагревают, при  $100^{0}$ С 30 минут. Окончание реакции определяют хроматографированием реакционной смеси на окиси алюминия. Хлористый бензоил по окончании реакции упаривают и к остатку добавляют петролейный эфир. Выпавшие кристаллы перекристаллизовывают из ацетона. Выделяют 0,15 г (41,6%) белого кристаллического вещества с  $T_{1лл}$ =199 $^{0}$ С. Rf=0,45 в системе бензол-диоксан (40:1). Вычислено, %: N3,10. С<sub>31</sub>H<sub>33</sub>O<sub>2</sub>N. Найдено, %: N3,05. ИК – спектр, см $^{1}$ :1251, (C-O-C).

### 2.2.3 Синтез N-(3'-м-нитрофенил-3'-оксопропил)-2,6-дифенил-3изопропилпиперидин-4-она и его производных

Синтез в абсолютизированном изопропиловом спирте. В конической колбе на 50 мл, снабженной дефлегматором, растворяют 0,5 г 2,6-дифенил-3-изопропилпиперидин-4-она, 0,3 г м-нитроацетофенона и 0,05 г параформа в 2,5 мл изопропилового спирта. Затем реакционную смесь кипятят в течение часа, добавляют 1 мл HCl, продолжают кипятить в течение 8 часов. По окончании реакции смесь охлождают до комнатной температуры и оставляют для кристаллизации. Выпавшие кристаллы белого цвета. Осадок отфильтровывают под вакуумом на воронке Шотта. Перекристаллизовывают из этилового спирта. Получают 0,23 г (30%) кристаллического вещества белого цвета N-(3'-м-

нитрофенил-3'-оксопропил)-2,6-дифенил-3-изопропилпиперидин-4-она гидрохлорида с  $T_{пл}$ =210 $^{0}$ С.  $R_{f}$ =0,92 в системе толуол-ацетон (3:1). Вычислено, %:N4,78.  $C_{28}H_{28}O_{4}N_{2}$ . Найдено, %:N4,14. В ИК-спектр, (см $^{-1}$ ): 1720, 1719 (С=O), 1299,14 (С-N).

Синтез в абсолютизированном этиловом спирте. В конической колбе на 500 мл, снабженной обратным холодильником в 300 мл абсолютированного этилового спирта растворяют 20 г 2,6-дифенил-3-изопропилпиперидин-4-она, 11,23 г м-нитроацетофенона и 2,8 г параформа. Реакционную смесь кипятят при температуре  $80^{\circ}$ С в течение 8 часов, периодически перемешивая. Ход реакции контролируют тонкослойной хроматографией на пластинке силуфола в системе толуол-ацетон (1:1). По окончании реакции смесь охлаждают до комнатной температуры и оставляют для кристаллизации. Выпавшие кристаллы отфильтровывают и перекристаллизовывают из толуола. Получают 19 г (60%) белого кристаллического N-(3'-м-нитрофенил-3'-оксопропил)-2,6-дифенил-3-изопропилпиперидин-4-она с  $T_{n,n}$  =  $210^{\circ}$ С.  $R_f$ =0,87 в системе толуол-ацетон (1:1). Вычислено, %: N5,95.  $C_{29}H_{30}O_4N_2$ . Найдено, %: N5,27. В ИК-спектр, см-1: 3064 (Сар-Н), 1719 (С=О), 1207 (С-N), 1535 (NO<sub>2</sub>).

Синтез N-(3'-м-нитрофенил-3'-оксопропил)-2,6-дифенил-3-изопропил-4этинилпиперидин-4-олов.В трехгорлую круглодонную колбу емкостью 1000 мл, снабженную мешалкой, наливают 500 мл абсолютного диэтилового эфира, загружают 10 г порошкообразного едкого калия. В реакционную смесь, при интенсивном перемешивании пропускают ацетилен в течение 3 часов. Затем добавляют 4,9 г. N-(3'-м-нитрофенил-3'-оксопропил)-2,6-дифенил-3-изопропил-4-этинилпиперидин-4-она в виде мелкого порошка и пропускают ацетилен при перемешивании в течении 1 часа, реакционную смесь оставляют на ночь и затем разлагают образовавшийся ацетиленид водой. Эфирный слой отделяют, водный слой трижды экстрагируют диэтиловым эфиром. Объединенные эфирные вытяжки сушат поташом.

Эфирный раствор смеси стереоизомеров наносили в виде сплошной линии на силуфоловую пластину, подвижной фазой служила система растворителей толуол-ацетон (1:1).

Сорбент с веществом снимали с пластины, вещество вымывали с сорбента диэтиловым эфиром. После упаривали растворителя выделяли индивидуальные стереоизомеры с  $R_f$ =0,36, 1 г с  $T_{nn}$ =265 $^0$ C и с  $R_f$ =0,31 5 г с  $T_{nn}$ =285 $^0$ C в системе растворителей: толуол-ацетон (1:1).

ИК-спектр е-изомера, см¹: 3438,6 (О-Н), 3244,3 (С-С), 1358,4 см⁻¹ (NO<sub>2</sub>), 1051,7 см⁻¹ (С-О), 2099,4 см⁻¹ (С≡С). Для а-изомера 3418,8 (ОН), 2107,9 (С≡С), 1349,4 (NO<sub>2</sub>), 1069,3 (С-О).

# 2.2.4 Синтез N-бензил-2,6-дифенил-3-изопропилпиперидин-4-она и его производных

В круглодонной колбе емкостью 200 мл, снабженной ртутным термометром и мешалкой смешивают 5 г (0,02 моль) 2,6-дифенил-3изопропилпиперидин-4-она, 2 мл (0,02 моль) бензальдегида и 1 мл (0,02 моль) муравьиной кислоты. Полученную смесь, нагревают при 75-85°C на водяной бане в течение 7 часов при постоянном перемешивании. Смесь охлаждают до комнатной температуры, нейтрализуют карбонатом калия. Экстрагируют диэтиловым эфиром. Эфирные вытяжки объединяют и сушат безводным хлористым кальцием, эфир отгоняют. После отгонки эфира получают 3,8 г Nбензил-2,6-дифенил-3-изопропилпиперидин-4-она белого В виде кристаллического вещества.  $T_{nn}=133-135^{\circ}$ C. Rf=0,62 в системе бензол-диоксан (40:1). Выход 58,2%. Вычислено, %: C84,50; H7,57; N3,65; C27H29ON. Найдено, %:C84,01; H7,50; N3,32.

Синтез оксима N-бензил-2,6-дифенил-3-изопропилпиперидин-4-она. Смесь 0,5 г (0,001 моль) N-бензил-2,6-дифенил-3-изопропилпиперидин-4-она с 0,1 г (0,001 моль) солянокислого гидроксиламина, растворяют в 10 мл безводного этилового спирта. Затем смесь нагревают при температуре 80-85°C, в течение 3 часов. По окончании реакции смесь охлаждают до комнатной температуры.

Выпавшие кристаллы отфильтровывают, затем перекристаллизовывают из ацетона.

Получают 0,7 г оксима N-бензил-2,6-дифенил-3-изопропилпиперидин-4-она.  $T_{nn}$ =176-178 $^{o}$ C. Rf=0,48 в системе гептан – диоксан (20:1). Выход 65%. Вычислено, %: C81,40; H7,53; N7,03.  $C_{27}H_{30}ON_2$ . Найдено, %:C81,0; H7,50; N6,75.

Синтез фенилгидразона N-бензил-2,6-дифенил-3-изопропил-пиперидин-4-она. Смесь 0,5 г (0,001 моль) N-бензил-2,6-дифенил-3-изопропилпиперидин-4-она с 0,2 г (0,001 моль) солянокислого фенилгидразона, в 10 мл безводного этилового спирта нагревают 6 часов при температуре 80–85<sup>0</sup>С. Оставляют на сутки. Выпавшие желтые кристаллы отфильтровывают и промывают спиртом. Получают 0,15 г фенилгидразона N-бензил-2,6-дифенил-3-изопропилпиперидин-4-она.  $T_{\text{пл}}$ =163-164<sup>0</sup>С. Rf=0,36 в системе гептан-диоксан (20:1). Выход 62%. Вычислено, %: C63,80; H6,99; N8,89;  $C_{33}H_{35}N_3$ . Найдено, %:C83,3; H6,95; N8,65.

### 2.2.5 Синтез N-(2'-метил-3'-оксобутил)-2,6-дифенил-3изопропилпиперидин-4-она и его производных

В круглодонной колбе емкостью 500 мл, снабженной обратным холодильником, растворяют 4 г (0,001 моль) 2,6-дифенил-3-изопропилпиперидин-4-она в 125 мл абсолютированного спирта. К реакционной смеси прикапывают 8 мл метилэтилкетона, затем прикапывают 15 мл формалина и добавляют несколько капель соляной кислоты. Реакционную смесь нагревает при температуре 69-70°С в течение 18-20 часов, периодически перемешивая. Ход реакции контролируют методом тонкослойной хроматографии.

По окончании реакции, реакционную смесь охлаждают до комнатной температуры, и дробной кристаллизацией из абсолютного спирта выделяют белое кристаллическое вещество с  $T_{\text{пл}}=193-194^{\circ}\text{C}$ . Rf=0,68 в системе гександиоксан (20:1).  $C_{25}H_{31}O_{2}N$ . Получают 2,3 г (45%) вещества.

N-(2'-метил-3'-оксобутил)-2,6-дифенил-3-изопропил-Синтез оксима пиперидин-4-она. В круглодонной колбе, снабженной обратным холодильником, 0,377 N-(2'-метил-3'-оксобутил)-2,6-дифенил-3смешивают Γ изопропилпиперидин-4-она и 0,0362 г солянокислого гидроксиламина в 15 мл этилового спирта. Реакционную смесь кипятят в течение 6 часов, периодически перемешивая. Ход реакции контролируют тонкослойной хроматографией на окиси алюминия в системе гексан-диоксан (20:1). По окончании реакции, реакционную смесь охлаждают до комнатной температуры и оставляют на ночь для кристаллизации. Выпавшие кристаллы отфильтровывают, промывают этиловым спиртом и высушивают. Полученный продукт представляет собой белые кристаллы.  $T_{nn}=218^{\circ}$ C. Rf=0,18 в системе гексан-диоксан (20:1).  $C_{25}H_{32}O_2N_2$ .

Синтез семикарбазона N-(2'-метил-3'-оксобутил)-2,6-дифенил-3-изопропилпиперидин-4-она. В круглодонную колбу, снабженную обратным холодильником, помещают 0,377 г (0,001 моль) N-(2'-метил-3'-оксобутил)-2,6-дифенил-3-изопропилпиперидин-4-она и 0,075г (0,001 м) солянокислого семикарбазида в 15 мл безводного этилового спирта. Реакционную смесь кипятят в течение 6 часов, охлаждают и оставляют на двое суток для кристаллизации. Выпавшие кристаллы отфильтровывают, промывают этиловым спиртом, высушивают.

Получают 0,252 г (66,8 %) кристаллического вещества белого цвета с  $T_{\text{пл}}$ =195 $^{0}$ С. Rf=0,45 в системе гексан-диоксан (20:1).  $C_{26}H_{34}O_{2}N_{4}$ .

Синтез фенилгидразона N-(2'-метил-3'-оксобутил)-2,6-дифенил-3-изопропилииперидин-4-она. В круглодонную колбу, снабженную обратным холодильником, помещают 0,377 г (0,001 моль) N-(2'-метил-3'-оксобутил)-2,6-дифенил-3-изопропилпиперидин-4-она и 0,108 г (0,001 моль) солянокислого фенилгидразина в 15 мл безводного этилового спирта. Реакционную смесь кипятят в течение 8-10 часов, охлаждают, оставляют на двое суток для кристаллизации. Выпавшие кристаллы отфильтровывают, промывают этиловым спиртом, высушивают.

Получают 0,038 г (20,07 %) кристаллического вещества белого цвета с  $T_{nn}$ =220 $^{0}$ C. Rf=0,57 в системе гексан-диоксан (20:1).  $C_{31}H_{37}ON_{3}$ .

Синтез диоксима N-(2'-метил-3'-оксобутил)-2,6—дифенил-3-изопропилпиперидин-4-она. В круглодонной колбе, снабженной обратным холодильником, смешивают 0,377 г (0,001 моль) N-(2'-метил-3'-оксобутил)-2,6—дифенил-3-изопропилпиперидин-4-она и 0,0362 г (0,001 моль) солянокислого гидроксиламина в 15 мл этиловым спиртом. Реакционную смесь кипиятят в течении 6 часов, периодически перемешивая. Ход реакции контролируют тонкослойной хроматографией на окиси алюминия в системе гексан-диоксан (20:1). По окончании реакции, реакционную смесь охлаждают до комнатной температуры и оставляют на ночь для кристализации. Выпавшие кристаллы отфильтровывают, промывают этиловым спиртом и высушивают.

Полученный продукт представляет собой белые кристаллы.  $T_{пл}=216^{\circ}\text{C},$   $R_f=0,73$  в системе гексан:диоксан (20:1).  $C_{28}H_{33}O_2N_3$ . ИК-спектр, см<sup>-1</sup>: 3411 (N-C), 3235 (N-OH), 1619(C=N), 971(N-O)

Синтез дисемикарбозона N-(2'-метил-3'-оксобутил)-2,6--дифенил-3-изопропилпиперидин-4-она. В круглодонную колбу, снабженную обратным холодильником, помещают 0,377 г (0,001моль) N-(2'-метил-3'-оксобутил)- 2,6 дифенил 3-изопропилпиперидин-4-она и 0,115г (0,002 моль) солянокислого семикарбазида в 15 мл безводного этилового спирта. Реакционную смесь кипятят в течении 6 часов, охлаждают и оставляют на двое суток для кристаллизации. Выпавшие кристаллы отфильтровывают, промывают этиловым спиртом, высушивают.

Получают 0,272 г (72%) кристаллического вещества белого цвета с Tпл=186°C. Rf=0,73 в системе гексан-диоксан (20:1). C<sub>27</sub>H<sub>37</sub>O<sub>2</sub>N<sub>7</sub>. VK-спектр, см<sup>-1</sup>: 755 (CO-NH<sub>2</sub>) , 3434 (N-C), 15880 (C=N), 1304 (N-N).

Синтез дигидразона N-(2'-метил-3'-оксобутил)-2,6-дифенил-3-изопропилпиперидин-4-она. В круглодонную колбу, снабженную обратным холодильником, помещают 0,377 г (0,001 моль) N-(2'-метил-3'-оксобутил)- 2,6 дифенил 3-изопропилпиперидин-4-она и 0,274г (0,002 моль) солянокислого

гидразина в 15 мл безводного этилового спирта. Реакционную смесь кипятят в течении 6 часов, охлаждают и оставляют на двое суток для кристаллизации. Выпавшие кристаллы отфильтровывают, промывают этиловым спиртом, высушивают.

Получают 0,278 г (74%) кристаллического вещества белого цвета с  $T_{пл}=188$ °C. Rf=0,59 в системе гексан-диоксан (20:1).  $C_{25}H_{35}N_5$ . ИК-спектр, см<sup>-1</sup>: 755 (CO-NH<sub>2</sub>), 3434 (N-C), 15880 (C=N), 1304 (N-N).

Синтез ди - 2,4 - динитрофенилгидразона - N - (2'- метил- 3' - оксобутил) - 2,6 - дифенил - 3 - изопропилпиперидин - 4 - она. В круглодонной колбе, снабженной обратным холодильником, растворяют N- (2'-метил- 3'-оксобутил) - 2,6-дифенил - 3 - изопропилпиперидин - 4 - она 0,377г (0,001 моль) в 15мл этилового спирта. К реакционной смеси добавляют 2,4-динитрофенилгидразина 0,043г (0,002моль). Реакционную смесь нагревают в течении 6 часов. Ход реакции контролируют тонкослойной хроматографией на окиси алюминия. По окончании реакции, реакционную смесь охлаждают до комнатной температуры и оставляют для кристаллизации. Выпавшие кристаллы отфильтровывают, промывают спиртом, высушивают.

Получили 0,210 г темно – красного кристаллического вещества с  $T_{пл}$ =200-201°C. Rf=0,94 в системе гексан-диоксан (20:1).  $C_{37}H_{39}O_8N_9$ . Выход продукта составил 69%. ИК–спектр, см<sup>-1</sup>: 1646(C=N); 1257,5(N–N); 1336,6(NO<sub>2</sub>); 1211-1257 (N–C).

### 2.2.6 Синтез производных 2,6-ди-(п-N,N-диметиламинофенил)-3изопропилпиперидин-4-она

Синтез оксима 2,6— $\partial u$ —(n—N,N— $\partial$ иметиламино $\phi$ енил)—3—изопропилпипери $\partial$ ин—4—oна. В круглодонной колбе, снабженной обратным холодильником, в 10мл абсолютированного этилового спирта растворяют 0,38 (0,001моль) 2,6—ди—(п—N,N—диметиламино $\phi$ енил)—3—изопропилпиперидин—4— она и 0,07г (0,001) солянокислого гидроксиламина. Реакционную смесь кипятят в течение 8 часов периодически перемешивая. Ход реакции контролируют

тонкослойной хроматографией на незакрепленном слое окиси алюминия в системе гексан – диоксан (20:1).

По окончании реакции реакционную смесь охлаждают до комнатной температуры и оставляют на трое суток для кристаллизации. Выпавшие кристаллы отфильтровывают, промывают этиловым спиртом и высушивают. Перекристаллизовывают из ацетона.

Получают 0,3г (84%) белого кристаллического оксима 2,6-ди-(п-N,N-диметиламинофенил)-3-изопропилпиперидин-4-она с  $T_{пл}$ =80-82 $^{0}$ C.  $R_{f}$ =0,48 в системе гексан-диоксан (20:1).  $C_{24}H_{34}ON_{4}$ . ИК – спектр, см<sup>-1</sup>: 3242,0 (N-OH), 3390,0 (N-H), 1620,1 (C=N).

Синтез гидразона 2,6-ди-(n-N,N-диметиламинофенил)-3-изопропилпиперидин-4-она. В круглодонной колбе, снабженной обратным холодильником, в 10мл абсолютированного этилового спирта растворяют 3г (0,008моль) 2,6-ди-(п-N,N-диметиламинофенил)-3-изопропилпиперидин-4-она и 0,5г (0,008моль) солянокислого гидразина. Реакционную смесь кипятят в течение 9 часов, периодически перемешивая. Ход реакции контролируют тонкослойной хроматографией на незакрепленном слое окиси алюминия в системе гександиоксан (20:1).

По окончании реакции реакционную смесь охлаждают до комнатной температуры и оставляют на трое суток для кристаллизации. Выпавшие кристаллы отфильтровывают, промывают этиловым спиртом и высушивают. Перекристаллизовывают из ацетона.

Получают 1,5г (48%) белого кристаллического гидразона 2,6–ди–(п–N,N–диметиламинофенил)–3–изопропилпиперидин–4–она

с  $T_{nn}$ =95-96 $^{0}$ С.  $R_{f}$  = 0,42 в системе гексан-диоксан (20:1).  $C_{24}H_{35}N_{4}$ . ИК – спектр, см $^{-1}$ : 1560,8 (N-N), 3401,6 (N-H), 1631,6 (C=N).

Синтез фенилгидразона 2,6— $\partial u$ —(n—N,N— $\partial u$ метиламинофенил)—3—uзо-nропилпипери $\partial u$ н—4—oна.B круглодонной колбе, снабженной обратным холодильником, в 10мл абсолютированного этилового спирта растворяют 0,38г (0,001моль) 2,6—ди—(п—N,N—диметиламинофенил)—3—uзопропилпиперидин—4—

она и 0,14г (0,001моль) солянокислого фенилгидразина. Реакционную смесь кипятят в течение 6 часов, периодически перемешивая. Ход реакции контролируют тонкослойной хроматографией на незакрепленном слое окиси алюминия в системе гексан–диоксан (20:1).

По окончании реакции реакционную смесь охлаждают до комнатной температуры и оставляют на трое суток для кристаллизации. Выпавшие кристаллы отфильтровывают, промывают этиловым спиртом и высушивают. Перекристаллизовывают из ацетона.

Получают 0,35г (74%) белого кристаллического фенилгидразона 2,6-ди-(п-N,N-диметиламинофенил)-3-изопропилпиперидин-4-она

с  $T_{\pi\pi}$ =89-90°С.  $R_f=0,55$  в системе гексан-диоксан (20:1).  $C_{30}H_{39}N_5$ . ИК – спектр, см<sup>-1</sup>: 1557,2 (N-N), 3387,9 (N-H).

Синтез семикарбазона 2,6-ди-(n-N,N-диметиламинофенил-3-изопропилпиперидин-4-она. В круглодонной колбе, снабженной обратным холодильником, в 10мл абсолютированного этилового спирта растворяют 3г (0,008моль) 2,6-ди-(п-N,N-диметиламинофенил)-3-изопропилпиперидин-4-она и 0,89г (0,008моль) солянокислого семикарбазида. Реакционную смесь кипятят в течение 6 часов, периодически перемешивая. Ход реакции контролируют тонкослойной хроматографией на незакрепленном слое окиси алюминия в системе гексан-диоксан (20:1).

По окончании реакции реакционную смесь охлаждают до комнатной температуры и оставляют на трое суток для кристаллизации. Выпавшие кристаллы отфильтровывают, промывают этиловым спиртом и высушивают. Перекристаллизовывают из ацетона.

Получают 1,6г (43%) белого кристаллического семикарбазона 2,6–ди–(п– N,N–диметиламинофенил)–3–изопропилпиперидин–4–она

с  $T_{\text{пл}}$ =67-68°С.  $R_f$  = 0,26 в системе гексан-диоксан (20:1).  $C_{25}H_{36}ON_6$ . ИК – спектр, см<sup>-1</sup>: 3403,1 (N-H), 1625,7(C=N),1600,4(CONH<sub>2</sub>).

Синтез тиосемикарбазона 2,6— $\partial u$ —(n—N,N— $\partial$ иметиламинофенил)—3— изопропилиипери $\partial$ ин—4—она. В круглодонной колбе, снабженной обратным

холодильником, в 10мл абсолютированного этилового спирта растворяют 3 (0,008моль) 2,6-ди-(п-N,N-диметиламинофенил)-3-изопропилпиперидин-4-она и 1г (0,008моль) солянокислого тиосемикарбазида. Реакционную смесь кипятят в течение 6 часов, периодически перемешивая. Ход реакции контролируют тонкослойной хроматографией на незакрепленном слое окиси алюминия в системе гексан-диоксан (20:1).

По окончании реакции реакционную смесь охлаждают до комнатной температуры и оставляют на трое суток для кристаллизации. Выпавшие кристаллы отфильтровывают, промывают этиловым спиртом и высушивают. Перекристаллизовывают из ацетона.

Получают 1,4 г (39%) белого кристаллического тиосемикарбазона 2,6–ди– (п–N,N–диметиламинофенил)–3–изопропилпиперидин–4–она

с  $T_{nn}$ =74–75°С.  $R_f$  =0,38 в системе гексан-диоксан (20:1).  $C_{25}H_{36}SN_6$ . ИК – спектр, см<sup>-1</sup>:3405,4 (N-H), 1558,1 (N-N), 1368,3 (C=S).

# 2.2.7 Синтез углеводных производных 2,6-дифенил-3-изопропилпиперидин-4-она

Синтез N-( $\beta$ ,D-арабинопиранозил)-карбамида-2, $\delta$ -дифенил- $\delta$ -изопропилпиперидин- $\delta$ -она. В круглодонную колбу с установленным обратным холодильником помешают 1, $\delta$ г  $\alpha$ , $\delta$ -арабинозы, 0, $\delta$ г п-аминобензойной кислоты, 0, $\delta$ 6г винилмочевины, приливают  $\delta$ 6мл этилового спирта и  $\delta$ 6,3мл концентрированной соляной кислоты.

Смесь нагревают при T=75-76°C на водяной бане до полного растворения исходных продуктов на протяжении 2 часов. После раствор охлаждают до -5°C, к реакционной смеси приливают 1,25мл уксусной кислоты. Постепенно добавляя 1,38 г нитрита натрия, перемешивают в течении 1 часа и 2,93г 2,6-дифенил-3-изопропилпиперидин-4-она, растворенного в 50 мл этилового спирта порциями в течение 1 часа к охлажденной реакционной смеси. Раствор оставляют до выпадения осадка. Осадок отфильтровывают и перекристаллизовывают.

Выход составляет 2,4г (33%) N-(β,D-арабинопиранозил)-карбамида-2,6-дифенил-3-изопропилпиперидин-4-она кристаллы коричневого цвета.

Rf=0,69 (в системе бензол-диоксан 40:1);  $T_{\text{пл}}$ = 169°C.  $C_{26}H_{32}O_6N_2$ .

ИК – спектр, см<sup>-</sup>1:1035,1 (С–О–С); 3433,9, (ОН); 1306 (С-N-С); 755,8 (С–Н аром), 1589 см<sup>-1</sup> (Аг кольцо).

Синтез N-( $\beta$ ,L-рибозопироназил)-карбамида-2, $\delta$ -дифенил-3-изопропилпиперидин-4-она. В круглодонную колбу емкостью 500г мл снабженную обратным холодильником помещают 0,04г п-аминобензоиной кислоты, 0,82 г  $\alpha$ ,L-рибозы, 0,4 г винилмочевины, 10мл этанола и 0,1 мл концентрированной соляной кислоты. Смесь нагревают на кипящей водяной бане до полного растворения исходных продуктов в течение 2 часов. Раствор охлаждают до  $0^0$  С.

К охлажденной до  $-5^{0}$  С реакционной смеси прибавляют 1,25 мл ледяной уксусной кислоты. Затем в два приема добавляют 0,6 г нитрита натрия, поддерживая температуру реакционной смеси в пределах  $0-5^{0C}$  при перемешивании в течение 1 часа. Не выделяя образовавшуюся ( $\beta$ ,L-рамнозопиранозил)-N-нитрозомочевину, к реакционной смеси прибавляют небольшими порциями по 0,5-1,0 мл в течение 1 часа охлажденный до  $0^{0}$ С раствор 1,5 г 2,6-дифенил-3-изопропилпиперидин-4-она в 130 мл этанола, постоянно перемешивая. Реакционную смесь оставляют на ночь. Выпавший осадок отфильтровывают и перекристаллизовывают из этанола.

Получают 0,689 г (29%) N-( $\beta$ ,L-рибозопиранозил)-карбамида-2, 6-дифенил-3-изопропилпиперидин-4-она. Т<sub>пл</sub>=198-199 $^{\circ}$ C. Rf=0,3 в системе бензол-диоксан (60:1). С<sub>26</sub>H<sub>32</sub>O<sub>6</sub>N<sub>2</sub>. ИК – спектр, см<sup>-1</sup>: 3435 (N-H), 2962 (CH<sub>3</sub>), 1694 (CO), 1594 ,0 (Аг кольцо), 1305,6 (C-N-C).

Синтез N- $(\beta, D$ -ксилопиранозил)-карбамида-2,6-дифенил-3-изопропил - пиперидин-4-она. В круглодонную колбу с обратным холодильником помешают 0,75г  $\alpha$ ,D-ксилозы, 0,04г  $\pi$  – аминобензойной кислоты, 0,43г винилмочевины, приливают 30мл этилового спирта и 0,4мл концентрированной соляной кислоты.

Смесь нагревают при температуре 75-76°C на водяной бане до полного растворения исходных продуктов на протяжении 2 часов. Охлаждают раствор до

-5°C, к реакционной смеси приливают 1,25мл уксусной кислоты. Постепенно добавляя 0,34 г нитрита натрия, перемешивают в течение 1 часа. Раствор 1,46г 2,6-дифенил-3-изопропилпиперидин-4-она в 50мл этиловом спирте прибавляют по порциям в течение 1 часа к охлажденной реакционной смеси. Реакционную смесь оставляют до выпадения осадка. Осадок отфильтровывают и перекристаллизовывают из спирта.

Выход составляет 2,4г (42%) N- ( $\beta$ ,D-ксилопиранозил)-карбамида-2,6-дифенил-3-изопропилпиперидин-4-она. Т<sub>пл</sub>=213 $^{\circ}$ C. Rf=0,59 в системе бензол-диоксан (60:1). С<sub>26</sub>H<sub>32</sub>O<sub>6</sub>N<sub>2</sub>. ИК-спектр, см<sup>-1</sup>:3422,7 см<sup>-1</sup> (N-H), 2925,7 (vasCH<sub>3</sub>), 1719,9  $^{\circ}$  (C=O), 1604,7 (Ar кольцо), 1200,9 (C-N-C) 1083,8 (C-ON).

CинтезN-( $\beta$ -D- $\epsilon$ люкопироназил)-карбамида-2,6-дифенил-3-зопропилииперидин-4-она. В круглодонную колбу емкостью 500 мл, снабженную обратным холодильником, загружают 0,9 г  $\alpha$ ,D-глюкозы, 0,04 г  $\alpha$ -п-аминобензойной кислоты, 0,41 г винилмочевины, 10мл этанола и 0,1 мл концентрированной соляной кислоты. Смесь нагревают на кипящей водяной бане до полного растворения исходных продуктов в течение 1 часа. Раствор охлаждают до  $0^0$  С.

К охлажденной до  $-5^{\circ}$ С реакционной смеси прибавляют 1,25 мл ледяной уксусной кислоты. Затем в два приема добавляют 0,6 г нитрита натрия, поддерживая температуру реакционной смеси в пределах  $0-5^{\circ}$ С при перемешивании в течение 1 часа. Не выделяя образовавшуюся N-метил- $N^{1}$ -( $\beta$ -D-глюкопиранозил)-N-нитрозомочевину, к реакционной смеси прибавляют небольшими порциями по 0,5-1мл в течение 1 часа охлажденный до  $0^{\circ}$ С раствор 1,5г 2,6-дифенил-3-изопропилпиперидин-4-она в 50мл этанола, постоянно перемешивая. Реакционную смесь оставляют на ночь. Выпавший осадок отфильтровывают и перекристаллизовывают из этанола.

Получают 0,9 г (36%) N-( $\beta$ -D-глюкопиранозил)-карбамида-2,6-дифенил-3-изопропилпиперидин-4-она. Т<sub>пл</sub>=183-184 $^{0}$ C. Rf= 0,72 в системе бензол-диоксан (40:1). С<sub>27</sub>H<sub>34</sub>O<sub>7</sub>N<sub>2</sub>. ИК-спектр, см<sup>-1</sup>:1727 (C=O); 1240 (C-N); 3434 (N-H); 2961 (C-N).

Синтез N-(β-D-галактопироназил)-карбамида-2,6-дифенил-3-изопропилпиперидин-4-она. Смесь из 1,8 г α,D — галактозы, 0,08 г паминобензойной кислоты, 0,8 г винилмочевины, 30 мл этанола и 0,4 мл концентрированной соляной кислоты загружают в круглодонную колбу с обратным холодильником и нагревают на кипящей водяной бане до полного растворения исходных продуктов в течение 1 часа. К охлажденной до -5°C реакционной смеси прибавляют 5 мл ледяной уксусной кислоты, 3 г нитрита натрия растворенного в 4 мл воды, поддерживая температуру реакционной смеси в пределах 0-5°C при перемешивании в течение 1 часа. Не выделяя образовавшуюся N-метил-N¹-(β,D-галактопиранозил)-N-нитрозомочевину, к реакционной смеси прибавляют небольшими порциями по 0,5-1мл в течение 1 часа охлажденный до 0°C раствор 2,93 г 2,6-дифенил-3-изопропилпиперидин-4-она в 50 мл этанола, постоянно перемешивая. Реакционную смесь оставляют на ночь. Выпавший осадок отфильтровывают и перекристаллизовывают из этанола.

Получают 2,6 г (53%) N-( $\beta$ ,D-галактопиранозил)-карбамида-2,6-дифенил-3-изопропилпиперидин-4-она. Т<sub>пл</sub>= 185-186 $^{0}$ C. Rf= 0,72 в системе бензол-диоксан (40:1). С<sub>27</sub>H<sub>34</sub>O<sub>7</sub>N<sub>2</sub>. ИК-спектр, см<sup>-1</sup>:1726, 1625 (C=O); 1309, 1247 (C-N); 3389 (N-H); 1068 (C-O-C), 3207 (O-H).

Синтез N-( $\beta$ -D-мальтозил)-карбамида-2,6-дифенил-3-изопропилпиперидин-4-она. Смесь из 1,71 г  $\alpha$ ,D — мальтозы, 0,04 г  $\alpha$ -аминобензойной кислоты, 0,43 г винилмочевины, 10 мл этанола и 0,4 мл концентрированной соляной кислоты загружают в круглодонную колбу, снабженную обратным холодильником и нагревают на кипящей водяной бане до полного растворения исходных продуктов в течение 1 часа.

К охлажденной до  $-5^{\circ}$ С реакционной смеси прибавляют 1,25 мл ледяной уксусной кислоты, 0,3 г нитрита натрия растворенного в 0,96 мл воды, поддерживая температуру реакционной смеси в пределах  $0-5^{\circ}$ С при перемешивании в течение 1 часа. Не выделяя образовавшуюся N-метил- $N^{1}$ -( $\beta$ ,D-мальтозил)-N-нитрозомочевину, к реакционной смеси прибавляют небольшими порциями по 0,2 мл в течение 1 часа охлажденный до  $0^{\circ}$ С раствор 1,5 г 2,6-

дифенил-3-изопропилпиперидин-4-она в 25 мл этанола, постоянно перемешивая. Реакционную смесь оставляют на ночь. Выпавший осадок отфильтровывают и перекристаллизовывают из этанола.

Получают 0,6 г (42%) N-( $\beta$ ,D-мальтозил)-карбамида-2,6-дифенил-3-изопропилпиперидин-4-она. Т<sub>пл</sub>=180-181<sup>0</sup>С. Ход реакции контролируют методом тонкослойной хроматографии на пластинке Silufol в системе бензолдиоксан (40:1). Rf= 0,64. С<sub>33</sub>H<sub>44</sub>O<sub>12</sub>N<sub>2</sub>. ИК-спектр, см<sup>-1</sup>:1685 (C=O); 1309, 1241 (C-N); 1305 (C-O-C); 3432,1037 (O-H); 2960,1496 (CH<sub>3</sub>, CH<sub>2</sub>, iCH); 3060,3031 (СНаром); 1601,1500 (Аг кольцо).

Синтез N-( $\beta$ ,D-лактозил)-карбамида-2, $\delta$ -дифенил-3-изопропилпиперидин-4-она. В круглодонную колбу, вместимостью 200 мл помешают 1,71 г  $\alpha$ ,D-лактозы, п-аминобензойной кислоты (ПАБК) 0,137 г, винилмочевины 0,43 г, 30 мл этилового спирта и 0,4 моль соляной кислоты. Колбу устанавливают в водяную баню с обратным холодильником. Нагревают с до 75°C, чтобы спирт не улетучивался используется обратный холодильник. Поддерживают такую температуру до полного растворения.

К охлажденной до  $-5^{\circ}$ С реакционной смеси прибавляют 1,25 мл ледяной уксусной кислоты, 0,3 г нитрита натрия растворенного в 0,96 мл воды, поддерживая температуру реакционной смеси в пределах 0- $5^{\circ}$ С при перемешивании в течение 1 часа. Не выделяя образовавшуюся N-метил- $N^{1}$ -( $\beta$ , D-лактозил)-N-нитрозомочевину, к реакционной смеси прибавляют небольшими порциями по 0,2 мл в течение 1 часа охлажденный до  $0^{\circ}$ С раствор 1,605 г 2,6-дифенил-3-изопропилпиперидин-4-она в 45 мл этанола, постоянно перемешивая. Реакционную смесь оставляют на ночь. Выпавший осадок отфильтровывают и перекристаллизовывают из этанола.

Осадок отфильтровывают и перекристаллизовывают.

Выход составляет 1,1728 г (28%) N-(β-D-лактозил)-карбамида-2,6-дифенил-3-изопропилпиперидин-4-она кристаллы коричневого цвета.

 $T_{\text{пл}}$ =176°C. Rf=0,6 в системе бензол-диоксан (40:1).  $C_{33}H_{44}O_{12}N_2$ . ИК – спектр, см-1:1035 (С–О–С). 3430,6 (ОН). 1306,9 (С-N-С). 756,1 (С–Н аром). 1592,1 (Аг кольцо).

### **2.2.8** Синтез углеводных производных **2,6-дифенил-3-амилпиперидин 4-она**

*N-(β-D-ксилопиранозил)-карбамида-2,6-дифенил-3-амилпипери-*Синтез  $\partial u H - 4 - 0 H a$ . Смешивают 0,75г  $\alpha$ ,D-ксилозы, 0,068г п-аминобензойной кислоты, 10 мл этилового спирта, 0,18мл концентрированной соляной кислоты, 0,3мл ледяной уксусной кислоты в круглодонной колбе, снабженной обратным холодильником. Реакционную смесь нагревают на водяной бане один час. Спустя час в реакционною смесь добавляют 0,43 г винилмочевины, растворенной в 10мл этилового спирта и, продолжая перемешивание, нагревают в пределах 80°C минут. Затем добавляют, при перемешивании, 0,34 г нитрита натрия в 1 мл воды, в течение двадцати минут при перемешивании. Реакционную смесь охлаждают до 0 °C в ледяной бане и прикапывают 2мл ледяной уксусной кислоты. Не выделяя образовавшуюся N-метил- $N^1$ -( $\beta$ -D-ксилопиранозил)-Nнитрозомочевину, к реакционной смеси прибавляют небольшими порциями по 0.5-1мл, в течение 1 часа, охлажденный до  $0^{0}$ С раствор 1.6г 2.6-дифенил-3амилпиперидин-4-она в 50мл этанола. Ход реакции контролируют тонкослойной хроматографией. По окончании реакции оставляют реакционную смесь для кристаллизации на 14 часов. Выпавший осадок отфильтровывают и перекристаллизовывают этанола. Получают 1,8г (55%) $N-(\beta,D-$ ИЗ ксилопиранозил)-карбамида-2,6-дифенил-3-амилпиперидин-4-она (белый кристаллический осадок) с  $T_{nn}$  168-169°C; Rf = 0.79 в системе растворителей бензол-диоксан (60:1).  $C_{28}H_{36}O_6N_2$ . ИК – спектр, см<sup>-1</sup>: 3416 (N–H); 1242 (С–О–С); 3540 (OH); 1210,16 (C-N); 1210, 1147, 1090 (-C-O-).

Синтез N- $(\beta, D$ -арабинопиранозил)-карбамида-2,6-дифенил-3-амилпиперидин-4-она. Смешивают 0,75 г  $\alpha$ , D арабинозы, 0,02 г  $\pi$ -аминобензойной кислоты 10 мл этилового спирта, 0,08 мл соляной кислоты в трехгорлой круглодонной колбе, снабженной обратным холодильником. Реакционную смесь нагревают на водяной бане в течение часа. Спустя час в реакционную смесь приливают 0,43 г винилмочевины, растворенной в 10 мл этилового спирта и нагревают в течение двух часов в интервале температур 70-75°С. Охлаждают смесь и. спустя 20 минут прибавляют раствор нитрита натрия, подкисляют 0,12 мл уксусной кислоты. Через 10 минут, в течение часа прикапывали раствор кетона в этаноле. По окончании реакции оставиляют реакционную смесь на льду (-5°С) для кристаллизации на 18 часов. Выпавший осадок отфильтровывают, промывают этиловым спиртом и высушивают, перекристаллизовывали из этанола. Получены белые кристаллы N-( $\beta$ ,D-арабинопиранозил)-карбамида-2,6-дифенил-3-амилпиперидин-4-она, массой 0,52 г (21,03%).  $T_{пл}$ =188°С, Rf=0,36 в системе бензол-диоксан (60:1).  $C_{28}H_{35}O_6N_2$ .ИК-спектр, см<sup>-1</sup>: 3448,3 (N-H), 1209 (C-N), 1089 (C-O-C), 1719,8 (C=O).

Синтез N-(β,D-глюкопиранозил)-карбамида-2,6-дифенил-3-амилпипе-ридин-4-она. В круглодонную трехгорлую колбу, емкостью 200 мл, снабженную мешалкой, термометром и обратным холодильником помешают 1,8 г α,D-глюкозы, 0,14 г п – аминобензойной кислоты, 0,3 мл концентрированной соляной кислоты и 15 мл абсолютного спирта. Реакционную смесь нагревают на водяной бане при температуре 80°C в течение 1 часа. Затем к реакционной смеси прикапывают раствор 0,86 г винилмочевины в 10 мл этанола и продолжают, при перемешивании, нагревать на водяной бане еще в течение двух часов. К охлажденной до 0°C реакционной смеси добавиляют охлажденный раствор 0,69 г нитрита натрия в 1,5 мл воды и подкисляют 4 мл охлажденной ледяной уксусной кислоты. Затем в течение двух часов прикапывают охлажденный раствор 3,21 г 2,6 – дифенил – 3 – амилпиперидин – 4 – она в 120 мл этилового спирта и оставляют реакционную массу на 16 часов для более полного завершения реакции.

Выпавший белый кристаллический осадок отфильтровывают, промывают этиловым спиртом и высушивают. Перекристаллизовают из этанола. Получено 3,5 г (52,2%) N – ( $\beta$ ,D– глюкопиранозил)-карбамида-2,6 – дифенил – 3 – амилпеперидин – 4 – она с  $T_{nn}$ =170-171°C. Rf = 0,76 в системе растворителей

бензол-диоксан (60:1).  $C_{29}H_{33}O_7N_2$ . ИК – спектр, см<sup>-1</sup>: 3416 (N–H); 1719,1650 (C=O); 3430 (OH); 1249 (С–O–C); 1209, 1155, 1089 (С-N); 1039,1003 (С–O–H).

Синтез N-(β,D-галактопиранозил)-карбамида-2,6-дифенил-3-амилпиперидин-4-она. В круглодонной колбе, снабженной обратным холодильником, смешивают 0,9г α,D-галактозы, 0,3 мл соляной кислоты, 0,02 г паминобензойную кислоты и 15 мл этилового спирта. Смесь нагревают 1 час на водяной бане при температуре 75-80°С. Затем к реакционной смеси добавляют раствор 0,43г винилмочевины в 10мл спирта. Процесс нагрева продолжают еще 2 часа. После охлаждения реакционной смеси до 0°С вводят раствор 0,345г нитрита натрия в 0,75мл воды и подкисляют 0,125мл ледяной уксусной кислотой. В течение последующего часа кетон (ранее растворенный в 60 мл этанола) по каплям приливают к реакционной смеси. По окончании реакции оставляют реакционную смесь для кристаллизации на 14 часов.

Выпавший белый кристаллический осадок отфильтровывают, промывают этиловым спиртом и высушивают. Получают 1г (38,16%) N-( $\beta$ ,D-галактопиранозил)-карбамида-2,6-дифенил-3-амилпиперидин-4-она.  $T_{\text{пл}}=185-190$ °C. Rf=0,57 в системе: бензол-диоксан (60:1).  $C_{29}H_{33}O_2N_7$ . ИК-спектр см<sup>-1</sup>: 3415 (O-H); 1710 (C=O); 3415 (N-H); 1205 (C-O-C); 1647 (C-N).

Синтез N-( $\beta$ ,D-мальтозил)-карбамида-2, $\delta$ -дифенил-3-амилпиперидин-4-она. Смесь из 1,71 г  $\alpha$ ,D-мальтозы и 0,02 г  $\pi$ -аминобензойной кислоты, 10 мл этанола, 0,02 мл соляной кислоты загружают в круглодонную колбу, снабженную обратным холодильником, и нагревают 1 час на кипящей водяной бане до полного растворения продуктов.

Спустя час, к охлажденной реакционной смеси, добавляют 0,43 г винилмочевины, растворенной 10 мл этилового спирта. Смесь перемешивают еще 2 часа, поддерживая температуру 75°С. Затем добавляют 0,34 г нитрита натрия, поддерживая температуру -5°С. К охлаждённой реакционной смеси прибавляют 0,125 мл ледяной уксусной кислоты, после в течение 1часа, добавляют охлажденный раствор 1,605г 2,6-дифенил-3-амилпиперидин-4-она, растворенного в 50 мл этилового спирта, постоянно перемешивая. Реакционную

Выпавший ночь. остаток отфильтровывают смесь оставляют на перекристаллизовывают из этанола. Получают белое кристаллическое вещество N-( $\beta$ ,D-мальтозил)-карбамида-2,6-дифенил-3-амилпиперидин-4-она. Выход Т<sub>пл</sub>=197-198°С. Ход реакции контролируют (8,6%).методом тонкослойной хромотографией на пластинке Silufol в системе бензол-диоксан (60:1) Rf=0,58.  $C_{35}H_{48}O_{12}N_2$ . ИК – спектр, см<sup>-1</sup>: 3418,6 (N–H); 1718 (C=O); 3418,6 (ОН); 1202,4 (С-О-С); 1602 (С-N); 1602 (СНаром).

#### ГЛАВА III. РЕЗУЛЬТАТЫ СОБСТВЕННЫХ ИССЛЕДОВАНИЙ

#### 3.1 Синтез и свойства производных 2,6-дифенил-3-изопропилпиперидин-4она

Для исследований в области синтеза производных γ –пиперидонов нами были получены N- и C– замещенные 2,6-дифенил-3-изопропилпиперидин-4-она, формулы которых представлены на схеме 1.

В работе [61] детальным исследованием пространственного строения ниже приведенного кетона было установлено существование его в устойчивой форме

$$C_6H_5$$
  $C_3H_7$ 

«кресла», в которой обе фенильные и пропильная группы занимают термодинамически выгодное экваториальное положение. По аналогии это утверждение будет справедливо и для синтезированного нами кетона.

Физико-химические характеристики синтезированного 2,6-дифенил-3-изопропилпиперидин-4-она приведины в параграфе 2.1.Необходимо отметить что кетон обладает потенциальными физиологически активными свойствами такими как: противоэкземной, вазопротекторной, ноотропной, дерматологической, антибактерилаьной и др. (см. таблицы 3.1 и рис. 3.1). Антибактериальная активность кетона подтверждена протоколом (см. приложение 1).

Таблица 3.1-Компьютерный прогноз биологической активности по программе PASS исходного кетона

<u>[o</u>	Соединения	Противоэкзе- матический	Вазопротектор	нтибактериаль ый	отропный	Церматологичес кий	Противогельми нтный	Гротивовирусн ій
1	2,6-дифенил-3-	0,801/	0,692/	0,313/ HBIŇ	0,700/	дер (жиж (жиж	0,384/	d <sub>II</sub> , , , , , , , , , , , , , , , , , ,
	изопропилперидин-4-он.	0,018	0,011	0,055	0,041	0,039	0,049	0,040
		44,5	62,9	5,70	17,07	11,95	7,84	9,37

Схема 1. Производные 2,6-дифенил-3-изопропилпиперидин-4-она

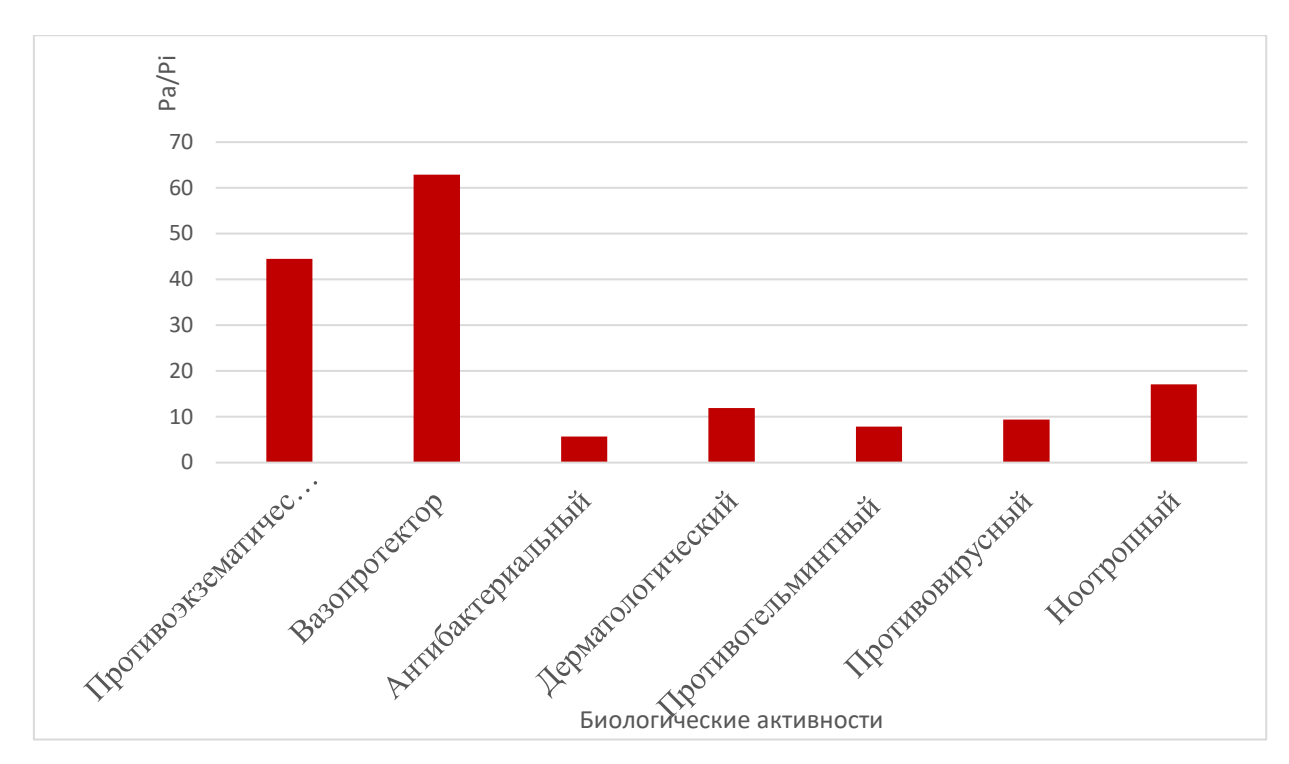


Рисунок 3.1 — Диаграмма физиологической активности 2,6-дифенил-3изопропилперидин-4-она по программе PASS

Далее в работе были получены и исследованы N-замещенные 2,6-дифенил-3-изопропилпиперидин-4-он по реакции Манниха. На их основе методом восстановления и по реакции Фаворского получены и исследованы стереоизомерные спирты.

Физико-химические характеристики N-замещенных 2,6-дифенил-3-изопропилпиперидин-4-она приведены в таблице 3.2. Из таблицы видно, что все полученные продукты характеризуется индивидуальными физико-химическими характеристиками. ИК-спектры синтезированных соединений приведены в приложении 3, рисунки 1,2,5,14,17,20 и в таблице 3.3.

Анализ ИК-спектров N– производных доказывает, что введение радикалов в молекулу исходного кетона успешно прошло по N-H связи. Об этом свидетельствует исчезновенние полосы поглощения валентных колебаний N-H связи (в исходном кетоне 3298,8 см<sup>-1</sup>) и появление полос поглощения валентных колебаний связи N-C в области 1299-1211см<sup>-1</sup> у синтезированных N-приоизводных. В таблице 3.4 и на рисунке3.2 представлен компьютерный прогноз биологической активности синтезированных N- производных 2,6-дифенил-3-изопропилпиперидин-4-она.

Таблица 3.2 — Физико — химические характеристики N —замещенных— 2.6 — дифенил — 3 — изопропилпиперидин — 4 — она

№	Название соединений	Брутто	Mr	Тпл	Rf	Вычислено
		формула	г/моль	°C		(найдено),
						%, N
1	2,6-дифенил-3-изопропилпиперидин-4-он	$C_{20}H_{23}ON$	293	119 – 121	0,83	4,78 (4,44)
2	N-метил-2,6-дифенил-3-изопропилпиперидин- 4-он	$C_{21}H_{25}ON$	307	108 – 109	0,91	4,56 (4,46)
3	N-этил-2,6-дифенил-3-изопропилпиперидин-4- он	$C_{22}H_{29}ON$	323	168-169	0,54	4,33 (4,26)
4	N-бензил-2,6-дифенил-3-изопропилпиперидин- 4-он	C <sub>27</sub> H <sub>29</sub> ON	383	134-135	0,62	3,65 (3,32)
5	N-(3'-м-нитрофенил-3'-оксопропил)-2,6- дифенил-3-изопропилпиперидин-4-он	$C_{29}H_{30}O_4N_2$	470	210	**0,92	5,96 (5,74)
6	N-(2'-метил-3'-оксобутил)-2,6-дифенил-3- изопропилпиперидин-4-он	$C_{25}H_{31}O_2N$	377	193-194	*0,68	3,71 (3,35)

Система: бензол – диоксан (40:1); \*гексан – диоксан (20:1); \*\*толуол – ацетон (3:1)

Таблица 3.3 – Характеристические полосы поглощения в ИК-спектрах N- замещенных γ – пиперидонов

№	Название соединений	N – H	C – N	C=O	С-Н алиф	NO <sub>2</sub>
		v, cm <sup>-1</sup>				
1	2,6-дифенил-3-изопропилпиперидин-4-он	3298		1701	2948	
2	N-метил-2,6-дифенил-3-изопропилпиперидин-4- он		1273	1711	2933	
3	N-этил-2,6-дифенил-3-изопропилпиперидин-4-он		1257	1720	2936	
4	N-бензил-2,6-дифенил-3-изопропилпиперидин-4- он		1219	1718	2923	
5	N-(3'-м-нитрофенил-3'-оксопропил)-2,6-дифенил- 3-изопропилпиперидин-4-он		1299	1720	2961	1357
6	N-(2'-метил-3'-оксобутил)-2,6-дифенил-3- изопропилпиперидин-4-он		1210	1723	2965	

Таблица 3.4 – Компьютерный прогноз биологической активности по программе PASS

	1 аолица 5.4 — Ком	присы							F F -				
No	Названия соединений	Противоэкзематический	Вазопротектор	Ноотропный	Лечение феномена Рейно	Ингибитор фосфотазы	Противопаркинсоничес кий	Дерматологический	Антибактериальный	Противогельминтный	Спазмолитик	Противоопухолевый	Противовирусный
1	2,6-дифенил-3- изопропилперидин-4-он.	0,801/ 0,018 <b>44,5</b>	0,692/ 0,011 <b>62,9</b>	0,700/ 0,041 <b>17,07</b>	0,334/ 0,014 <b>23,86</b>	0,652/ 0,026 <b>25,07</b>	0,243/ 0,093 <b>2,61</b>	0,466/ 0,039 <b>11,95</b>	0,313/ 0,055 <b>5,69</b>	0,384/ 0,049 <b>7,84</b>	0,310/ 0,142 <b>2,18</b>	0,343/ 0,128 <b>2,67</b>	0,375/ 0,040 <b>9,38</b>
2	N-метил-2,6-дифенил-3- изопропилпиперидин-4-он	0,749/ 0,030 <b>24,97</b>	0,725/ 0,009 <b>80,56</b>	0,817/ 0,014 <b>58,36</b>	0,331/ 0,014 <b>23,64</b>	0,635/ 0,032 <b>19,84</b>	0,358/ 0,019 <b>18,84</b>	0,410/ 0,051 <b>8,04</b>	0,250/ 0,083 <b>3,01</b>	0,390/ 0,046 <b>8,47</b>	0,430/ 0,043 <b>10</b>	0,310/ 0,032 <b>9,69</b>	0,412/ 0,100 <b>4,12</b>
3	N-этил-2,6-дифенил-3- изопропилпиперидин-4-он	0,771/ 0,025 <b>30,84</b>	0,578/ 0,023 <b>25,13</b>	0,811/ 0,015 <b>54,07</b>	0,315/ 0,021 <b>15</b>	0,634/ 0,032 <b>19,81</b>	0,365/ 0,018 <b>20,28</b>	0,345/ 0,068 <b>5,0</b> 7	0,253/ 0,148 <b>1,71</b>	0,368 0,057 <b>6,46</b>	0,372/ 0,059 <b>6,30</b>	0	0,471/ 0,009 <b>52,33</b>
4	N-бензил-2,6-дифенил-3- изопропилпиперидин-4-он	0,748/ 0,031 <b>24,13</b>	0,528/ 0,033 <b>16</b>	0,780/ 0,021 <b>37,14</b>	0,307/ 0,025 <b>12,28</b>	0,630/ 0,034 <b>18,52</b>	0,330/ 0,042 <b>7,86</b>	0,339/ 0,070 <b>4,84</b>	0	0,262/ 0,149 <b>1,75</b>	0,317/ 0,136 <b>2,33</b>	0,355/ 0,153 <b>2,3</b>	0,354/ 0,052 <b>6,8</b>
5	N-(3'-м-нитрофенил-3'- оксопентил)-2,6-дифенил-3- изопропилпиперидин-4-он	0,678/ 0,053 <b>12,79</b>	0,351/ 0,106 <b>2,97</b>	0,606/ 0,074 <b>8,19</b>	0,276/ 0,052 <b>5,31</b>	0,565/ 0,066 <b>8,56</b>	0,268/ 0,074 <b>3,62</b>	0,245/ 0,122 <b>2,01</b>	0,256/ 0,113 <b>2,27</b>	0	0,367/ 0,061 <b>6,01</b>	0,157/ 0,098 <b>1,6</b>	0,311 0,080 <b>3,89</b>
6	N-(2'-метил-3'-оксобутил)-2,6- дифенил-3- изопропилпиперидин-4-он	0,400/ 0,199 <b>2,01</b>	0	0	0,268/ 0,062 <b>4,32</b>	0,423/ 0,170 <b>2,49</b>	0,204/ 0,132 <b>1,55</b>	0	0	0,203/ 0,096 <b>2,11</b>	0	0,275/ 0,080 <b>3,43</b>	0

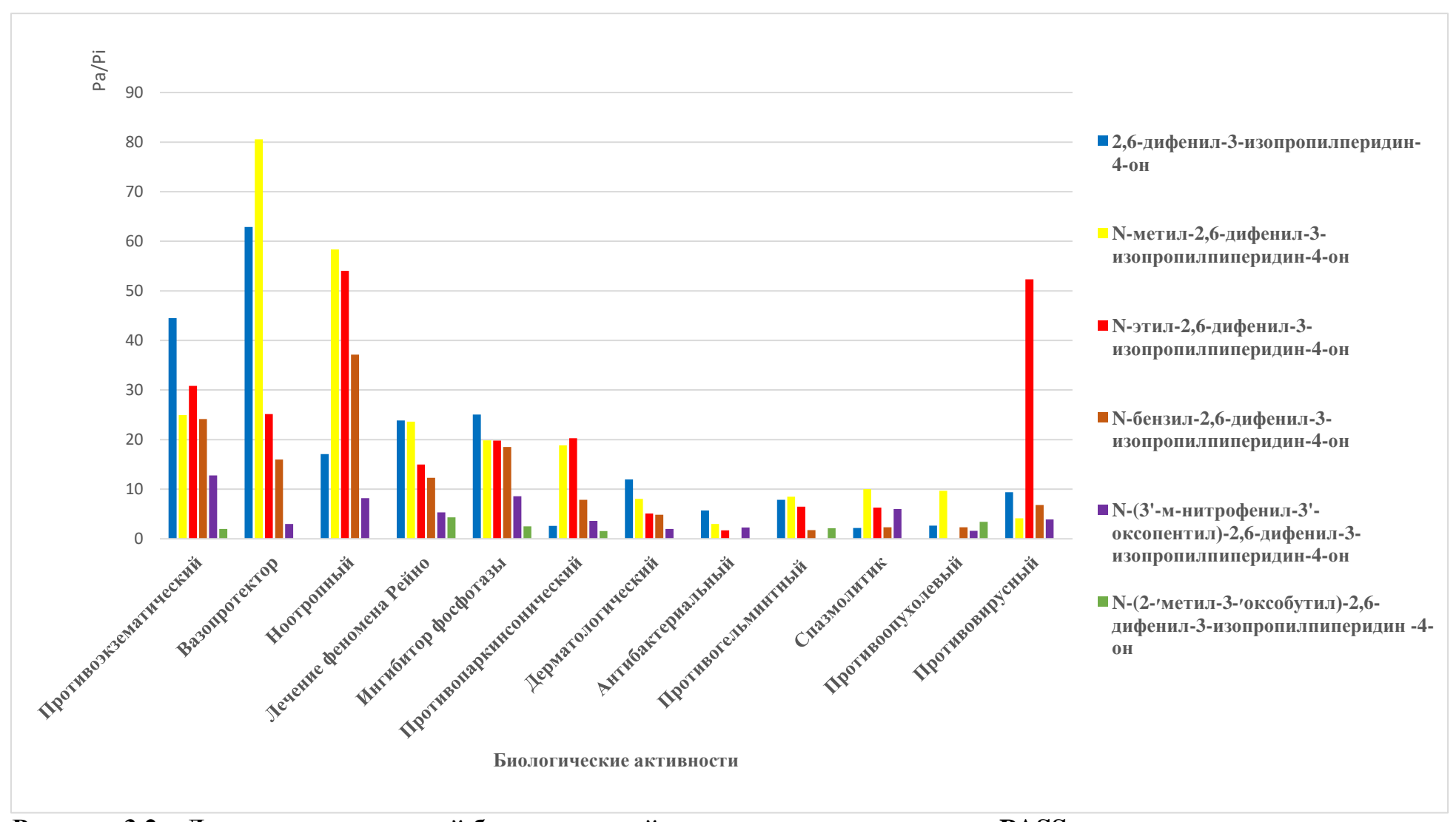


Рисунок 3.2 – Диаграмма вероятной биологической активности по программе PASS синтезированных веществ

Из рисунка 3.2.легко видеть, что у некоторых N- производных биологическая активность выше, чем у исходного кетона.

#### Синтез стереоизомерных фенилэтинилпиперидонов

Синтез N-метил-2,6-дифенил-3-изопропил-4-фенилэтинилпиперидин-4-олов. Далее с целью синтеза новых потенциально физиологически активных веществ синтезированы конденсацией N-метил-2,6-дифенил-3-изопропилпиперидин-4-она с фенилацетиленом в условиях реакции Фаворского стереоизомерные фенилэтинилпиперидолы (Схема 2).

Получена смесь стереоизомеров N-метил-2,6-дифенил-3-изопропил-4-фенилэтинилпиперидин-4-олов (III, IV) с выходом 52%.

Схема 2. 
$$C_6H_5$$

$$C_7$$

При тонкослойном хроматографировании на окиси алюминия индивидуальных изомеров (III) и (IV) были определены значения Rf в системе бензол-диоксан в соотношении (60:1), соответственно равные 0,75 и 0,82. Согласно правилу Бартона [62] изомеры с экваториальной гидроксильной группой адсорбируются сильнее, чем аксиальные. Следовательно, изомеру (III) Rf=0,75 следует приписать экваториальную ориентацию гидроксильной группы при C4 атоме углерода пиперидинового цикла, а изомеру (IV) Rf=0,82

аксиальную. К такому же выводу об ориентации гидроксильных групп у изомеров (III) и (IV) пришли, анализируя параметры полос валентных колебаний в ИК – спектрах поглощения. Для изомера (III) валентные колебания С – О связи находятся в области 1079 см<sup>-1</sup>, а для изомера (IV) в области 1053 см<sup>-1</sup>. Согласно литературным данным [63,64] валентные колебания связи С–О для стереоизомеров с экваториально ориентированным гидроксилом лежат в более высокочастотной области, чем для аксиального.

Согласно литературным данным у спиртов с экваториально ориентированным гидроксилом частоты валентных колебаний связи О-Н лежат в более низкочастотной области, чем у аксиальных спиртов. В соответствие с этим, фенилацетиленовый спирт (III), имеющий интенсивную частоту поглощения О-Н в области 3412 см<sup>-1</sup>, должен иметь экваториальный гидроксил. Изомерный спирт (IV) имеет полосу поглощения связи О-Н с частотой 3422 см<sup>-1</sup>, следовательно имеет аксиально ориентированный гидроксил у С<sub>4</sub> атома пиперидинового цикла. (см. Приложение 3. Рисунок 2,3,4.)

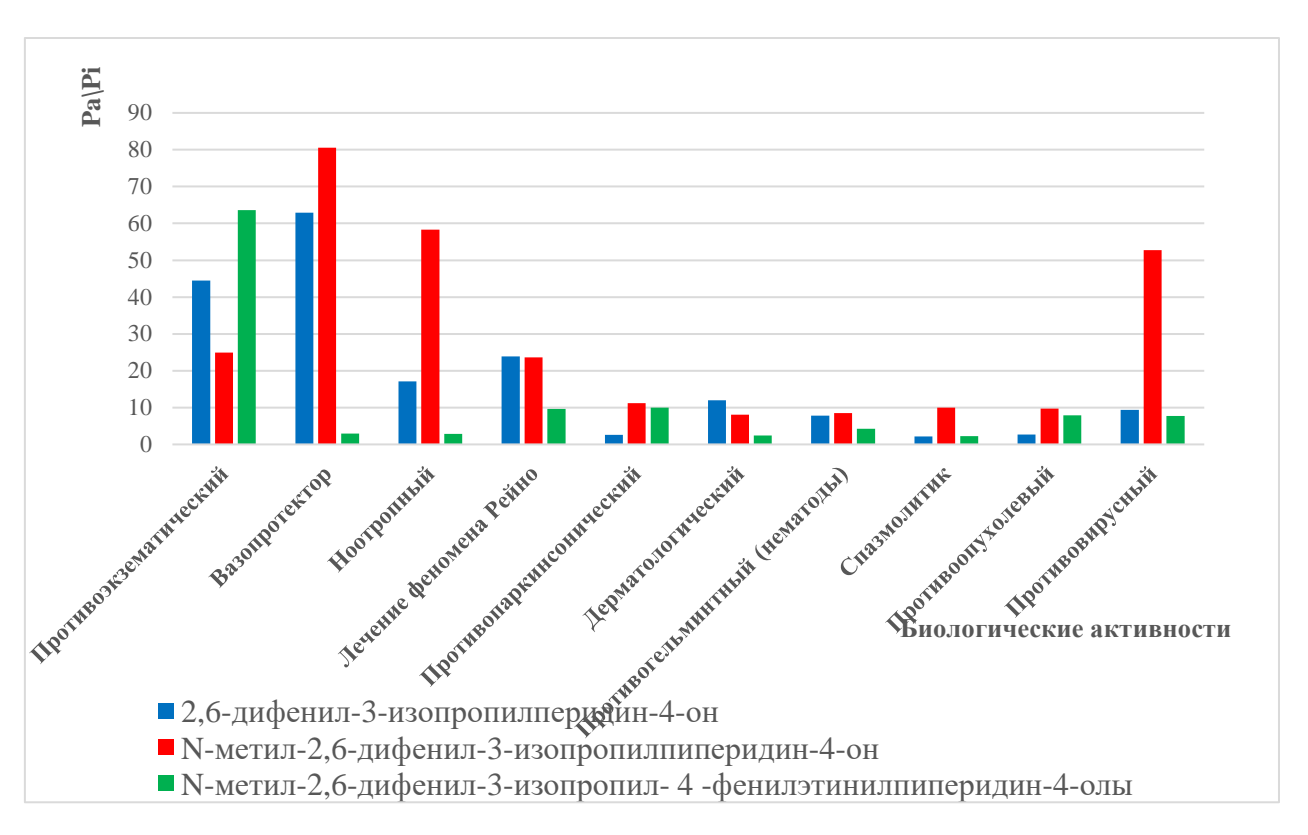


Рисунок 3.3-Диаграмма вероятной биологической активности по программе PASS

Таблица 3.5 – Физико – химические характеристики N-метил-2,6-дифенил-3-изопропилпиперидин-4-она и его производных

№	Названия соединений	Брутто формула	Mr г/моль	Тпл ∘С	Rf	Вычислено % (найдено)%, N
1.	N-метил-2,6-дифенил-3- изопропилпиперидин-4-он	C <sub>21</sub> H <sub>25</sub> ON	307	108 – 109	*0,93	4,56 (4,46)
2.	N- метил $-2,6-$ дифенил $-3-$ изопропил $-4-$ фенилэтинилпиперидин $-4-$ ол (e)	C <sub>29</sub> H <sub>31</sub> ON	409	127 -128	0,75	3,54 (3,60)
3.	N — метил—2,6—дифенил—3—изопропил—4 — фенилэтинилпиперидин — 4 — ол (а)	$C_{29}H_{31}ON$	409	185 -186	0,82	3,54 (3,63)

Таблица 3.6 - Характеристические полосы поглощения в ИК-спектрах N-метил-2,6-дифенил-3изопропилпиперидин-4-она и его производных

No	Названия соединений	C-N	C = O	С <sub>алиф</sub> -Н	O – H	C≡C	C-O
		v, cm <sup>-1</sup>	v, cm <sup>-1</sup>	v, cm <sup>-1</sup>	v, cm <sup>-1</sup>	v, cm <sup>-1</sup>	v, cm <sup>-1</sup>
1	N-метил-2,6-дифенил-3-изопропил-	1273	1711	2960			
	пиперидин-4-он						
2	N – метил – 2,6 – дифенил – 3 – изопропил	1265			3412	2099	1079
	– 4 – фенилэтинилпиперидин – 4 – ол (e)						
3	N – метил – 2,6 – дифенил – 3 – изопропил	1265			3422	2222	1053
	– 4 – фенилэтинилпиперидин – 4 – ол (a)						

Таблица 3.7 – Компьютерный прогноз биологической активности по программе PASS ( Pa/Pi)

№	Названия соединений	Противоэкзематический	Вазопротектор	Ноотропный	Лечение феномена Рейно	Противопаркинсонически й	Дерматологический	Противогельминтный (нематоды)	Спазмолитик	Противоопухолевый	Противовирусный
1	2,6-дифенил-3-	0,801/	0,692/	0,700/	0,334/	0,243/	0,466/	0,384/	0,310/	0,343/	0,375/
	изопропилперидин-4-он	0,018	0,011	0,041	0,014	0,093	0,039	0,049	0,142	0,128	0,040
		44,5	62,9	17,07	23,85	2,61	11,94	7,83	2,18	2,67	9,37
2	N-метил-2,6-дифенил-3-	0,749/	0,725/	0,817/	0,331/	0,358/	0,410/	0,390/	0,430/	0,310/	0,475/
	изопропилпиперидин-4-он	0,030	0,009	0,014	0,014	0,019	0,051	0,046	0,043	0,032	0,009
		24,96	80,55	58,3	23,64	11,21	8,03	8,47	10	9,68	52,77
3	N-метил-2,6-дифенил-3-	0,827/	0,340/	0,462/	0,299/	0,309/	0,266/	0,334/	0,313/	0,294/	0,362/
	изопропил- 4 -фенил-	0,013	0,116	0,163	0,031	0,031	0,108	0,079	0,139	0,037	0,047
	этинилпиперидин-4-олы	63,61	2,93	2,83	9,64	9,96	2,46	4,22	2,25	7,94	7,70

Для полученых изомерных спиртов опредлены физико-химические характеристики (таблицы 3.5. и 3.6), а также осуществлены расчеты компьютерного прогноза биологической активности, представленные в таблице 3.7. и на рисуноке – 3.3.

Синтез N-этил-2,6-дифенил-3-изопропилпиперидин-4-олов. Поскольку N-этил-2,6-дифенил-3-изопропилпиперидин-4-он обладает паталогически активными свойствами (табл 3.4). на его основе были синтезированы стереоизомерные спирты (Схема 3)

## Схема 3.

При восстановлении соединения (V) были получены изомеры (VI-VII). Реакция проводилась натрием в абсолютном этиловом спирте. Согласно схеме N-этил-2,6-дифенил-3-изопропилпиперидин-4-он (V) взаимодействует водородом, в момент его выделения при взаимодействии этилового спирта с металлическим В результате реакции образуется натрием. смесь [65]. стереоизомерных спиртов Методом дробной кристаллизации абсолютного спирта смесь спиртов была разделена на индивидуальные изомеры (аксиальный и экваториальный). Как уже было сказано выше, спирты с аксиальной гидроксильной группой адсорбируется слабее, чем спирты с экваториальной гидроксильной группой, поэтому спирту с Rf=0,69 приписали структуру с аксиальным расположением гидроксильной группы, а спирту со значением Rf=0,54 приписали структуру с экваториальным расположением гидроксильной группы. В ИК-спектрах валентные колебание С-О связи у изомера с экваториально расположенным гидроксилом имеет более высокую частоту (1020-1050 см<sup>-1</sup>), по сравнению с аксиальным (950-1000 см<sup>-1</sup>). А валентные колебание О-Н связи у изомеров с экваториально расположенным гидроксилом имеет более низкую частоту по сравнению с аксиально расположенной гидроксильной группой. (см. Приложение 3, рисуноки 5,6,7.)

Индивидуальность полученных спиртов (VI-VII) контролировалась методом тонкослойной хроматографии (на незакрепленном слое окиси алюминия) в системе бензол-диоксан (40:1) и методом ИК-спектроскопии (см.таблицы 3.8. и 3.9).

Синтез N-этил-2,6-дифенил-3-изопропил-4-О-бензоилпиперидинов. В дальнейшем для подтверждение пространственной ориентации заместителей при С<sub>4</sub> полученных спиртов (VI-VII) атома гетероцикла было проведена реакция ацилирования их хлористым бензоилом. Синтез N-этил-2,6-дифенил-3-изопропил-4-О-бензоилпиперидинов проводился с использованием свежеперегнанного хлористого бензоила в присутствии ледяной уксусной кислоты (Схема 4).

#### Схема 4.

$$C_{6}H_{5}$$

$$C_{1}H_{2}$$

$$C_{1}H_{3}$$

$$C_{1}H_{3}$$

$$C_{2}H_{5}$$

$$C_{2}H_{5}$$

$$C_{1}H_{3}$$

$$C_{1}H_{3}$$

$$C_{2}H_{5}$$

$$C_{1}H_{3}$$

$$C_{1}H_{3}$$

$$C_{2}H_{5}$$

$$C_{1}H_{3}$$

$$C_{1}H_{3}$$

$$C_{2}H_{5}$$

$$C_{2}H_{5}$$

$$C_{1}H_{3}$$

$$C_{1}H_{3}$$

$$C_{2}H_{5}$$

$$C_{2}H_{5}$$

$$C_{3}H_{5}$$

$$C_{4}H_{5}$$

$$C_{5}H_{5}$$

$$C_{6}H_{5}$$

$$C_{7}H_{7}$$

$$C_{8}H_{5}$$

$$C_{1}H_{7}$$

$$C_{1}H_{7}$$

$$C_{1}H_{7}$$

$$C_{1}H_{7}$$

$$C_{2}H_{5}$$

$$C_{1}H_{7}$$

$$C_{2}H_{5}$$

$$C_{2}H_{5}$$

$$C_{3}H_{5}$$

$$C_{4}H_{5}$$

$$C_{5}H_{5}$$

$$C_{7}H_{7}$$

$$C_{8}H_{7}$$

$$C_{$$

Ледяная уксусная кислота необходима для того, чтобы реакция пошла по гидроксильной группе спирта. Реакция проводилась при температуре 100°C.

Ход синтеза и чистоту полученных соединений (VIII-IX) контролировали методом тонкослойной хроматографии (на незакрепленном слое окиси алюминия) в системе бензол-диоксан (40:1) и методом ИК-спектроскопии.

Из литературных данных известно, что в ИК-спектрах сложных эфиров экваториальных спиртов наблюдается синглетная полоса в области 1200-1260 см<sup>-1</sup>, а для сложных эфиров аксиальных спиртов мультиплетная полоса в той же области [66]. И так, у изомера (VIII) в ИК-спектре наблюдаются следующие полосы поглощения: (С–О–С) 1243, 1250 см<sup>-1</sup>. А у изомера (IX) в ИК-спектре наблюдается полоса поглощения: (С–О–С) 1200 см<sup>-1</sup>. (См. Приложение 3. Рисунок 8,9.)

Синтез N-этил -2,6-дифенил-3-изопропил-4-этинилпиперидин-4-олов. Далее в работе конденсацией N-этил -2,6-дифенил-3-изопропилпиперидин-4-она (V) с ацетиленом в условиях реакции Фаворского было получено 7,8 г смеси изомеров N-этил -2,6-дифенил-3-изопропил-4-этинилпиперидин -4-олов (X,XI), отличающихся расположением гидроксильной группы у  $C_4$  атома углерода пиперидинового цикла. Схема 5.

#### Схема 5.

Дробной кристаллизацией из абсолютного этанола были выделены: N-этил-2,6-дифенил-3-изопропил-4-этинилпиперидин-4-ол (X) сТпл=121-122 °C, Rf=0,57 и N-этил-2,6-дифенил3-изопропил-4-этинилпиперидин-4-ол (XI) сТпл=124-125 °C, Rf=0,39. Индивидуальность стереоизомерных ацетиленовых

спиртов контролировалась хроматографированием в тонком слое окиси алюминия в системе бензол-диоксан (60:1). По аналогии с ранее рассмотренными стереоизомерными спиртами, ацетиленовому пиперидолу (XI), имеющему меньшую величину Rf, приписали экваториальное расположение гидроксильной группы, а стереоизомеру (X) с большим значением Rf-аксиальную ориентацию гидроксила.Таким образом, выделенные изомеры этиниловых пиперидола являются стереоизомерами по C<sub>4</sub>.

Изучение ИХ ИК-спектров, ПО справедливости предположений пространственной ориентации гидроксильной группе у С<sub>4</sub> углеродного атома пиперидинового цикла, сделано на основании данных [67]. Известно, что у стереоизомерных спиртов частоты валентных колебаний связи С-О различаются. В соответствии с этим, этиниловый спирт (X), имеющий интенсивную полосу поглощения связи О-Н в области 3429см-1 и полосу поглощения связи С-О в области 1021см<sup>-1</sup>, должен иметь аксиально ориентированный гидроксил, а спирт (XI) имеющий интенсивную полосу поглощение связи О-Н с частотой 3343см<sup>-1</sup> и полосу поглощения связи С-О в области 1042 см-1, имеет экваториально ориентированный гидроксил у С<sub>4</sub> атома пиперидинового цикла. В дальнейшем для подтверждения пространственной ориентации заместителей при С<sub>4</sub> атоме гетероцикла соединений (X-XI) была проведена реакция их ацилирования хлористым бензоилом. Реакция проводилась при температуре 100°С в присутствии ледяной уксусной кислоты (Схема 6).

Ход синтеза и чистота полученных соединений (XII-XIII) контролировались методом тонкослойной хроматографии (на незакрепленном слое окиси алюминия) в системе бензол-диоксан (40:1).

В ИК-спектрах сложных эфиров экваториальных спиртов наблюдается синглетная полоса в области, а для сложных эфиров аксиальных спиртов мультиплетная полоса в области [68,69]. Основываясь на изложенных выше закономерностях, приписали N-этил-2,6-дифенил-3-изопропил-4-этинилпиперидин-4-олу (XII) имеющему в сложном эфире полосы поглощения (С-О-С) связи

в областях 1248см<sup>-1</sup> ,1257см<sup>-1</sup> конфигурацию с аксиально расположенным гидроксилом, а его стероизомеру (XIII), имеющему в сложном эфире полосу

### Схема 6.

$$C_{6}H_{5} \xrightarrow{OH} C = CH$$

$$C_{6}H_{5} \xrightarrow{CH_{2}} C_{6}H_{5} \xrightarrow{CH_{3}} CH_{3}$$

$$C_{6}H_{5}COCI \xrightarrow{CH_{3}} CH_{3}$$

$$C_{6}H_{5}COCI \xrightarrow{CH_{3}} CH_{3}$$

$$C_{6}H_{5}COCI \xrightarrow{CH_{3}} CH_{3}$$

$$C_{6}H_{5}COCI \xrightarrow{CH_{4}} CH_{3}$$

$$C_{6}H_{5}COCI \xrightarrow{CH_{2}} CH_{4}$$

$$C_{6}H_{5}COCI \xrightarrow{CH_{2}} CH_{4}$$

$$C_{6}H_{5}COCI \xrightarrow{CH_{2}} CH_{5} CH_{3}$$

$$CH_{2} C_{6}H_{5} CH_{3}$$

$$CH_{2} C_{6}H_{5} CH_{3}$$

$$CH_{2} C_{6}H_{5} CH_{3}$$

$$CH_{3} (XII)$$

$$CH_{2} C_{6}H_{5} CH_{3}$$

$$CH_{3} (XIII)$$

$$CH_{2} C_{6}H_{5} CH_{3}$$

$$CH_{3} (XIII)$$

поглощения (C-O-C) связи в области 1251см<sup>-1</sup> конфигурацию с экваториально расположенным гидроксилом при  $C_4$  атоме пиперидинового кольца. (см. Приложение 3. Рисунки 10,11,12,13.)

Физико-химические характеристики, рассмотренных выше соединений, приведены в таблицах 3.8. и 3.9. а их биологическая активность в таблице 3.10 и на рисунке 3.4.

Синтез N-(3'-м-нитрофенил-3'-оксопропил)-2,6-дифенил-3-изопропил-4этинилпиперидин -4-олов. На основании соединения (XIV) были синтезированы соединения N-(3'-м-нитрофенил-3'-оксопропил)-2,6-дифенил-3-изопропилэтинилпиперидин-4-олы (XV) и (XVI) (Схема 7). Реакция проводилась по методу А.Е. Фаворского в присутствии порошкообразного едкого кали. В среде абсолютного диэтилового эфира. Индивидуальные стереоизомеры выделялись разными способами:

а) К одной части (10 г) смеси стереоизомеров приливали 25 мл 5 % раствора

Таблица 3.8 – Физико - химические характеристики N-этил-2,6-дифенил-3-изопропилпиперидин-4-она и его производных

№	Названия соединений	Брутто	Mr	Тпл	Rf	Вычислено %
		формула	г/моль	°C		(найдено)%, N
1	N-этил-2,6-дифенил-3-	$C_{22}H_{28}ON$	322	115-116	*0,72	4,3 (4,4)
	изопропилпиперидин-4-она					
2	N-этил-2,6-дифенил-3-	$C_{22}H_{29}ON$	323	168-169	*0,54	4,33 (4,26)
	изопропилпиперидин-4-ол (е)					
3	N-этил-2,6-дифенил-3-	$C_{22}H_{29}ON$	323	198	*0,69	4,33 (4,25)
	изопропилпиперидин-4-ол (а)					
4	N-этил-2,6-дифенил-3-изопропил-4-O-	$C_{29}H_{33}O_2N$	427	107	0,21	
	бензоилпиперидин (е)					
5	N-этил-2,6-дифенил-3-изопропил-4-О-	$C_{29}H_{33}O_2N$	427	123	0,34	
	бензоилпиперидин (а)					
6	N-этил -2,6-дифенил-3-изопропил-4-	$C_{24}H_{29}ON$	347	121-122	0,39	4,3 (3,9)
	этинилпиперидин -4- ол (е)					
7	N-этил -2,6-дифенил-3-изопропил-4-	$C_{24}H_{29}ON$	347	124-125	0,57	
	этинилпиперидин -4- ол (а)					
8	N-этил-2,6-дифенил-3- изопропил-4-	$C_{31}H_{33}O_2N$	451	199	*0,45	3,10 (3,05)
	этинил-4-О-бензоилпиперидин (е)					
9	N-этил-2,6-дифенил-3- изопропил-4-	$C_{31}H_{33}O_2N$	451	216	*0,62	3,10 (3,07)
	этинил-4-О-бензоилпиперидин (а)	- 3133 - 2- \			-,	-, (-,,
C	этинил-4-О-оензоилпиперидин (а)	((0.1)				

Система: \*бензол-диоксан (40:1), бензол-диоксан (60:1)

Таблица 3.9 – Характеристические полосы поглощения в ИК-спектрах N-этил-2,6-дифенил-3 -изопропилпиперидин-4-она и его производных

№	Названия соединений	C=O	N-C	С-О	О-Н	C≡C	C – O – C
		v, cm <sup>-1</sup>	v, cm <sup>-1</sup>	v, см <sup>-1</sup>	v, cm <sup>-1</sup>	v, cm <sup>-1</sup>	v, см <sup>-1</sup>
1	N-этил-2,6-дифенил-3-	1720	1257				
2	изопропилпиперидин-4-он N-этил-2,6-дифенил-3- изопропилпиперидин-4-ол (е)			1050	3386		
3	N-этил-2,6-дифенил-3- изопропилпиперидин-4-ол (a)			1028	3400		
4	N-этил-2,6-дифенил-3-изопропил-4- О-бензоилпиперидин (e)						1257
5	N-этил-2,6-дифенил-3-изопропил-4- О-бензоилпиперидин (a)						1243, 1250
6	N-этил -2,6-дифенил-3-изопропил-4- этинилпиперидин -4- ол (e)		1227	1042	3343	3243	
7	N-этил -2,6-дифенил-3-изопропил-4- этинилпиперидин -4- ол (a)		1227	1021	3429	3300	
8	N-этил-2,6-дифенил-3- изопропил-4- этинил-4-О-бензоилпиперидин (e)						1251
9	N-этил-2,6-дифенил-3- изопропил-4-						1248
	этинил-4-О-бензоилпиперидин (а)						2357

Таблица 3.10 – Компьютерный прогноз биологической активности по программе PASS

Nº	Названия соединений	Ноотропный	Противоэкземическ ий	Антигипоксический	Вазопротектор	Антиневротический протектор	Противовирусный (аденовирус)	Промотр инсулина	Аналептик	Спазмолитик	Противогельментны й	Анастетик
1	N-этил-2,6-дифенил-3-	0,811/	0,771/	0,622/	0,578/	0,589/	0,471/	0	0,462/	0,372/	0,368/	0,282/
	изопропилпиперидин-4-она	0,015	0,025	0,015	0,023	0,075	0,009		0,038	0,059	0,057	0,044
		54,07	30,84	41,47	25,13	7,85	52,33		12,16	6,30	6,46	6,41
2	N-этил-2,6-дифенил-3-	0,623/	0,767/	0,629/	0,626/	0,477/	0,416/	0,614/	0,588/	0,536/	0,417/	0,478/
	изопропилпиперидин-4-олов	0,067	0,026	0,015	0,017	0,121	0,023	0,013	0,021	0,022	0,036	0,012
		9,30	29,5	41,9	36,82	3,94	18,09	47,23	28	24,36	11,58	39,83
3	N-этил-2,6-дифенил-3-	0,583/	0,704/	0,451/	0	0	0,371/	0,480/	0,612/	0,689/	0,335/	0,753/
	изопропил-4-О-	0,084	0,044	0,054			0,042	0,034	0,018	0,008	0,078	0,004
	бензоилпиперидин	6,94	16	8,35			8,83	14,11	34	86,13	4,29	188,25
4	N-этил -2,6-дифенил-3-	0,481/	0,560/	0,353/	0	0	0,344/	0	0,337/	0,304/	0	0
	изопропил-4-	0,146	0,105	0,111			0,058		0,089	0,147		
	этинилпиперидин -4- олов	3,29	5,33	3,18			5,93		3,79	2,07		
5	N-этил-2,6-дифенил-3-	0,396/	0,653/	0	0	0	0,261/	0,263/	0,241/	0,435/	0	0,413/
	изопропил-4-этинил-4-О-	0,220	0,063				0,126	0,195	0,141	0,068		0,017
	бензоилпиперидин	1,8	10,37				2,07	1,35	1,71	6,40		24,29

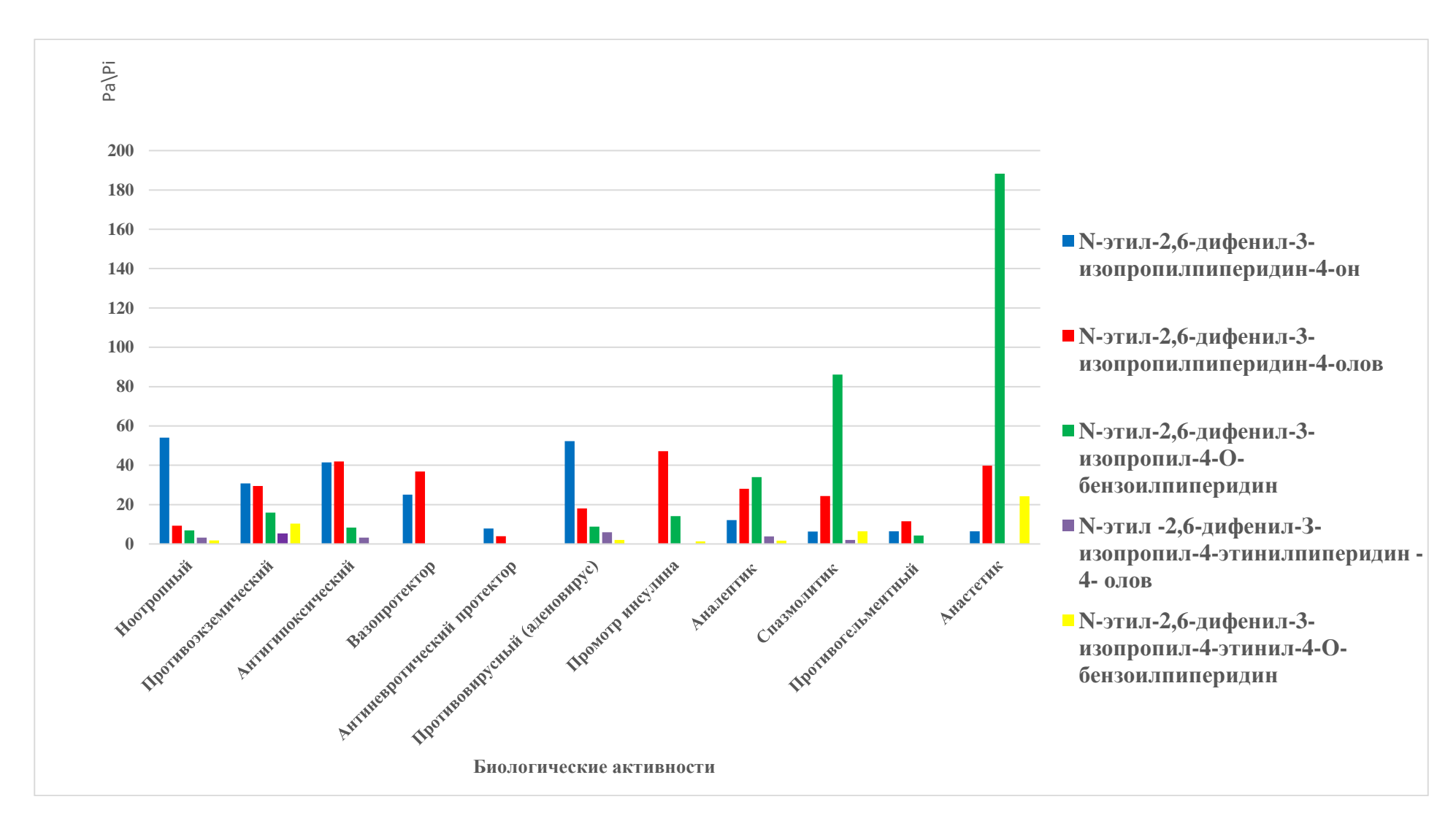


Рисунок 3.4 – Диаграмма вероятной биологической активности по программе PASS

#### Схема 7

$$\begin{array}{c} C_6H_5 \\ \\ C_6H_5 \\ \\ CH_2 \\ \\ C$$

нитрата серебра в 95% этаноле. Получаемая смесь стереоизомерных комплексных нитратных соединений серебра осаждается в виде белых кристаллов. Смесь стереоизомеров на индивидуальные соединения разделить не удалось.

б) К другой части (2 г) смеси стереоизомеров приливали 20 мл аммиачного раствора гидроокиси серебра, приготовленного из 1 г AgNO<sub>3</sub> и 35 мл NH<sub>4</sub>OH. Получили смесь стереоизомерных ацетиленидов серебра в виде черного осадка.

Смесь стереоизомерных ацетиленидов была переведена в гидрохлориды обработкой разбавленной соляной кислотой. После отфильтровывания хлорида серебра индивидуальные стереоизомеры выделяется дробной кристаллизацией из абсолютного спирта.

Вначале, через сутки, из маточного раствора выпал осадок, который был отфильтрован, высушен и имел  $T_{n,n}$ =280°C. Анализ ИК-спектра показал, что этот стереоизомер имеет в спектре полосу поглощения в области 3438 см<sup>-1</sup> характерную для аксиальной гидроксильной группы О-Н, в области 3244 см<sup>-1</sup> полосу, характерную для  $\equiv$ CH группы, в области 2099,4 см<sup>-1</sup> полосу, характеризующую колебания С $\equiv$ C группы, в области 1351см<sup>-1</sup>полосу поглощения, характерную для NO<sub>2</sub> группы, в области 1202,3 см<sup>-1</sup> полосу, характерны для экваториальную С-О связи.

Еще через сутки, из маточного раствора, выпал осадок, который был отфильтрован, высушен и имел  $T_{nn}=265^{0}$ С. На ИК-спектре поглощения для этого стереоизомера в области 2107 см<sup>-1</sup> наблюдается полоса характерная для колебаний С $\equiv$ С тройной связи, в области 3218 см<sup>-1</sup>полоса, характеризующая  $\equiv$ СН связь, в области 3418 см<sup>-1</sup> полоса, характерная для экваториальную О-Н связи и в области 1069 см<sup>-1</sup> полосу, характерную для аксиальную С-О связи. (см. Приложение 3. Рисунки 15,16.)

Согласно литературным данным [66], валентные колебания связи С-О для стереоизомеров с экваториально ориентированным гидроксилом лежат в более высокочастотной области, чем для аксиально расположенного гидроксила. А у спиртов с экваториально ориентированными гидроксилом частоты валентных колебаний связи О-Н лежат в более низкочастотной области, чем у аксиальных спиртов. В связи с этим соединению с  $T_{nn}$ =280°C приписали аксиальную ориентацию ОН группы, а его стереоизомеру с  $T_{nn}$ =265°C экваториальную ориентацию гидроксильной группы. Стереоизомер с  $T_{nn}$ =280°C имеет Rf=0,36, а стереоизомер с  $T_{nn}$ =265°C имеет Rf=0,36. Согласно правилу Бартона [62], стереоизомеру с Rf=0,36 приписали аксиальную ориентацию гидроксильной группы, а с Rf=0,31 - экваториальную ориентацию гидроксильной группы.

в) Препаративное разделение смеси стереоизомеров в тонком слое сорбентов. Эфирный раствор смеси стереоизомеров наносят в виде сплошной линии на силуфоловую пластинку, подвижной фазой служит система растворителей толуол-ацетон (1:1). Соединение обнаруживают при облучении УФ-светом, окрашенные участки отмечают с обеих сторон пластинки и ограничивающие зоны соединяют друг с другом. Сорбент с веществом снимают с пластинки, вещество вымывают с сорбента диэтиловым эфиром, после чего растворитель упаривают. Выделяют индивидуальные изомеры с Rf=0,36 и Rf=0,31. Физико-химические характеристики кетона (XIV) и двух стереоизомерных спиртов, полученных на его основе (XV, XVI); характеристические полосы поглощения в ИК-спектрах и прогнозируемая биологическая активность представленны в таблицах 3.11-3.13 и русунок 3.5.

Таблица 3.11 – Физико – химические характеристики N-(3'-м-нитрофенил-3'-оксопропил)-2,6-дифенил-3изопропилпиперидин-4-она и его производных

Nº	Названия соединений	Брутто формула	Mr г/моль	Тпл ∘С	Rf	Вычислено % (найдено)% N								
1	N-(3'-м-нитрофенил-3'-оксопропил)-2,6-дифенил- 3-изопропилпиперидин-4-он	$C_{29}H_{30}O_4N_2$	470	210	*0,92 0,87	5,95 (5,47)								
2	N-(3'-м-нитрофенил-3'-оксопропил)-2,6-дифенил- 3-изопропил-этинилпиперидин-4-ол (а)	$C_{31}H_{32}O_4N_2$	496	280	0,36	5,64 (5,35)								
3	N-(3'-м-нитрофенил-3'-оксопропил)-2,6-дифенил-3-изопропил-этинилпиперидин-4-ол (э)	$C_{31}H_{32}O_4N_2$	496	265	0,31	5,64 (5,35)								
Систе	жма: *толуол-ацетон (3:1), толуол-ацетон (1:1)			Система: *толуол-ацетон (3:1), толуол-ацетон (1:1)										

Таблица 3.12 – Характеристические полосы поглощения в ИК-спектрах N-(3'-м-нитрофенил-3'-оксопропил)-2,6дифенил-3-изопропилпиперидин-4-она и его производных

Nº	Названия соединений	C=O v, cm <sup>-1</sup>	C-N v, cm <sup>-1</sup>	NO <sub>2</sub> v, cm <sup>-1</sup>	О-Н v, см <sup>-1</sup>	C-O v, cm <sup>-1</sup>	<b>≡CH</b> v, cm <sup>-1</sup>	C≡C v, cm <sup>-1</sup>
1	N-(3'-м-нитрофенил-3'-оксопропил)-2,6-дифенил- 3-изопропил4-этинилпиперидин-4-ола	1719 1720	1299	1357				
2	N-(3'-м-нитрофенил-3'-оксопропил)-2,6-дифенил- 3-изопропил-этинилпиперидин-4-ол (а)				3438	1069	3218	2107
3	N-(3'-м-нитрофенил-3'-оксопропил)-2,6-дифенил- 3-изопропил-этинилпиперидин-4-ол (э)			1351	3418	1202	3244	2099

Таблица 3.13- Компьютерный прогноз биологической активности по программе PASS

№	Названия соединений										
1	2,6-дифенил-3-изопропилперидин-4- он	7586/ 0,020	1000 Противоэкзематический 810°0 18	,700/ 0,700/ 0,041	Фибринолитический 0,508/ 0,117	10,0 10,0 10,0 10,0 10,0 10,0 10,0 10,0	0,425/ 0,048	, 0 0 0 Противогельминтный 0 0 0 0 0 0 0 0 0 0 0 0 0 0 0 0 0 0 0	О Антагонист гестагена	0,275/ 0,102	8 С Противоопухолевые (рак 8 С С С С С С С С С С С С С С С С С С
		29,3	44,5	17,07	4,34	15,15	8,86	9,6		2,70	2,68
2	N-(3'-м-нитрофенил-3'-оксопропил)-	0,631/	0,628/	0,606/	0,557/	0,435/	0,395/	0,381/	0	0	0
	2,6-дифенил-3-изопропилпиперидин-	0,014	0,074	0,074	0,096	0,067	0,060	0,050			
	4-он	45,07	8,49	8,19	5,8	6,49	6,58	7,62			
3	N-(3'-м-нитрофенил-3'-оксопропил)-	0,369/	0,400/	0	0,254/	0,252/	0	0,203/	0,598/	0,457/	0,275/
	2,6-дифенил-3-изопропил-	0,098	0,199		0,240	0,201		0,096	0,008	0,040	0,080
	этинилпиперидин-4-олы	3,77	2,01		1,06	1,25		2,11	74,75	11,42	3,43

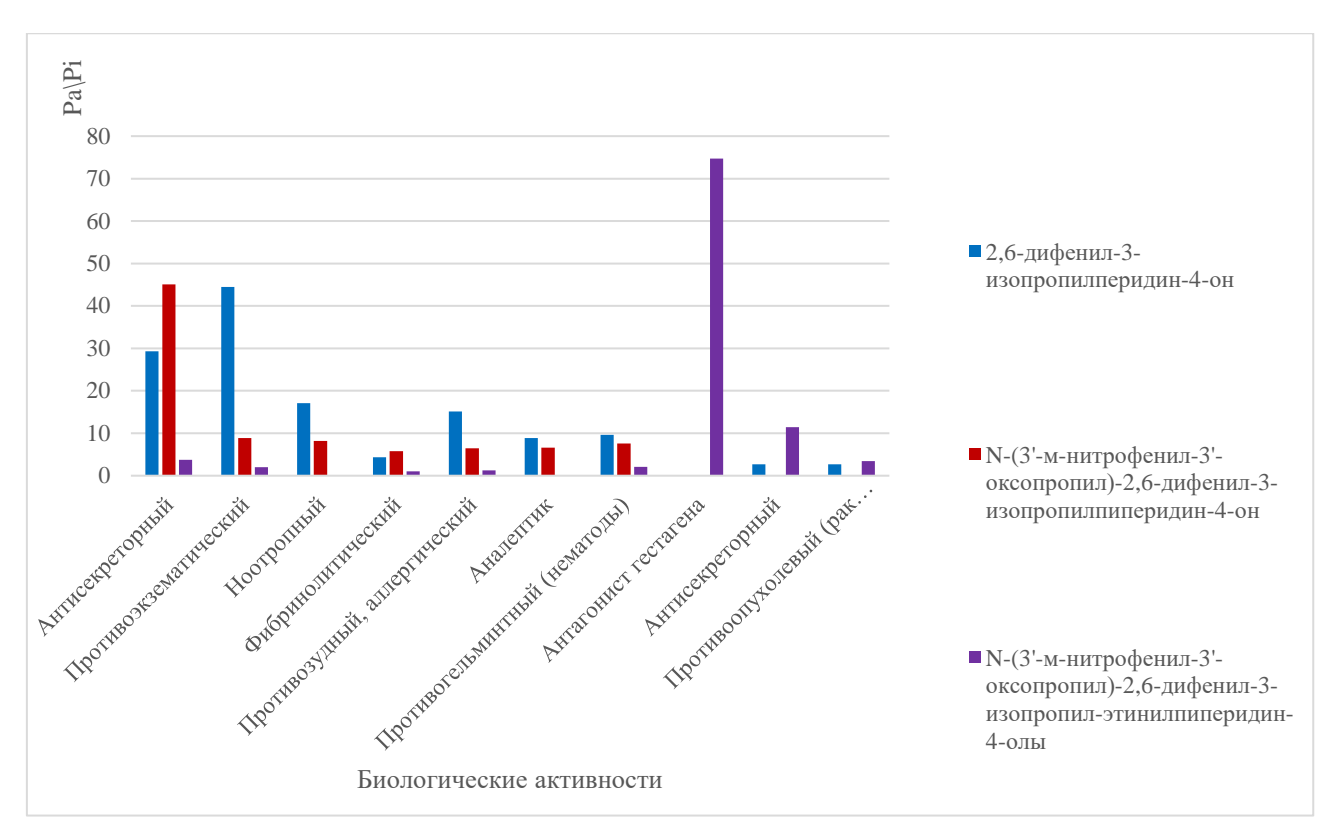


Рисунок 3.5 – Диаграмма вероятной биологической активности по программе PASS

# 3.2 Синтезы и свойства оксимов, гидразонов, фенилгидразонов, семикарбазонов, тиосемикарбазонов, 2,4-динитрофенилгидразонов N-производных у – пиперидонов

Синтезы *N-бензил-2,6-дифенил-3*оксима фенилгидразона изопропилпиперидин-4-она. Из литературных данных известно, что гетероциклические соединения, содержащие карбонильные группы и их производные обладают целебными свойствами [70]. В их числе препараты центрального, периферического и нейротропного действия; средства, влияющие на сердечно-сосудистую систему (противоаритмические, антигипертензивные) спазмолитики, диуретики, бронхолитики, противоязвенные средства и ряд других [71].

Связи с выше сказаным, нами был осуществлен синтез новых потенциально физиологически активных веществ на основе N-бензил-2,6-дифенил-3-изопропилпиперидин-4-она. Так был получен оксим N-бензил-2,6-дифенил-3-изопропилпиперидин-4-она (Схема 8). Реакция проводилась с солянокислым гидроксиламином в среде этилового спирта.

## Схема 8

В ИК — спектре поглощения оксима N-бензил-2,6-дифенил-3-изопропилпиперидин-4-она присутствуют полосы характерные для связей: 3300 см $^{-1}$  (N –OH), 1621 см $^{-1}$  (C=N), 1587 см $^{-1}$  (Ar), 1227 см $^{-1}$  (N-C) (см. приложение 3. Рисунок 18).

По аналогии с оксимом был получен фенилгидрозон N-бензил-2,6-дифенил-3-изопропилпиперидин-4-она (Схема 9). Реакция проводилась с солянокислым фенилгидрозином в среде этилового спирта [72-80].

## Схема 9

$$\begin{array}{c} O \\ CH_3 \\ CH - CH_3 \\ CH_5 \\ CH_5 \\ CH_2 \\ C_6H_5 \\ (XIV) \end{array} \begin{array}{c} CH_3 \\ NH_2^{-}NH^{-}C_6H_5 & HCl \\ \hline H_2O; & HCl \\ \hline \end{array} \begin{array}{c} CH_3 \\ CH_2 \\ CGH_5 \\ CGH_5 \\ (XVI) \end{array}$$

В ИК — спектре поглощения фенилгидрозона N-бензил-2,6-дифенил-3-изопропилпиперидин-4-она присутствуют полосы характерные для связей: 1620 см<sup>-1</sup> (C=N), 1597 см<sup>-1</sup> (Ar), а также полоса в области 1559 см<sup>-1</sup>, которую следует отнести к колебаниям связи N-N (см. Приложение 3. Рисунок 19.). Физико-химические характеристики, рассмотренных выше соединений, приведены в таблицах 3.14. и 3.15. а их биологическая активность в таблице 3.16 и на рисунке 3.6.

Таблица 3.14 – Физико – химические характеристики N – бензил – 2,6 – дифенил – 3 – изопропилпиперидин – 4 – она и его производных

№	Названия соединений	Брутто	Mr	Тпл	Rf	Вычислено %					
		формула	г/моль	∘ <b>C</b>		(найдено)%, N					
1	N-бензил-2,6-дифенил-3-изопропилпиперидин-4-	$C_{27}H_{29}ON$	383	133-135	*0,62	3,65 (3,32)					
	он										
2	Оксим N-бензил-2,6-дифенил-3-	$C_{27}H_{30}ON_2$	398	176 – 178	0,48	7,03 (6,75)					
	изопропилпиперидин-4-она										
3	Фенилгидрозон N-бензил-2,6-дифенил-3-	$C_{33}H_{35}N_3$	473	163 – 164	0,36	8,89 (8,65)					
	изопропилпиперидин-4-она										
Систо	Система: *бензол-диоксан (40:1), гептан – диоксан (20:1)										

Таблица 3.15 – Характеристические полосы поглощения в ИК-спектрах N – бензил – 2,6 – дифенил – 3 – изопропилпиперидин – 4 – она и его производных

№	Названия соединений	C=O	C – N	Саром-Н	Сали-Н	N –OH	C=N	N-N
		v, cm <sup>-1</sup>	v, см <sup>-1</sup>	v, cm <sup>-1</sup>				
1	N-бензил-2,6-дифенил-3-	1718	1221	1576	2934			
	изопропилпиперидин-4-он							
2	Оксим N-бензил-2,6-дифенил-3-		1227	1587	2955	3300	1621	
	изопропилпиперидин-4-она							
3	Фенилгидрозон N-бензил-2,6-дифенил-		1215	1597	2959		1620	1521
	3-изопропилпиперидин-4-она							

Таблица 3.16 – Компьютерный прогноз биологической активности по программе PASS (Pa/Pi)

№	Названия соединений	Ноотропный	Противоэкзематический	Антигипоксический	Мукомембранозный протектор	Ингибитор фосфатазы	Вазопротектор	Противозудный	Лечение фобических расстройств
1	2,6-дифенил-3-изопропилперидин-4-он.	0,700/	0,801/	0	0,533/	0,533/	0,692/	0,566/	0,542/
		0,041	0,018		0063	0,026	0,011	0,011	0,009
		17,07	44,5		8,5	9,26	62,9	51,50	60,30
2	N-бензил-2,6-дифенил-3-изопропилпиперидин-4-	0,780/	0,748/	0,732/	0,707/	0,630/	0,528/	0,519/	0,519/
	он	0,021	0,031	0,005	0,054	0,034	0,033	0,031	0,163
		37,14	24,12	146,4	13,09	18,52	16	16,74	3,18
3	Оксим N-бензил-2,6-дифенил-3-	0,416/	0,433/	0,433/	0	0,526/	0	0	0,433/
	изопропилпиперидин-4-она	0,199	0,214	0,214		0,091			0,214
		2,09	2,02	2,02		5,78			2,02
4	Фенилгидрозон N-бензил-2,6-дифенил-3-	0,473/	0	0,473/	0	0,473/	0	0	0
	изопропилпиперидин-4-она	0,129		0,129		0,129			
		3,66		3,66		3,66			

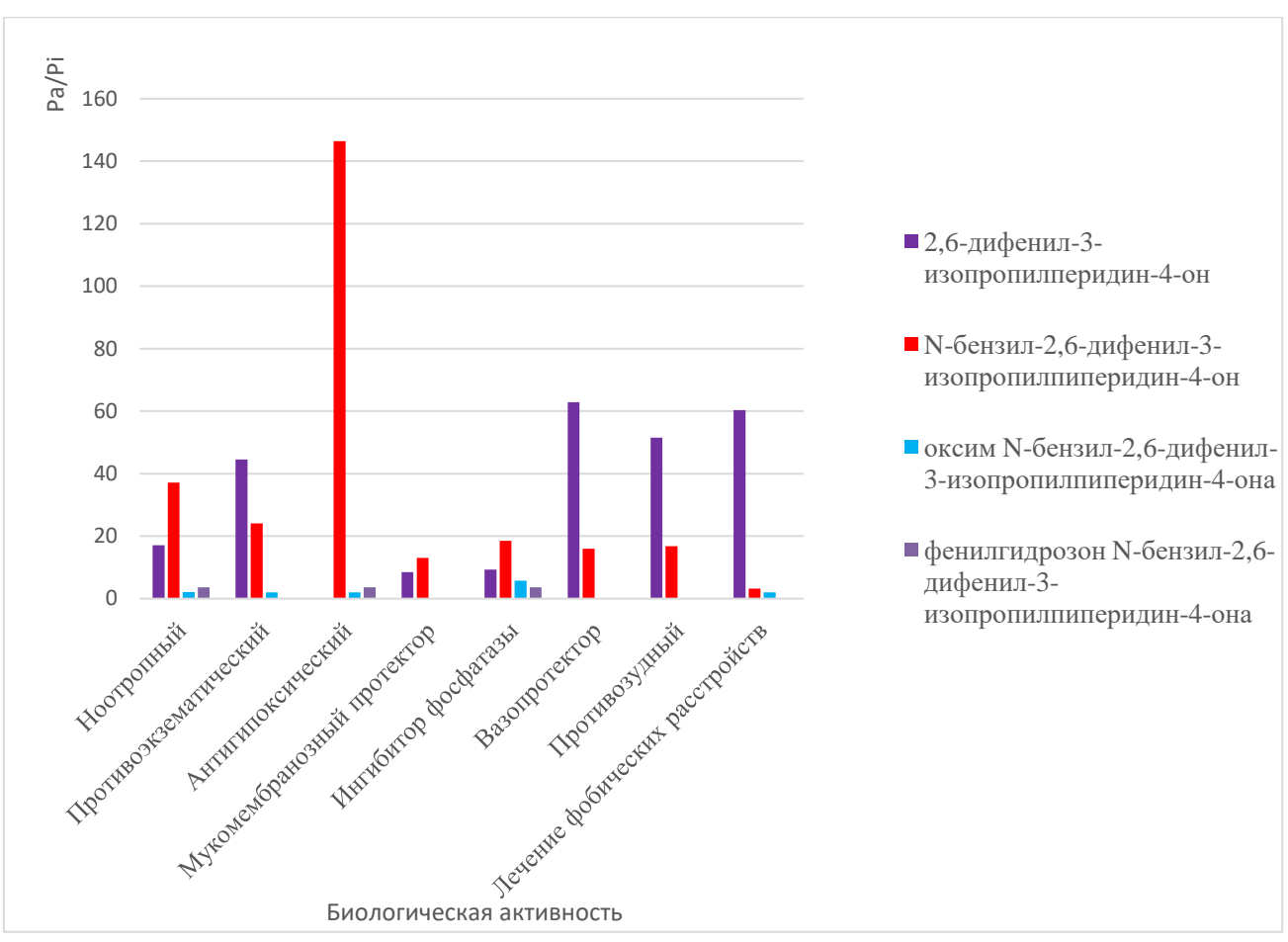


Рисунок 3.6 – Диаграмма вероятной биологической активности по программе PASS

Синтезы семикарбазона, фенилгидразона, диоксима, оксима, дисемикарбазона и ди-2,4-динитрофенилгидразона N-(2'-метил-3'-оксобутил)-2,6-дифенил-3-изопропилпиперидин-4-она. Рассмотреные выше, оксим фенилгидразон N-бензил-2,6-дифенил-3-изопропилпиперидин-4-она возможность проявления протекторной, противоэкземной, противозудной был осушествлен фенилгидразона, активности, нами синтез оксима, дисемикарбазона, ли-2,4семикарбазона, диоксима, дигидразона динитрофенилгидразона на основе N-(2'-метил-3'-оксобутил)-2,6-дифенил-3изопропилпиперидин-4-она (Схема 10), поскольку эти соединения интересны для изучения в качестве потенциальных противоэкземных, противоопухлевых, противовирусных препаратов. Представляло также интересс изучение

Схема 10

## Производные N-(2'-метил-3'-оксобутил)-2,6-дифенил-3изопропилпиперидин -4- она

зависимости биологической активности синтезированных веществ от количества введенных функциональных групп [81-89].

Физико-химические свойства синтезированных соединений представлены в таблице 3.17. ИК-спектры синтезированных соединений представлены в приложении 3. Рисунки 21-27, а также в таблице 3.18.

Анализ ИК- спектров синтезированных соединений подтверждает протекание синтезов по указанным направлениям. Так, отсутствие полос области 1730-1720  $cm^{-1}$ поглошения карбонильной группы В синтезированных производных, а также появление новых характеристических полос в области 1690-1650 см<sup>-1</sup>, характеризующих валентные калебания связи С=N, свидетельствует о том, что реакция прошла по карбонильной группе. Отметим, что в ИК-спектрах оксима и диоксима данного кетона появляются характеризующие колебания связи N-OH, ди-2,4полосы, динитрофенилгидразона N-(2'-метил-3'-оксобутил)-2,6-дифенил-3-изопропилпиперидин-4-она – полосы, характеризующей колебания группы NO<sub>2</sub>, у семикарбазона и дисемикарбазона – полосы поглощения, характеризующей колебания СО-NH<sub>2</sub>, у фенилгидразона и дигидразона полосы, характеризующей колебания связи N-N.

Компьютерный прогноз биологической активности синтезированных семикарбазона, фенилгидразона, диоксима, дисемикарбазона, оксима, обладают дигидразона показывает, противоэкземной, что они противоопухлевой, противовирусной, антибактериальной активностями, а также могут являтся ингибиторами фосфатазы. Необходимо отметить, что вероятность противовирусной, антибактериальной активностей у дисемикарбазона намного выше, по сравнению с монопроизводным. Также надо отметить, что оксим и ди-N-(2'-метил-3'-оксобутил)-2,6-дифенил-3-изопро-2,4-динитрофенилгидразон пилпиперидин-4-оны показывают очень высокую вероятность противоэкземной активности.

Таблица 3.17 — Физико - химические характеристики N - (2'- метил - 3 '- оксобутил)-2,6-дифенил — 3 изопропилпиперидин – 4 – она и его производных

№	Названия соединений	Брутто	Тпл	Rf	Вычислено
		формула	°C		% (найдено)%
					N
1	N-(2'-метил-3'-оксобутил)-2,6-дифенил-3-	$C_{25}H_{31}O_2N$	193 – 194	0,68	3,71 (3,35)
2	изопропилпиперидин-4-он	CHON	210	0.10	7.14 (6.91)
2	Оксим N-(2'-метил-3'-оксобутил)-2,6-дифенил-3- изопропилпиперидин-4-она	$C_{25}H_{32}O_2N_2$	218	0,18	7,14 (6,81)
3	Семикарбазон N-(2'-метил-3'-оксобутил)-2,6-дифенил-3- изопропилпиперидин-4-она	$C_{26}H_{34}O_2N_4$	195	0,45	12,90 (12,13)
4	Фенилгидразон N-(2'-метил-3'-оксобутил)-2,6-дифенил- 3-изопропилпиперидин-4-она	C <sub>31</sub> H <sub>37</sub> ON <sub>3</sub>	220	0,57	8,99 (8,16)
5	Диоксим N-(2'-метил-3'-оксобутил)-2,6-дифенил-3- изопропилпиперидин-4-она	$C_{28}H_{33}O_2N_3$	216	0,73	9,48 (8,97)
6	Дисемикарбазон N-(2'-метил-3'-оксобутил)-2,6-дифенил- 3-изопропилпиперидин-4-она	$C_{27}H_{37}O_2N_7$	186	0,73	19,95 (19,07)
7	Дигидразон N-(2'-метил-3'-оксобутил)-2,6-дифенил-3- изопропилпиперидин-4-она	C <sub>25</sub> H <sub>35</sub> N <sub>5</sub>	188	0,59	17,28 (16,87)
8	Ди - 2,4 - динитрофенилгидразон - N -(2- метил- 3 - оксобутил) - 2,6 - дифенил - 3 - изопропилпиперидин - 4 -	C <sub>37</sub> H <sub>39</sub> O <sub>8</sub> N <sub>9</sub>	200 – 201	0,94	17,09 (16,43)
Систе	она ема: гексан – диоксан (20:1)				

Таблица 3.18— Характеристические полосы поглощения в ИК-спектрах N - (2'- метил - 3 '- оксобутил)-2,6- дифенил - 3 -изопропилпиперидин - 4 - она и его производных

№	Названия соединений	C=O	N-H	CO-NH <sub>2</sub>	C=N	N-C	N-OH	N-O	$NO_2$
		v, cm <sup>-1</sup>							
1	N-(2'-метил-3'-оксобутил)-2,6-дифенил-3-	1724	3434			1211			
	изопропилпиперидин-4-он								
2	Оксим N-(2'-метил-3'-оксобутил)-2,6-дифенил-3-						3236		
	изопропилпиперидин-4-она								
3	Семикарбазон N-(2'-метил-3'-оксобутил)-2,6-	1723		755	1589	1262			
	дифенил-3-изопропилпиперидин-4-она								
4	Фенилгидразон N-(2'-метил-3'-оксобутил)-2,6-				1620				
	дифенил-3-изопропилпиперидин-4-она								
5	Диоксим N-(2'-метил-3'-оксобутил)-2,6-дифенил-				1619	1306	3235	971	
	3-изопропилпиперидин-4-она								
6	Дисемикарбазон N-(2'-метил-3'-оксобутил)-2,6-			755	1588	1304			
	дифенил-3-изопропилпиперидин-4-она								
7	Дигидразон N-(2'-метил-3'-оксобутил)-2,6-				1574	1256			
	дифенил-3-изопропилпиперидин-4-она								
8	Ди - 2,4 - динитрофенилгидразон - N -(2- метил- 3		3361-		1646	1211-			1336,6
	- оксобутил) - 2,6 - дифенил - 3 - изопропил -		2216			1257			
	пиперидин - 4 - она		3316			1257			

Таблица 3.19 – Вероятность биологической активности по программе PASS (Pa/Pi)

No	Названия соединений	Ингибиторфос фотазы	Противоэкзем- ный	Противоопухо- левый	Противовиру- сный	Спазмолити- ческий	Антибактери- альный	Лечениеявлени й Рейно
1	N-(2'-метил-3'-оксобутил)-2,6-дифенил-3-	0,423/	0,400/	0,275/	0	0	0	0,268/
	изопропилпиперидин-4-он	0,170	0,199	0,080				0,062
		2,49	2,01	3,44				4,32
2	Оксим N-(2'-метил-3'-оксобутил)-2,6-дифенил-3-	0,457/	0,308	0,221/	0,321/	0	0,159/	0,376/
	изопропилпиперидин-4-она	0,142	/0,280	0,041	0,210		0,156	0,254
	<u> </u>	3,22	1,1	5,39	1,53		1,02	1,48
3	Семикарбазон N-(2'-метил-3'-оксобутил)-2,6-	0,398/	0	0	0,278/	0,218 /	0,218/	0,251/
	дифенил-3-изопропилпиперидин-4-она	0,193			0,109	0,134	0,134	0,092
	дифенил-5-изопронилнинеридин-4-она	2,06			2,55	1,63	1,63	2,73
	Фенилгидразон N-(2'-метил-3'-оксобутил)-2,6-	0,395/	0	0	0,239/	0	0	0,249/
4	дифенил-3-изопропилпиперидин-4-она	0,196			0,153			0,096
		2,02			1,56			2,59
	Диоксим N-(2'-метил-3'-оксобутил)-2,6-дифенил-3-	0,434/	0	0,213/	0,311/	0	0,233/	0,426/
5	изопропилпиперидин-4-она	0,161		0,114	0,231		0,093	0,218
	изопропилнинеридин-4-она	2,70		1,87	1,35		2,51	1,95
6	Дисемикарбазон N-(2'-метил-3'-оксобутил)-2,6-	0,403/	0	0	0,311/	0	0,233/	0,258/
	дифенил-3-изопропилпиперидин-4-она	0,188			0,081		0,093	0,080
	дифенил-3-изопропилнинеридин-4-она	2,14			3,84		2,51	3,23
	Дигидразон N-(2'-метил-3'-оксобутил)-2,6-	0,435/	0	0	0	0,238	0	0,400/
7	дифенил-3-изопропилпиперидин-4-она	0,160				0,119		0,236
	дифенил-э-изопронилнинеридин-4-она	2,72				2		1,69
8	Ди - 2,4 - динитрофенилгидразон - N -(2- метил- 3 -	0,305/	0,600/0	0	0	0	0	0,257/
	оксобутил) - 2,6 - дифенил - 3 - изопропил -	0,299	,015					0,087
	пиперидин - 4 - она	1,02	40					2,96

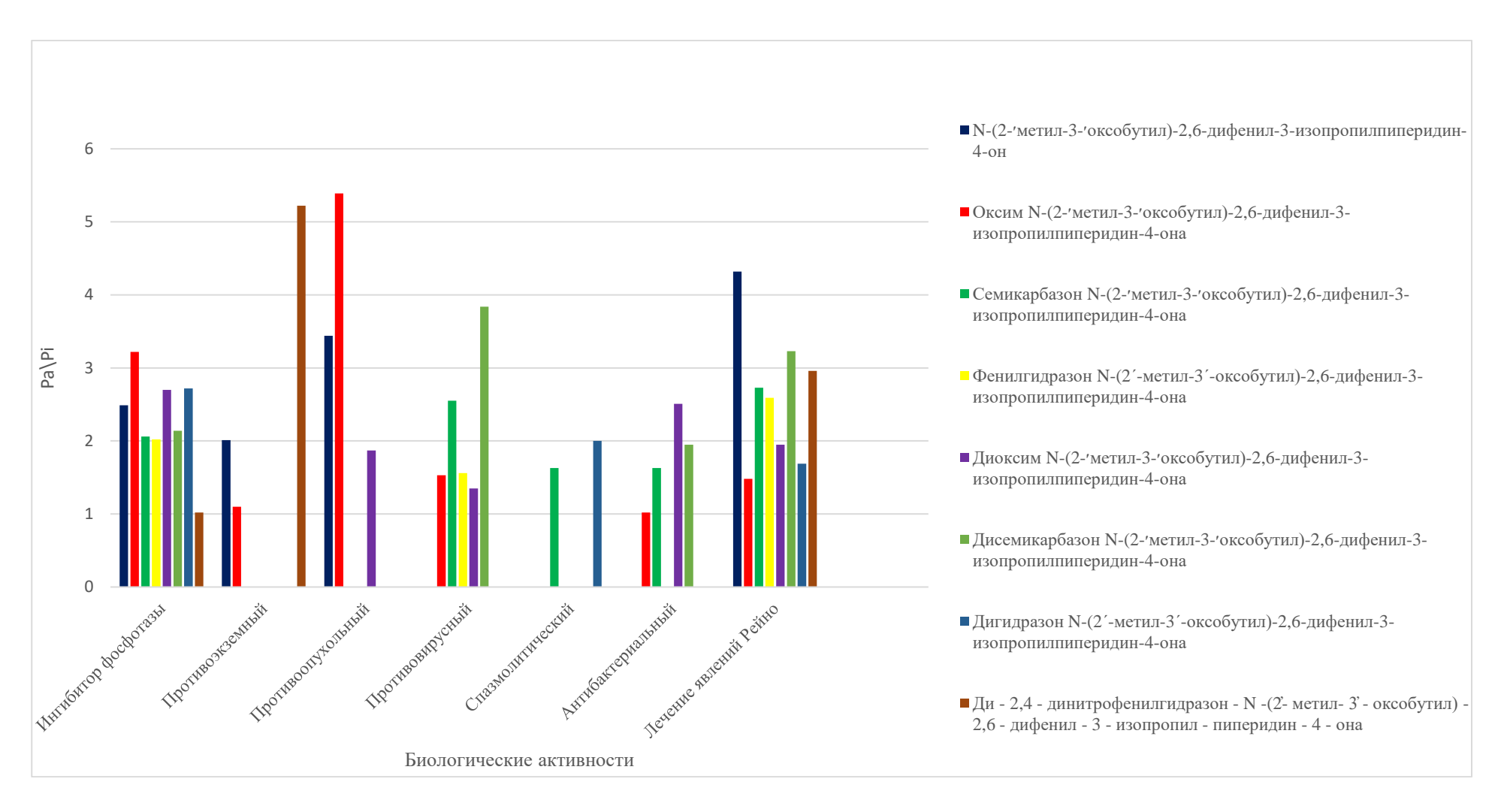


Рисунок 3.7 – Диаграмма вероятной биологической активности по программе PASS

Синтез оксима, гидразона, фенилгидразона, семикарбазон, тиосемирарбазона  $2,6-\partial u-(n-N,N-\partial u)$  изопропилпиперидин  $-4-\partial u$ .

Компьютерный прогноз биологической активности синтезированного нами 2,6 – ди – (п – N,N – диметиламинофенил) – 3 – изопропилпиперидин – 4 – она показал вероятность наличия у него аналептической и фибринолептической активностей. Поэтому, представляло интересс синтезировать производных и провести оценку их фармакологических эффектов. В работе были получены 5 производных этого кетона, структурные формулы которых 11. Физико – химическая схеме представленны на характеристика синтезированных соединений представленна в таблице 3.20. ИК- спектры синтезированных соединений приведении приложении 3. Рисунки 28-33. Характеристические полосы поглощения синтезированных веществ в таблице 3.21. Компьютерный прогноз биологической активности представлены 3.22. и на рисунке 3.8.

Необходимо отметить, что и сам кетон, и все синтезированные на его основе производные являются легкоплавкими кристалическими веществами.

Анализ ИК-спектров показал, что реакция образования всех производных протекает по карбонильной группе кетона, как и в ранее расмотренных случаях. В спектре семикарбазона присутствует полоса, характеризующая колебания амидной группы, а в спектре тиосемикарбазона — полоса, характеризующая наличие тиогруппы.

Компьютерной прогноз биологической активности показал, ЧТО аналептическая и фибринолептическая активности сохраняются у гидразона и фенилгидразона, зато семикарбазон и тиосемикарбазон этого кетона, согласно прогноза, должны обладать очень высокой противовирусной и вазопротекторной активностями, а также, должны быть эффективны в качестве ингибитора фосфатазы. Сам кетон, его оксим и гидразон могут обладать противоэкземной Антимикотическая (противогрипковая) активностью. активность прогнозируется для всех соединений этой группы.

## Схема 11

## Производные 2,6-ди-(п-N,N-диметиламинофенил)-3изопропилпиперидин-4-она

$$(CH_{3)2}N \longrightarrow H \longrightarrow N(CH_{3)2} \longrightarrow$$

Таблица 3.20 - Физико - химические характеристики 2,6 – ди – (п-N,N- диметиламинофенил) – 3 – изопропилпиперидин – 4 – она и его производных

No	Названия соединений	Брутто	Mr	Тпл	Rf	Вычислено %
		формула	г/моль	°C		(найдено)%
						N
1	2,6 - ди - (п - N,N - диметиламинофенил) - 3 - изопропилпиперидин - 4 - он	C <sub>24</sub> H <sub>33</sub> ON <sub>3</sub>	379	28 – 30	0,60	11,08 (10,80)
2	Оксим 2,6 – ди – (п – N,N – диметиламинофенил) – 3 – изопропилпиперидин – 4 – она	C <sub>24</sub> H <sub>34</sub> ON <sub>4</sub>	394	80 – 82	0,48	14,43 (14,12)
3	Гидразон 2,6 – ди – $(п - N,N - диметиламинофенил) – 3 – изопропилпиперидин – 4 – она$	- 2433- 14	379	95 – 96	0,42	14,77 (14,33)
4	Фенилгидразон 2,6 – ди – $(\pi - N,N - диметиламинофенил) – 3 – изопропилпиперидин – 4 – она$		469	89 – 90	0,55	14,92 (14,69)
5	Семикарбазон 2,6 — ди — $(\pi - N,N - диметиламинофенил) — 3 — изопропилпиперидин — 4 — она$		436	67 – 68	0,26	19,26 (18,94)
6	Тиосемикарбазон 2,6 – ди – (п – N,N – диметиламинофенил) – 3 – изопропилпиперидин – 4 – она		452	74 – 75	0,38	18,58 (18,24)
Систе	ема: гексан – диоксан (20:1)					

Таблица 3.21 - Характеристические полосы поглощения в ИК-спектрах 2,6-ди - (п - N,N- диметиламинофенил) - 3- изопропилпиперидин - 4- она и его производных

№	Названия соединений	C=0	N-H	CO-NH <sub>2</sub>	C=N v, cm <sup>-1</sup>	N-OH	N-N v, cm <sup>-1</sup>	C=S
		v, cm <sup>-1</sup>	v, cm <sup>-1</sup>	v, cm <sup>-1</sup>	v, cm -	v, cm <sup>-1</sup>	v, cm	v, cm <sup>-1</sup>
1	2,6 – ди – $(п – N,N$ – диметиламинофенил $)$ – $3$ –	1673	3385					
	изопропилпиперидин – 4 – он							
2	Оксим 2,6 – ди – (п – N,N – диметиламинофенил) – 3 –		3390		1620	3242		
	изопропилпиперидин – 4 – она							
3	Гидразон 2,6 – ди – $(п – N,N – диметиламинофенил) – 3$		3401		1631		1560	
	<ul><li>изопропилпиперидин – 4 – она</li></ul>							
4	Фенилгидразон 2,6 – ди – $(п - N,N -$		3387		1638		1557	
	диметиламинофенил) – 3 – изопропилпиперидин – 4 -она							
5	Семикарбазон 2,6 – ди – (п – N,N – диметиламинофенил)		3403	1600	1625			
	<ul><li>– 3 – изопропилпиперидин – 4 – она</li></ul>							
6	Тиосемикарбазон 2,6 – ди – (п – N,N –		3405		1628		1558	1368
	диметиламинофенил) – 3 – изопропилпиперидин – 4 –							
	она							

Таблица 3.22– Компьютерный прогноз биологической активности по программе PASS (Pa/Pi)

No	Паолица 5.22— Компьютерн		711105 0	11031011	licero	n axin	DIIOCIA	попр	oi panin		(1 a/11)	
245	Названия соединений	Противоэкземный	Ноотропный	Аналептический	Фибринолептический	Дермотологический	Антимикотический	Лечение феномена Рейно	Вазопротектор	Ингибитор фосфотазы	Антибактериальный	Противовирусный (Грипп)
1	2,6 – ди – (п – N,N –	0,703/	0,693/	0,532/	0,547/	0,408/	0,367/	0,319/	0,511/	0,559/	0,290/	0,338/
	диметиламинофенил) – 3 –	0,044	0,043	0,027	0,101	0,052	0,016	0,019	0,037	0,070	0,064	0,061
	изопропилпиперидин – 4 – он	15,98	16,11	19,70	5,42	7,85	22,93	16,79	13,81	7,99	4,53	5,54
2	Оксим 2,6 – ди – (п – N,N –	0,325/	0,316/	0,306/	0	0,193/	0,279/	0,291/	0	0,445/	0,302/	0,240/
	диметиламинофенил) – 3 –	0,261	0,314	0,105		0,176	0,029	0,037		0,152	0,060	0,116 0
	изопропилпиперидин – 4 – она	1,25	1,01	2,91		1,10	9,62	7,87		2,93	5,03	2,07
3	Гидразон 2,6 – ди – $(п - N,N -$	0,299/	0	0,361/	0,252/	0	0,156/	0,293/	0,264/	0,425/	0	0,220/
	диметиламинофенил) – 3 –	0,290		0,077	0,242		0,082	0,036	0,216	0,168		0,163
	изопропилпиперидин – 4 – она	1,03		4,69	1,04		1,90	1,22	1,22	2,53		1,35
4	Фенилгидразон 2,6 – ди – $(п - N,N -$	0	0	0,340/	0,248/	0	0,385/	0,289/	0,272/	0,402/	0	0,217/
	диметиламинофенил) – 3 –			0,088	0,245		0,015	0,039	0,200	0,189		0,172
	изопропилпиперидин – 4 – она			3,86	1,01		25,67	8,03	1,36	2,13		1,26
5	Семикарбазон 2,6 – ди – (п – N,N –	0	0	0	0	0	0,242/	0,289/	0,660/	0,394/	0,242/	0,305/
	диметиламинофенил) – 3 –						0,038	0,039	0,014	0,196	0,087	0,085
	изопропилпиперидин – 4 – она						6,37	7,41	66,0	47,14	2,78	3,59
6	Тиосемикарбазон 2,6 – ди – (п – N,N –	0	0,343/	0	0	0	0,219/	0,249/	0,262/	0,436/	0,392/	0,578/
	диметиламинофенил) – 3 –		0,279				0,047	0,096	0,220	0,159	0,032	0,015
	изопропилпиперидин – 4 – она		1,23				4,66	2,59	1,19	2,74	12,25	38,53

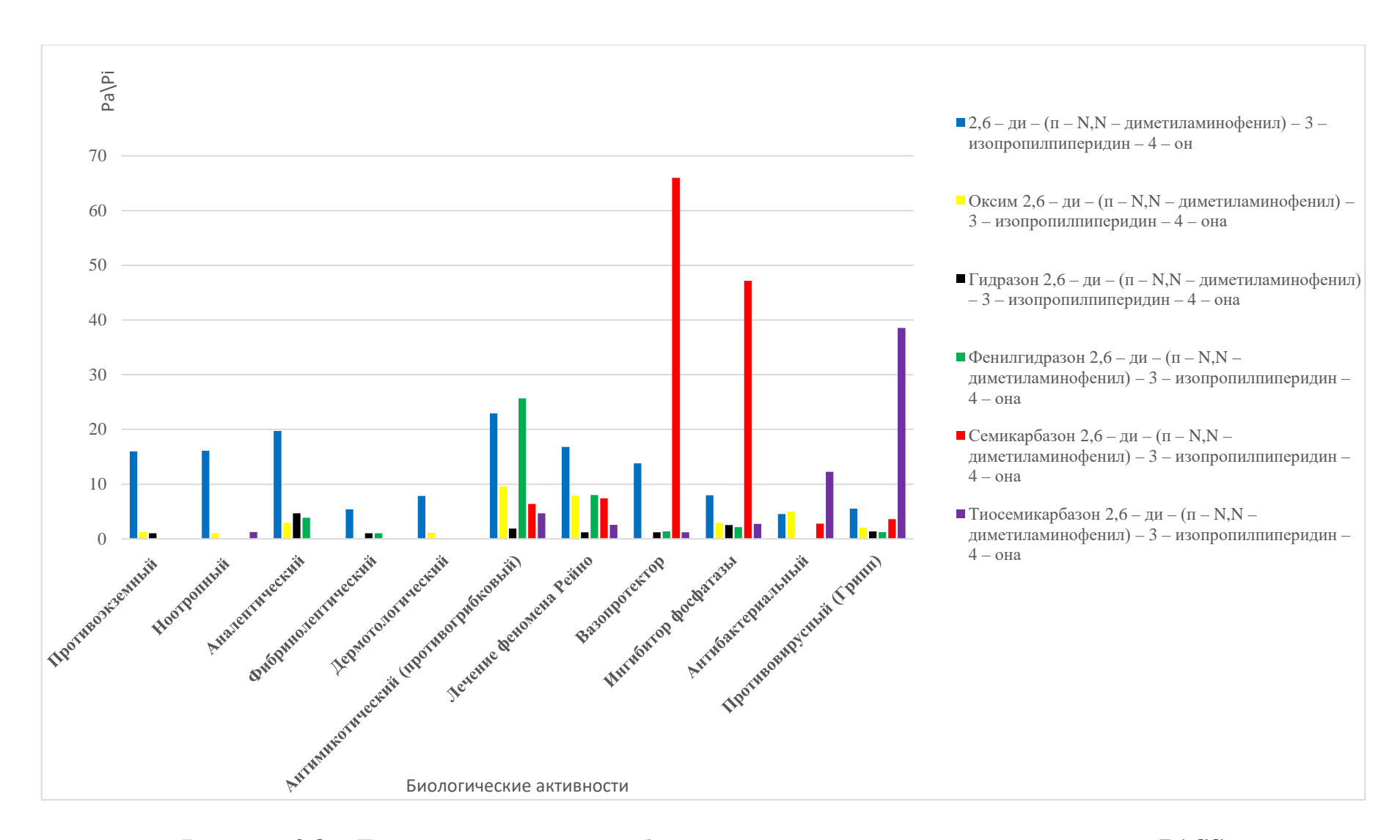


Рисунок 3.8 – Диаграмма вероятной биологической активности по программе PASS

## 3.3 Синтез и свойства углеводных производных гетероциклических кетонов на основе реакций переамидирования нитрозокарбамидов

В качестве стратегии синтеза новых углеводных производных с гликозиламидными связями четко проявляются по крайней мере две тенденции: - синтез производных аминов с целью поиска биологически активных веществ и введения в структуру углеводных молекул агликона с известной биологической активностью;

- возможность получить соединение, обладающее значительно более низкой токсичностью, большей растворимостью в воде, чем исходный агликон и придать гликозиламидным соединениям новые биологические свойства.

Среди производных углеводов, которые содержат такие функциональные группы, которые способны быть основой для построения гликозиламидных связей, особое место занимают гликозилнитрозоалкил-мочевины - являющиеся генераторами весьма реакционноспособных фрагментов карбамоилирующего и алкилирующего действия.

N-нитрозопроизводные N-гликозилмочевин с незащищенными гидроксильными группами привлекают к себе внимание не только как перспективные противоопухолевые препараты, но и как соединения с высокой реакционной способностью.

Так, при протонировании карбонильной группы в условиях кислотного инициирования показано, что протонирование карбонильного кислорода в условиях гомогенного кислотного катализа способствует разрыву алкилмочевинного N-агликона по связи C- N

предшествующее образованию в качестве одного из наиболее вероятных продуктов N-производного [90].

Этот распад может произойти в результате последующей нуклеофильной атаки на карбонильный углеродный атом, т.к. наиболее вероятным местом

нуклеофильной атаки должен быть углеродный атом карбонильной группы N-агликона, обладающий наибольшим положительным зарядом. При этом возможны две реакции в момент атаки нуклеофильного агента Nu: а) нуклеофильного замещения с разрывом связи C-N, смежной с N-нитрозным фрагментом; б) образования двух ключевых интермедиатов и диазосоединения Nu.

где: Ry-моносахарид, Nu-нуклеофил, Alk-остаток винилмочевины.

Результаты экспериментальных исследований, некоторых работ [90], показывают, что в ходе реакции образования промежуточных интермедиатов за счет присодинения гетероциклического амина и разрыва одной из связей группы, по — видимому, не происходит. Вероятнее всего, реакция протекает по синхронному механизму с одновременным разрывом старой и образованием новой (СN) связи. Реакции S<sub>N</sub> (нуклеофильного замещения) для протекания процесса образования конечных продуктов не требуют в большинстве случаев добавок катализирующих агентов. Это свидетельствует о том, что введение нитрозогруппы само по себе оказывает достатчно сильное активирующее действие, которое сводится, главным образом, к разрыхлению связи CN (NO), смежной с NO.

## Синтезы углеводных производных N - 2,6-дифенил-3-изопропил (амил) пиперидин-4-онов

Известно, что введение углевода может способствовать повышению растворимости, снижению токсического действия и изменению спектра биологической активности. Выбор агликона обусловлен их биологической активностью [91-92]. Пиперидиновый цикл лежит в основе структуры

алкалоидов, которые оказывают специфическое действие на организм человека, а производные пиперидина обладают широким спектром фармакологической активности. В связи с этим, целенаправленный синтез угеводных производных пиперидина является актуальным. Реакции гликозилирования осуществляли на основе моносахаридов (ксилозы, глюкозы, галактозы, рибозы и арабинозы) и дисахаридов (мальтозы и лактозы). Конечные вещества были получены через ряд промежуточных продуктов по общей схеме.

Описанная реакция открывает большие возможности для синтеза разнообразных N-гликозилированных производных с карбамидными мостиками [93], в том числе и таких производных сахаров, синтез которых методами прямого взаимодействия, нуклеофильных агентов с гликозидным центром оказывается затруднительным из-за невысокой реакционной способности атакующей аминогруппы по общей схеме (Схема 12).

На первой стадии легко происходит реакция взаимодействия моносахарида с п — аминобензойной кислотой и образуется N — (β,D — гликопиранозил) — п — аминобензойной кислоты. На следующем этапе в присутствии винилмочевины происходит реакция трансгликозилирования. Ариламин (п — аминобензойная кислота) играет роль нуклеофильного катализатора реакции конденсации моносахарида с производными мочевины. Ариламин добавляется в каталитических количествах [94].

При обмене агликонов в условиях кислотного катализа происходит

протонизация циклического кислорода и раскрытие пиранозного кольца. Затем атакующий амин присоединяется с образованием N – ацеталя. Исходный N – агликон в момент отщепления захватывает избыточный протон от входящего агликона [95]. В результате получается N – (β,D – гликопиранозил) - N' – винилмочевина. В отличие от N – гликозидов ариламинов N – гликозидная связь высокой В гликозилмочевинах характеризуется гидролитической N устойчивостью. Стабильность –гликозиламидной связи позволяет рекомендовать эти фрагменты в качестве связующего между сахарами и биологически активными соединениями при получении углеводсодержащих

лекарственных препаратов [96]. На следующей стадии была получена  $N-(\beta,D-1)$  гликопиранозил) - N'-1 винил - N'-1 нитрозомочевина (реакция переамидирования).

N –нитрозопроизводные N –гликозилмочевин привлекают к себе внимание как соединения с высокой реакционной способностью, на основе которых можно синтезировать N –производные углеводов, в том числе и таких, синтез которых методами прямого взаимодействия нуклеофильных агентов с гликозидным центром затруднен из – за невысокой реакционной способности атакующей аминогруппы.

Введение углеводного фрагмента в вещество, обладающее биологической активностью, приводит к увеличению его растворимости в воде, понижению токсичности и изменению действия препаратов. Имеются основания полагать, что гликозилирование позволит изменить проницаемость физиологически активных соединений через клеточные мембраны, а привязывание этих соединений к олиго- и полисахаридам пролонгировать действие лекарственных препаратов в животном организме [96,100,101].

#### Схема 12.

### Схема 13

Физико-химические характеристики синтезированных углеводных производных 2,6-дифенил-3-изопропилпиперидин-4-она и 2,6-дифенил-3-амилпиперидин-4-она представлены в таблицах 3.23. 3.25. из таблицы видно, что все синтезированные нами соединение хорошо растворимы в воде.

ИК-спектры синтезированных углеводпроизводных приведены 34-46, Характеристические полосы приложение 3. Рисунки основных, функциональных групп, синтезированных углеводных производных представленны 3.24.3.26. Анализ ИК- спектров синтезированных соединений позволяет заключить, что все соединения сохраняют основные характеристические полосы гетероциклического кетона, а также содержат полосы поглощения важнейщих у фрагментов углеводных колец [92,97-99].

Таблица 3.23 – Физико – химические характеристики 2,6-дифенил-3-изопропилпипперидин-4-она и его углеводных производных

Названия соединений	Брутто формула	Раство римост ь	Mr, г/моль	Т <sub>пл,</sub> <sup>0</sup> С	Rf
2,6-дифенил-3-изопропилпипперидин-4-он	C <sub>20</sub> H <sub>23</sub> ON	Ацетон	293	119	0,83
N – (β,D- ксилопиранозил)-карбамид-2,6-дифенил-3- изопропилпиперидин-4-он	$C_{26}H_{32}O_6N_2$	Вода	468	213	0,59
N – (β,D-арабинопиранозил)-карбамид-2,6-дифенил-3- изопропил-пиперидин-4-он	$C_{26}H_{32}O_6N_2$	Вода	468	169	0,69*
N – (β,L – рибозопиранозил)-карбамид-2,6-дифенил-3- изопропилпиперидин-4-он	$C_{26}H_{32}O_6N_2$	Вода	468	198	0,30
N –(β,D-глюкопиранозил)-карбамид-2,6-дифенил-3- изопропилпиперидин-4-он	C <sub>27</sub> H <sub>34</sub> O <sub>7</sub> N <sub>2</sub>	Вода	498	183	0,72
N – (β,D –галактопиранозил)-карбамид-2,6-дифенил-3- изопропилпиперидин-4-он	C <sub>27</sub> H <sub>34</sub> O <sub>7</sub> N <sub>2</sub>	Вода	498	185	0,72
N –(β,D- мальтозил)-карбамид-2,6-дифенил-3- изопропилпиперидин-4-он	$C_{33}H_{44}O_{12}N_2$	Вода	660	180	0,64
N –(β,D-лактозил)-карбамид-2,6-дифенил-3- изопропилпиперидин-4-он	$C_{33}H_{44}O_{12}N_2$	Вода	660	176	0,60*
	2,6-дифенил-3-изопропилпипперидин-4-он  N – (β,D- ксилопиранозил)-карбамид-2,6-дифенил-3-изопропилпиперидин-4-он  N – (β,D-арабинопиранозил)-карбамид-2,6-дифенил-3-изопропил-пиперидин-4-он  N – (β,L – рибозопиранозил)-карбамид-2,6-дифенил-3-изопропилпиперидин-4-он  N – (β,D-глюкопиранозил)-карбамид-2,6-дифенил-3-изопропилпиперидин-4-он  N – (β,D –галактопиранозил)-карбамид-2,6-дифенил-3-изопропилпиперидин-4-он  N – (β,D-мальтозил)-карбамид-2,6-дифенил-3-изопропилпиперидин-4-он  N – (β,D-лактозил)-карбамид-2,6-дифенил-3-изопропилпиперидин-4-он	названия соединенииформула2,6-дифенил-3-изопропилпипперидин-4-он $C_{20}H_{23}ON$ $N - (\beta,D$ - ксилопиранозил)-карбамид-2,6-дифенил-3-изопропилпиперидин-4-он $C_{26}H_{32}O_6N_2$ $N - (\beta,D$ -арабинопиранозил)-карбамид-2,6-дифенил-3-изопропил-пиперидин-4-он $C_{26}H_{32}O_6N_2$ $N - (\beta,L - рибозопиранозил)-карбамид-2,6-дифенил-3-изопропилпиперидин-4-онC_{26}H_{32}O_6N_2N - (\beta,D-глюкопиранозил)-карбамид-2,6-дифенил-3-изопропилпиперидин-4-онC_{27}H_{34}O_7N_2N - (\beta,D- мальтозил)-карбамид-2,6-дифенил-3-изопропилпиперидин-4-онC_{27}H_{34}O_7N_2N - (\beta,D- мальтозил)-карбамид-2,6-дифенил-3-изопропилпиперидин-4-онC_{33}H_{44}O_{12}N_2N - (\beta,D-лактозил)-карбамид-2,6-дифенил-3-изопропилпиперидин-4-онC_{33}H_{44}O_{12}N_2$	Названия соединенийБрутто формуларимост ь истранов (вертительно)2,6-дифенил-3-изопропилпипперидин-4-он $C_{20}H_{23}ON$ Ацетон $N-(\beta,D$ - ксилопиранозил)-карбамид-2,6-дифенил-3-изопропилпиперидин-4-он $C_{26}H_{32}O_6N_2$ Вода $N-(\beta,D$ -арабинопиранозил)-карбамид-2,6-дифенил-3-изопропил-пиперидин-4-он $C_{26}H_{32}O_6N_2$ Вода $N-(\beta,L-$ рибозопиранозил)-карбамид-2,6-дифенил-3-изопропилпиперидин-4-он $C_{26}H_{32}O_6N_2$ Вода $N-(\beta,D$ -глюкопиранозил)-карбамид-2,6-дифенил-3-изопропилпиперидин-4-он $C_{27}H_{34}O_7N_2$ Вода $N-(\beta,D$ -галактопиранозил)-карбамид-2,6-дифенил-3-изопропилпиперидин-4-он $C_{27}H_{34}O_7N_2$ Вода $N-(\beta,D$ -мальтозил)-карбамид-2,6-дифенил-3-изопропилпиперидин-4-он $C_{33}H_{44}O_{12}N_2$ Вода $N-(\beta,D$ -лактозил)-карбамид-2,6-дифенил-3-изопропилпиперидин-4-он $C_{33}H_{44}O_{12}N_2$ Вода	Названия соединенийБрутто формуларимост к / г/мольМг, г/моль2,6-дифенил-3-изопропилпипперидин-4-он $C_{20}H_{23}ON$ Ацетон293 $N - (\beta,D$ - ксилопиранозил)-карбамид-2,6-дифенил-3-изопропилпиперидин-4-он $C_{26}H_{32}O_6N_2$ Вода468 $N - (\beta,D$ -арабинопиранозил)-карбамид-2,6-дифенил-3-изопропил-пиперидин-4-он $C_{26}H_{32}O_6N_2$ Вода468 $N - (\beta,L - рибозопиранозил)$ -карбамид-2,6-дифенил-3-изопропилпиперидин-4-он $C_{26}H_{32}O_6N_2$ Вода468 $N - (\beta,D$ -глюкопиранозил)-карбамид-2,6-дифенил-3-изопропилпиперидин-4-он $C_{27}H_{34}O_7N_2$ Вода498 $N - (\beta,D$ -палактопиранозил)-карбамид-2,6-дифенил-3-изопропилпиперидин-4-он $C_{27}H_{34}O_7N_2$ Вода498 $N - (\beta,D$ -мальтозил)-карбамид-2,6-дифенил-3-изопропилпиперидин-4-он $C_{33}H_{44}O_{12}N_2$ Вода660 $N - (\beta,D$ -лактозил)-карбамид-2,6-дифенил-3-изопропилпиперидин-4-он $C_{33}H_{44}O_{12}N_2$ Вода660	Названия соединенийБрутто формуларимост $_{\rm b}$ Mr, $_{\rm r/моль}$ $_{\rm 1na}$ 2,6-дифенил-3-изопропилпипперидин-4-он $C_{20}H_{23}ON$ Ацетон293119 $N-(\beta,D$ - ксилопиранозил)-карбамид-2,6-дифенил-3-изопропилпиперидин-4-он $C_{26}H_{32}O_6N_2$ Вода468213 $N-(\beta,D$ -арабинопиранозил)-карбамид-2,6-дифенил-3-изопропилпиперидин-4-он $C_{26}H_{32}O_6N_2$ Вода468169 $N-(\beta,L-$ рибозопиранозил)-карбамид-2,6-дифенил-3-изопропилпиперидин-4-он $C_{26}H_{32}O_6N_2$ Вода468198 $N-(\beta,D$ -глюкопиранозил)-карбамид-2,6-дифенил-3-изопропилпиперидин-4-он $C_{27}H_{34}O_7N_2$ Вода498183 $N-(\beta,D)$ -галактопиранозил)-карбамид-2,6-дифенил-3-изопропилпиперидин-4-он $C_{27}H_{34}O_7N_2$ Вода498185 $N-(\beta,D)$ - мальтозил)-карбамид-2,6-дифенил-3-изопропилпиперидин-4-он $C_{33}H_{44}O_{12}N_2$ Вода660180 $N-(\beta,D)$ -лактозил)-карбамид-2,6-дифенил-3-изопропилпиперидин-4-он $C_{33}H_{44}O_{12}N_2$ Вода660176

Система: бензол-диоксан (40:1); \*бензол-диоксан (60:1)

Таблица 3.24 – Характеристические частоты в ИК-спектрах 2,6дифенил-3-изопропилпиперидин-4-она и его углеводных производных

№	Названия соединений	N-H	ОН	C=O	C-O-C	C-N
		v, cm <sup>-1</sup>				
1	2,6-дифенил-3-изопропилпиперидин-4-он	3310	-	1712	-	
2	N-(β,D-ксилопиранозил)-карбамид-2,6-дифенил-3- изопропилпиперидин-4-она	-	3434	1719	1037	1209
3	N-(β,D-арабинопиранозил)-карбамид-2,6-дифенил-3- изопропилпиперидин-4-она	-	3433	1723	1035	1306
4	N-(β,L-рибопиранозил)-карбамид-2,6-дифенил-3- изопропилпиперидин-4-она	-	3300	1716	1211	1305
5	N-(β,D-глюкопиранозил)-карбамид-2,6-дифенил-3- изопропилпиперидин-4-она	-	3434	1727	1037	1240
6	N-(β,D-галактопиранозил)-карбамид-2,6-дифенил-3- изопропилпиперидин-4-она	-	3389	1727	1104	1247
7	N-(β,D-мальтозил)-карбамид-2,6-дифенил-3- изопропилпиперидин-4-она	-	3432	1727	1069	1241
8	N-(β,D-лактозил)-карбамид-2,6-дифенил-3- изопропилпиперидин-4-она	-	3433	1723	1035	1306

Таблица 3.25— Физико-химические характеристики 2,6-дифенил-3-амилпипперидин-4-он и его углеводных производных

№	Названия соединенй	Брутто формула	Раствори мость	Mr, г/моль	Тпл, °С	Rf
1	2,6-дифенил-3-амилпипперидин-4-он	C <sub>22</sub> H <sub>27</sub> ON	Ацетон	321	120	0,81*
2	N–(β,D-ксилопиранозил)-карбамид-2,6-дифенил- 3-амилпиперидин-4-он	$C_{28}H_{36}O_6N_2$	Вода	496	168	0,79*
3	N-(β,D-арабинопиранозил)-карбамид-2,6- дифенил-3-амилпиперидин-4-он	$C_{28}H_{35}O_6N_2$	Вода	496	188	0,36*
4	N–(β,D-глюкопиранозил)-карбаид-2,6-дифенил-3- амилпиперидин-4-он	$C_{29}H_{33}O_7N_2$	Вода	521	170	0,76*
5	N–(β,D-галактопиранозил)-карбамид-2,6- дифенил-3-амилпиперидин-4-он	$C_{29}H_{33}O_7N_2$	Вода	521	185	0,57*
6	N–(β,D-мальтозил)-карбамид-2,6-дифенил-3- амилпиперидин-4-он	$C_{35}H_{48}O_{12}N_2$	Вода	688	197	0,58*

Система: \*бензол-диоксан (60:1)

Таблица 3.26— Характеристические частоты ИК-спектров 2,6-дифенил-3-амилпиперидин-4-он и его углеводных производного

№	Названия соединений	N-H	ОН	С=О	С-О-С	C-N
1	2,6-дифенил-3-амилпиперидин-4-он	3316	-	1715	-	
2	(N-(β,D-ксилопиранозил)-карбамид-2,6дифенил-3- амилпиперидин-4-она	-	3416	1720	1037	1210
3	N-(β,D-арабинозопиранозил)-карбамид-2,6-дифенил -3- амилпиперидин-4-она	-	3448	1710	1089	1209
4	N-(β,D-глюкопиранозил)-карбамид-2,6-дифенил-3- амилпиперидин-4-она	-	3430	1719	1039	1209
5	N-(β,D-галактопиранозил)-карбамид-2,6-дифенил-3- амилпиперидин-4-она	-	3415	1710	1087	1205
6	N-(β,D-мальтозил)-карбамид-2,6-дифенил-3-амилпиперидин-4- она	-	3418	1710	1046	1202

## 3.4 Биологическая активность углеводных производных у-пиперидонов

Компьютерный прогноз биологической активности проводился с помощью программы PASS [103,104,105]. Основными показателями расчета спектра биологического действия являются Ра (активность) и Рі (неактивность), чем больше величина Ра и меньше Рі, тем больше вероятность обнаружения данной активности в синтезированном соединении [106,107]. При анализе компьютерного прогноза (в таблице №) выбраны те виды активности, которые имеют наибольшую величину вероятности обнаружения данной активности в соединении. Вероятность наличия каждого вида активности (Ра) и вероятность отсутствия каждого вида активности (Рі) принимает значение от нуля до единицы.

Новые лекарственные препараты находят путем скрининга больших количеств вновь синтезированных соединений, выбирая для длительных медико – биологических испытаний только те, которые были эффективны по их прямому назначению и наименее вредны по их побочному влиянию на организм. Большая часть новых соединений оказывается в ряду неперспективных для фармакологии из — заряда причин: высокой токсичности, низкой растворимости в воде, мутагенности, опасного влияния на организм продуктов распада и других неблагоприятных факторов.

Компьютерное прогнозирование спектра биологической активности органических соединений актуально и востребовано. Компьютерная программа PASS позволяет по структурной формуле «лекарственно – подобного» органического соединения оценить вероятный профиль его биологической активности. Веб –ресурс PASS обеспечивает предсказание 4 тысяч видов биологической активности со средней точностью 95%.

Программа PASS не может предсказать, станет ли конкретное вещество лекарственным препаратом, поскольку это зависит от ряда различных факторов. Однако предсказание может помочь определить, на какие виды биологической активности следует протестировать анализируемое соединение и какие вещества

с наибольшей вероятностью могут проявить требуемые виды активности [102-107].

Синтез углеводсодержащих производных пиперидина представляет собой актуальную задачу. Высокая фармакологическая активность азотистых гетероциклов, составной частью которых является гамма — пиперидон, стала стимулом к произведению большого количества исследований по синтезу их гомологов, аналогов и различных производных, а также их способности влиять на фармакологические свойства молекулы [108].

Синтезированные в работе кетоны и их углеводные производные характеризуются широким спектром фармакологической активности.

3.9 Ha рисунке представлен сравнительный результ расчета компьютерного прогноза двух углеводных производных 2,6-дифенил-3амилпиперидин-4-она. Показано, что биологическая активность зависит от Так углеводного остатка. у производного ксилозы противоопухолевая активность выражено сильнее, чем у производного глюкозы, а противоэкземная активность, наоборот уменьшается.

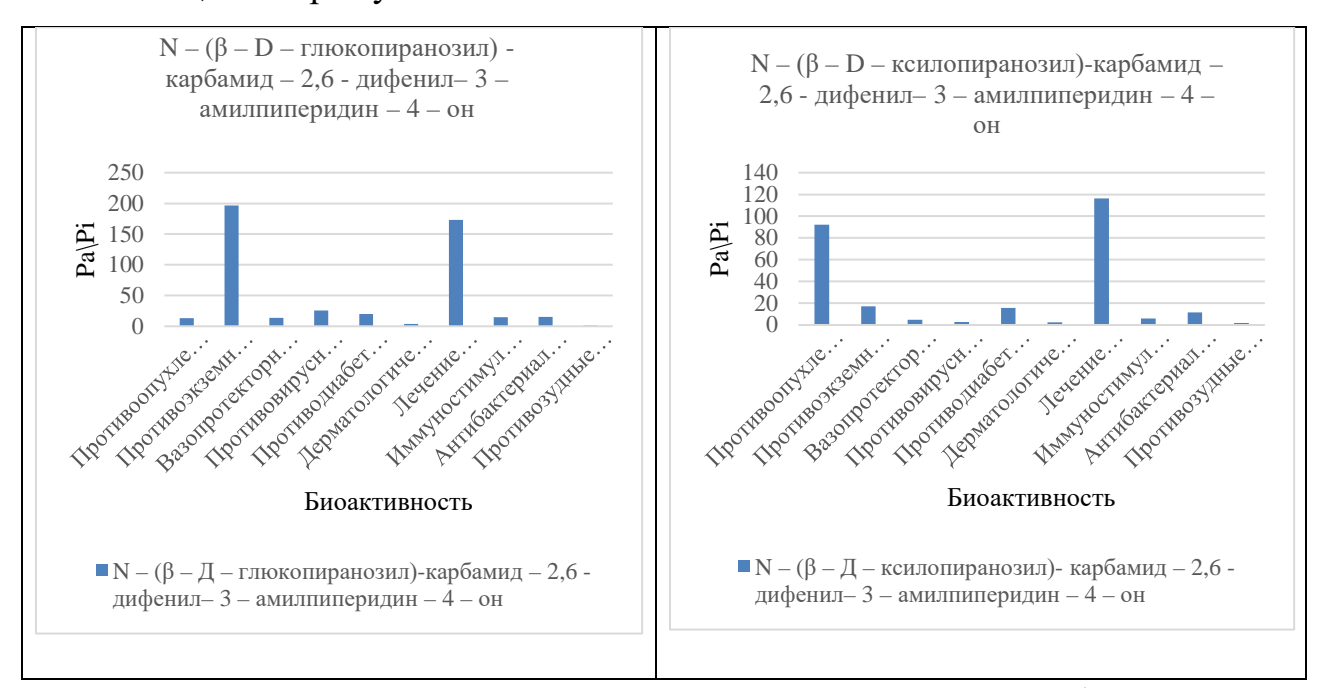


Рисунок 3.9 — Диаграмма расчета компьютерного прогноза биологической активности углеводных производных 2,6-дифенил-3-амилпиперидин-4-она

На рисунке 3.10 представлен сравнительный результат расчетам компьютерного прогноза биологической активности лактазил и арабинозил производных 2,6-дифенил-3-изопропилпиперидин-4-она. Из рисунка видно, что вслучаи моносахаридного остатка противоопухлевая активность более вероятна.

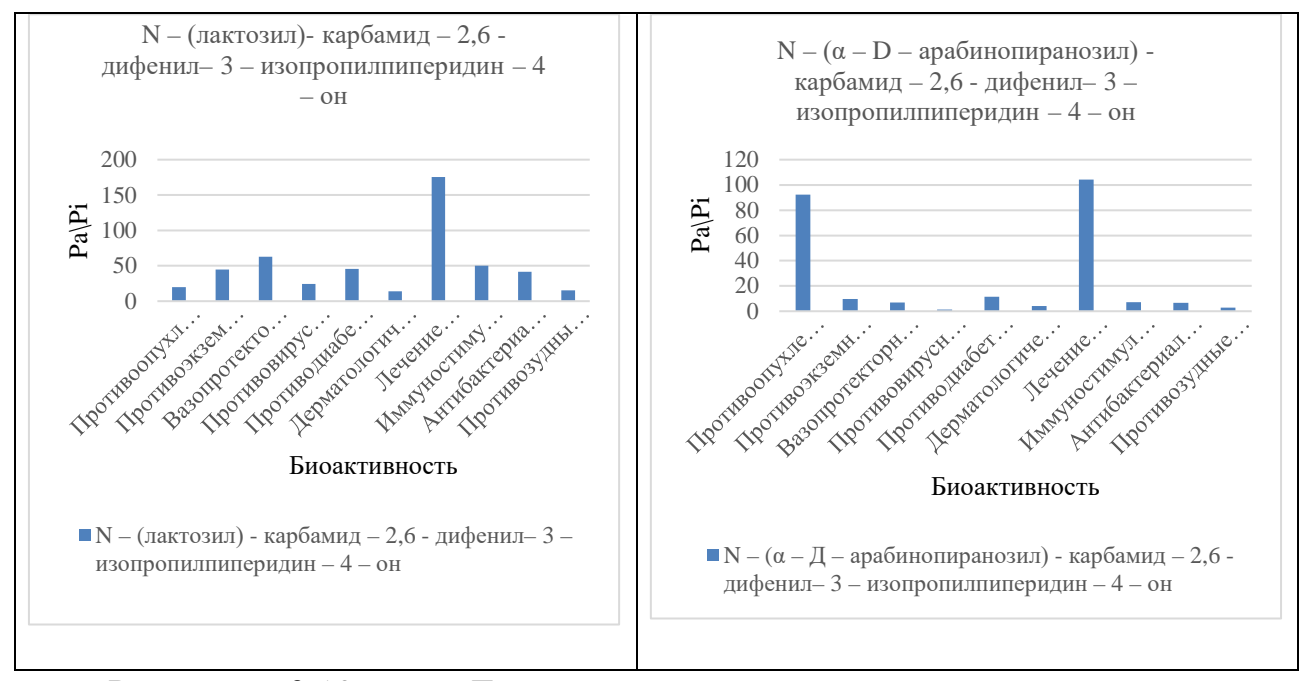


Рисунок 3.10 — Диаграмма расчета компьютерного прогноза биологической активности углеводных производных 2,6-дифенил-3-изопропилпиперидин-4-она

Следует отметить, что дерматологическая активность сохраняется у всех соединений, не зависимо ни от структуры радикала в гетероцикле, ни от структуры углеводного компонента.

аналогии был проведен компьютерный пргноз биологической активности для всех синтезированных углеводных производных двух кетонов. Результаты в представлены 3.27 и 3.28. а также на рисунках 3.11. и 3.12. Анализ полученных результатов позволяет сделать следующие заключение: с введением углеводной компоненты, такие виды активности как антивирусная, антибактериальная, антигельминтная, антитуберкулезная увеличиваются, при общем снижении токсичности. Данные виды активности с моносахаридов повышаются в ряду: ксилоза > глюкоза > галактоза > рибоза> арабиноза; а при введении дисахаридов активность несколько иная.

Таблица 3.27 – Вероятность биологической активности по программе PASS (Pa/Pi)

No	Hanara a samura a	1					•		· ` · · · · · · · · · · · · · · · · · ·		
No	Название соединений	Ингибитор фосфатазы	Антиэкземичес кий	Противодиабе- тический	Противовирусн ый	Рестеноз стента	Вазопротектор	Иммуностиму- лятор	Иммунодепрес- сантый	Антибактери- альный	
1	2,6-дифенил-3-изопропилпиперидин-4-он	0,652/	0,801/	0	0,375/	0	0,692/	0	0,377/	0,313/	0,343/
		0,026	0,018		0,040		0,011		0,072	0,055	0,128
		25,08	44,5		9,38		62,91		5,24	5,69	2,68
2	Ν-(β,D-ксилопиранозил)-карбамид-2,6-	0,630/	0,587/	0,414/	0,180/	0,503/	0,365/	0,308/	0,272/	0,248/	0,347/
	дифенил-3-изопропилпиперидин-4-она	0,033	0,092	0,040	0,119	0,005	0,098	0,076	0,132	0,084	0,126
		19,09	6,38	10,35	1,51	100,6	3,72	4,05	2,06	2,95	2,75
3	Ν-(β,D-арабинопиранозил)-карбамид-2,6-	0,630/	0,587/	0,414/	0,248/	0,503/	0,365/	0,308/	0,272/	0,248/	0,399/
	дифенил-3-изопропилпиперидин-4-она	0,033	0,092	0,040	0,131	0,005	0,098	0,076	0,132	0,084	0,008
		19,09	6,38	10,35	1,89	<b>100,</b> 6	3,72	4,05	2,06	2,95	49,88
4	Ν-(β,L-рибопиранозил)-карбамид-2,6-	0,630/	0,587/	0,342/	0,303/	0,503/	0,365/	0,308/	0,272/	0,248/	0,264/
	дифенил-3-изопропилпиперидин-4-она	0,033	0,092	0,022	0,247	0,005	0,098	0,076	0,132	0,084	0,031
		19,09	6,38	15,54	1,23	100,6	3,72	4,05	2,06	2,95	8,51
5	Ν-(β,D-глюкопиранозил)-карбамид-2,6-	0,637/	0,614/	0,542/	0,530/	0,632/	0,456/	0,457/	0,454/	0,343/	0,420/
	дифенил-3-изопропилпиперидин-4-она	0,031	0,080	0,018	0,019	0,004	0,054	0,044	0,052	0,045	0,090
		19,30	7,68	30,11	27,89	158	8,44	10,39	8,73	7,62	4,66
6	Ν-(β,D-галактопиранозил)-карбамид-2,6-	0,637/	0,614/	0,355/	0,480/	0,632/	0,456/	0,457/	0454/	0,370/	0,413/
	дифенил-3-изопропилпиперидин-4-она	0,031	0,080	0,019	0,060	0,004	0,054	0,044	0,052	0,048	0,100
		19,30	7,68	18,69	8	158	8,44	10,39	<b>8,7</b> 3	7,71	4,13
7	Ν-(β, D-мальтозил)-карбамид-2, 6-дифенил-3-	0,586/	0,489/	0,465/	0,316/	0,581/	0	0,496/	0,442/	0,424/	0,480/
	изопропилпиперидин-4-она	0,055	0,143	0,029	0,031	0,005		0,038	0,055	0,025	0,078
		10,65	3,42	16,03	10,19	<b>116,</b> 2		13,05	8,04	16,96	6,16
8	Ν-(β, D-лактозил)-карбамид-2, 6-дифенил-3-	0,603/	0,472/	0,355/	0,199/	0,299/	0	0	0	0	0,252/
	изопропилпиперидин-4-она	0,046	0,153	0,058	0,096	0,015					0,08
		13,11	3,09	6,12	2,07	19,93					3,04

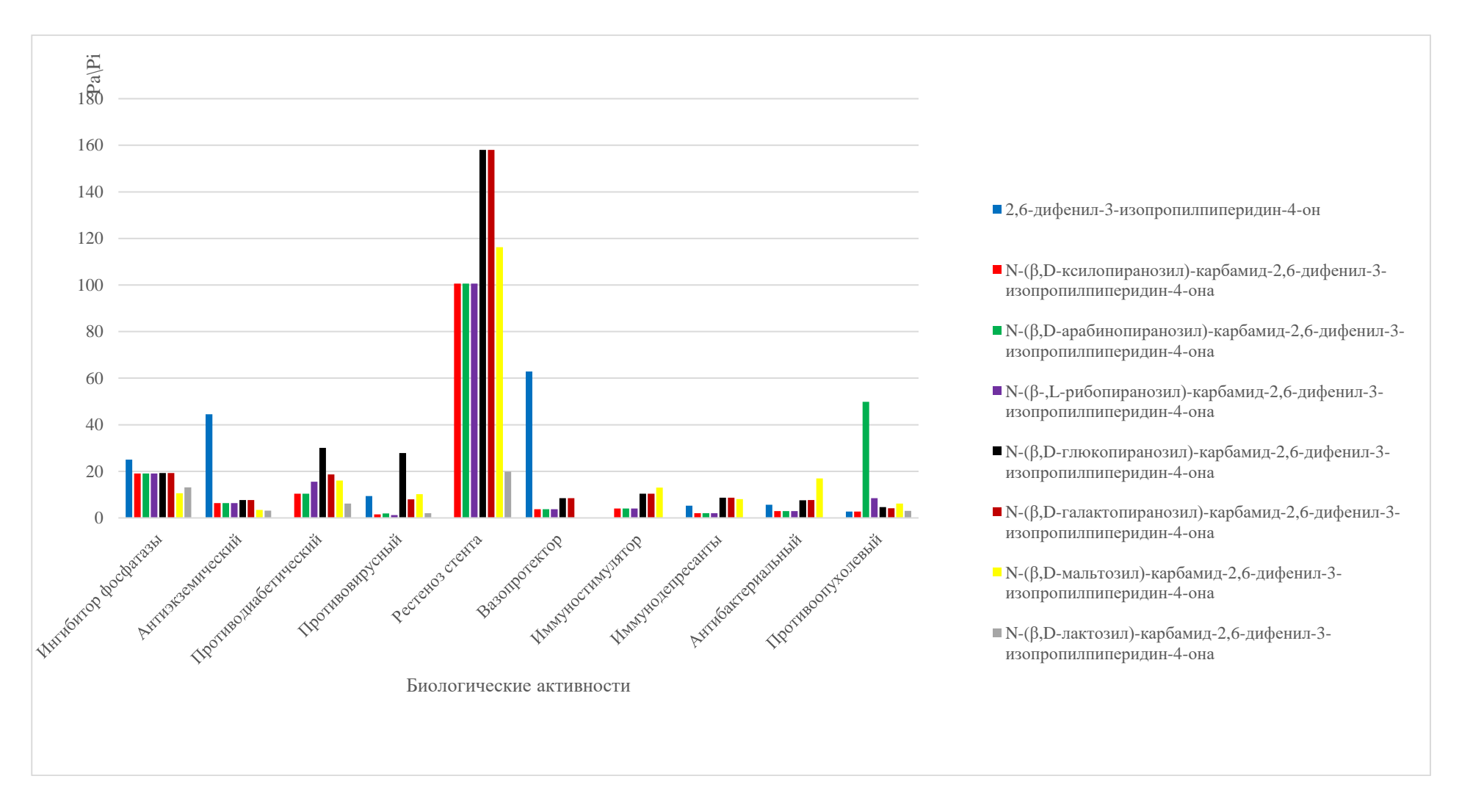


Рисунок 3.9 – Диаграмма вероятной биологической активности по программе PASS

Таблица 3.28 – Вероятность биологической активности по программе PASS (Pa/Pi)

3.0	Таолица 5.26 — Вероятность опологической активности по программе ТАЗЗ (Та/Т)								
№	Название соединений	ый		синтеза	PHI	иче	03a	361	
		WH (	do	ИН	иал	бет	Ген	та	
		K36	ект		epi	па	ec	фэ	
		803	0 T O	ИТО	akT	ВОД	1e I	фоф	
		TIL	anp	У,	и0:	Z Z	ени	оd1 19и	
		Противоэкземный	Вазапротектор	Ингибитор РНК	Антибактериальны й	Противодиабетиче ский	Лечение рестеноза	Ингибитор сахарофосфотазы	
1	2,6-дифенил-3-амилпиперидин-4-он	0,782/	0,735/	0,268/	0,282/	0	0	0,514/	
		0,023	0,008	0,081	0,067			0,079	
		34	91,86	3,31	4,21			6,51	
2	(N-(β,D-ксилопиранозил)-карбамид-2,6-	0,638/	0,475/	0,224/	0,251/	0,376/	0,476/	0,148/	
	дифенил-3-амилпиперидин-4-она	0,070	0,047	0,135	0,082	0,050	0,006	0,062	
		9,11	10,11	1,66	3,06	7,52	79,33	2,39	
3	Ν-(β, D-арабинозопиранозил)-карбамид- 2,6-	0,638/	0,475/	0,224/	0,251/	0,376/	0,476/	0,148/	
	дифенил -3-амилпиперидин-4-она.	0,070	0,047	0,135	0,082	0,050	0,006	0,062	
		9,11	10,11	1,66	3,06	7,52	79,33	2,39	
4	Ν-(β,D-глюкопиранозил)-карбамид-2,6-	0,656/	0,576/	0,330/	0,346/	0,510/	0,613/	0,604/	
	дифенил-3-амилпиперидин-4-она	0,062	0,023	0,038	0,044	0,022	0,004	0,054	
		10,58	25,04	8,68	7,86	23,18	153,25	11,19	
5	N-(β,D-галактопиранозил)-карбамид-2,6-	0,656/	0,576/	0,330/	0,346/	0,510/	0,613/	0,604/	
	дифенил-3-амилпиперидин-4-она	0,062	0,023	0,038	0,044	0,022	0,004	0,054	
		10,58	25,04	8,68	7,86	23,18	153,25	11,19	
6	Ν-(β, D-мальтозил)-карбамид-2, 6-дифенил-3-	0,727/	0	0,212/	0,294/	0	0	0,277/	
	амилпиперидин-4-она	0,037		0,152	0,062			0,205	
		19,65		1,39	4,74			1,35	

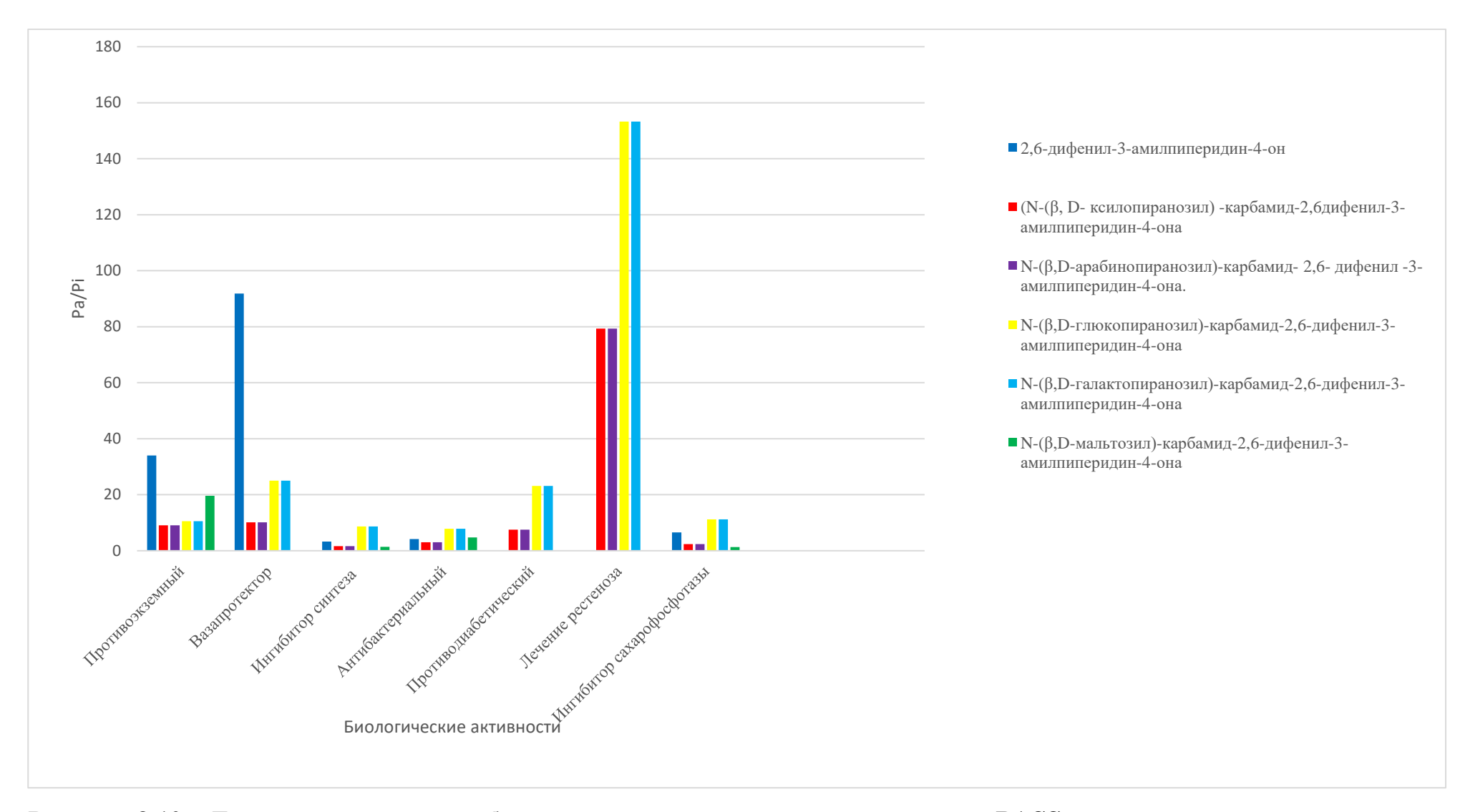


Рисунок 3.10 – Диаграмма вероятной биологической активности по программе PASS

## **ЗАКЛЮЧЕНИЕ**

- 1. Разработаны условия синтеза и выделения: трех γ-пиперидонов, их N производных (метил-, этил-, бензил-, 3'-м-нитрофенил-3'-оксопентил-, 2'-метил-3'-оксобутил-); на их основе стереоизомерных пиперидиловых спиртов. Структура синтезированных веществ определяется совокупностью современных физико-химических методов исследования: ИК-спектроскопией, метод ПМР, элементным анализом, тонкослойной хроматографией.
- 2. Изучены реакции N- замещенных γ пиперидонов по нуклеофильному центру карбонильной группы с образованием оксимов, гидразонов, фенилгидразонов, семикарбозонов, тиосемикарбазонов, 2,4-динитрофенилгидразонов. Получен патент Кыргызской Республики № 2066. от 31 мая 2018 г. Заявка №201701127.1. «N замещенные гамма-пиперидоны».
- 3. Синтезированы углеводные производные гетероциклических кетонов пиперидинового ряда на основе реакции переамидирования нитрозокарбамидов.
- 4. прогноз биологической Проведен компьютерный активности синтезированных соединений. Показано увеличение спектра биологического действия при модификации структуры углеводных остатков счет гидролитически устойчивых N-гликозиламидных связей, а также за счет структуры радикалов при атоме азота. Установлено, что введение углеводного компонента может способствовать повышению растворимости, снижению токсического действия и изменению спектра биологической активности.

## СПИСОК ИСПОЛЬЗОВАННЫХ ИСТОЧНИКОВ

- 1. **Адылов, С.А.** Синтез стереоизомерных пиперидолов 4 / С.А. Адылов, Л.С. Хаперская, М.А.Шерова // Вестник КНУ. Серия естественно-технические науки. Выпуск.1 Чать.2. Бишкек, 1996. С.16-21.
- 2. **Ахметова, Г.С.** Синтез и фармакологические свойства 1- (2 фенилэтил)-1- (3-этоксипропил)-4-кетоксимпиперидинов и их бензойный эфиров/ Г.С. Ахметова/ / Абай атындагы Каз УПУ-дын Хабаршысы, «Жаратылыстану-география гылымдары» 2010 ж. №3 сериясы (25). С.3-5.
- 3. **Калиджанова, Г.Т**. Синтез и исследование оксииминопроизводных 2,5 диметилпиперидин 4 она (Новые биологически активные соединения пиперидина): автореферат дис. кан. наук 02.00.03. Органическая химия /Г.Т. Калиджанова// Республика Казахстан Алматы 2000 г. 28 с.
- 4. **Машковский, М.**Д. Лекарственные средства/ М.Д. Машковский // 16-е издание. –М.: Новая волна 2012. С. 309-316.
- 5. **Наметкин, С.С.** Гетероциклические соединения/ С.С.Наметкин//- М.; Наука, 1981.
- 6. **Kuhn, R.** Uber Hexen 2 olid- 4.1-und Hexen 2 oild 5.1./R. Kuhn, D. Jerchel// Chem. Ber 1943. 76, P.413-419.
- 7. **Ajay Kumar, K**. Piperidone analogs: synthesis and their diverse biological applications /K. Ajay Kumar, G. Pavithra, N. Renuka, G. Vasanth Kumar// International Research Journal of Pharmaceutical and Applied Sciences (IRJPAS).2012; 2(6): P.145-154.
- 8. **Ким,** Д.Г. Новый способ синтеза замещенных 2- фенил- и 2,6-дифенил-4-пиперидонов /Д.Г.Ким, Г.Б.Тулемисова // Ж. Орг. хим. 1997. Т.33, №9. С. 1412–1415.
- 9. Патент 920145, 1992. Республика Казахстан // Промышленный Собственность. Официальный бюллетень Республики Казахстан, 1993г. №2.
- 10. **Kalaiselvan, R.** Synthesis, Antimicrobial and Analgesic studies of N nitroso- 2,6 -di-panisyl- piperidin 4 ones/ D. Sathyamurthy, G. P. Mohanta, S.Uma Devi, Indian Drugs, 5, 2004. 41. P. 258-261.

- 11. **Geng, Q.** A facile synthesis of N aryl substituted piperidones/ H. Zhang, W. Cao, Y. Chen //Chinese Journal of Chemistry, 2009; 27(10); P.1995-2000.
- 12. **Наметкин, С.С.** Гетероциклические соединения./С.С. Наметкин// М.: Наука, 1981. С. 511–513.
- 13. **Pannecoucke, X.** Regio- and Enantioselective Alkylation of a N-Protected Pyrrolidin-3-one Using Enders' Chiral Hydrazone Method: A Key Step Towards a New Asymmetric Total Synthesis of (-)-Quinocarcin and Related Analogues/ Quirion, J-C., Schneider U.// Institut de Recherche en Chimie Organique Fine 2002, P.1669–1672.
- 14. **Ruzika, L**.// Helvetica Chimica Acta/ L. Ruzika, P. Muller, 1920. P. 416.
- 15. Назаров, И.Н. ОХН/И.Н. Назаров// Известия. АН ССР, 1952г., №6. С. 1057.
- 16. **Назаров, И.Н.** Журнал органической. химии. /И.Н. Назаров// 1952г., 22. С. 1410.
- 17. **Schneider, U.** Regio- and Enantioselective Alkylation of a N protected Pyrrolidin -3-one Usign Enders Chiral Hydrazone Method /U. Schneider, X. Pannecoucke, J. Quirion// Synlett (10) 2002.P.1669-1672.
- 18. **Chauvin, A**. Reactivite des f-alkyl-3 propynoates d'ethyle: addition d'esters α et β amines. synthese de f-heptyl pyrrolidone/ A. Chauvin, J. Fabron, M.O. Ait Yahia, R. Pastor, A. Cambon// Nice Cedex France:1990, 46, P. 6705-6714
- 19. **Пралиев,** Д.К. Синтез и стереохимия фенилэтилирование 1 − (2 − этоксиэтил) − 3 − метилпиперидин − 4 − она / Д.К. Пралиев, Д.В.Соколов, Е.И. Хохлова // Хим.Фарм.Ж., 1986г. №6. С. 679.
- 20. **Назаров, И.Н.** Изв. АН ССР, ОХН/И.Н. Назаров, В.А.Руденко// 1948г.№6. С 610.
- 21. **Legler, G**. Glycoside Hydrolases: Mechanistic Information from Studies with Reversible and Irreversible Inhibitors. Advances in Carbohydrate Chemistry and Biochemistry. 1990. V. 48. P. 319.
- 22. **Константинова, Ю.В.** Функциональные моно и бициклические пиперидины: синтез, превращения и свойства. /Ю.В. Константинова// Институт химических наук им. А.Б. Бектурова ЦХТИ МОН РК, Алматы. 2006.

- 23. **Пономарев, С.В**. Практикум по органической химии /С.В. Пономарев, А.С.Золотарева, Л.Г.Сагинова, В.И.Теренин// Методическая разработка М.: 1999г.
- 24. **Марч**, Дж. Органическая химия. Реакции, механизмы и структура/Дж. Марч// В 4-х томах. М.: Мир, 1987. Т.3. С. 380 386.
- 25. **Ретуов, О.А**. Органическая химия/ О.А. Реутов, А.Л. Курц, К.П.Бутин // В 4 частях. М.: Бином. Лаборатория знаний, 2010. Т.3. С. 124 134.
- 26. **Агрономов, А. Е**. Избранные главы органической химии/А. Е. Агрономов//— 2-е издание, переработанное и дополненное. М.: Химия, 1990. С. 183 217.
- 27. **Смит, В. А**. Основы современного органического синтеза/ В. А. Смит, А. Д.Дильман // Глава 8. М.: Бином. Лаборатория занятий, 2015. С. 203 232.
- 28. **Kalaiselvan, R**. /R. Kalaiselvan, D. Sathyamurthy, G.P. Mohanta, S. Uma Devi//Indian Drugs, 5, 2004.41.P.258.
- 29. **Ramalingan C.** Synthesis, Sterochemistry and Antimicrobial evaluation of substituted piperidin 4 one oxime ethers// C. Ramalingan, Y. T. Park, S. Kabilan// Eur J Med Chem. 86. 2006. P. 1616.
- 30. **Murugesan, S**. Synthesis, sterochemistry and antimicrobial activity of 2,6 diaryl 3 arylthiol hiheridin 4 ones/ S. Murugesan, S. Perumal, S. Selvaraj// Chem Pharm Bull (Tokyo), 54. 2006. P. 795.
- 31. **Manimekalai, A.** Stereo chemical studies of some t-3-methyl-r- 2, c-6-diphenylpiperidin 4 one azine derivatives/J. Jayabharathi, L. Rufina, R. Mahendhiran// Indian J Chem. 42B. 2003. P. 2074-2079.
- 32. **Pandeya, S. N**. Biological activities of isatin and its derivatives/ S. N. Pandeya, S. Smitha, M. Jyoti, S. K. Sridhar//Acta Pharm. 45. 2005. P. 27.
- 33. Бортникова, К.А. Синтез и стереохимия оксимов 2,6 бис(диметоксифенил)
   3 пропилпиперидин 4 онов / К.А. Бортникова, Ж.С. Асылханов,
   Н.Б.Курманкулов, К.Б. Ержанов // Вестник Национальной академии Республики

- 34. **Fernando, A.** Stereoselective Synthesisofmeso- andcis- 2,6 diarylpiperidin 4 onescatalyzedby-L proline/ A. Fernando, Ana Belen Garcia, N. Quinones, Maria PazCabai // Synthesis. 2008. V. 3. P. 479 484.
- 35. **Ramalingan,**C. Synthesis, stereochemistry and antimicrobial evaluation of substituted piperidin 4 one oxime ethers / C.Ramalingan, Y.T.Park, S.Kabilan. // European Journal of Medicinal Chemistry. 2006. V. 41. P. 683 685.
- 36. Патент РФ № 2180557 // Анестезирующий состав пролонгированного действия /Шантыз М.Г.Галенко Ярошевский П.А., Мурзагулова К.Б., Ахмедова Ш.С., Сагимбекова Н.Б., Шарифканов А.Ш.Опубл. 20.03.02г.
- 37. Джаманбаев, Ж.А. Актуальные проблемы синтеза физиологически активных соединений/ Ж. А. Джаманбаев, В. С. Дермугин, Б. К. Эрназарова//Центрально Азиатский мед. Журнал. 2005. Т 11. С. 170-250.
- 38. **Преображенский, Н.А.** Химия биологически активных природных соединений./ Н.А. Преображенский, Р.П. Евстигнеева// М.: Химия, 1970. С.95.
- 39. **Казицина,** Л.А. Применение УФ, ИК и ЯМР спектроскопии в органичекой химии /Л.А. Казицина, Н.Б. Купецкая, ВШ М.: 1971. С.270.
- 40. **Иоффе, Б.В.** Физические методы определения строения органических соединенйи // Б.В.Иоффе, Р.Р. Костиков, В.В. Разин//ВШ. М.:1984.С.336.
- 41. Сарымзакова, Р.К. Квантово химические расчеты N гликозилизотиоционатов и его производных./Р.К. Сарымзакова, М.А. Шерова, И.М. Локшина, А.З. Джуманазарова.// Вестник КГНУ. Серия естест-техн. Науки 1997. Выпуск 2. Ч.2. С.42-45.
- 42. **Эрназарова, Б.К**. Синтез производных гликозилмочевин. /Б.К. Эрназарова, Ж.А. Джаманбаев, В.С. Дермугин, М. Арзыбаев/ Сборник научных трудов. Проблемы и перспективы развития химии и химической технологии в Кыргызстане. Бишкек 2002. С. 260-265.
- 43. **Ташпулатов, А.А.** Синтез ацетилированных гликозилизотиоционатов/ А.А. Ташпулатов, И. Рахматуллаев, В.А. Афанасьев, Н. Исмаилов// ЖОХ.1988. С. 1893-1897.

- 44. **Laszlo Kurti.** Гликозидирование. /Laszlo Kurti, Barbara Czako// Koenigs-Knorr, P.246-247.
- 45. **Ogura, H.** Syntheses of modified nucleosides analogs with isothyocyanates. Heterocycl/ H. Ogura, H. Takahashi// Chem. 1977. 6,10. P.1633-1638.
- 46. **Ogura, H.** Syntheses of nucleoside analogs from hydrazine derivatives. / H.Ogura, N. Aciolsres, H. Takahashi//Chem. Natur.prod. Sapporo.1978 P.251-254.
- 47. Benn M.N. N-β-glucopyranozylthiourea/M.N. Benn, J. Canad. 1963. -41. №1. P.196-197.
- **Шумалаев, А.Д.** ХПС/А.Д. Шумалаев, Л.А. Игнатова, Б.В. Унковский//1982 №2. С.269.
- 48. **Игнатова Л.А.** Синтез и кольчатоцепная таутомерия замещенных 4 оксогексагидропиримидинтионов -2. 1969. С. 889-895
- 49. **Westphal Kroh, L**. Untersudhungem zur Maillard-Reaktion/ L. Westphal Kroh, H. Koppel// Chem. 1982. P.139-140.
- 50. Афанасьев, В.А. Синтез и противоопухлевая активность углеводных производных нитрозометилмочевины/ В.А. Афанасьев, Ж.А. Джаманбаев, А.А. Островская//Химиятерапияопухолей в СССР. Сб. ДСП. 1988. Выпуск 52. С. 145 -152.
- 51. **Абдурашитова, Ю.А.** Производное углеводов с гетероциклическими соединениями./ Ю.А. Абдурашитова, А.Ж. Джаманбаев, Р.К. Сарымзакова.// Вестник КНУ им. Ж. Баласагына 2013. С.
- 52. **Джаманбаев, Ж.А.** Карбамиды углеводов./ Ж.А. Джаманбаев, Р.К.Сарымзакова, В.А. Афанасьев Бишкек: ОсОО «Ростра» 2000. С.99.
- 53. Сарымзакова, Р.К. Модификация биологически активных соединений методом гликозилтиокарбамоилирования/ Р.К. Сарымзакова//Узбекский химический журнал г. Ташкент. ФАЕ АН РУЗ. 2004. №3 С.43-46.
- 54. **Лурье**, **С.И.** Гликозиды сульфамидов/ С.И. Лурье, М.М. Шемякин//ЖОХ. 1994. №13. Выпуск 10. С. 935-936.
- 55. Джаманбаев, Ж.А. Медико фармакологические предпосылки создания новых противоопухлевых препаратов класса нитрозоалкилмочевин/

- Ж.А.Джаманбаев, А.З. Зурдинов, Р.А. Абдылдаев// Центрально Азиатский медицинский журнал. 1999.Т.5. №6. С.422-424.
- 56.**Шерова, М.А**. Реакционная способность углеводов по С<sub>1</sub> и прогнозированиеих биологической активности/ М.А. Шерова, Р.К. Сарымзакова, И.М. Локшина, Ю.А. Абдурашитова// Вестник КГНУ Серия естест-тех.науки. Выпуск 1. 1997.С 10-16.
- 57. Локшина, И.М. Лактозирование аминов ароматического И Р.К. полициклического рядов/И.М. Локшина, M.A. Шерова, Сарымзакова//Проблемы и перспективы развитияхимии И химической технологии в Кыргызстане. СБ. Бишкек, Илим, 202. Выпуск 6. Ч.2. С.78-86.
- 58. **Локшина, И.М.** Синтез и исследование свойств N арил-N мальтозилтиомочевины/ И.М. Локшина, М.А. Шерова, Р.К. Сарымзакова//Наука и новые технологии-2001. №2. С.100-103.
- 59. Clusius, K. Spontaneous and alcolic decompositions of nitrosomethelurea./K. Clusius, Z.Endtinger./ Helf. Chim. Acta. 1960. V. 43. P. 2063.
- 60. **Эрназарова, Б. К**. Синтез углеводных производных мочевин с гликозид(тио)амидными связями и компьютерное моделирование связей их структуры со свойствами (физико химическими и биологическими)[Текст]: дис. ... д ра хим. наук: 02.00.03 орг. хим. /Эрназарова Б. К. Бишкек, 2022г. 226с.
- **Покровская, Т.И.** История и практика применение никотина/Т.И. Покровская, И.М. Еремина, И.И. Галич, С.Г. Анушян// Евразийский Союз Ученых (ЕСУ) 2019. №5 (62) С.58-62.
- 61. **Kanamura**, **R.** Appearance of anticancer activity of masked compound of nithosourea TAO 77 1-(2-chloroethyl) -3-isobytyl -3- (β- maltosil)-1 nitrosourea in vitro. / R. Kanamura, S. Saito, C. Ishioka, Y. Konishi, A. Wakui. // Sci. Repts Res. Ingt. Tohoky Univ. 1986. №21. P. 16-21.
- 62. Дюсебаева, М.А. Синтез ацетиленовых спиртов гетероциклического ряда и их ацильных производных / М.А. Дюсебаева, Ж. Женис, Ш.А.Ахмедова //

- Chemical Bulletin of Kazakh National University, 2015, 1 (77). ISSN 1563-0331. C.36-42.
- 63. **Вацуро, К.В.** Именные реакции в органической химии/К.В. Вацуро, Г.Л. Мищенко// М.Ж Химия. 1976.С.528.
- 64. **Barton, D. H. R.** The Conformation of the Steroid Nucleus. Experientia, 6, 316 (1950); /D.H. R. Barton//Journal of the Chemical Society. 1958, p. 1027.
- 65. **Батуев, М.П.** Оптические исследования конформации цис- и транс 2 метил -1- этилциклогексинолов/ М.П. Батуев, А.А. Ахрем, А.В. Каменрницкий, А.Д. Назаров// ДАХ Изв АН Каз. ССР 1958 №11 С. 779-782.
- 66. **Allsop, I.L.** Infrared spectra of natural products. Part VI. The characterization of equatorial and axial 3-hydroxyl groups in triterpenoids/A.R. Cole, D.E. White, R.L.S. Willix//Journal of the Chemical Society. 1956. P.4868-4873.
- 67. **Ибрагимова, А.А**. Синтез некоторых биологически активных веществ с базовым пиперидиновым циклом [Текст]/ А.А.Ибрагимова, Ж.М.Медетбекова, С.А.Адылов, Л.С. Хаперская // Вестник КНУ им. Ж. Баласагына Есте. и гуман. науки. Выпуск 3. 2014 г. С. 49-53.
- 68. **Илиел,** Э. Конформационный анализ/ Э.Илиел, Н. Аллинжер, С. Энжиал, Г. Моррисон// М.; Мир, 1969. С. 592.
- 69. **Шамбетова, Б.А**. Синтез стереоизомерных 2,6-дифенил-3 изопропил-4-фенилэтинилпиперидин-4-олов по реакции Фаворского. Вестник 2007. С.
- 70. **Исин, Ж.И.** /Ж.И. Исин, Д.В. Соколов//Изв. Ан Каз. ССР Серия:Химия Выпуск 2 (13).
- 71. **Fernando, Aznar** Stereoselective Synthesis of meso- and cis- 2,6 diarylpiperidin 4 ones catalyzed by L proline / Ana Belen Garcia, Noelia Quinones, Maria Paz Cabai // Synthesis. 2008. V. 3. P. 479 484.
- 72. **Rameshkumar, N** Synthesis and Biological Activities of 2,6 Diaryl 3 methyl 4 piperidone derivatives / N. Rameshkumar, V. Anantharaman, R. Ilavarasan Mandaleeswaran // Biol. Pharm. Bull. 2003. V. 26(2). P. 188 193.
- 73. **Ибрагимова, А.А**. Синтез N-бензил-2,6-дифенил-3-изопропил пиперидин-4она и его производных [Текст] / А.А.Ибрагимова, Ж.М.Медетбекова, С.А.

- Адылов, Л.С.Хаперская // Вестник КНУ им. Ж. Баласагына Есте. и гуман. науки. 2009 г. С.64-66.
- 74. Хаперская, Л.С. Синтез N-(3'-м-нитрофенил-3'-оксопентил)-2,6-дифенил-3изопропил-4-этинилпиперидин-4-олов. [Текст]/ А.А.Ибрагимова, Л.С.Хаперская, А.А.Махмадов, Р.К.Сарымзакова // Результаты современных научных исследований и разработок./ г.Пенза. 2017 г. МЦНС «Наука и Просвещение» Сборник статей международной научно-практической конференции. C.21-25. https://www.elibrary.ru/item.asp?id=29885277.
- 75. Сарымзакова, Р.К. Целенаправленный синтез, компьютерный прогноз и результаты биологического скрининга производных гамма – пиперидонов. [Текст]/ Р.К.Сарымзакова, А.А.Ибрагимова, Л.С.Хаперская, Б.К.Сарымзакова, Ж.М.Медетбекова// РФ.Ж. «Международный журнал фундаментальных и прикладных исследований» г. Москва-2021г. -10 (часть 2) -C.125 – 130. DOI:10,17513(mgpfi.13304.IF-0,312. https://s.applied-
- research.ru/pdf/2021/10/13304.pdf
- 76. Щелкунов, А.В., Синтез и взаимные превращения монозамещенных ацетиленов/ А.В. Щелкунов, Л.Р. Васильева, А.А.Кричевский//Каз СССР.: Наука. Алма-Ата. 1976. -235 с.
- 77. Ибрагимова, **A.**A. Синтез азотсодержащих соединений новых гетероциклического ряда. [Текст]/ А.А.Ибрагимова, ароматического Л.С.Хаперская, М.К.Мажитова.// Научно инновационные технологии: идеи исследования и разработки. Бишкек. Изд. центр «Техник» 2018 г. С. 219-224.
- 78. Жээналиева, М.А. Синтез некотрых N производных 2,6-дифенил-3изопропилпиперидин-4-она/ М.А. Жээналиева, А.С. Адылов, Ж.М. Медетбекова, Л.С. Хаперская//Вестник КНУ Вып. 1. Серия 5. Ест. – тех. Науки 2006. С.215-218.
- 79. Патент №2066. Кыргызская республика. N –замещенные гамма пиперидоны. [Текст]/Л.С. Хаперская, А.А.Ибрагимова, Р.К. Сарымзакова, Медетбекова Ж.М.// Заявка №20170127.1 Приоритет изобретения: 17 ноябрь

- 80. **Ибрагимова, А.А**. Физиологически активные соединение на основе гамма пиперидона. [Текст]/ А.А.Ибрагимова, Л.С.Хаперская, Р.К.Сарымзакова, А.Т.Табалдыева // Вестник КГТУ им. И. Раззакова. Бишкек 2021. Теоретический и прикладной научно технический журнал. №4 (60) –C.222 -231. https://www.elibrary.ru/item.asp?id=48614089
- 81. **Саинова, Г.А.** Поиск новых фармакологически активных веществ в ряду производных пиперидина./[Текст]: статья // Е.Б.Талисбаев, М.Б.Жарменова.// Международный научно- Известия КГТУ им. И.Раззакова 60/2021 ГУМАНИТАРНЫЕ НАУКИ 231 исследовательский журнал №8, 2013 г. .С.66-69.
- 82. **Ибрагимова, А.А.** Производные гамма-пиперидонов новые биологические активные соединения [Текст]/А.А.Ибрагимова, Ж.М.Медетбекова, Л.С.Хаперская, Р.К. Сарымзакова Сборник статей международной научнопрактической конференции «Фундаментальные и прикладные научные исследования. Актуальные вопросы, достижения и инновации». г.Пенза 2020. Март.

## https://www.elibrary.ru/download/elibrary\_42527386\_54317147.pdf#page=33

- 83. **Арсакова, С.А.** Синтез некоторых биологически активных соединений пиперидинового ряда/ С.А. Арсакова, Л.С. Хаперская, С.А. Адылов, Ж.М. Медетбекова//Вестник КНУ.2004.-№4.-С.27-29
- 84. **Сарыбаева, Б.Д.** Присоединение гидразина и его производных по карбонильной группе N-замещенных-2,6-дифенил-3-изопропилпиперидин-4 она//Б.Д. Сарыбаева, Л.С. Хаперская, С.А.Адылов, Ж.М Медетбекова.// Вестник КНУ.2002. Серия3. вып.1. С. 102.
- 85. **Кабиева А.О.** Исследование токсичности и противоопухолевой активности соединений пиперидинового ряда. /[Текст]: статья // А.О. Кабиева, В.Л.Красношотов, Г.Г. Ушубаева, Ш.С.Ахмедова. //Современная медицина и онкология.-2004г. №1. С.145-146.

- 86. Патент РФ № 2180557 // Анестезирующий состав пролонгированного действия. [Текст]/ Шантыз М.Г., Галенко Ярошевский П.А., Мурзагулова К.Б., Ахмедова Ш.С., Сагимбекова Н.Б., Шарифканов А.Ш. Опубл. 20.03.02г.
- 87. **Хаперская**, Л.С. Синтез новых биологически активных соединений на основе N-замещенных гамма-пиперидонов/Л.С.Хаперская, Ж.М. Медетбекова, Р.К. Сарымзакова // Успехи современного естествознания. 2016. № 9 С. 38-42.
- 88. **Ибрагимова, А.А**. Сравнительный анализ биологической активности производных гамма пиперидонов. [Текст]/ А.А.Ибрагимова, Л.С.Хаперская, Р.К.Сарымзакова, Б.М.Жадилов // Сборник статей XIVII международной научнопрактической конференции «Фундаментальные и прикладные научные исследования. Актуальные вопросы, достижения и инновации». г Пенза, 2021, С. 39-46. https://naukaip.ru/wp-content/uploads/2021/07/MK-1151.pdf#page=39
- 89. **Гришина, В.Г.** Химия гетероциклических соединений/ Г. В. Гришина, Е. Р. Лукьяненко, А. А. Борисенко, М. Ю. Антипин // Московский государственный университет им. М. В. Ломоносова,— 2012. № 5. С. 789—804.
- 90.**Бакирова, А.А**. Синтез N-арил замещенных гликозил мочесвин/А.А. Бакирова Б.К. Эрназарова// Известия НАН КР.-2012.-№1.-С.41-45.
- 91. **Ибрагимова, A.A**. Synthesis and prediction of biological activity of carbohydrate derivatives of 2,6-diphenyl-3-isopropyl-4-one [Tekst]/ А.А.Ибрагимова, Р.К.Сарымзакова, Л.С.Хаперская // SCIENTIFEC RESEARCH OF THE SCO COUNTRIES; SYNERGY AND INTEGRATION. International conference. Beijing China 2019. P. 260-266.
- 92. **Ибрагимова, А.А.** Синтез углеводных производных гетероциклического ряда[Текст]/А.А.Ибрагимова, Р.К. Сарымзакова, Л.С.Хаперская, Б.К.Сарымзакова // Вестник КНУ им. Ж. Баласагына. Бишкек 2023 г.С. 45-52. <a href="https://elibrary.ru/item.asp?id=54901302">https://elibrary.ru/item.asp?id=54901302</a>
- 93. **Sarymzakova**, **R**. Nature and properties of carbohydrate derivatives of piperidin-4-one/Sarymzakova, R., Sarymzakova, B., Khaperskaya, L., Ibragimova, A. Sulyamanova,S.// DOI:10/4314/ijbcs.v18i2.28 (2024) International Journal of

- Biological and Chemical Sciences, 18(2),pp.678-690.ISSN 1997-342X (Online) https://elibrary.ru/item.asp?id=73435185
- 94 **Эрназарова, Б. К.** Синтез углеводных производных мочевин с гликозид(тио)амидными связями и компьютерное моделирование связей их структуры со свойствами (физико химическими и биологическими): дис. ... д ра хим. наук: 02.00.03 орг. хим. /Б. К. Эрназарова// Бишкек, 2022г. 226с.
- 95. **Хаперская,** Л.С. Влияние углеводного компонента синтезированных гетероциклических соединений на их биологическую активность [Текст]/ Р.К.Сарымзакова, А.А.Ибрагимова, Б.К.Сарымзакова, // Journal of science. Lyon №35 France. ISSN 3475-3281. 2022. C.11-17. https://www.joslyon.com/ru/journal/
- 96. **Сарымзакова**, **Р.К.** Синтез и биологическая активность N (β Д глюкопиранозил карбамоил) диэтилендиамин/ Р.К. Сарымзакова, Ж.А. Джаманбаев, Б. Эрназарова, В.С. Дермугин// Вестник КНУ. Вып1.-Сер.3. Ест.-техн. Науки. 2002. С. 99 -102.
- 97. **Абдуллина, Г.М.** ИК-фурье спектроскопическое изучение некоторых п-гликозидов п-аминобензойной кислоты/ Г.М. Абдуллина, И.С. Черепанов // ФБГОУ «Удмуртский государственный университет», г. Ижевск. 2017
- 98. **Кимстач, Т. Б.** Применение современных ИК-Фурье спектрометров Nicolet и приставок для анализа полимеров/ Т.Б. Кимстач, С.В. Тихомиров.// Пластические массы, №3. 2007
- 99. **Морозов, А.Н.** Особенности работы с многоканальным ИК фурьеспектрометром/ А.Н.Морозов, А.А.Балашов, В.А.Вагин, А.И.Хорохорин, И.С Голяк. // Радиооптика. МГТУ им. Н.Э. Баумана. Электрон. журн. 2016. № 06. С. 75–81.
- 100. Солдатенков, А.Т. Основы органической химии лекарственных веществ/ А.Т. Солдатенков, Н.М. Колядина, И.В. Щендрик// М: Мир, 2013г.- 153с. 6.
- 101. **Саинова, Г.А.** Поиск новых фармакологически активных веществ в ряду производных пиперидина. [Текст]:/ Г.А. Саинова. Е.Б. Талисбаев, М.Б. Жарменова// Международный научно-исследовательский журнал -2013 г,- №8. С.12-19.

- 102. **Захаров, А.В**. Свидетельство об официальной регистрации программы для ЭВМ GUSAR / А.В. Захаров, Д.А.Филимонов, А.А.Лагунин, В.В. Поройков // Федеральная служба по интеллектуальной собственности, патентам и товарным знакам. №2006613591 (2006).
- 103. **Поройков, В.В.** Компьютерное предсказание биологической активности веществ: пределы возможного/ В.В. Поройков// Химия в России, 2000, №2, С. 8-12.
- 104. **Апрышко, Г.Н**. Прогнозирование биологической активности химических соединений из базы данных по противоопухолевым веществам РОНЦ им. Н.Н. Блохина РАМН с помощью системы PASS/ Г.Н. Апрышко, Д.А.Филимонов, В.В. Поройков // Вестник РОНЦ им. Н. Н. Блохина РАМН. 2008. №3(19), С. 11-14.
- 105. **Поройков, В.В**. Компьютерное предсказание биологической активности химических веществ: виртуальная хемогеномика /В.В. Пройков, Д.А. Филимонов, Т.А.Глоризова и др. // Вестник ВОГиС. 2009, №1(13), С.137-143.
- 106. **Поройков, В. В.** Компьютерный прогноз спектров биологической активности органических соединений: возможности и ограничения./ В. В. Поройков, Д. А. Филимонов, Т. А. Глориозова, А. А. Лагунин, Д. С. Дружиловский, А. В. Рудик, Л. А. Столбов, А. В. Дмитриев, О. А. Тарасова, С. М. Иванов, П. В. Погодина// ISSN 1026-3500 Известия Академии наук. Серия химическая, М.: 2019, № 12. С. 2143-2154.
- 107. **Филимонов,** Д.А. Прогноз биологической активности органических соединений /Д.А. Филимонов, В.В. Поройков // Российский химический журнал. 2006, №2(L), С.66-75.
- 108. **Хамитова, А. Е.** Обзор производных пиперидина и морфолина как перспективные источники биологически активных соединений/А.Е.Хамитова, Д.А.Берилло// Разработка и регистрация лекарственных средств. 2023;12(2): С.44–54. https://doi. org/10.33380/2305-2066-2023-12-2-44-54.

7. 12.

- 109. Даиров, А.К., Биологический скрининг природных соединений и их производных с применением PASS-прогнозирования./ А.К.Даиров, М.А.Романова, Р.Б.Сейдахметова, А.М.Альмагамбетов, С.С.Шорин, С.М.Адекенов, С.Войтех.// Вестник Карагандинского университета. "Biology medicine geography Series" 2015. С.10-15.
- 110. **Панина, О.О.** Расчет биологической активности соединений в программе PASS online / О.О. Панина, Р.Р. Газетдинов // Инновационная наука. -2020. № 3. С. 13-15.

# ПРИЛОЖЕНИЕ

# Приложения 1.

#### МИНИСТЕРСТВО ЗДРАВООХРАНЕНИЯ И СОЦИАЛЬНОГО РАЗВИТИЯ КЫРГЫЗСКОЙ РЕСПУБЛИКИ

## Департамент лекарственных средств и медицинских изделий ЦЕНТРАЛЬНАЯ КОНТРОЛЬНО-АНАЛИТИЧЕСКАЯ ЛАБОРАТОРИЯ

Адрес лаборатории: г. Бишкек, ул. Ахунбаева, 186, тел. 25-15-05

Адрес заказчика: г. Бишкек, ул. 3-я Линия 25 тел 22 89



Зам. зав. ЦКАЛ

Гологонов А.А.

### ПРОТОКОЛ ИСПЫТАНИЙ

Наименование НД на образец и методы испытаний: ГФ XII, часть 1, стр.160 Наименование образца: 2,6 дифенил-3-изопропил-пиперидин-4-он, субстанция

Серия: опытный образец

Дата проведения испытания:

24.08.2021r. - 27.08.2021r.

Дата составления протокола:

27.08.2021г.

Количество препарата, взятого на испытания: 0,2 г Израсходовано на испытания:

0,2 г

Наименование показателей	Ед. изм	Требования НД	Результаты испытаний	НД на методы испытаний	Методы испытаний
Микробиологи- ческая чистота	КОЕ/г	Общее число аэробных бактерий не более 10 <sup>3</sup> .	Общее число аэробных бактерий менее 10.	ГФ РФ XII, часть 1, с.160	Метод мембранной фильтрации

#### Примечание:

Протокол испытаний касается только образцов, подвергнутых испытанию, запрещаются любые виды воспроизведения протокола испытаний вне ЦКАЛ (копии не действительны) За отбор образцов ЦКАЛ ответственности не несет.

Испытания выполнил ведущий специалист ЦКАЛ

**Де** Абдыкадыров А. А.

Испытания выполнил ведущий специалист ЦКАЛ

Бахшиян Е.И.

Конец протокола

стр. 1

# Приложения 2.



# ल्या स्टेस्ट्रिस्ट्रिस्ट्रिस्ट्रिस्ट्रिस्ट्रिस्ट्रिस्ट्रिस्ट्रिस्ट्रिस्ट्रिस्ट्रिस्ट्रिस्ट्रिस्ट्रिस्ट्रिस्ट्र

# КЫРГЫЗСКАЯ РЕСПУБЛИКА



КЫРГЫЗПАТЕНТ

# ПАТЕНТ

№ 2066

Название изобретения: N-замещенные гамма-пиперидоны

Патентовладелец, страна: Хаперская Л. С. (КС)

Автор (авторы): Хаперская Л. С., Сарымзакова Р. К.,

Медетбекова Ж. М., Ибрагимова А. А. (KG)

Заявка № 20170127.1

Приоритет изобретения: 17 ноября 2017 года

Зарегистрировано в Государственном реестре изобретений Кыргызской Республики: 31 мая 2018 года

Патент под ответственность заявителя (владельца на данное изобретение удостоверяет исключитель право патентовладельца на владение, использова а также запрещение использования другими лицана территории Кыргызской Республики

0

Приложения 3.

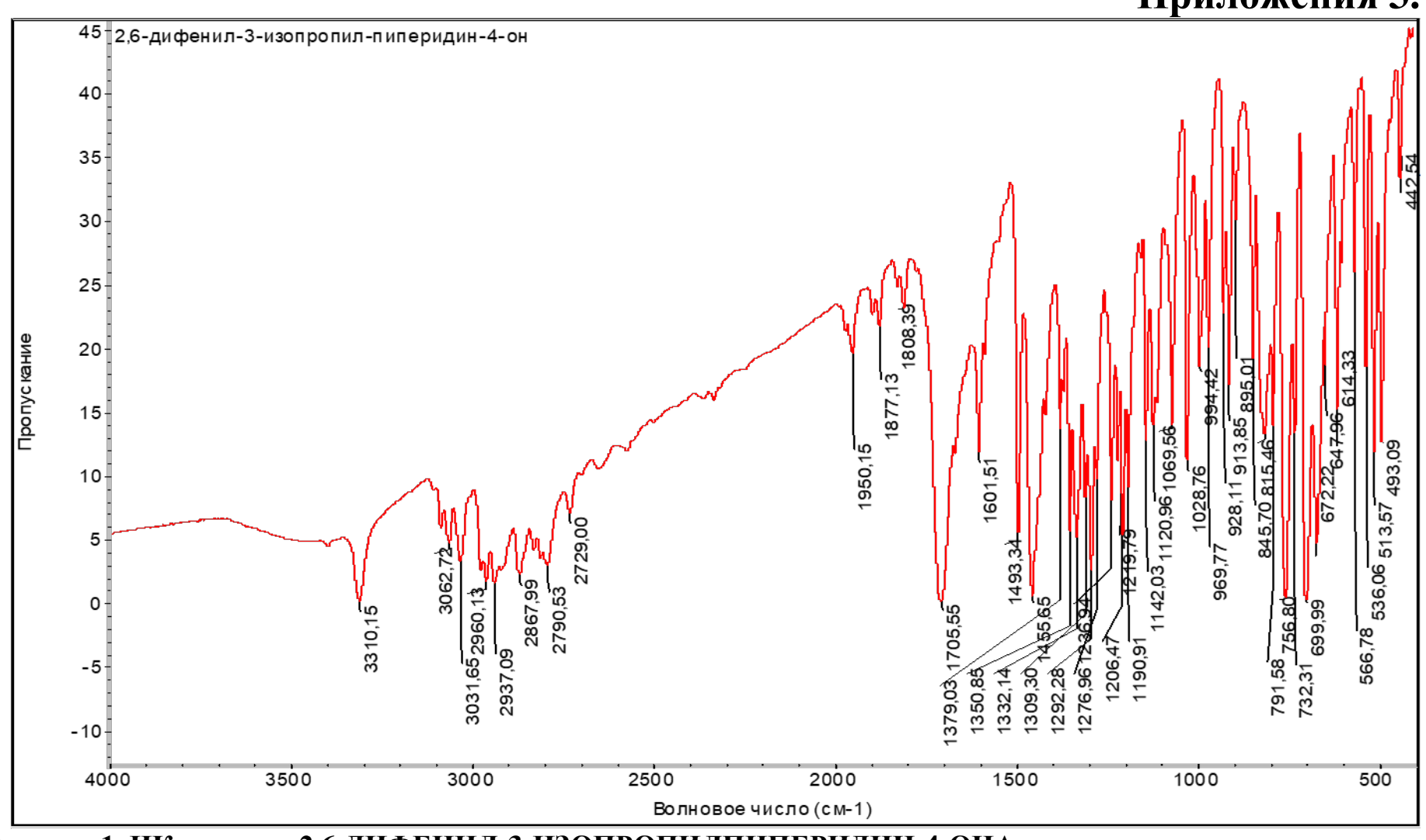


Рисунок 1. ИК – спектр 2,6-ДИФЕНИЛ-3-ИЗОПРОПИЛПИПЕРИДИН-4-ОНА

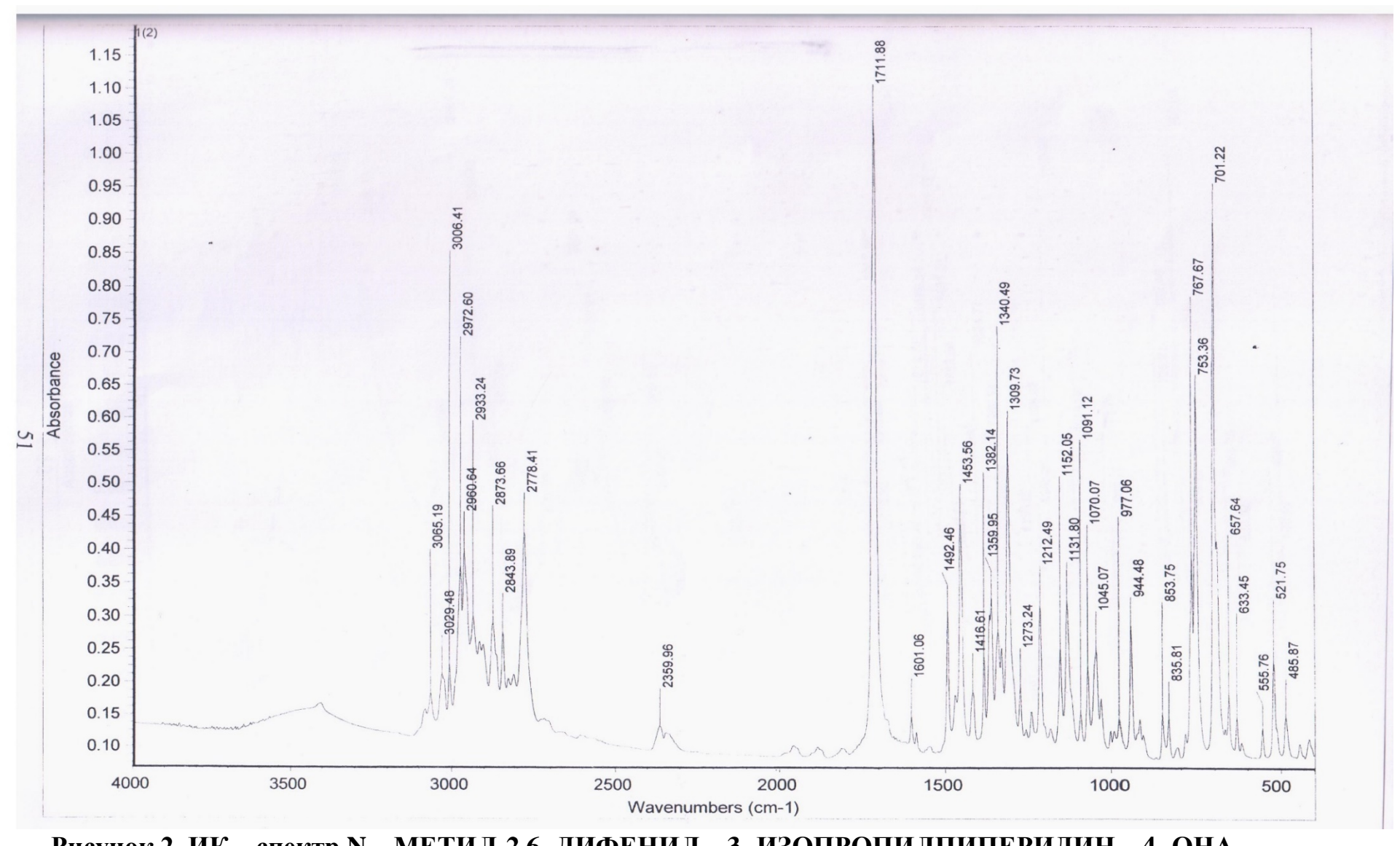


Рисунок 2. ИК – спектр N – МЕТИЛ-2,6- ДИФЕНИЛ – 3- ИЗОПРОПИЛПИПЕРИДИН – 4- ОНА

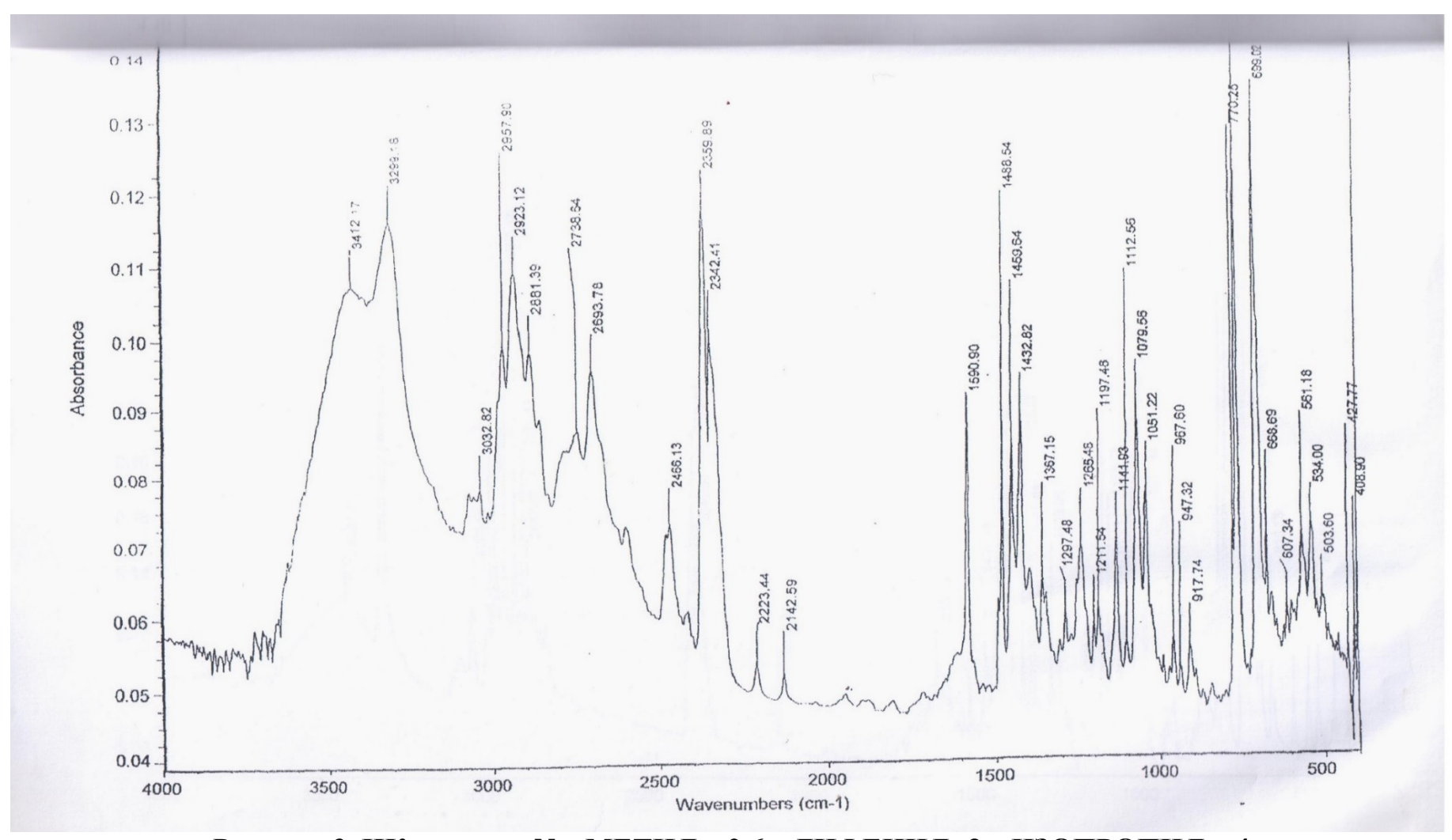


Рисунок 3. ИК – спектр N – МЕТИЛ – 2,6 – ДИФЕНИЛ -3 – ИЗОПРОПИЛ – 4 – ФЕНИЛЭТИНИЛПИПЕРИДИН – ОЛ (Е)

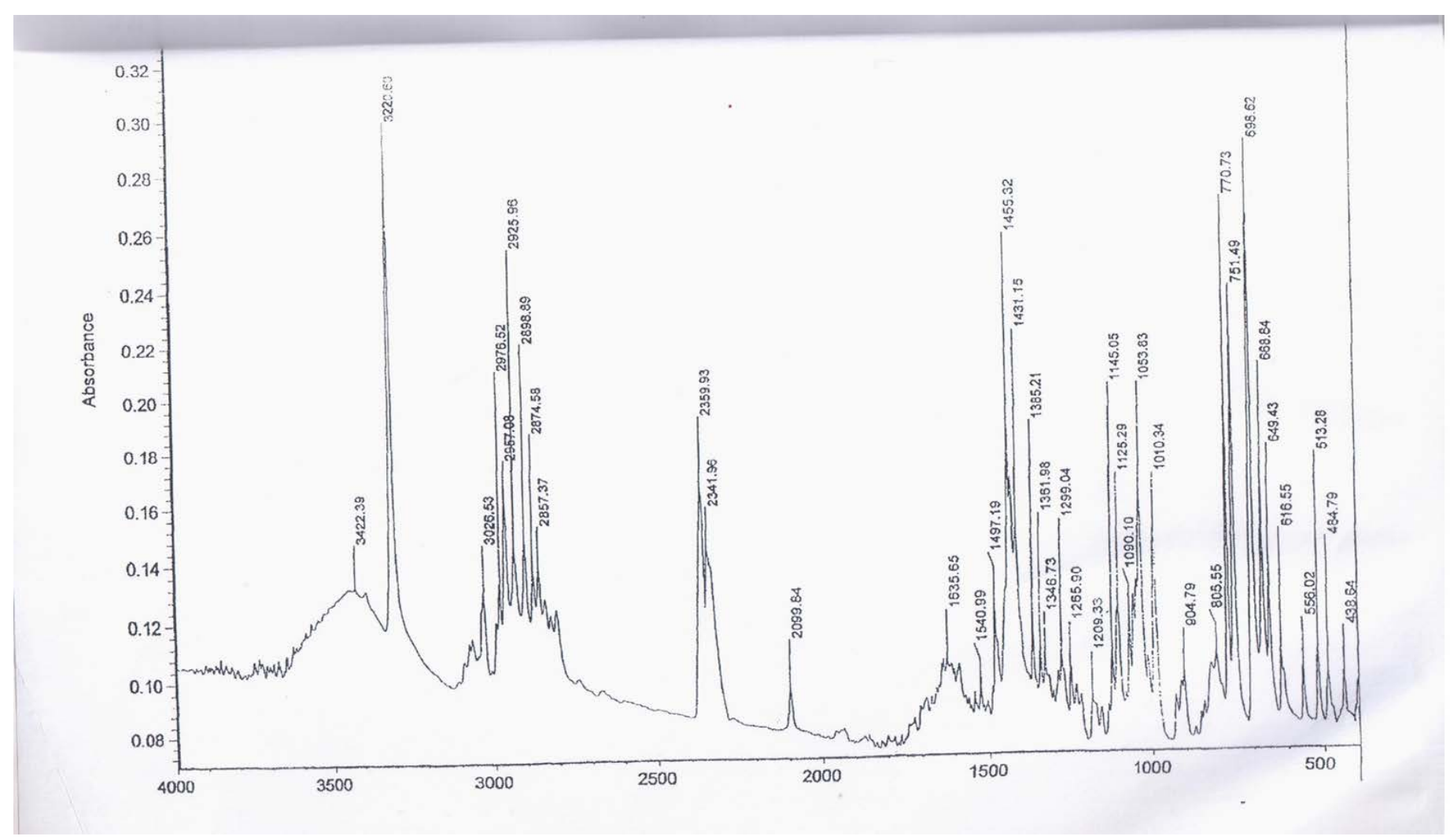


Рисунок 4. ИК – спектр N – МЕТИЛ – 2,6 – ДИФЕНИЛ -3 – ИЗОПРОПИЛ – 4 – ФЕНИЛЭТИНИЛПИПЕРИДИН – ОЛ (A)

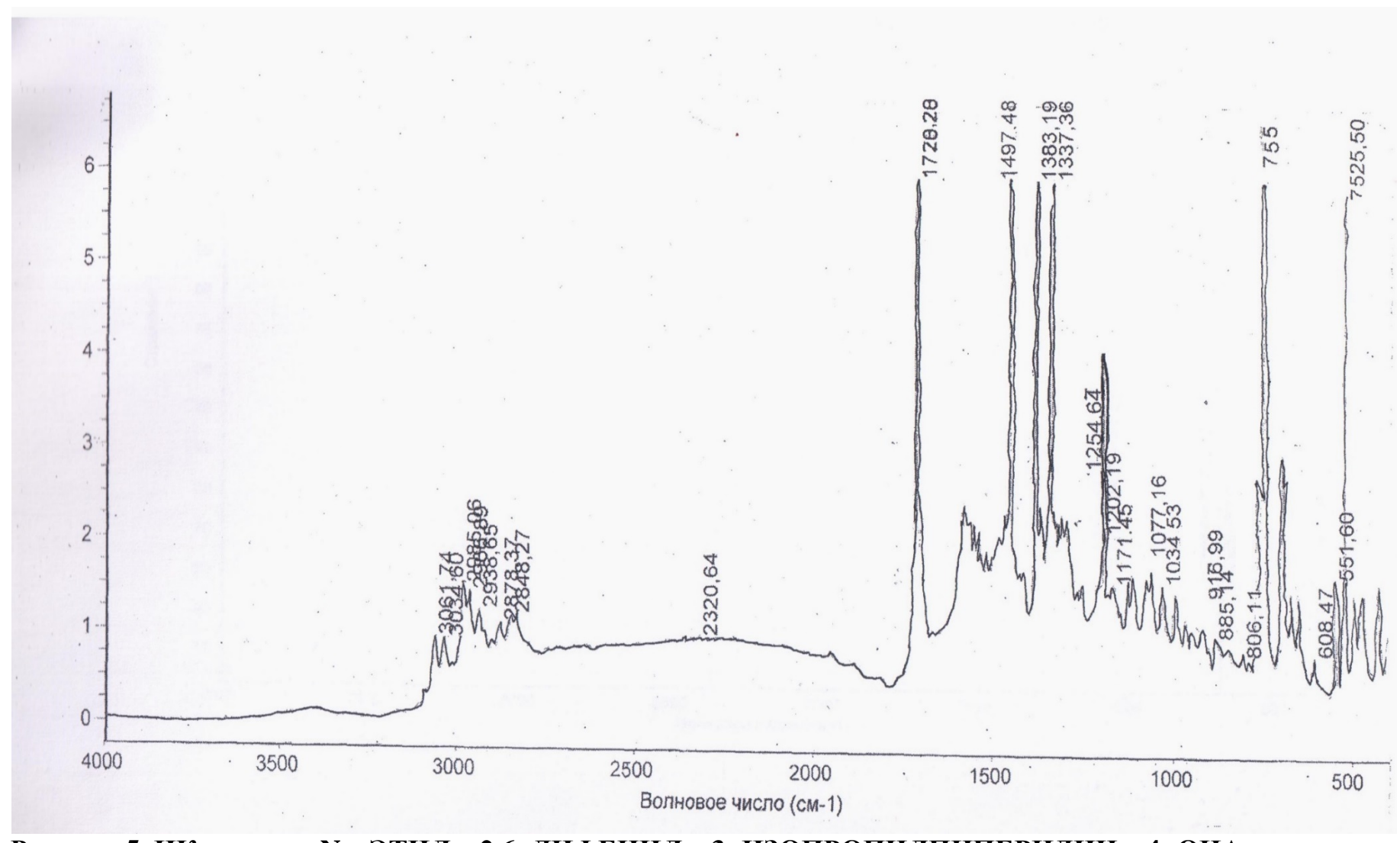


Рисунок 5. ИК – спектр N – ЭТИЛ – 2,6- ДИФЕНИЛ – 3- ИЗОПРОПИЛПИПЕРИДИН – 4- ОНА

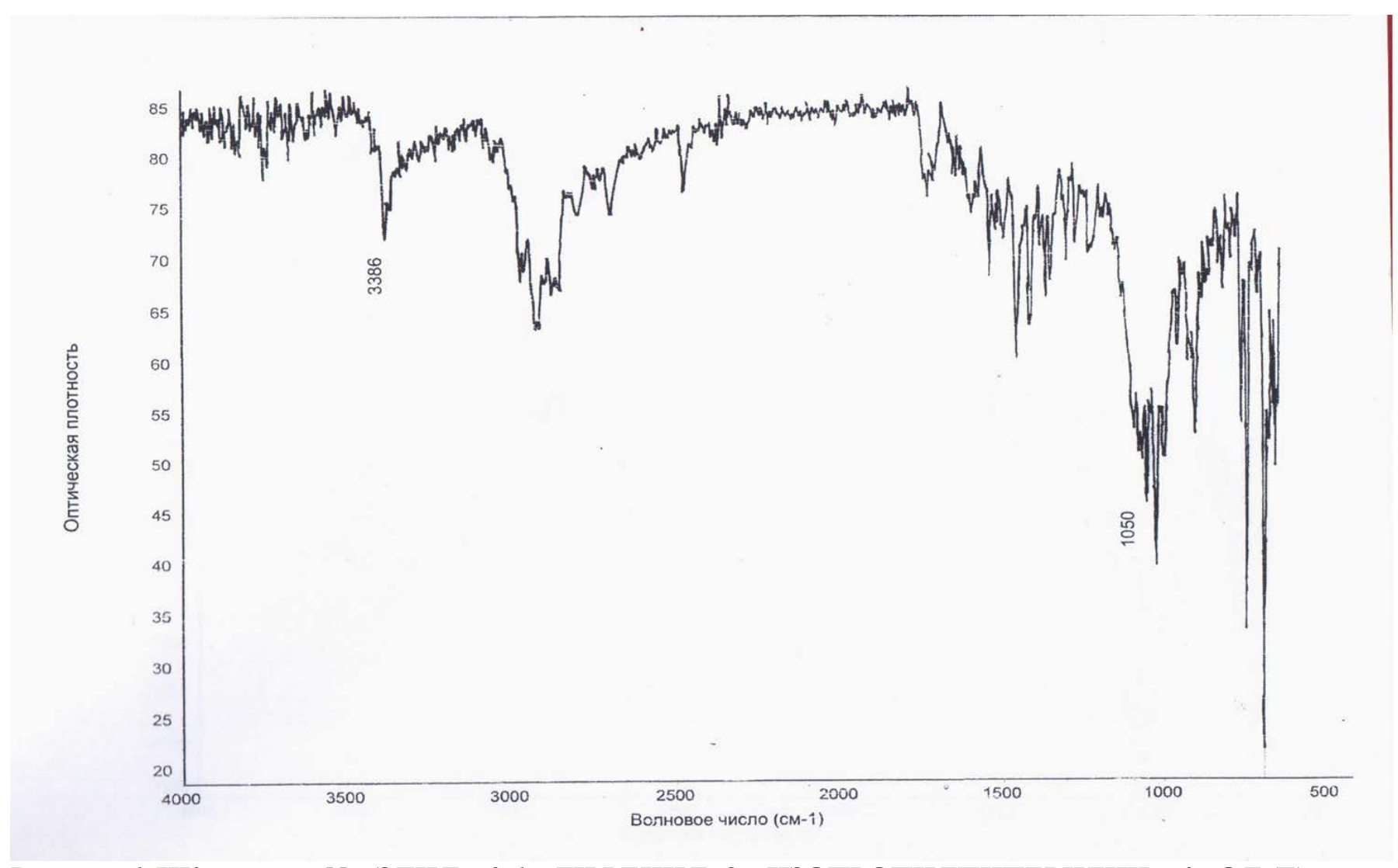


Рисунок 6. ИК – спектр N – ЭТИЛ – 2,6 – ДИФЕНИЛ- 3 – ИЗОПРОПИЛПИПЕРИДИН – 4 - ОЛ (E)

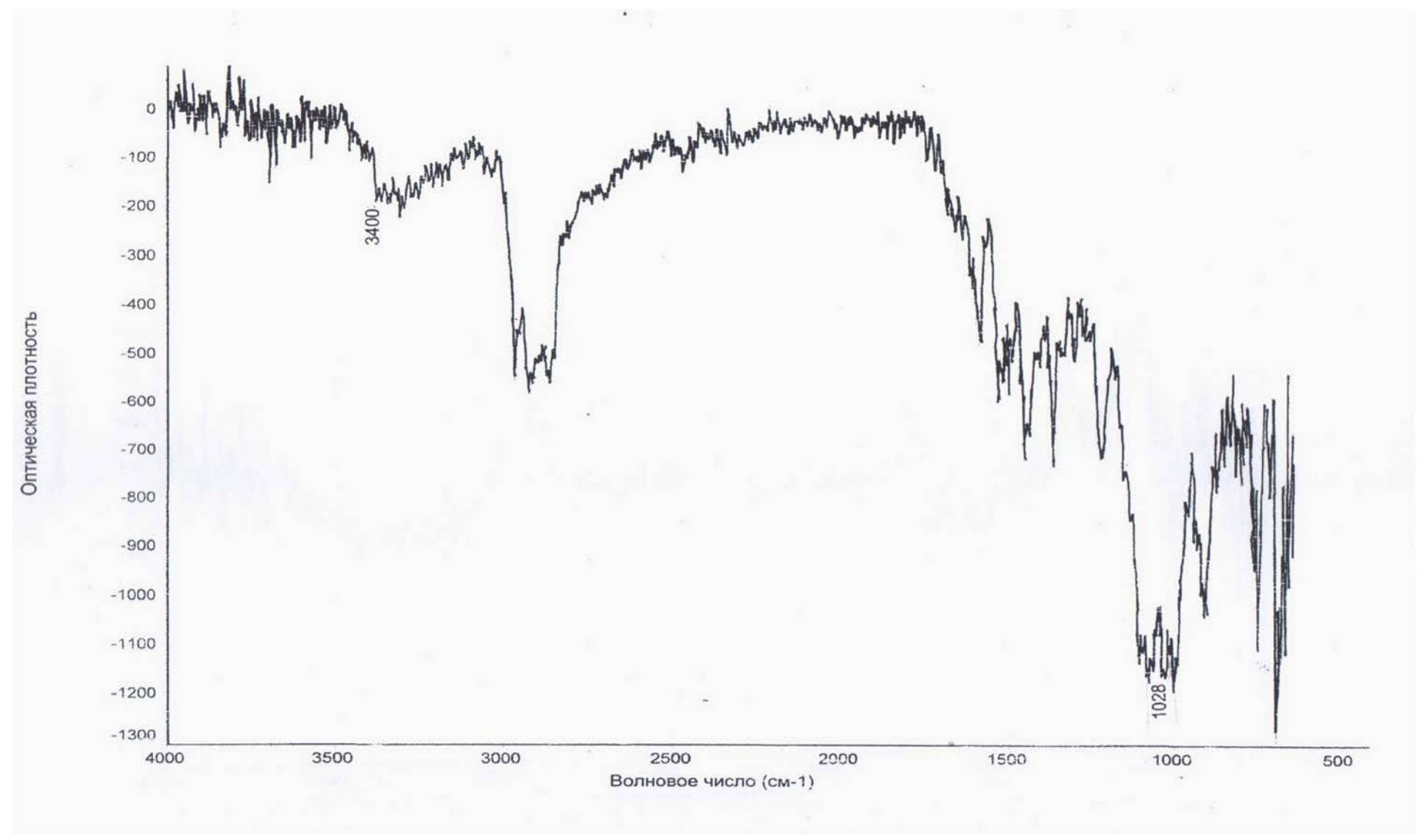


Рисунок 7. ИК – спектр N – ЭТИЛ – 2,6 – ДИФЕНИЛ- 3 – ИЗОПРОПИЛПИПЕРИДИН – 4 - ОЛ (A)

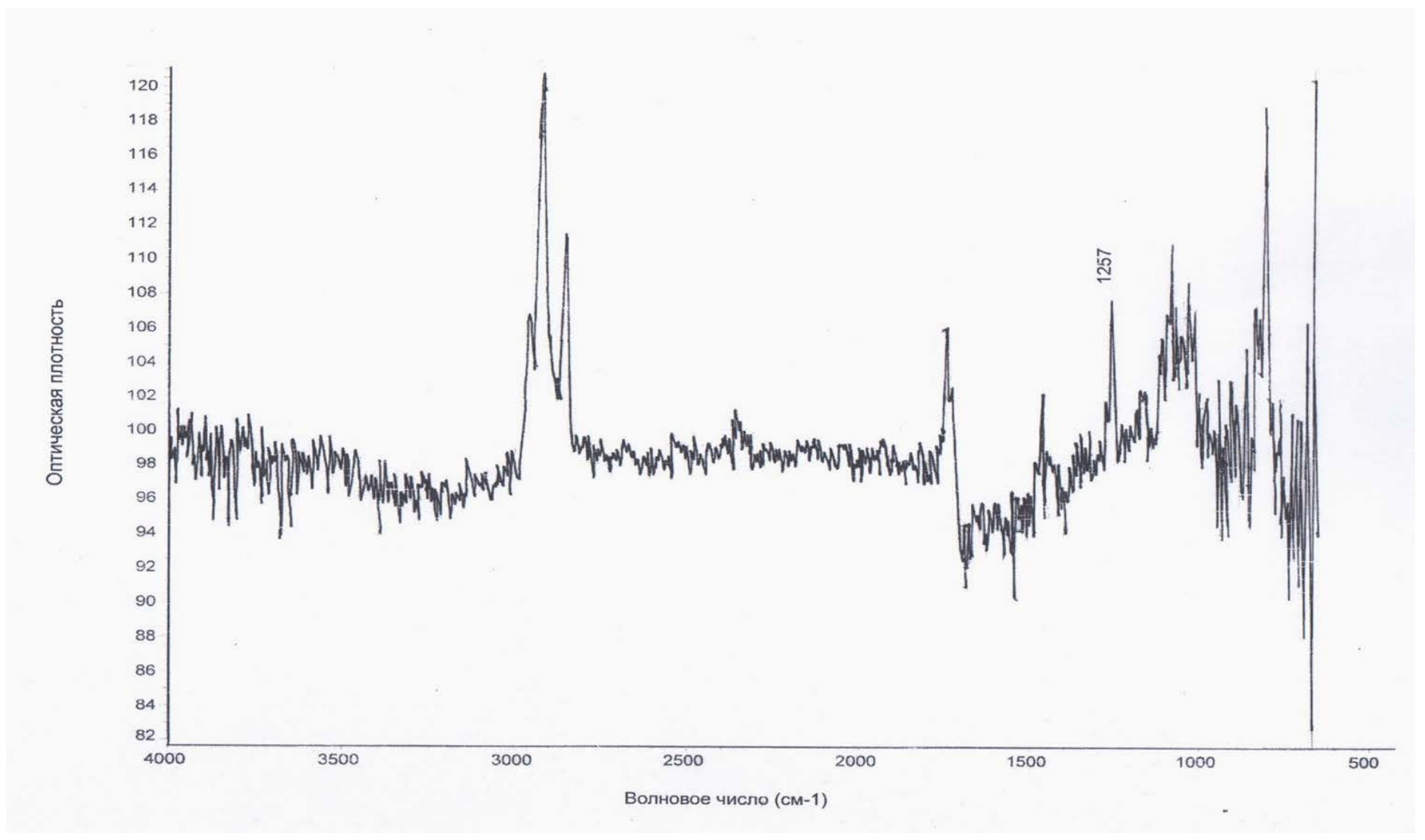


Рисунок 8. ИК – спектр N – ЭТИЛ – 2,6 – ДИФЕНИЛ- 3 – ИЗОПРОПИЛ – 4 – О – БЕНЗОИЛПИПЕРИДИН (E)

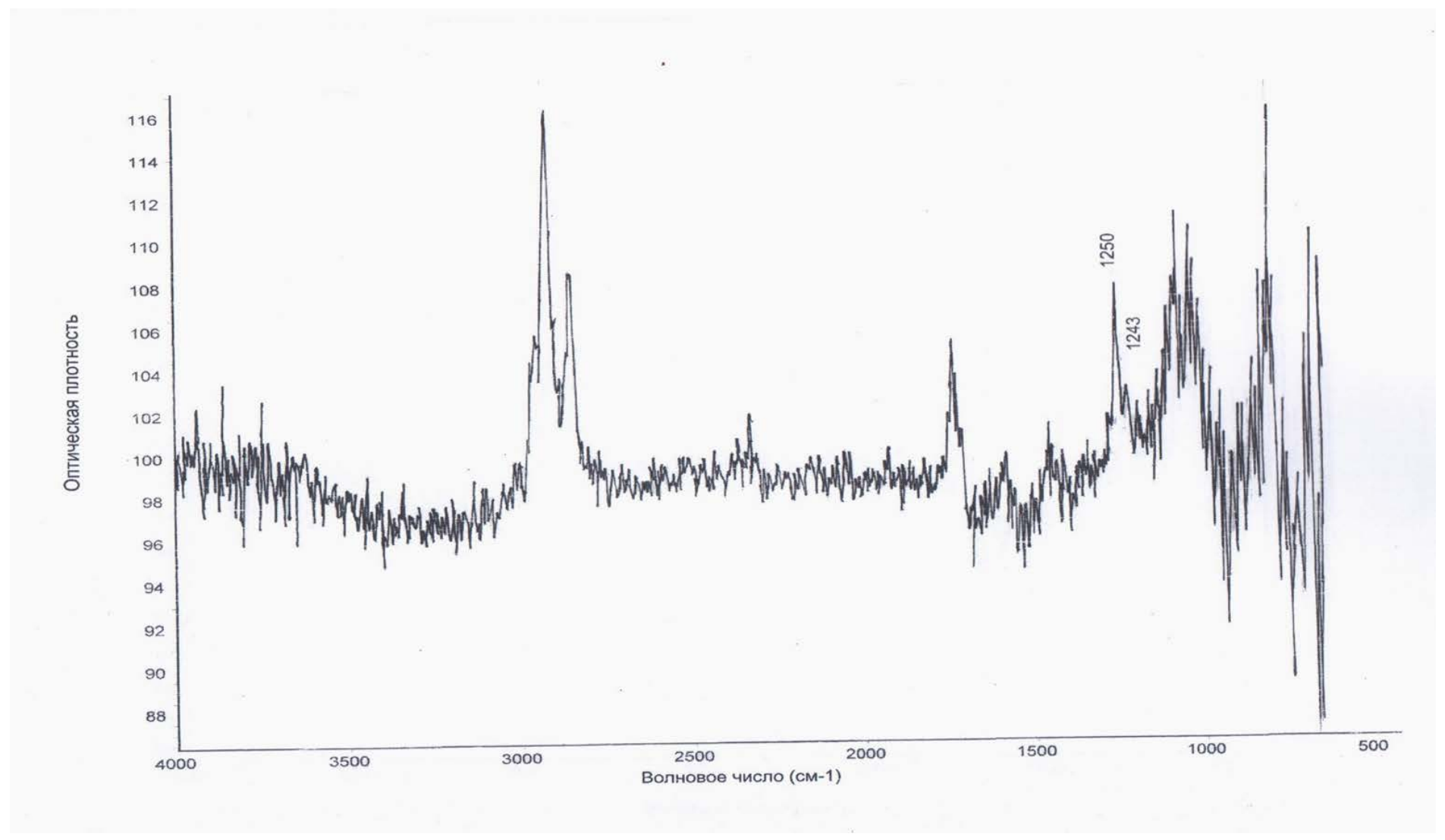


Рисунок 9. ИК — спектр N — ЭТИЛ — 2,6 — ДИФЕНИЛ- 3 — ИЗОПРОПИЛ — 4 — О — БЕНЗОИЛПИПЕРИДИН (A)

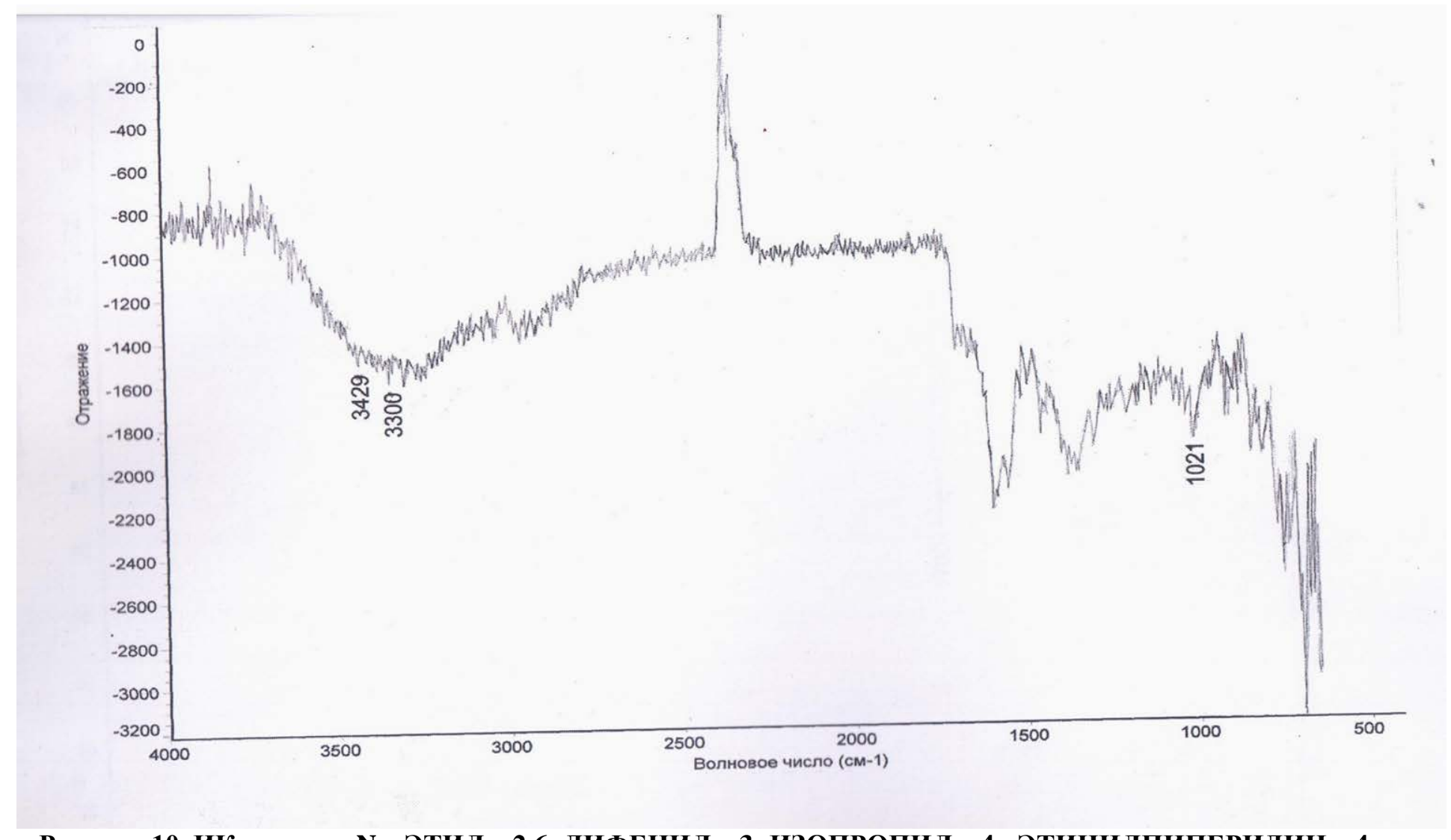


Рисунок 10. ИК – спектр N – ЭТИЛ – 2,6- ДИФЕНИЛ – 3- ИЗОПРОПИЛ – 4 - ЭТИНИЛПИПЕРИДИН – 4-ОЛ (E)

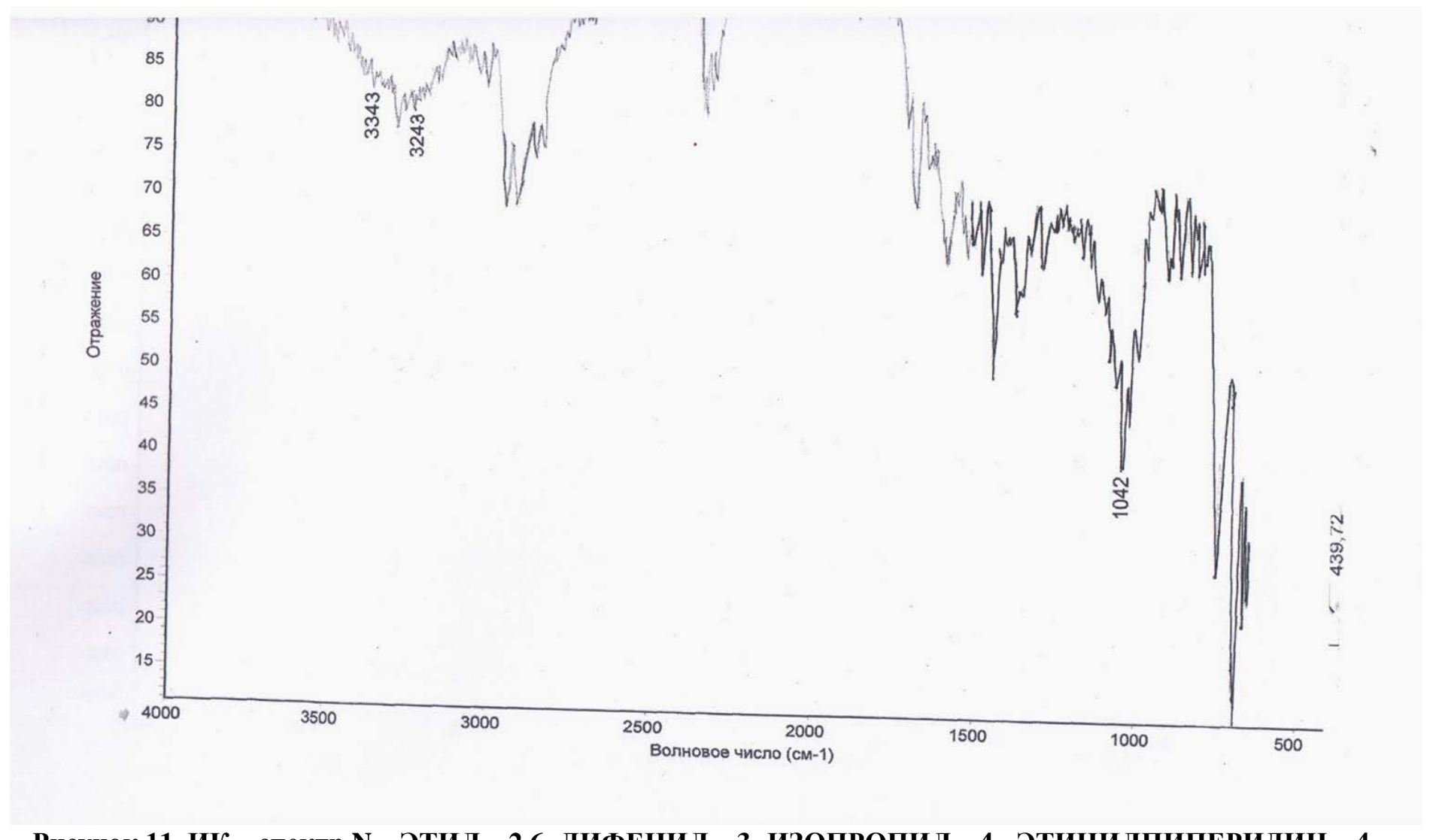


Рисунок 11. ИК – спектр N – ЭТИЛ – 2,6- ДИФЕНИЛ – 3- ИЗОПРОПИЛ – 4 - ЭТИНИЛПИПЕРИДИН – 4-ОЛ (A)

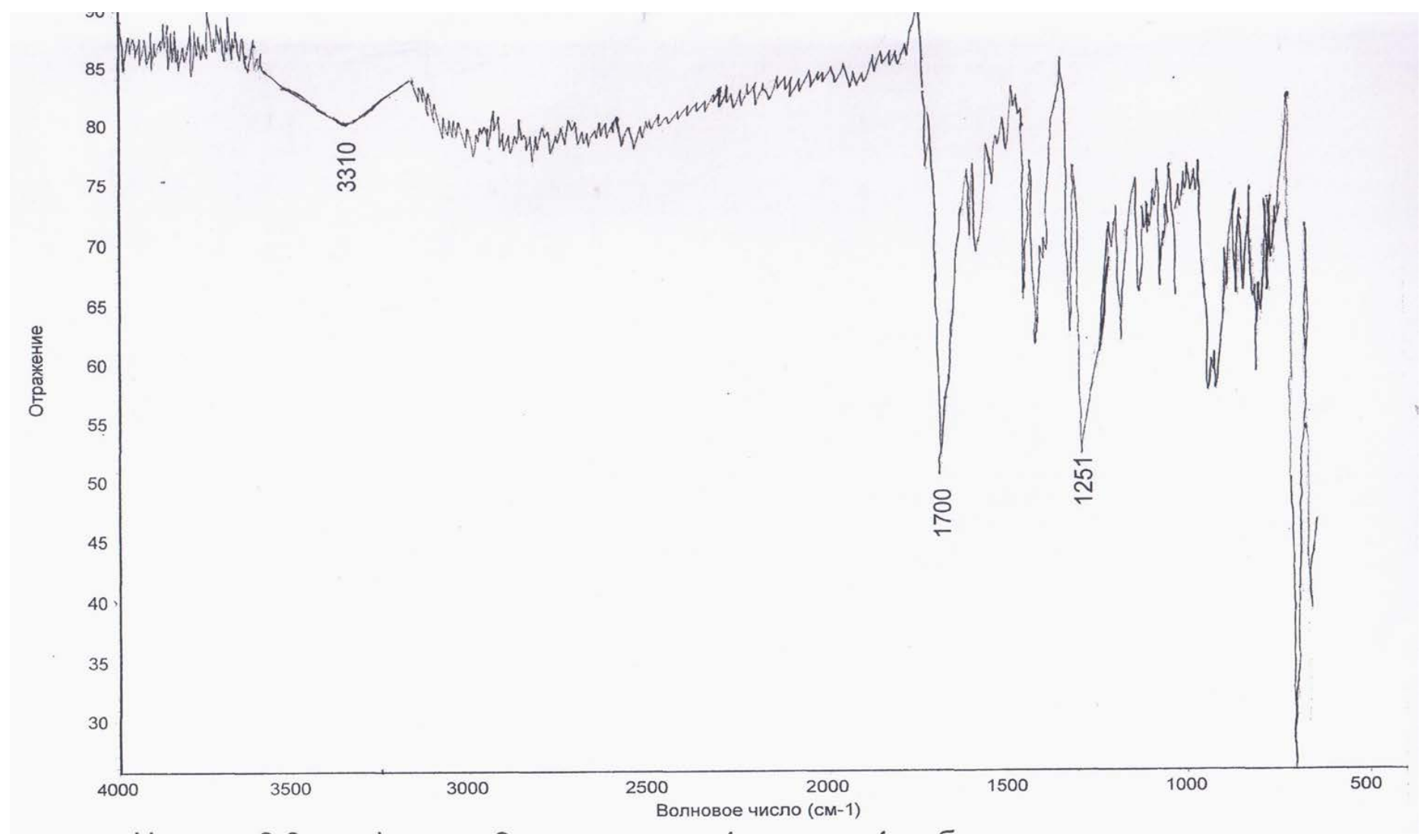


Рисунок 12. ИК – спектр N – ЭТИЛ – 2,6- ДИФЕНИЛ – 3- ИЗОПРОПИЛ – 4 – ЭТИНИЛ- 4 О - БЕНЗОИЛПИПЕРИДИН (E)

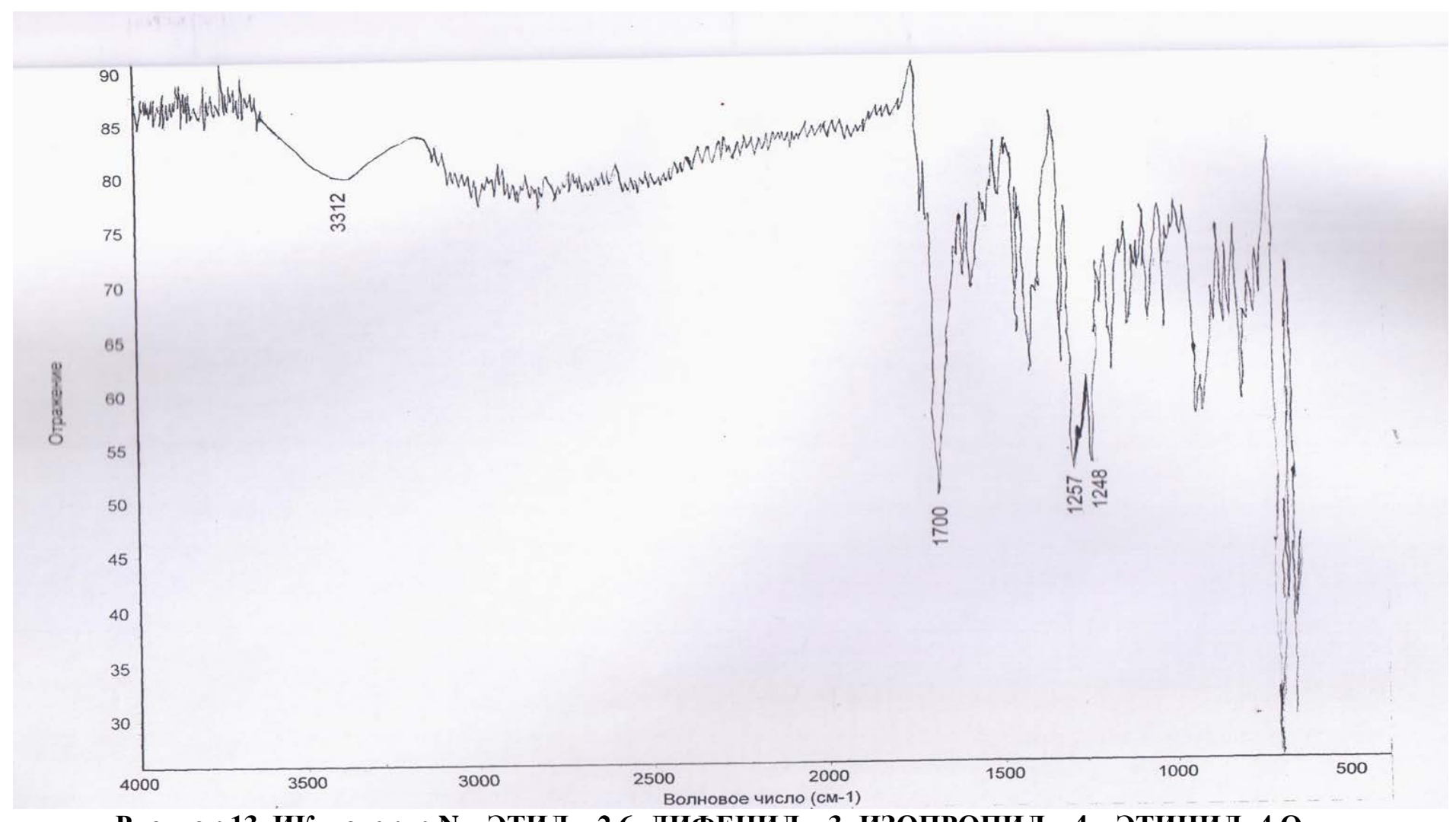


Рисунок 13. ИК – спектр N – ЭТИЛ – 2,6- ДИФЕНИЛ – 3- ИЗОПРОПИЛ – 4 – ЭТИНИЛ- 4 О - БЕНЗОИЛПИПЕРИДИН (A)

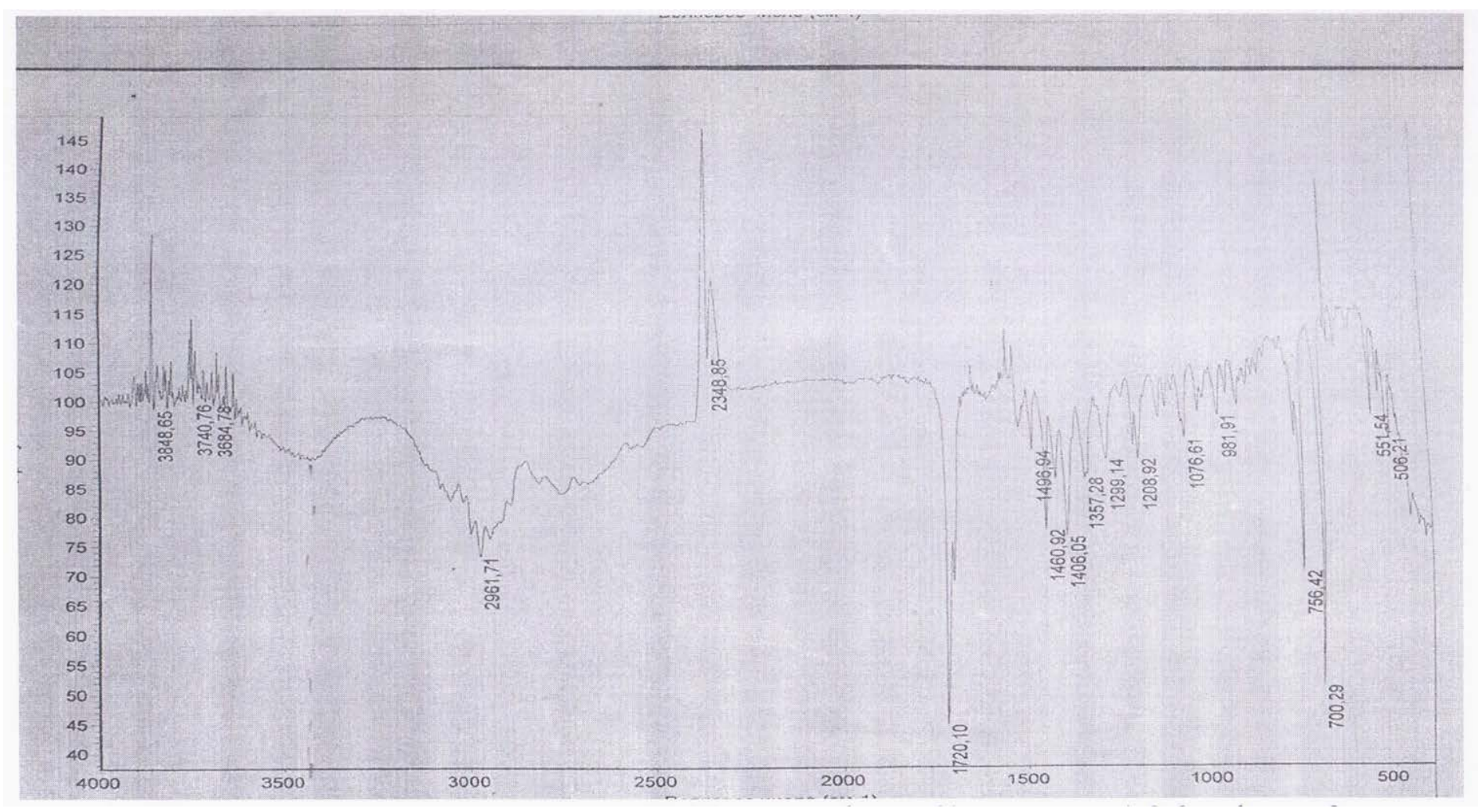


Рисунок 14. ИК – спектр N- (3' - М -НИТРОФЕНИЛ- 3' - ОКСОПРОПИЛ)-2,6- ДИФЕНИЛ-3-ИЗОПРОПИЛПИПЕРИДИН-4-ОНА

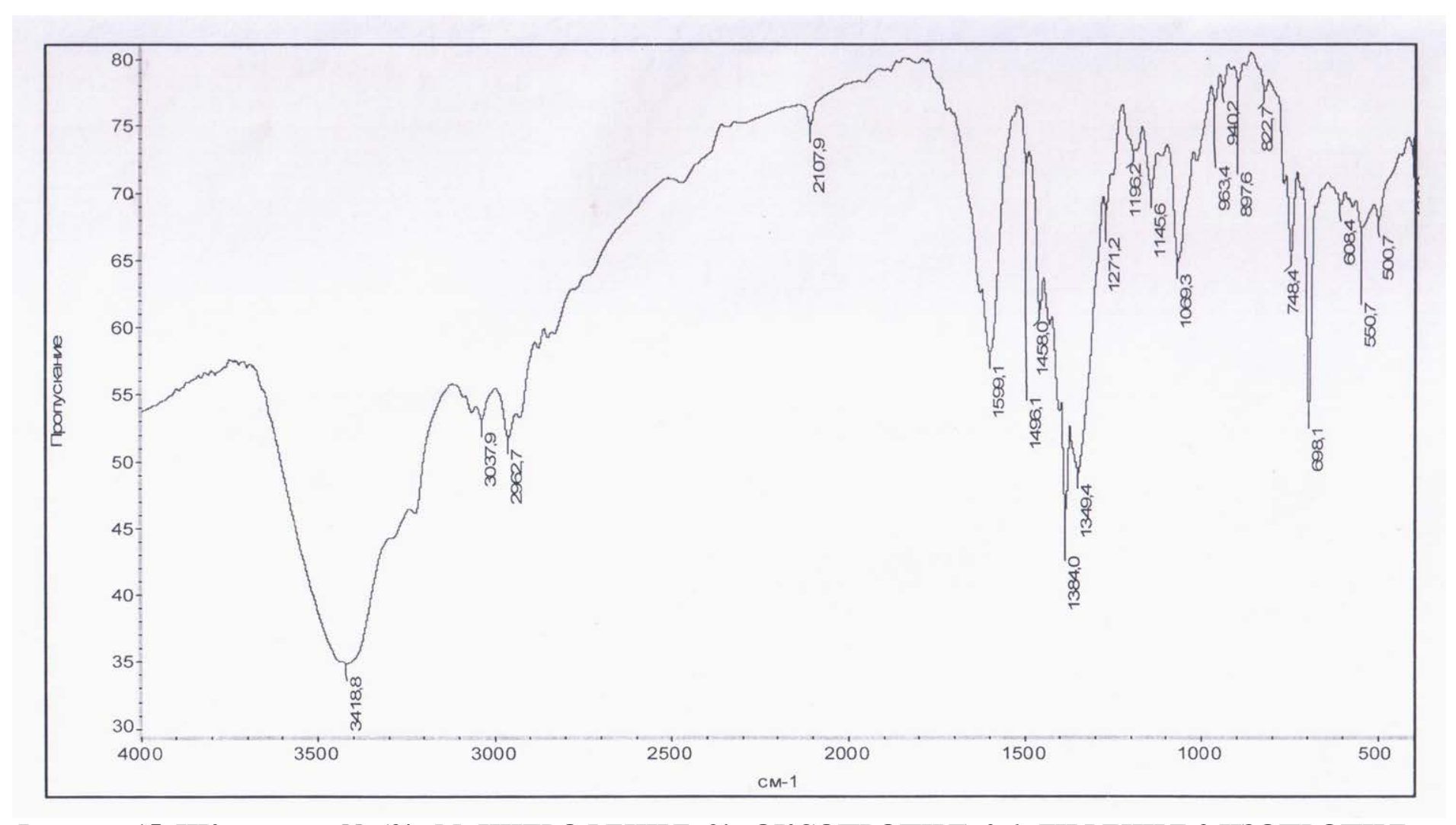


Рисунок 15. ИК – спектр N- (3' - М -НИТРОФЕНИЛ- 3' - ОКСОПРОПИЛ)-2,6- ДИФЕНИЛ-3-ИЗОПРОПИЛ-4 - ЭТИНИЛПИПЕРИДИН-4-ОЛА (E)

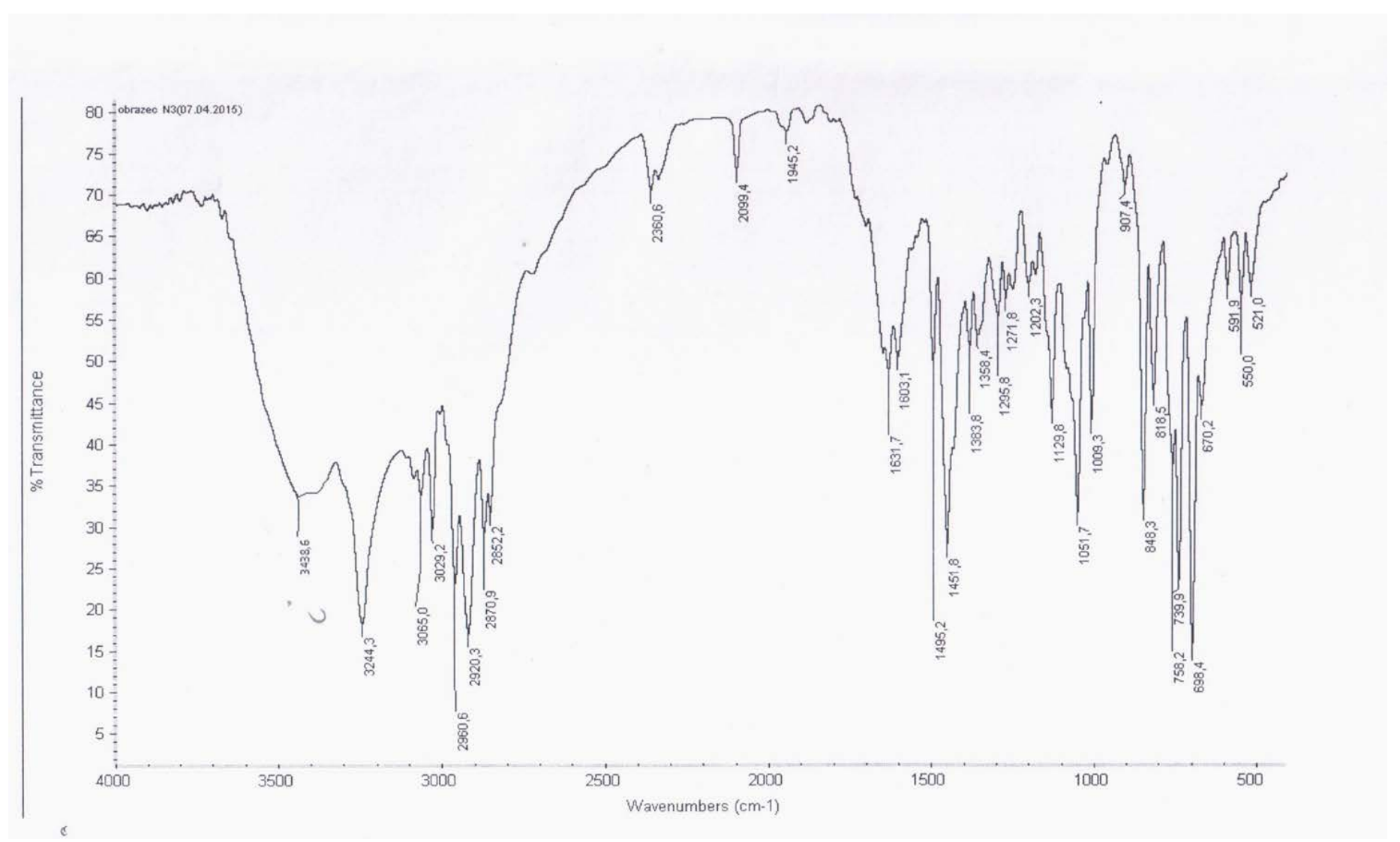
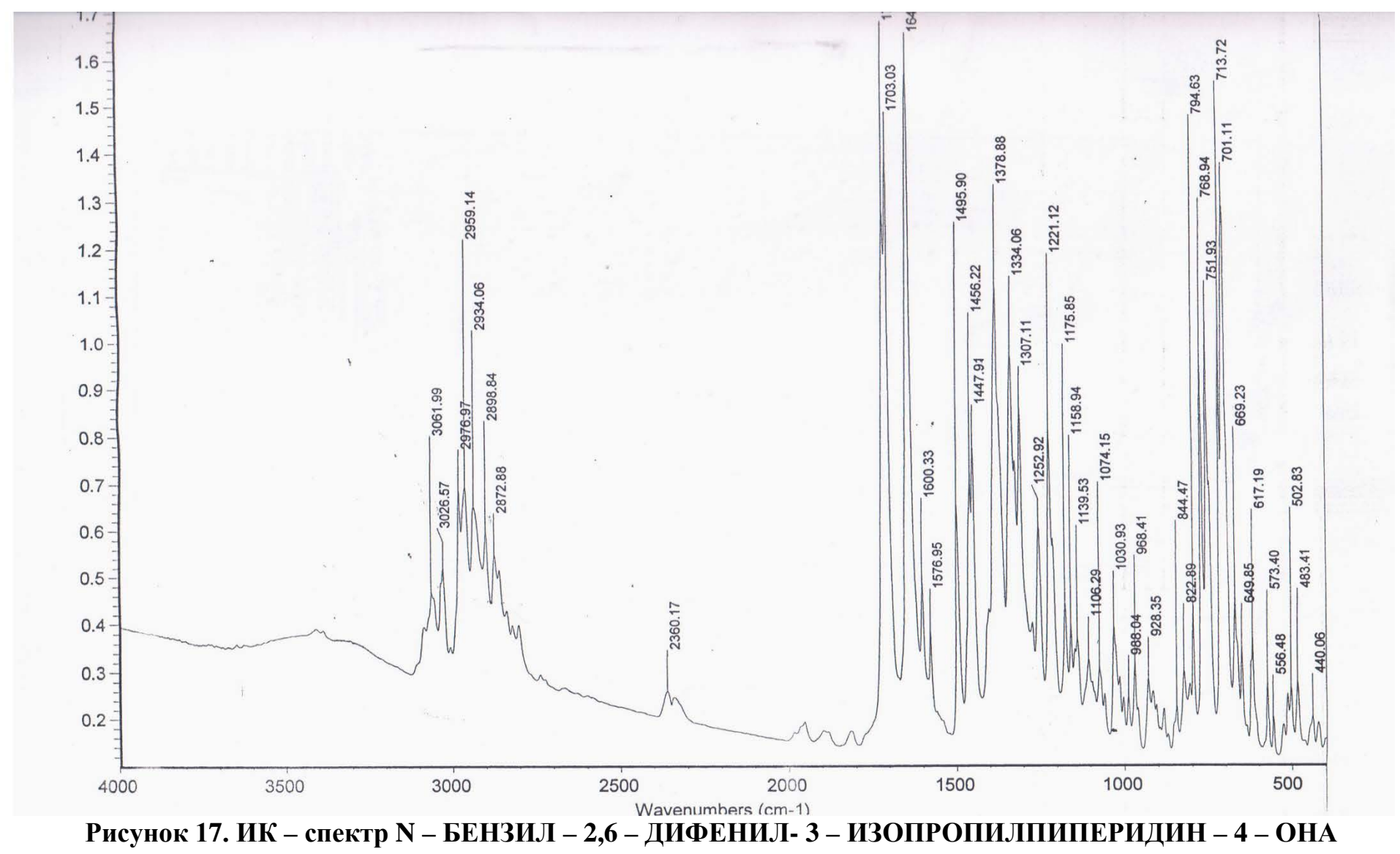


Рисунок 16. ИК – спектр N- (3' - М -НИТРОФЕНИЛ- 3' - ОКСОПРОПИЛ)-2,6- ДИФЕНИЛ-3-ИЗОПРОПИЛ-4 - ЭТИНИЛПИПЕРИДИН-4-ОЛА (A)



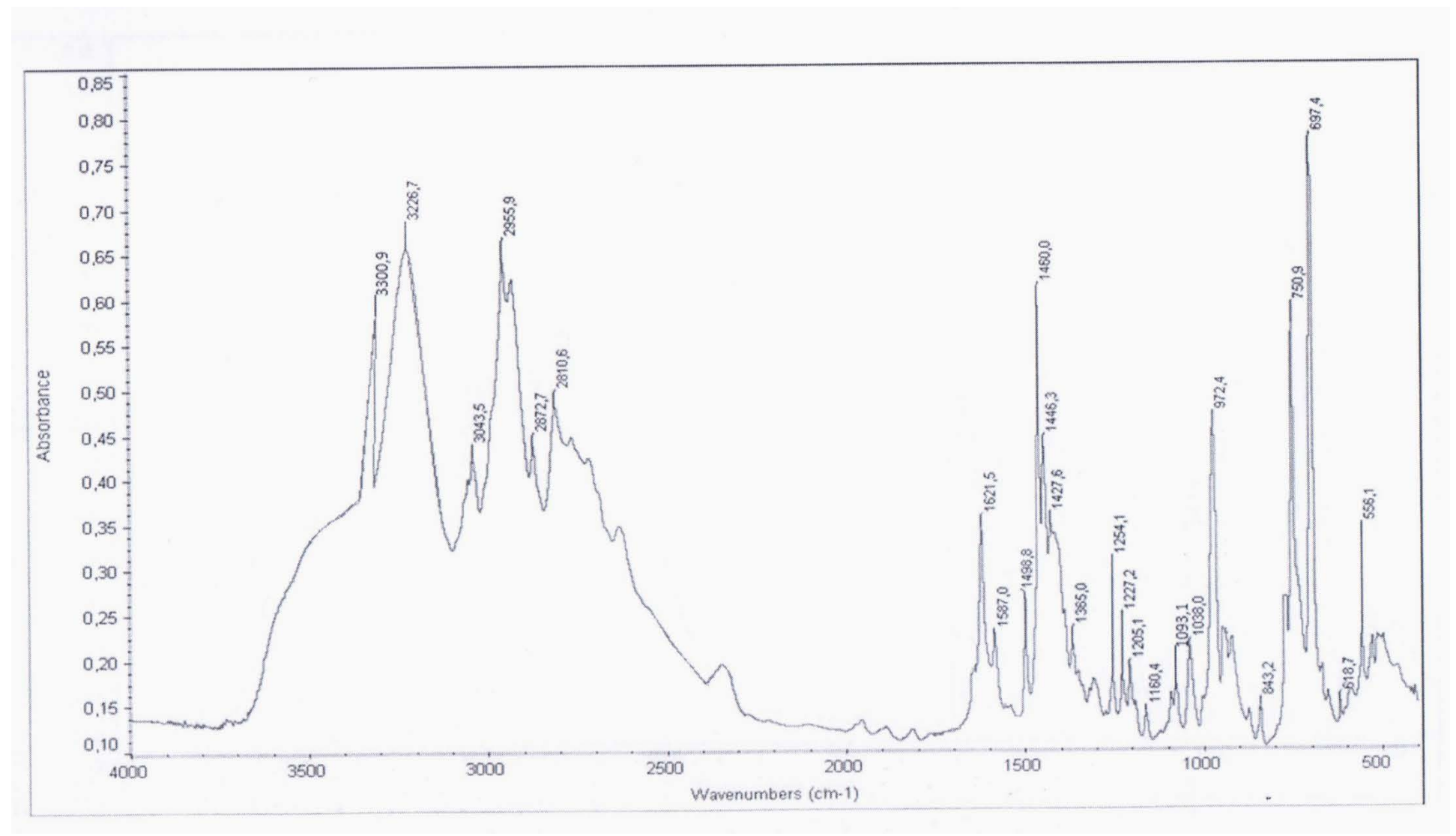


Рисунок 18. ИК – спектр ОКСИМ N – БЕНЗИЛ – 2,6 – ДИФЕНИЛ- 3 – ИЗОПРОПИЛПИПЕРИДИН – 4 – OHA

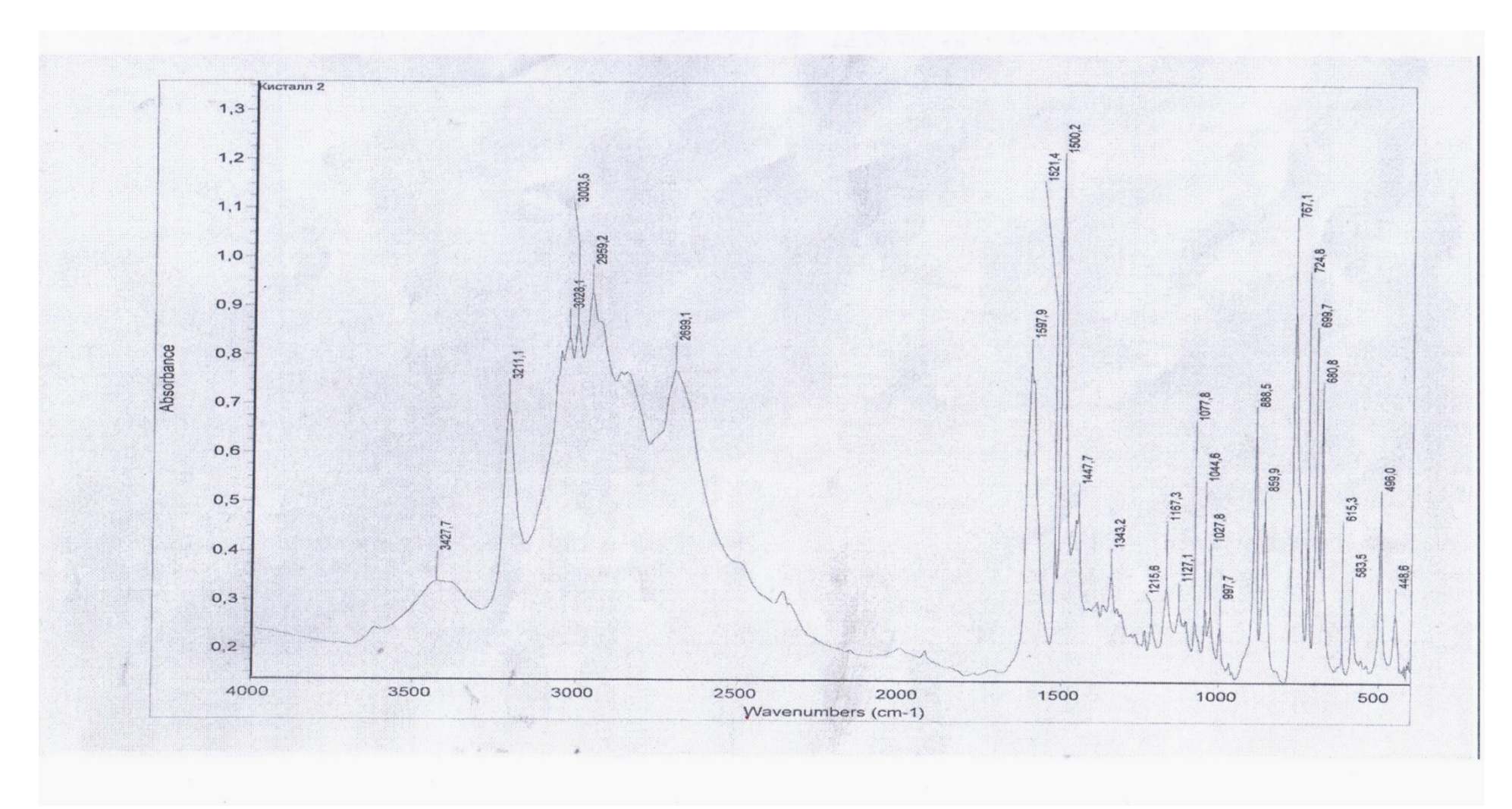


Рисунок 16. ИК – спектр ФЕНИЛГИДРАЗОН N – БЕНЗИЛ – 2,6 – ДИФЕНИЛ- 3 – ИЗОПРОПИЛПИПЕРИДИН – 4 – ОНА

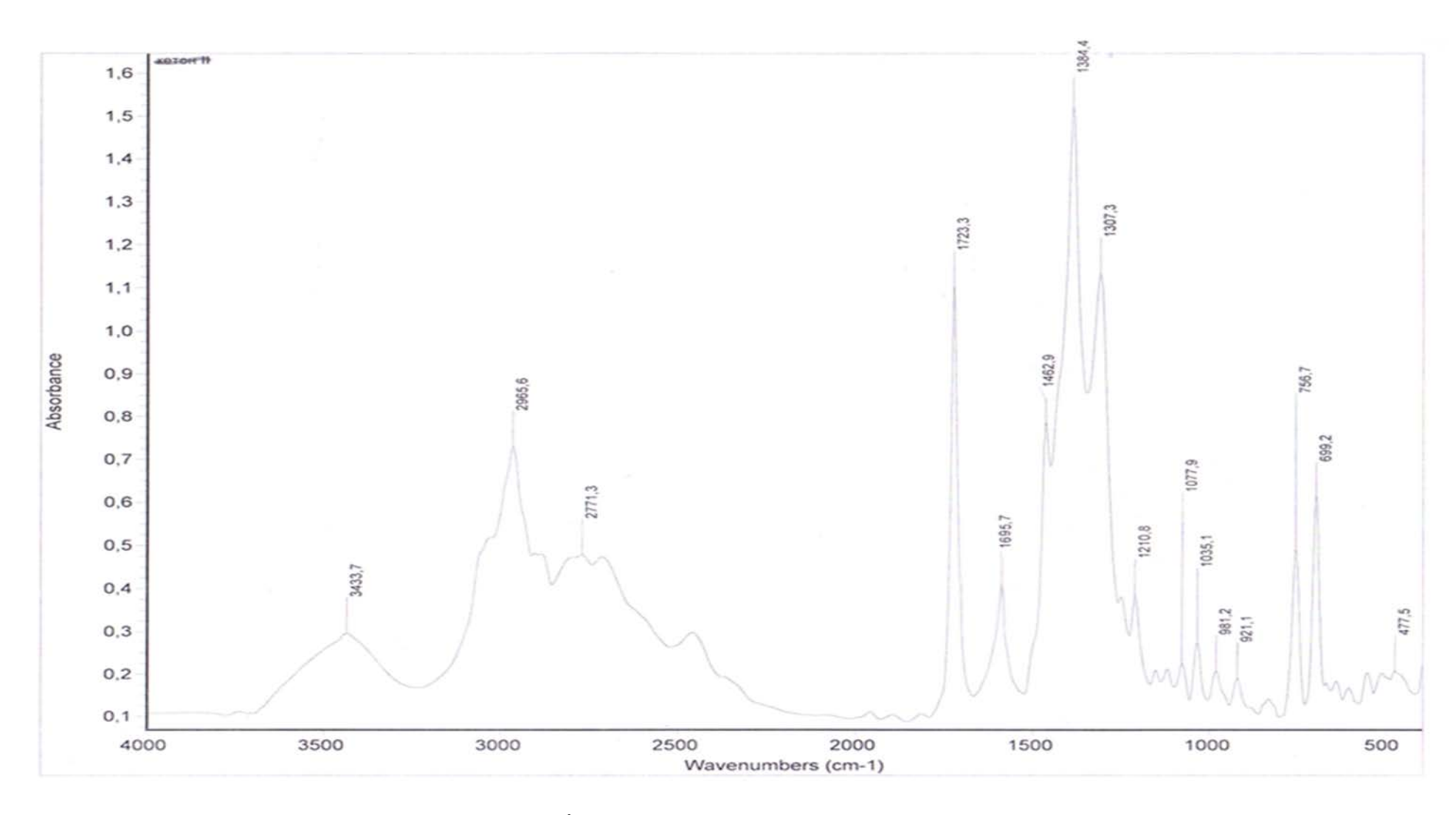


Рисунок 20. ИК – спектр N - (2³ - МЕТИЛ- 3' - ОКСОБУТИЛ) - 2,6 - ДИФЕНИЛ - 3 - ИЗОПРОПИЛПИПЕРИДИН - 4 – ОНА

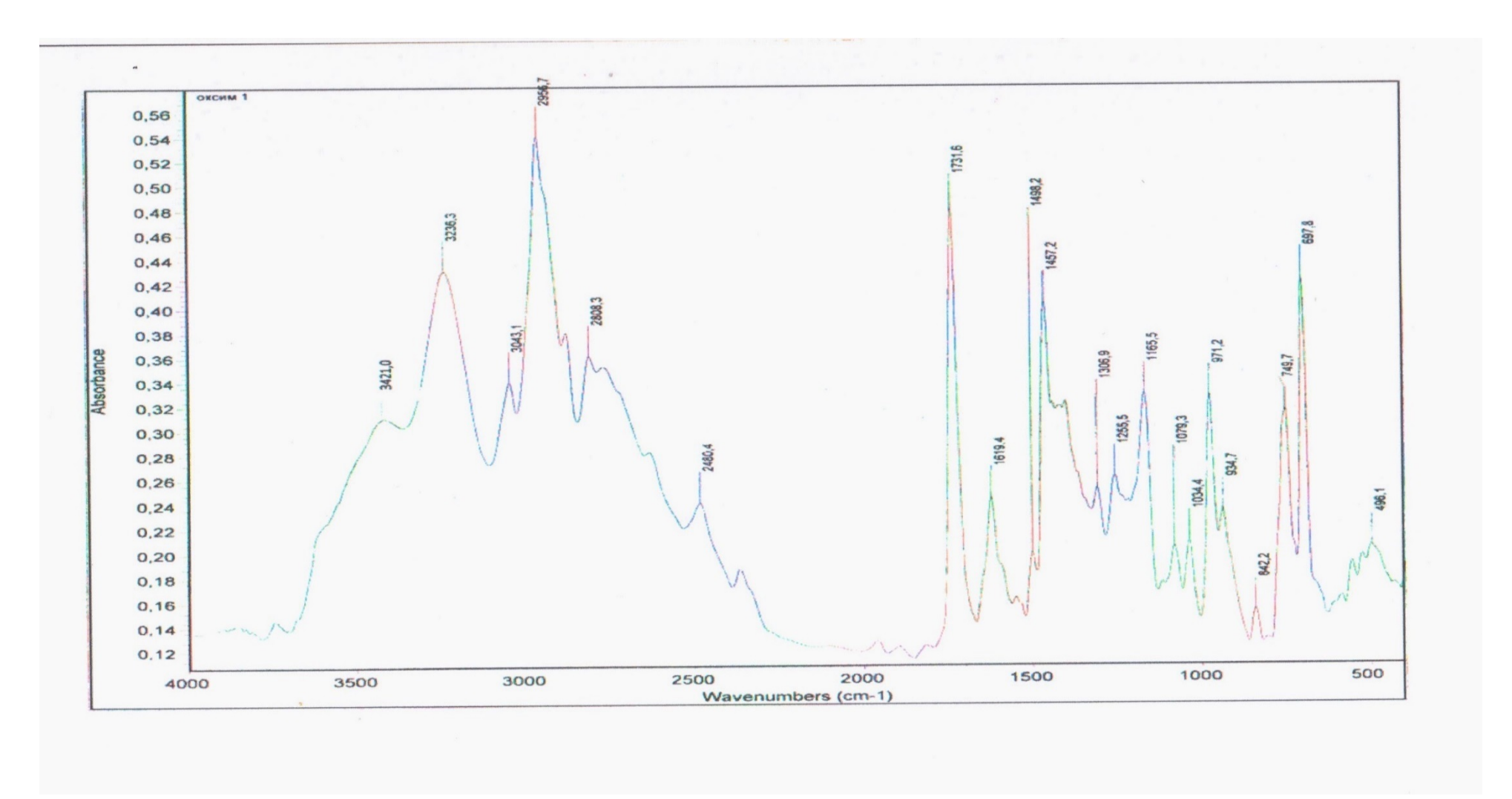


Рисунок 21. ИК – спектр ОКСИМ N - (2- МЕТИЛ- 3 - ОКСОБУТИЛ) - 2,6 - ДИФЕНИЛ - 3 - ИЗОПРОПИЛПИПЕРИДИН - 4 – ОНА

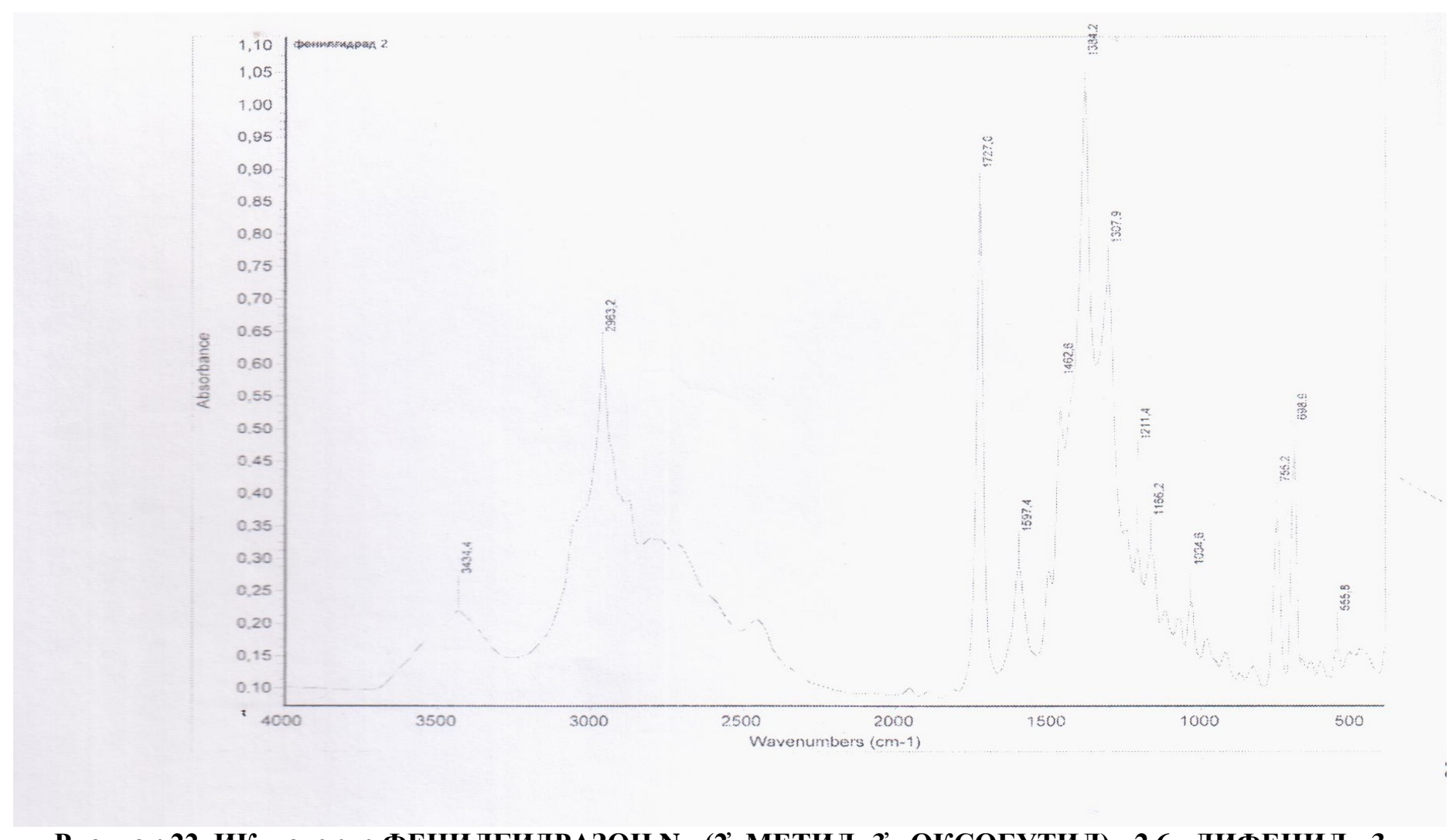


Рисунок 22. ИК – спектр ФЕНИЛГИДРАЗОН N - (2- МЕТИЛ- 3 - ОКСОБУТИЛ) - 2,6 - ДИФЕНИЛ - 3 - ИЗОПРОПИЛПИПЕРИДИН - 4 – ОНА

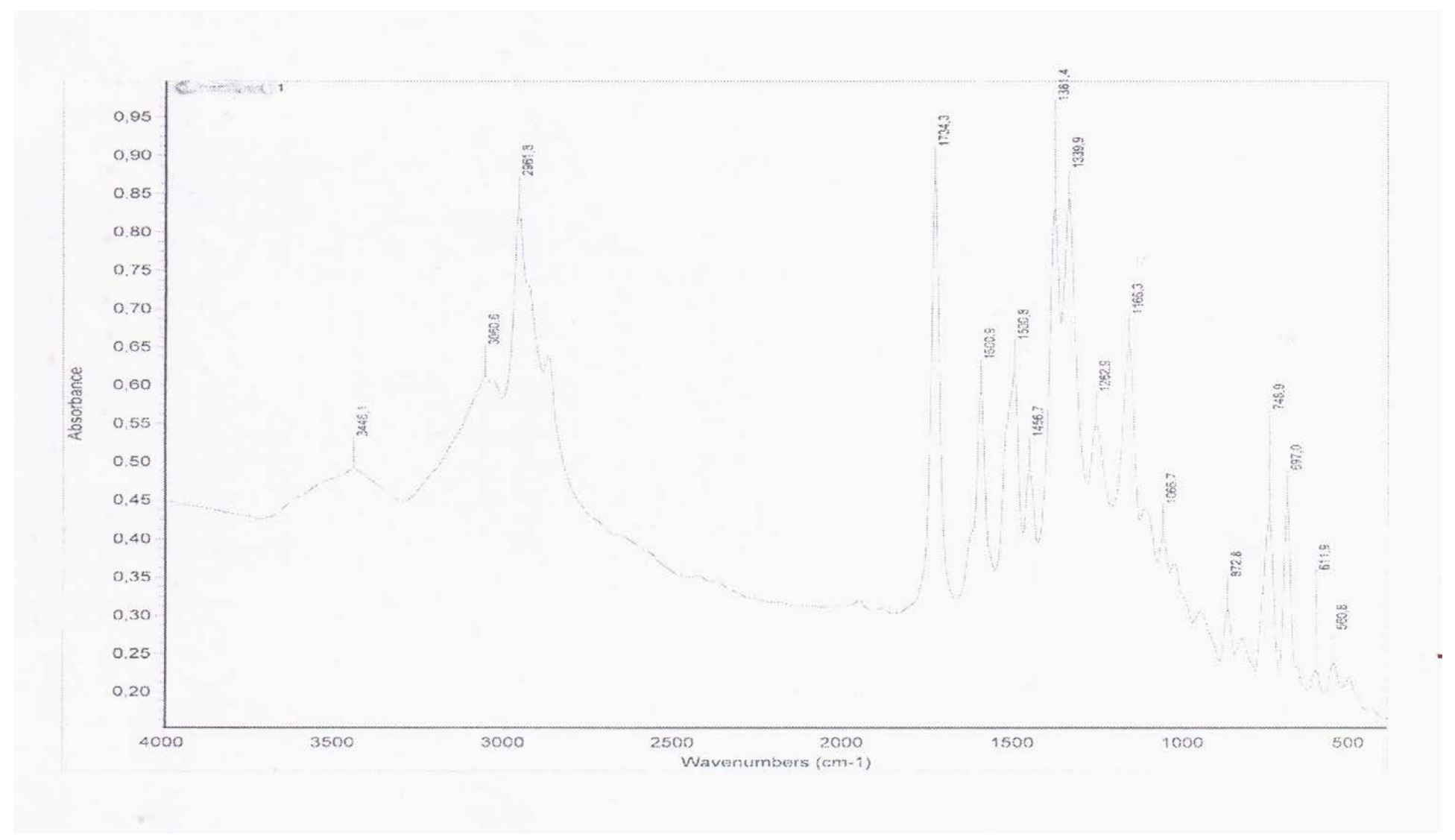
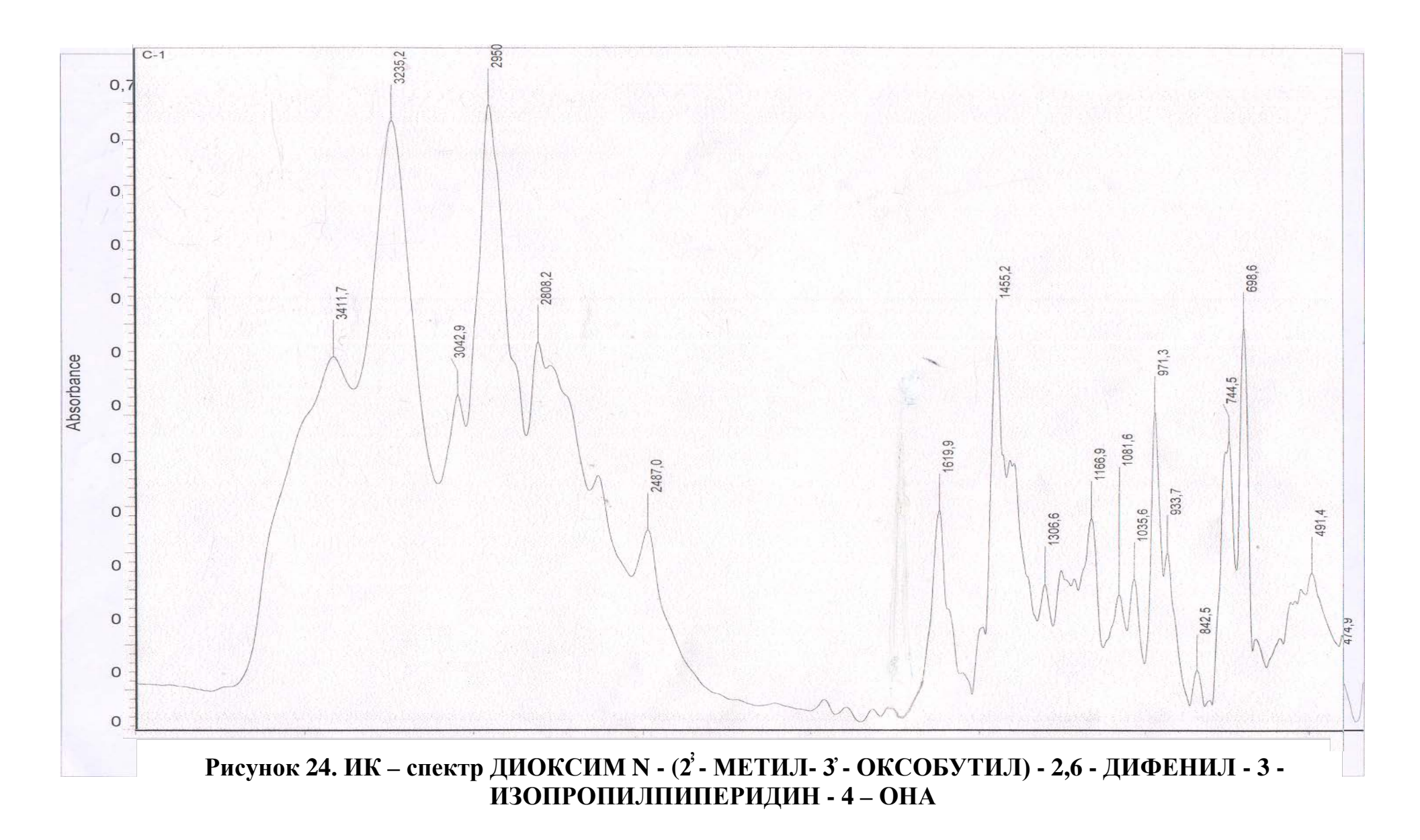


Рисунок 23. ИК – спектр СЕМИКАРБАЗОН N - (2- МЕТИЛ- 3 - ОКСОБУТИЛ) - 2,6 - ДИФЕНИЛ - 3 - ИЗОПРОПИЛ - ПИПЕРИДИН - 4 – ОНА



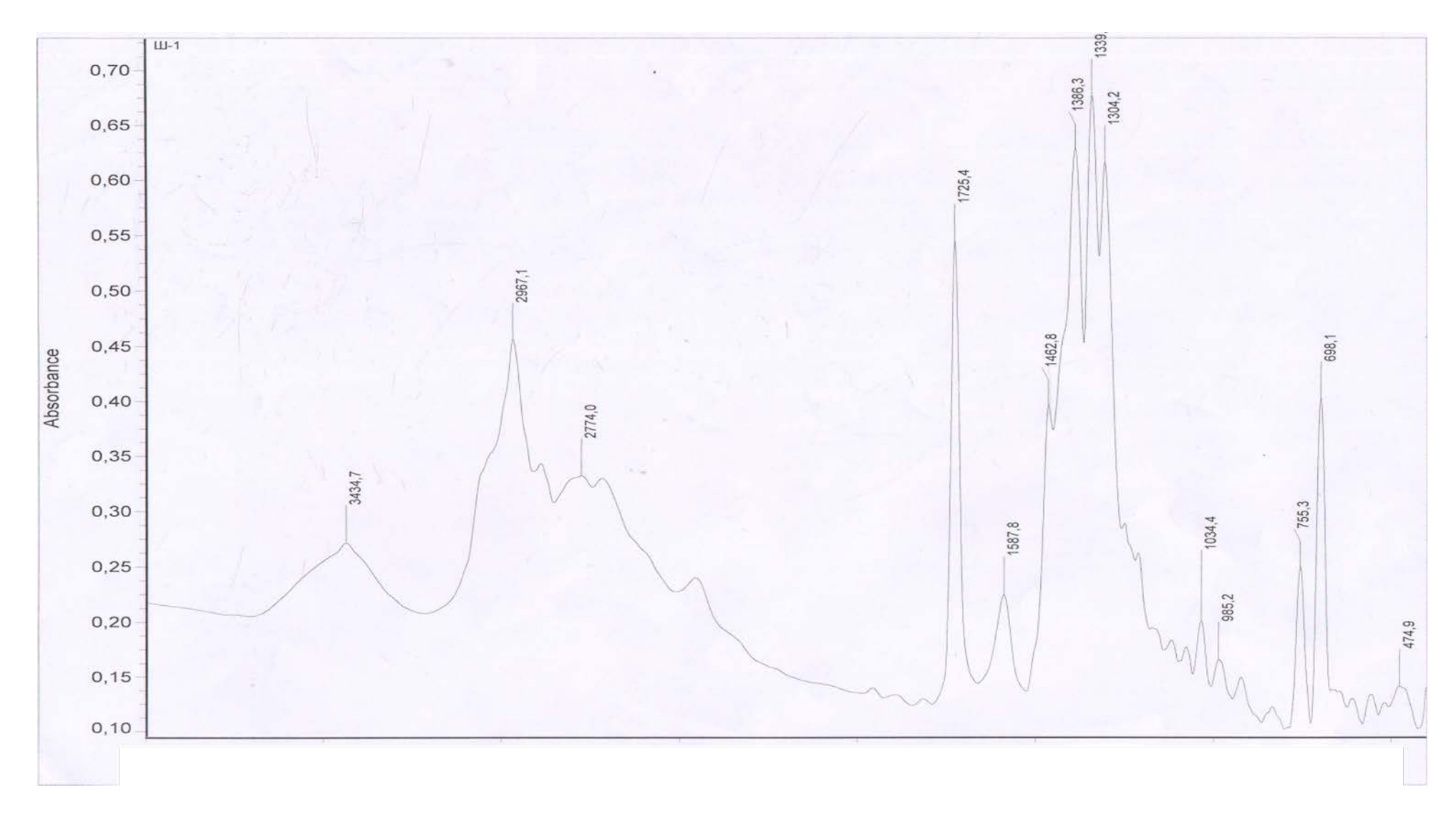


Рисунок 25. ИК – спектр ДИСЕМИКАРБАЗОН N-(2′-МЕТИЛ-3-ОКСОБУТИЛ)-2,6 ДИФЕНИЛ 3-ИЗОПРОПИЛПИПЕРИДИН-4-ОНА

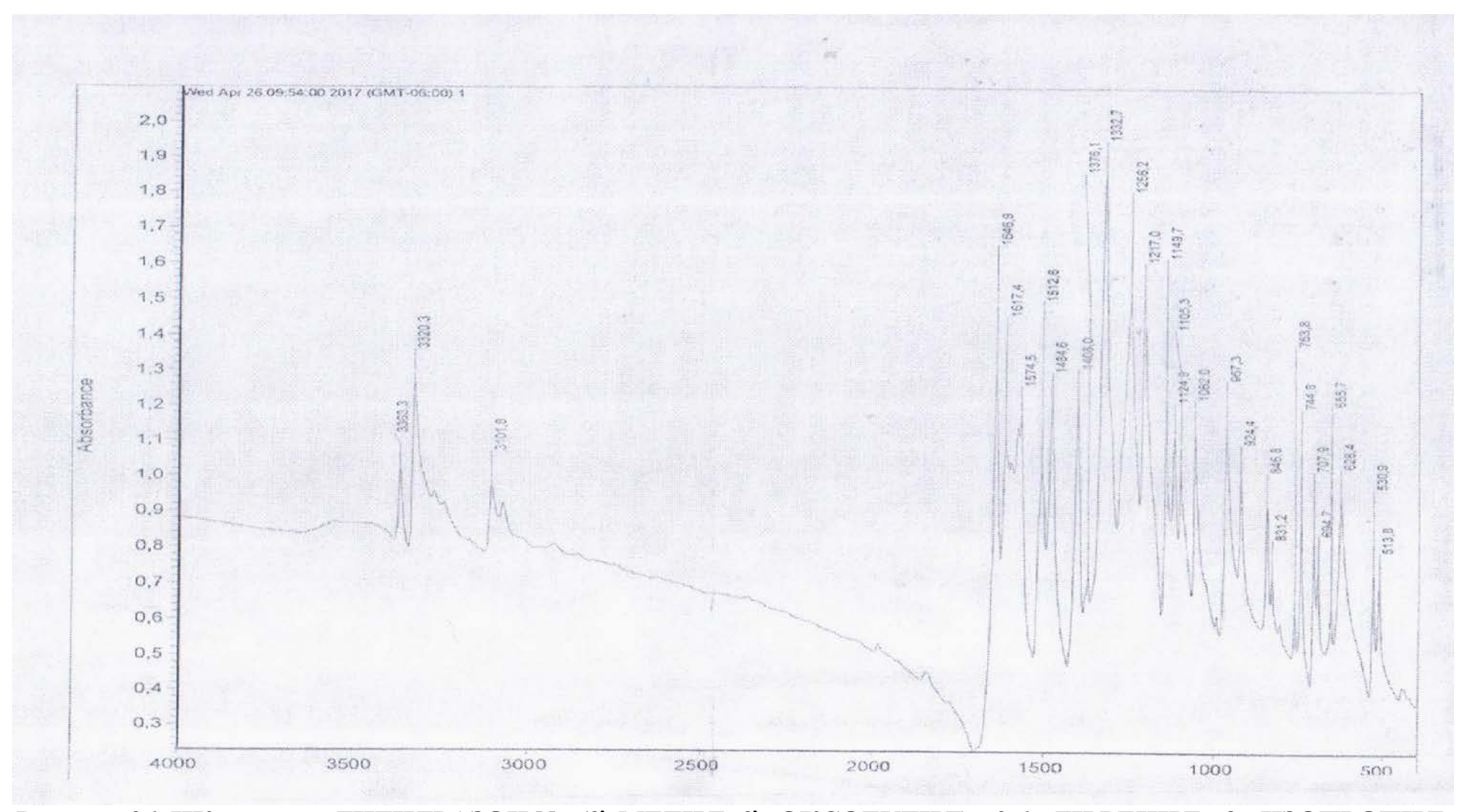


Рисунок 26. ИК – спектр ДИГИДРАЗОН N - (2- МЕТИЛ- 3 - ОКСОБУТИЛ) - 2,6 - ДИФЕНИЛ - 3 - ИЗОПРОПИЛ - ПИПЕРИДИН - 4 - ОНА

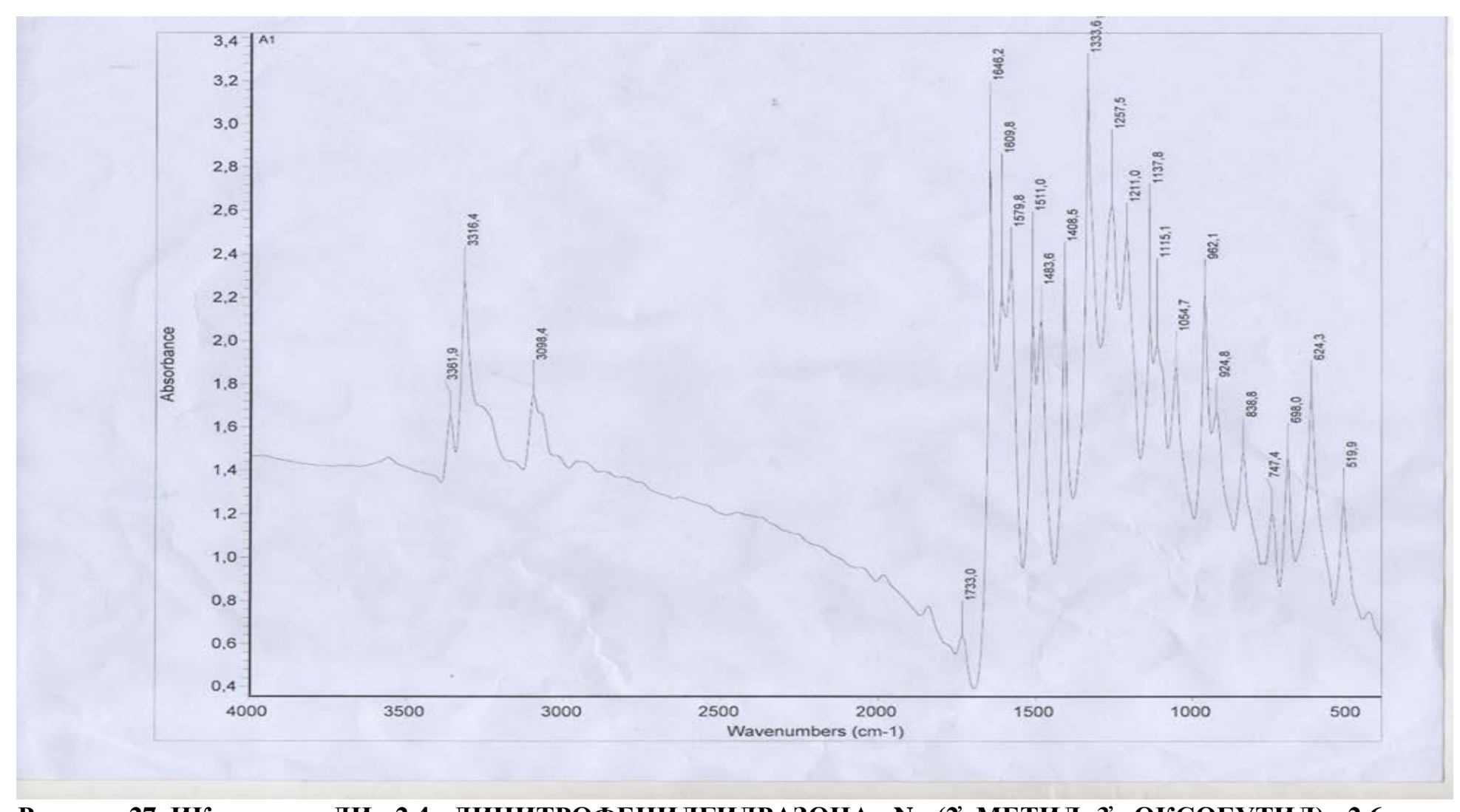


Рисунок 27. ИК – спектр ДИ - 2,4 - ДИНИТРОФЕНИЛГИДРАЗОНА - N - (2- МЕТИЛ- 3 - ОКСОБУТИЛ) - 2,6 - ДИФЕНИЛ - 3 - ИЗОПРОПИЛПИПЕРИДИН - 4 – ОНА

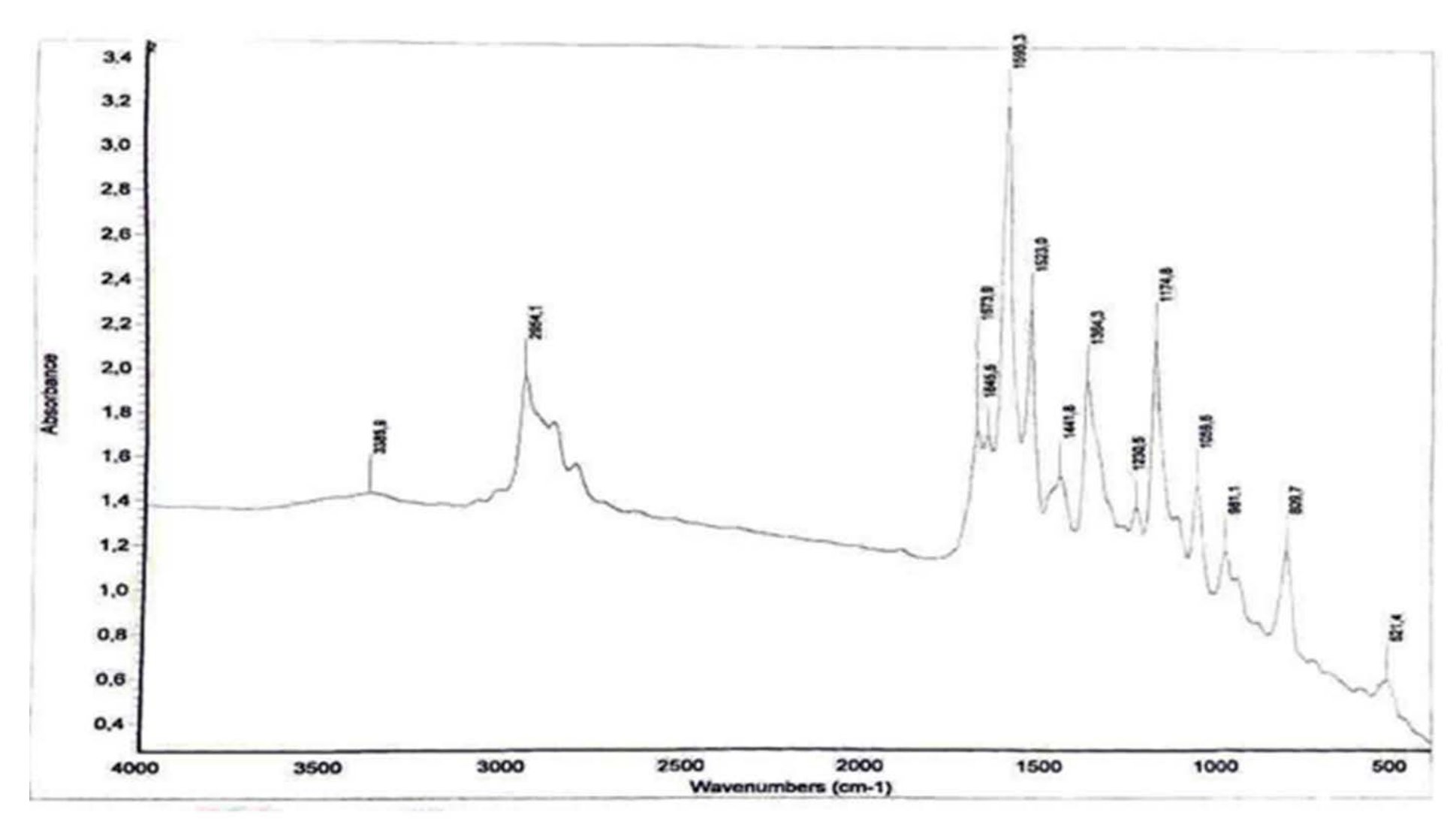


Рисунок 28. ИК – спектр 2,6 – ДИ – П – N,N – ДИМЕТИЛАМИНОФЕНИЛ – 3 – ИЗОПРОПИЛПИПЕРИДИН – 4 – ОНА

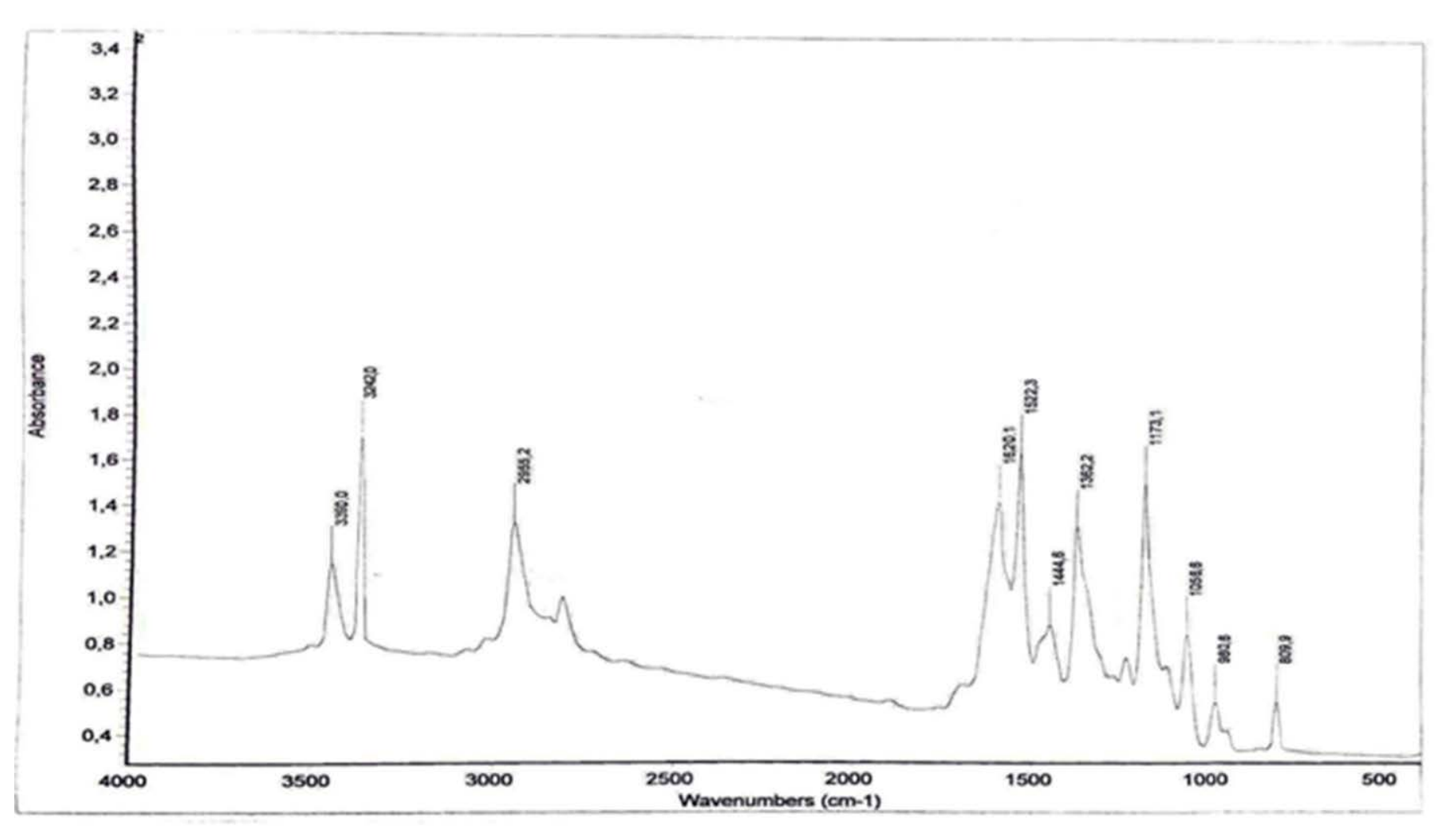


Рисунок 29. ИК – спектр ОКСИМ 2,6 – ДИ – П – N,N – ДИМЕТИЛАМИНОФЕНИЛ – 3 – ИЗОПРОПИЛПИПЕРИДИН – 4 – ОНА

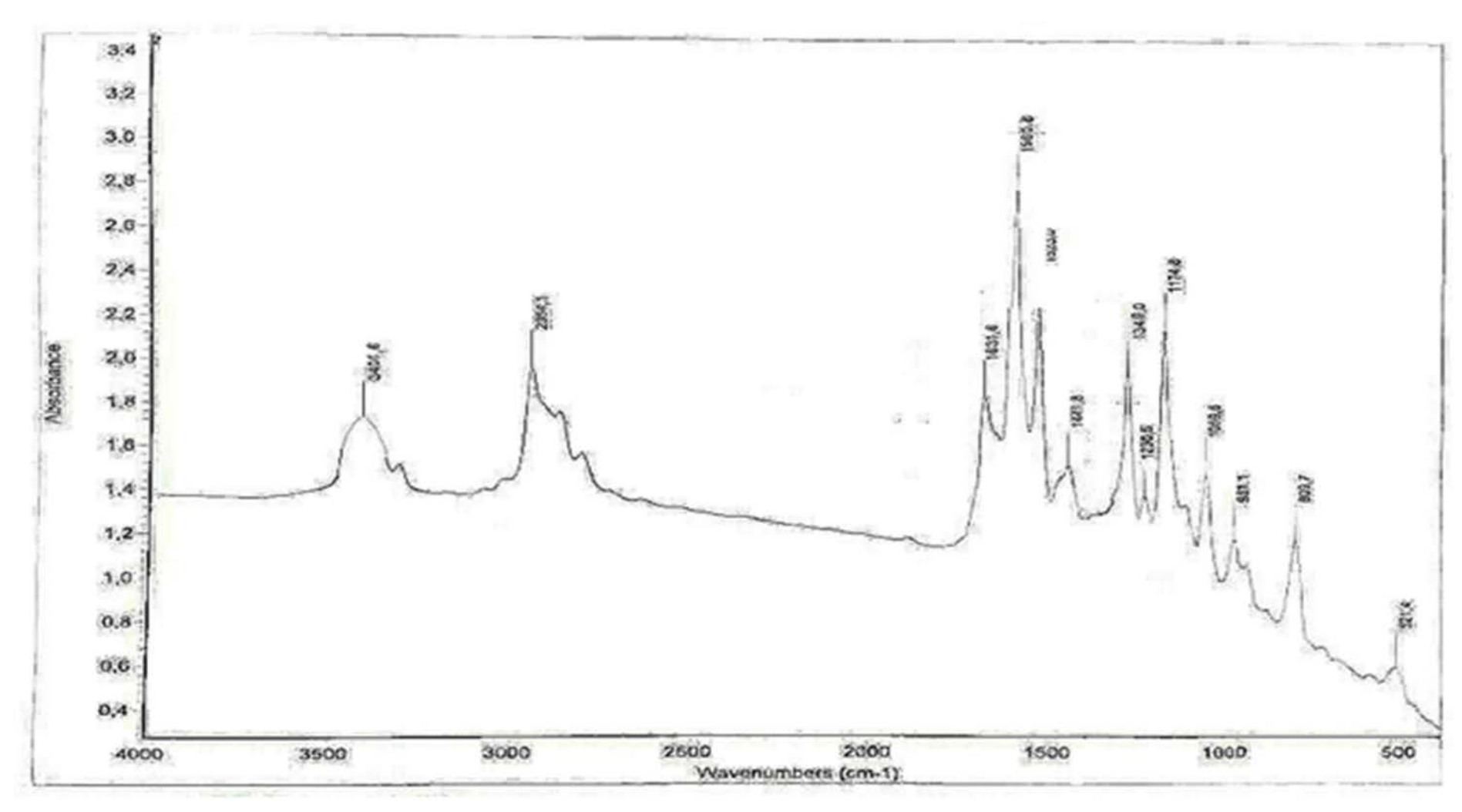


Рисунок 30. ИК – спектр ГИДРАЗОН 2,6 – ДИ – П – N,N – ДИМЕТИЛАМИНОФЕНИЛ – 3 – ИЗОПРОПИЛПИПЕРИДИН – 4 – ОНА

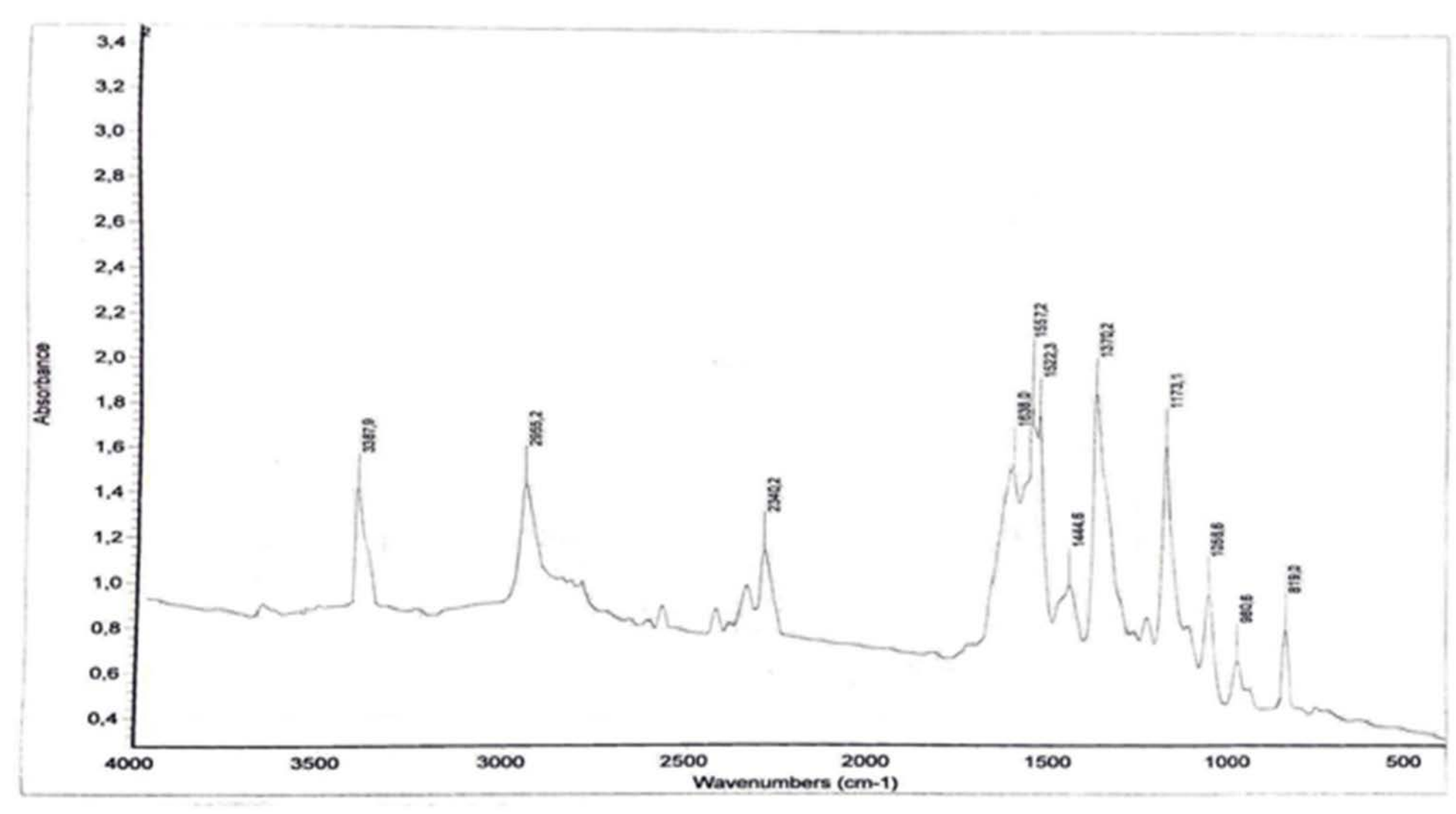


Рисунок 31. ИК – спектр ФЕНИЛГИДРАЗОН 2,6 – ДИ – П – N,N – ДИМЕТИЛАМИНОФЕНИЛ – 3 – ИЗОПРОПИЛПИПЕРИДИН – 4 – ОНА

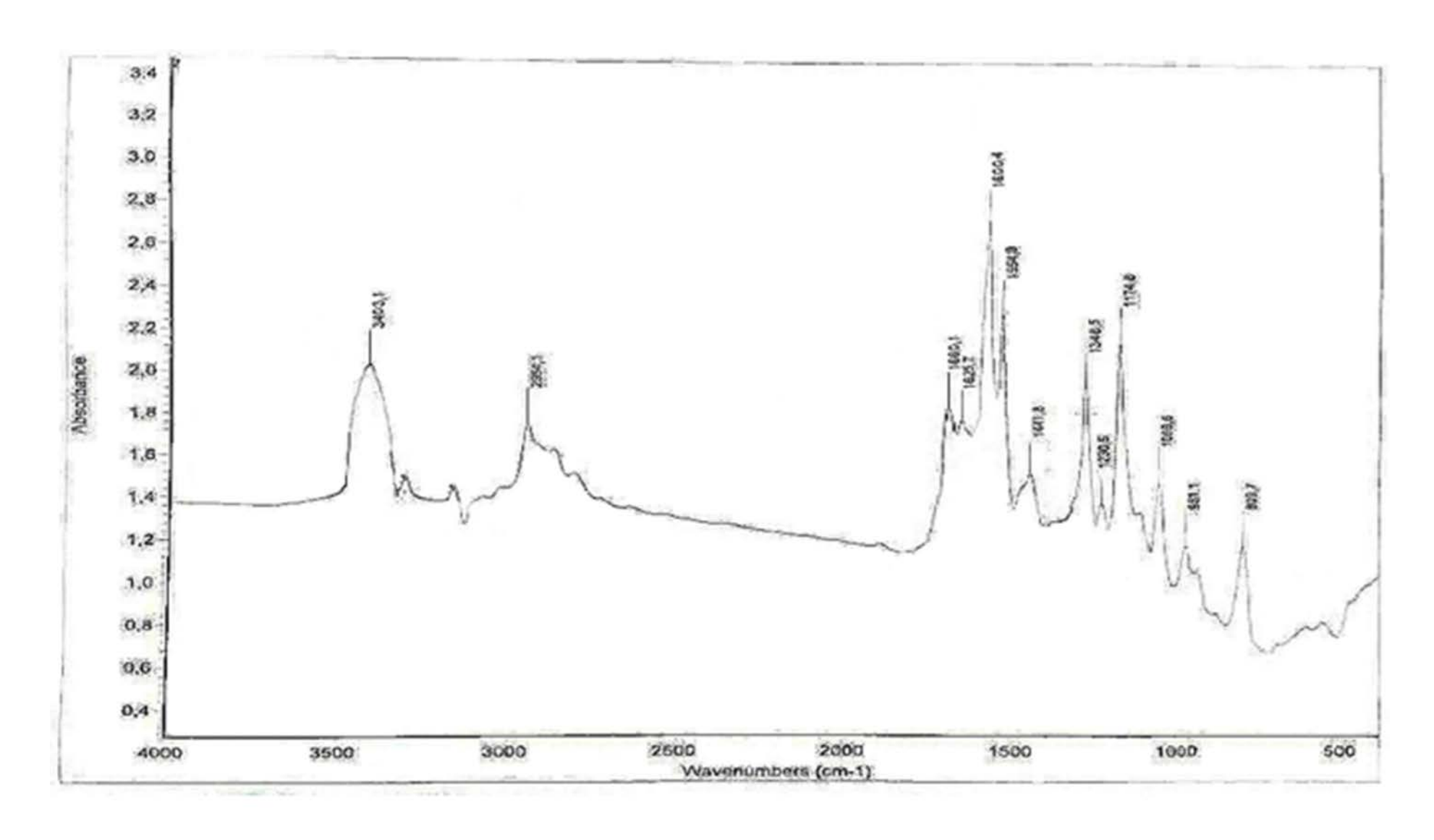


Рисунок 32. ИК – спектр СЕМИКАРБАЗОН 2,6 – ДИ – П – N,N – ДИМЕТИЛАМИНОФЕНИЛ – 3 – ИЗОПРОПИЛПИПЕРИДИН – 4 – ОНА

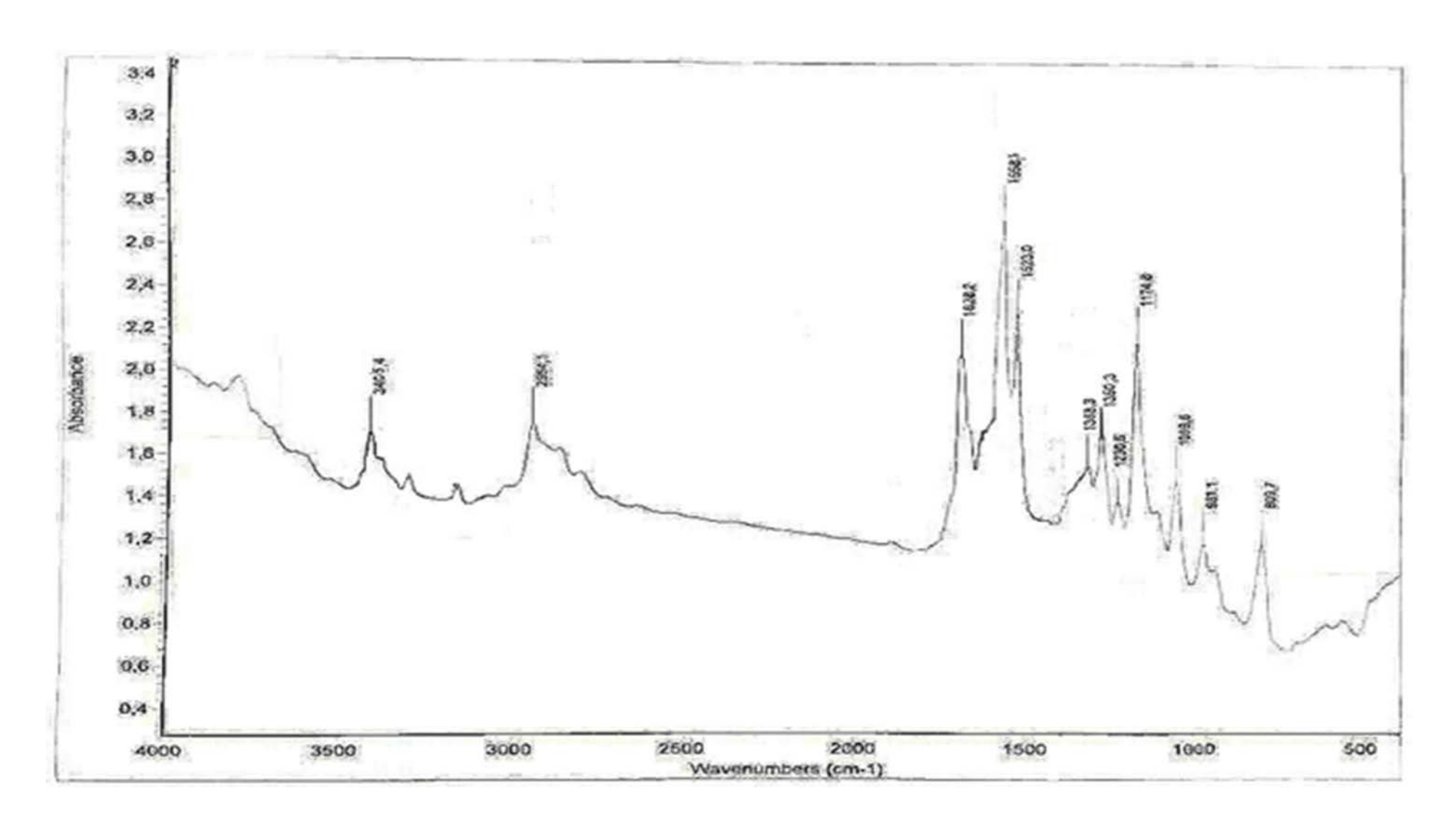


Рисунок 33. ИК – спектр ТИОСЕМИКАРБАЗОН 2,6 – ДИ – П – N,N – ДИМЕТИЛАМИНОФЕНИЛ – 3 – ИЗОПРОПИЛПИПЕРИДИН – 4 – ОНА

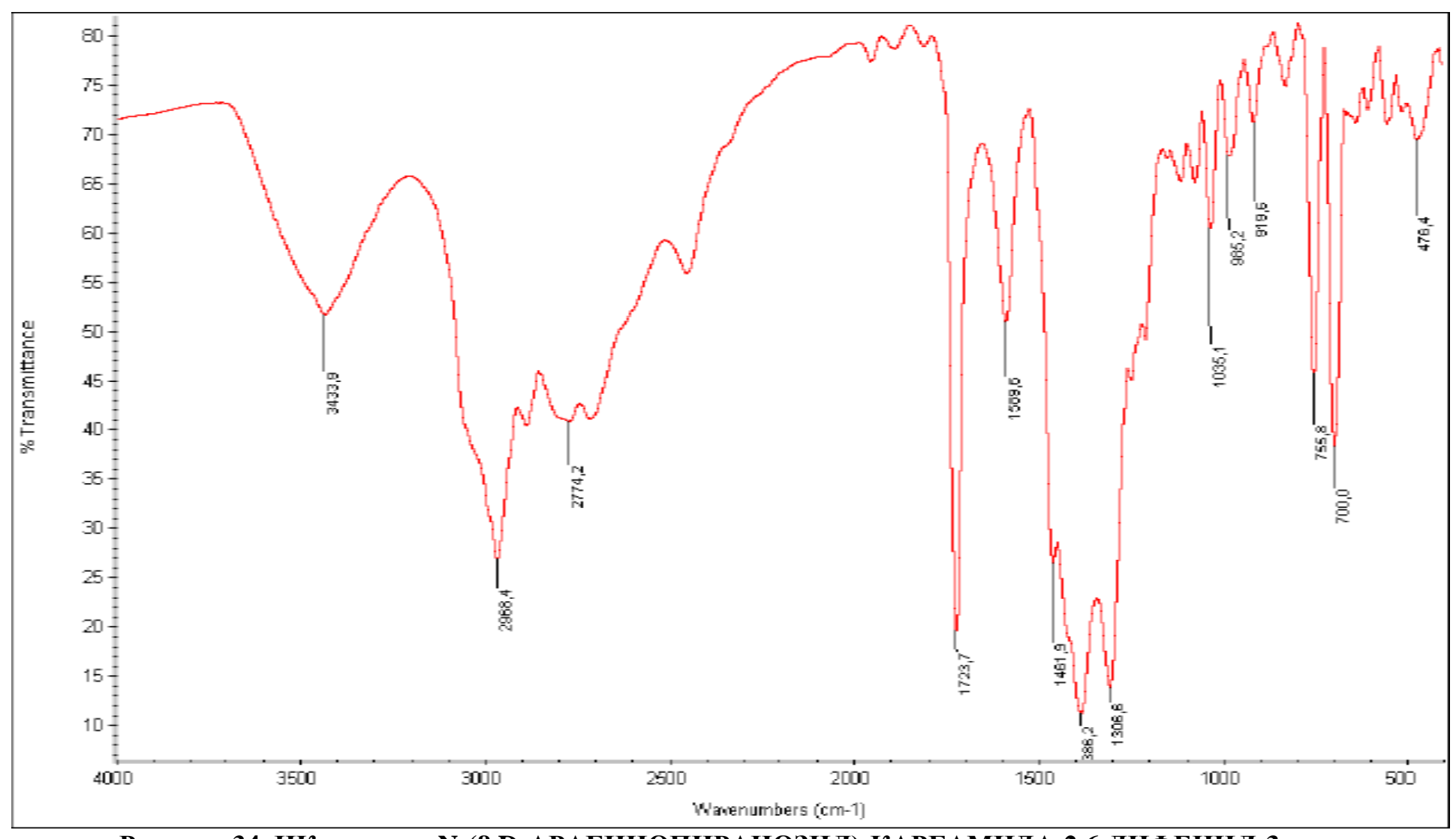


Рисунок 34. ИК – спектр N-(β,D-АРАБИНОПИРАНОЗИЛ)-КАРБАМИДА-2,6-ДИФЕНИЛ-3-ИЗОПРОПИЛПИПЕРИДИН-4-ОНА

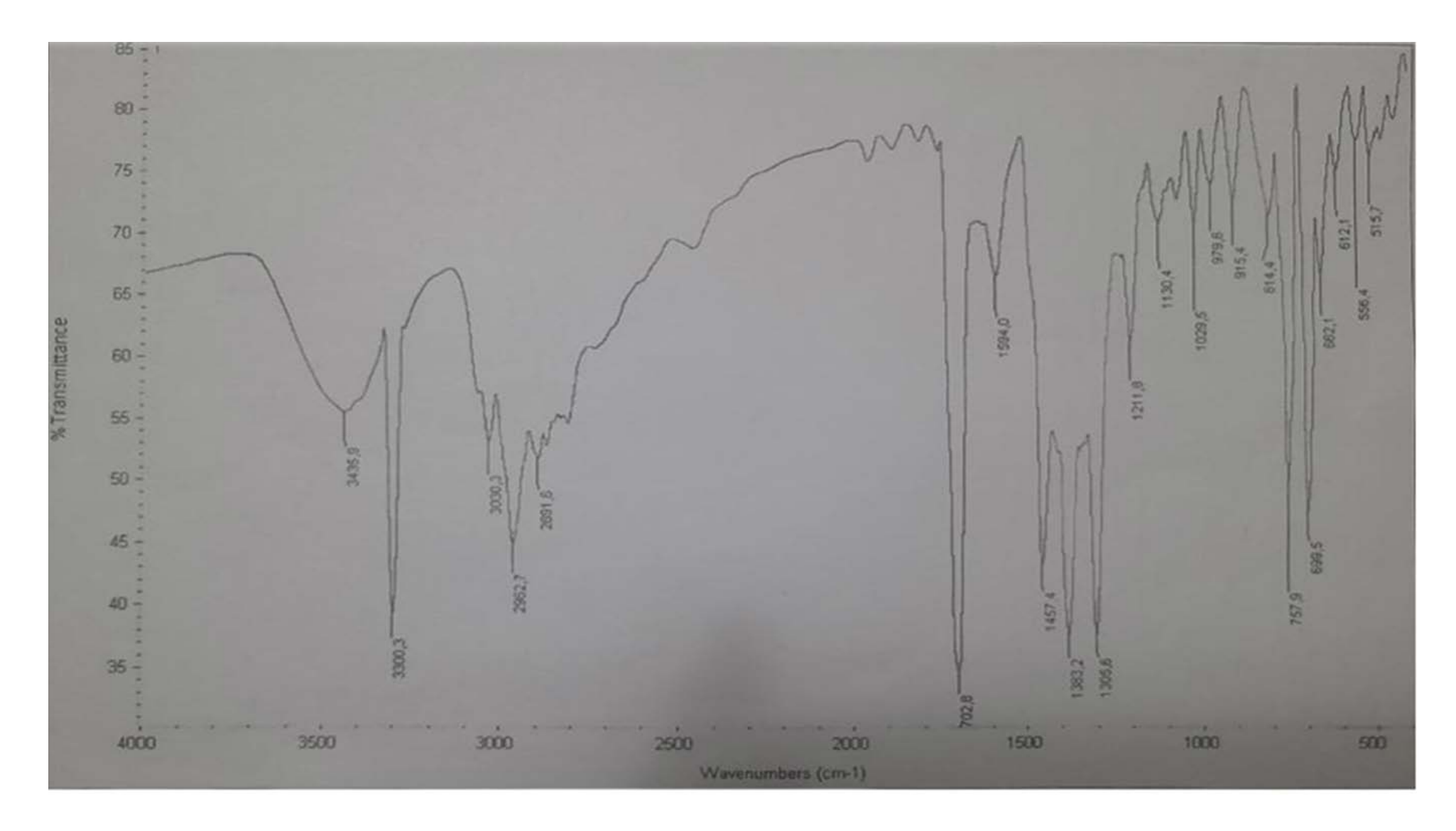


Рисунок 35. ИК – спектр N-(β,L-РИБОЗОПИРАНОЗИЛ)-КАРБАМИДА-2,6-ДИФЕНИЛ-3-ИЗОПРОПИЛПИПЕРИДИН-4-ОНА

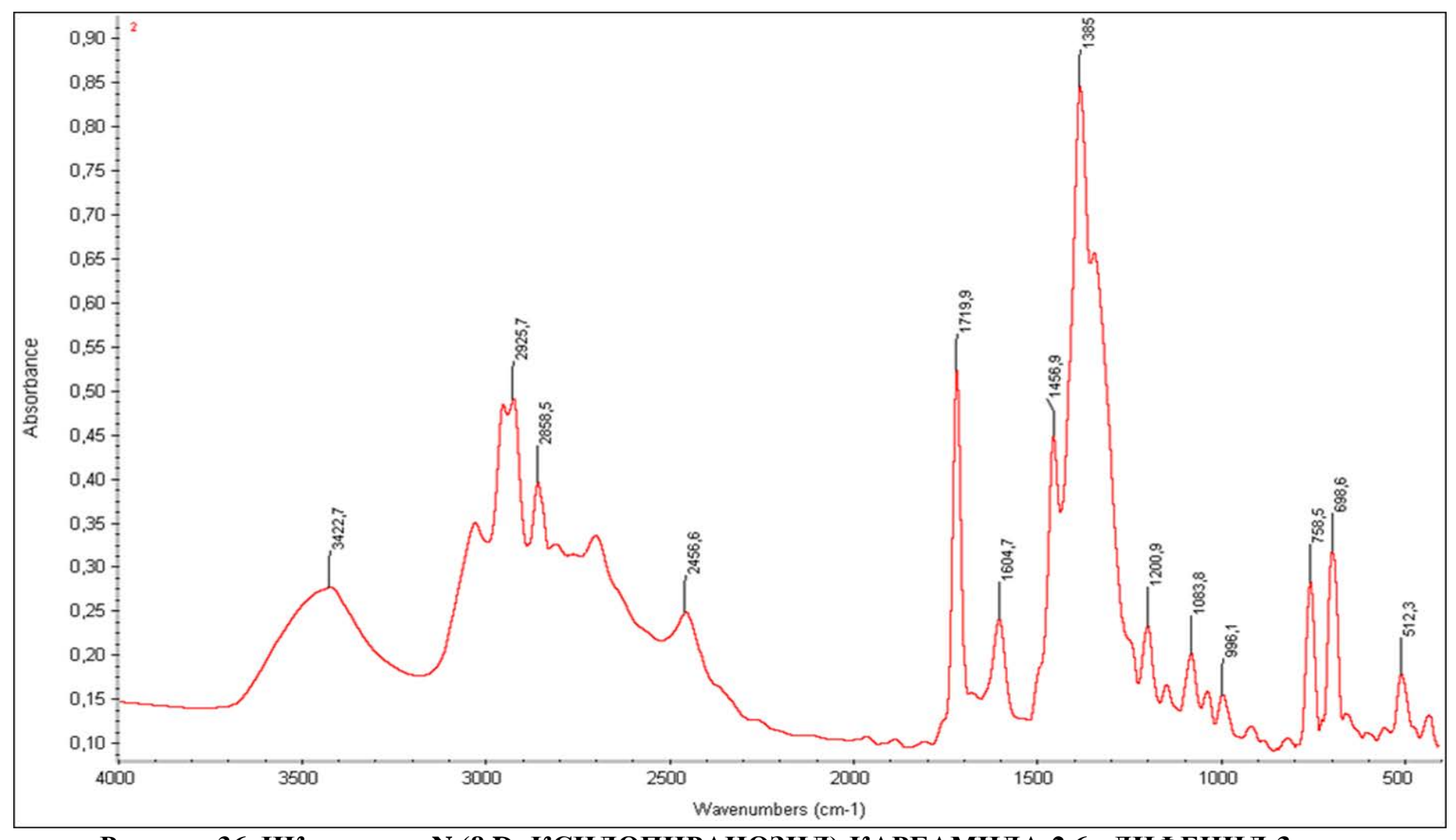


Рисунок 36. ИК – спектр N (β,D- КСИЛОПИРАНОЗИЛ)-КАРБАМИДА-2,6 - ДИФЕНИЛ-3-ИЗОПРОПИЛПИПЕРИДИН-4-ОНА

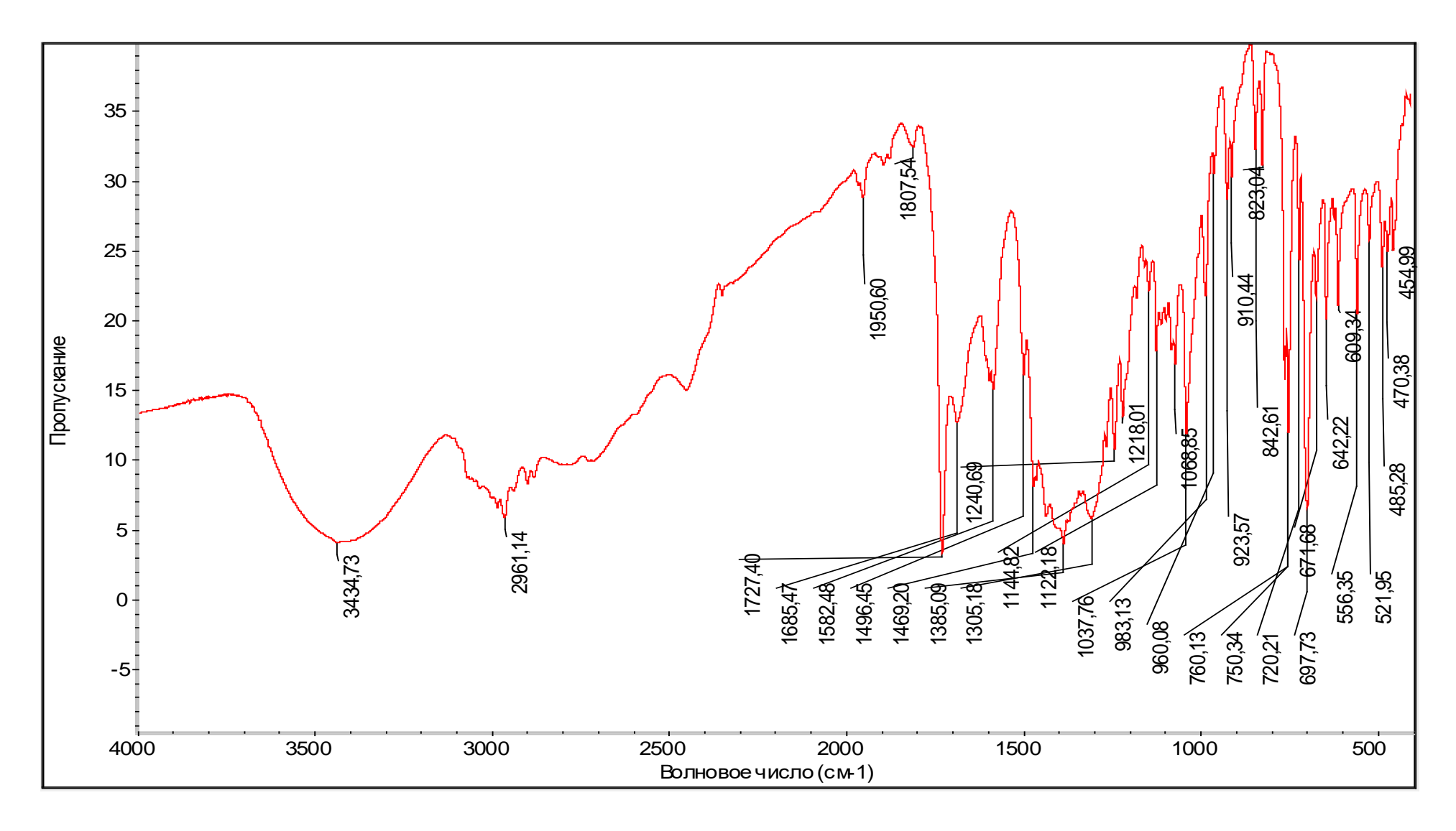


Рисунок 37. ИК – спектр N-(β,D-ГЛЮКОПИРАНОЗИЛ)-КАРБАМИДА-2,6-ДИФЕНИЛ-3-ИЗОПРОПИЛПИПЕРИДИН-4-ОНА

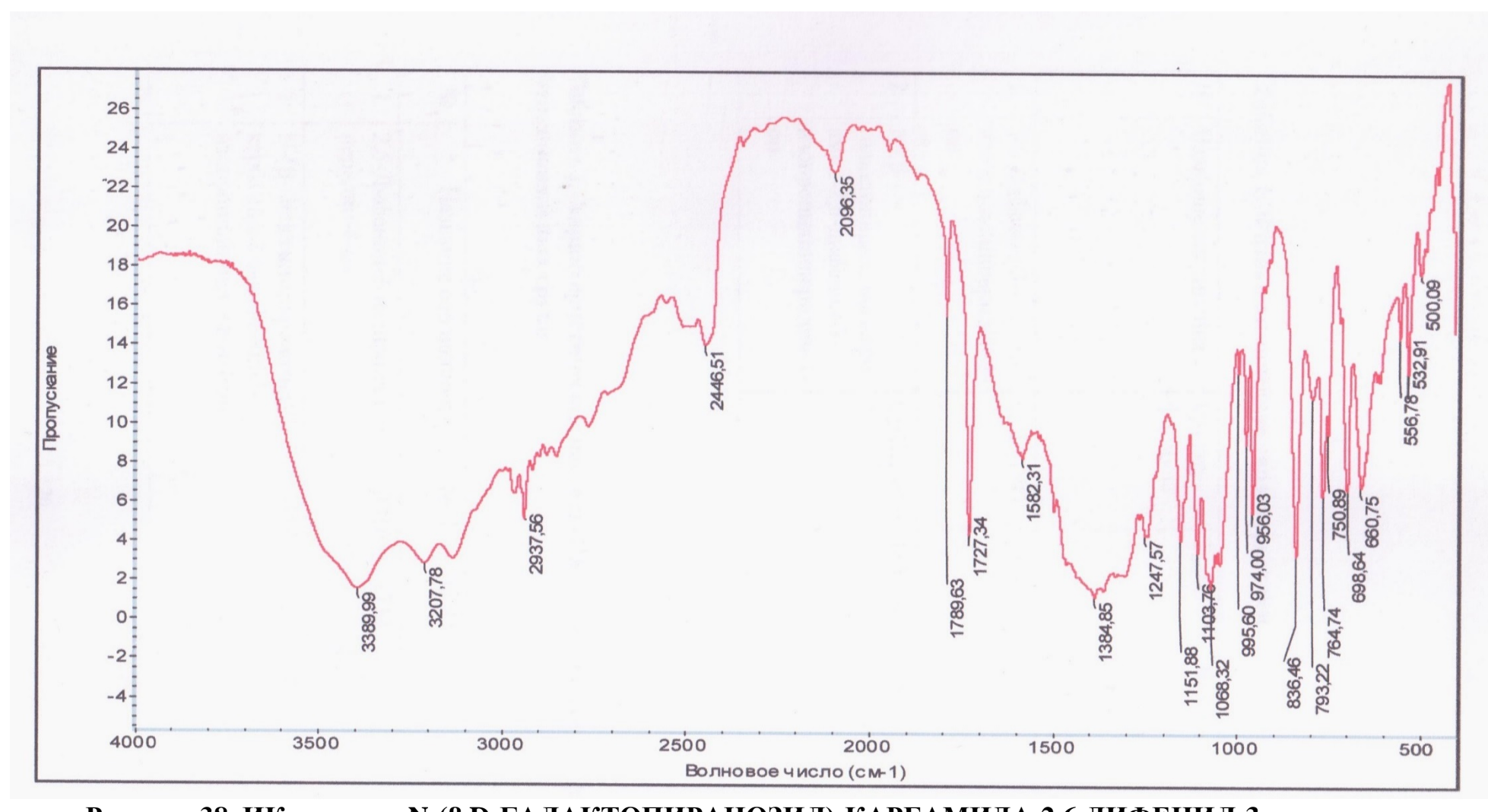


Рисунок 38. ИК – спектр N-(β,D-ГАЛАКТОПИРАНОЗИЛ)-КАРБАМИДА-2,6-ДИФЕНИЛ-3-ИЗОПРОПИЛПИПЕРИДИН-4-ОНА

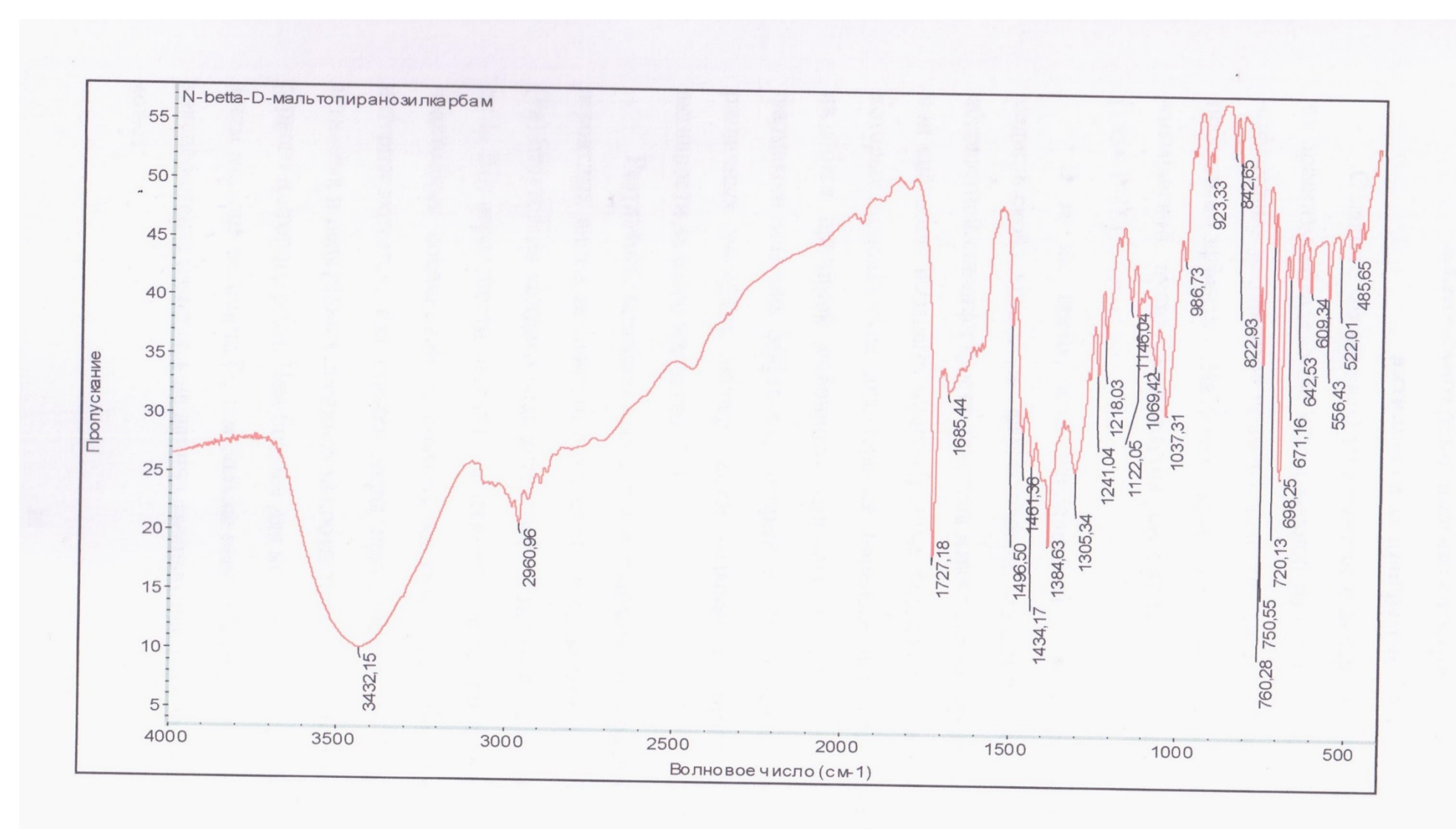


Рисунок 39. ИК – спектр N-(β,D-МАЛЬТОЗИЛ)-КАРБАМИДА-2,6-ДИФЕНИЛ-3-ИЗОПРОПИЛПИПЕРИДИН-4-ОНА

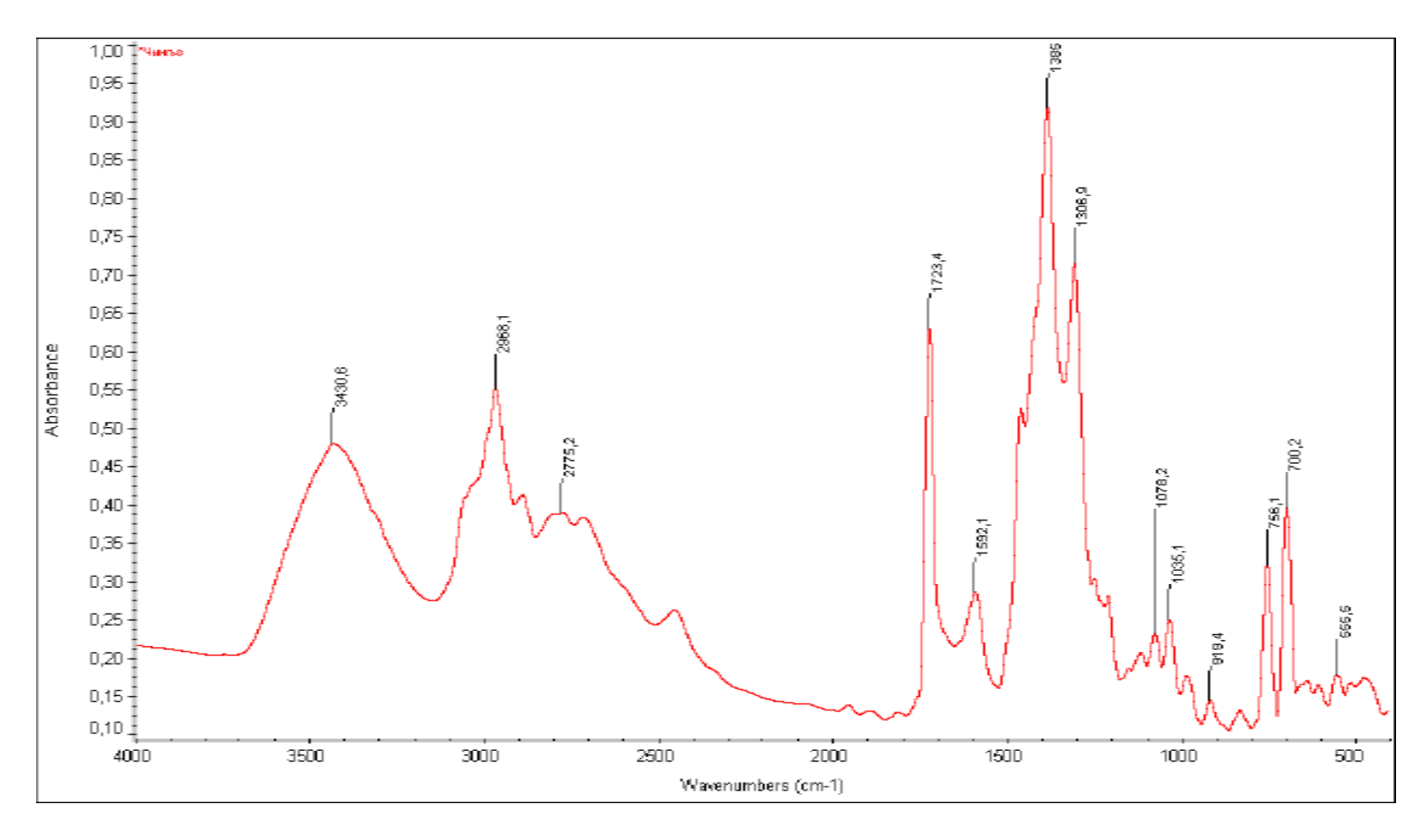


Рисунок 40. ИК – спектр N-(  $\beta$ ,D-ЛАКТОЗИЛ)-КАРБАМИДА-2,6-ДИФЕНИЛ-3-ИЗОПРОПИЛПИПЕРИДИН-4-ОНА

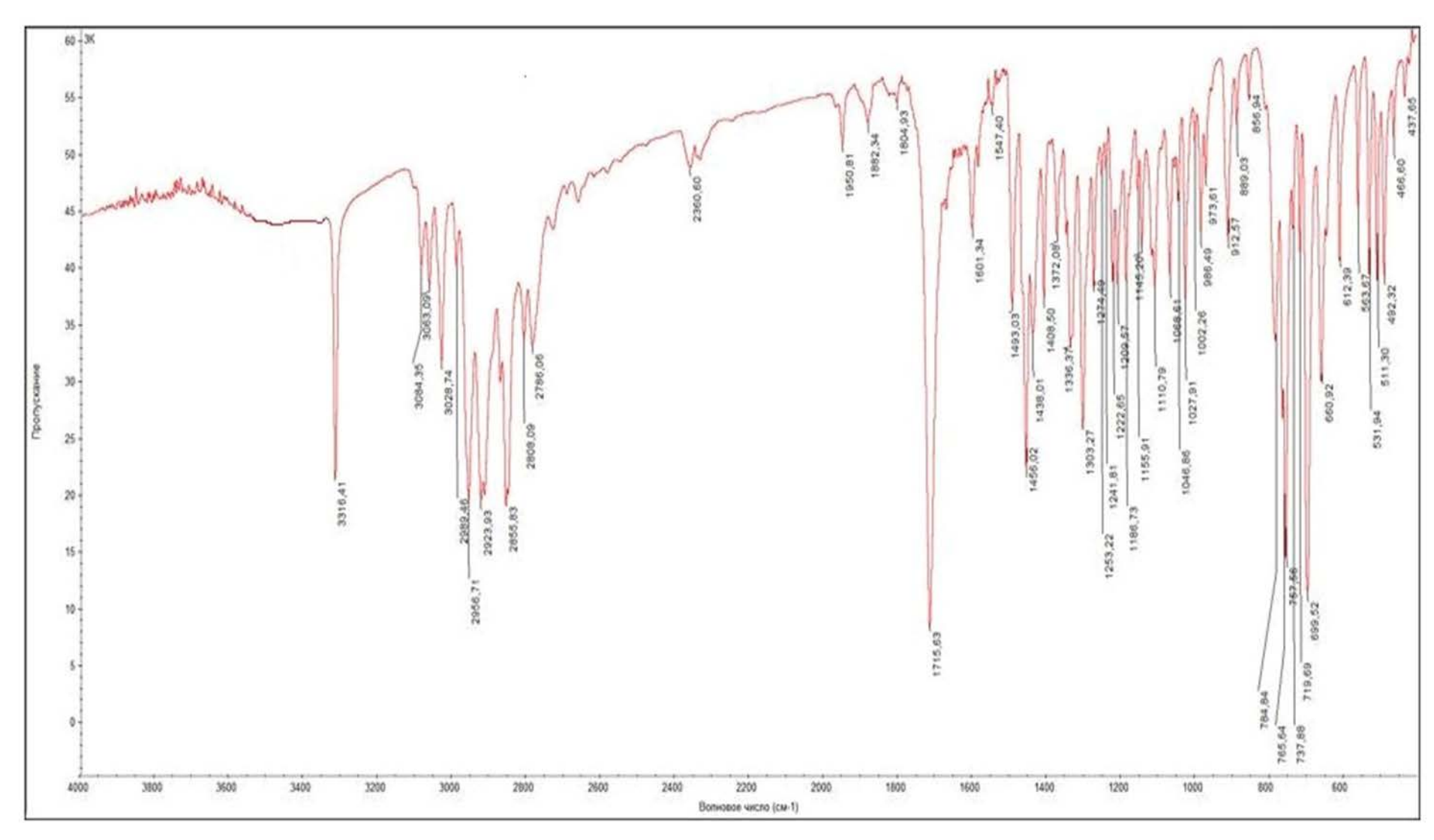


Рисунок 41. ИК – спектр 2,6-ДИФЕНИЛ-3-АМИЛПИПЕРИДИН-4-ОНА

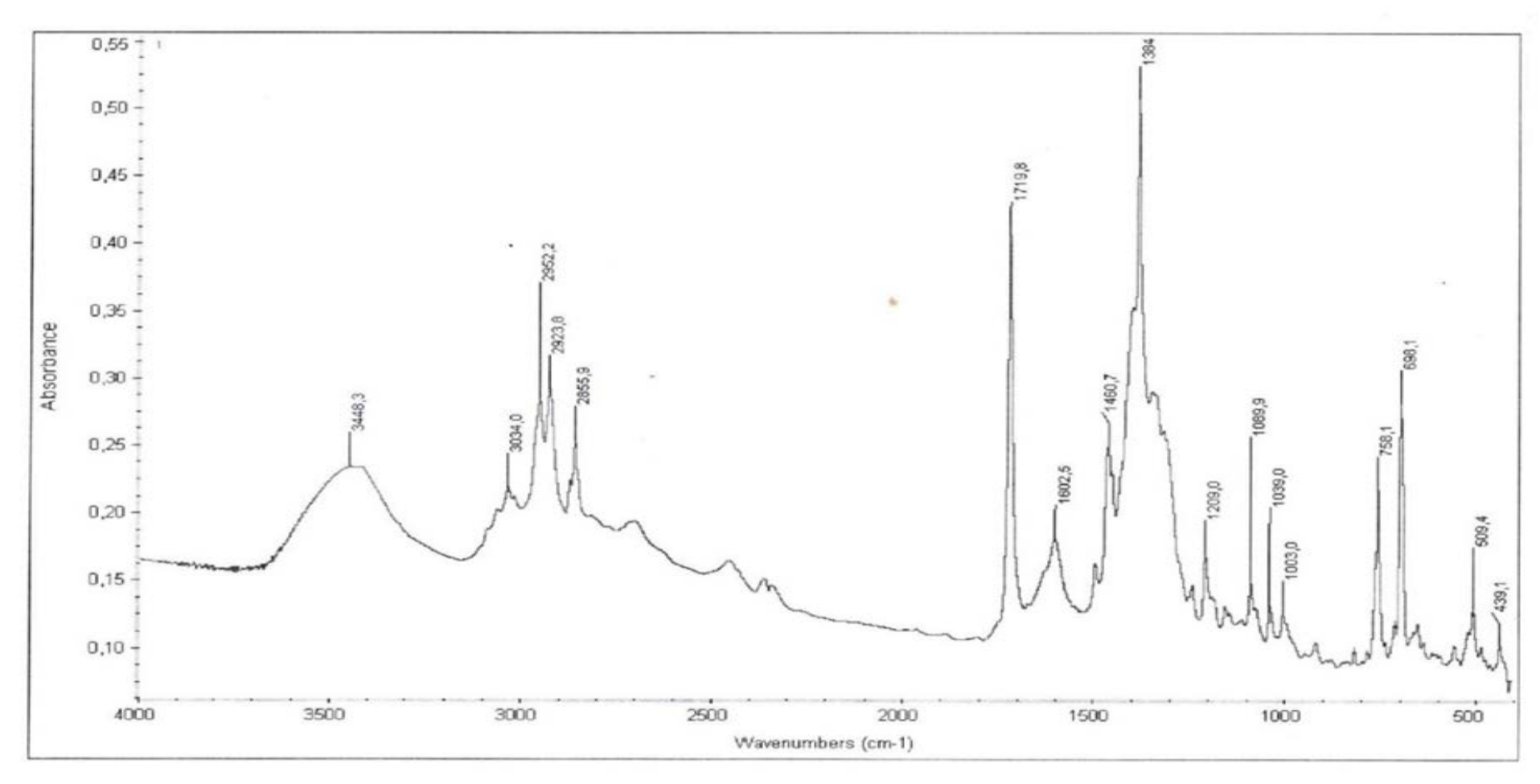


Рисунок 42. ИК – спектр N-(β,D-АРАБИНОПИРАНОЗИЛ)-КАРБАМИДА-2,6-ДИФЕНИЛ-3-АМИЛПИПЕРИДИН-4-ОН

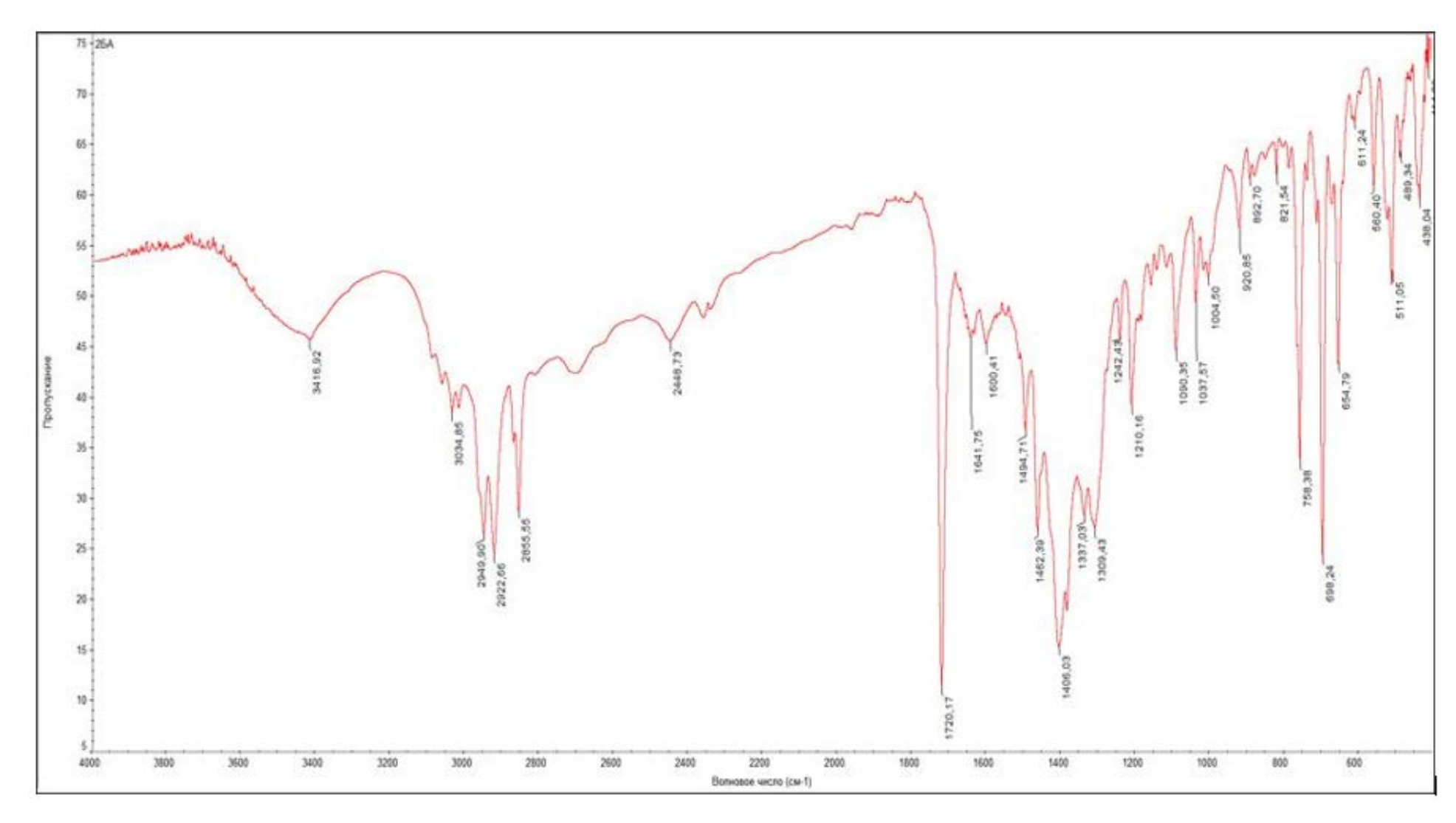


Рисунок 43. ИК – спектр N-(β,D-КСИЛОПИРАНОЗИЛ)-КАРБАМИДА-2,6-ДИФЕНИЛ-3-ИЗОПРОПИЛПИПЕРИДИН-4-ОНА

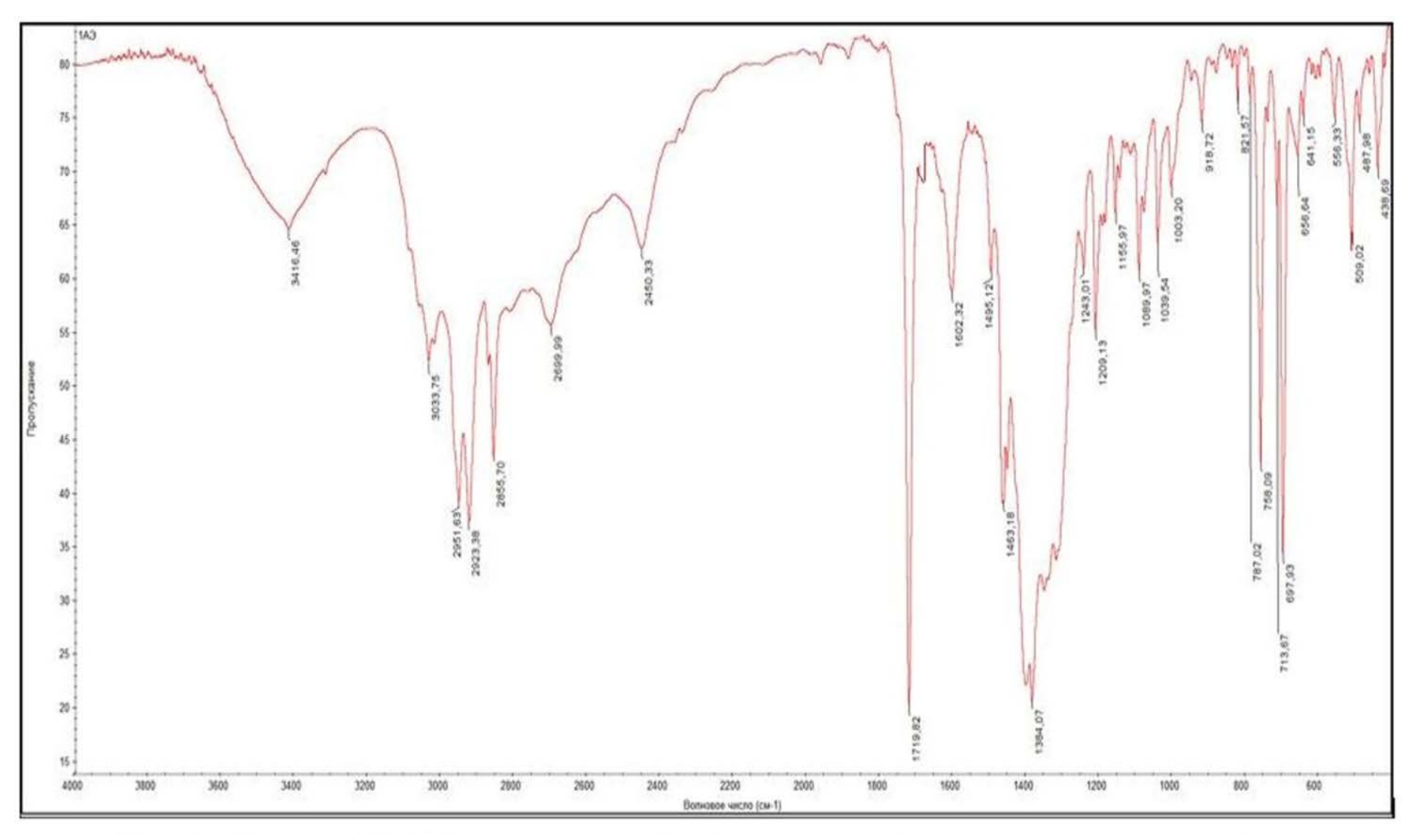


Рисунок 44. ИК – спектр N-(β,D-ГЛЮКОПИРАНОЗИЛ)-КАРБАМИДА-2,6-ДИФЕНИЛ-3-АМИЛПИПЕРИДИН-4-ОН

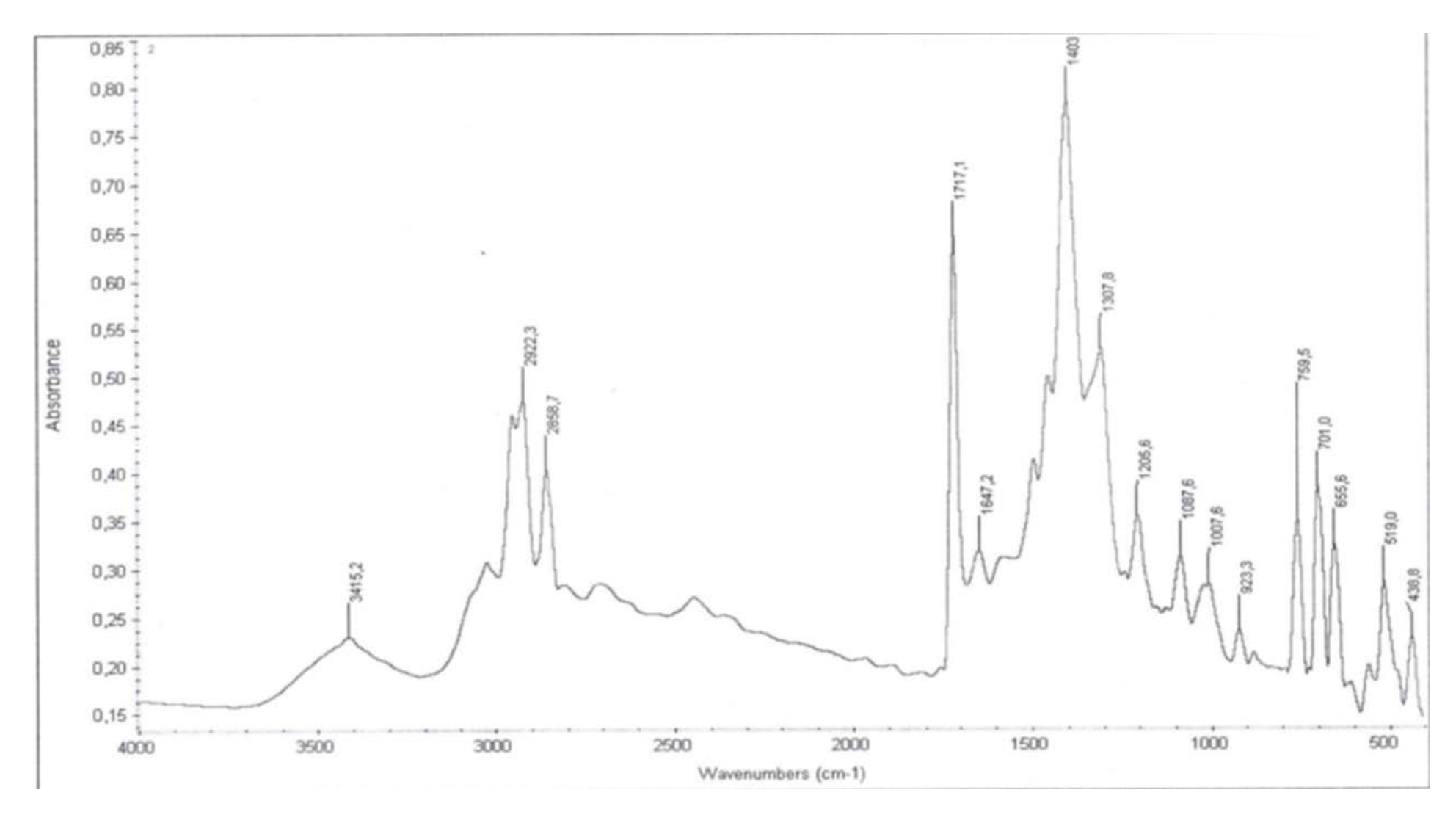


Рисунок 45. ИК – спектр N-(β,D-ГАЛАКТОПИРАНОЗИЛ)-КАРБАМИД-2,6-ДИФЕНИЛ-3-АМИЛПИПЕРИДИН-4-ОНА

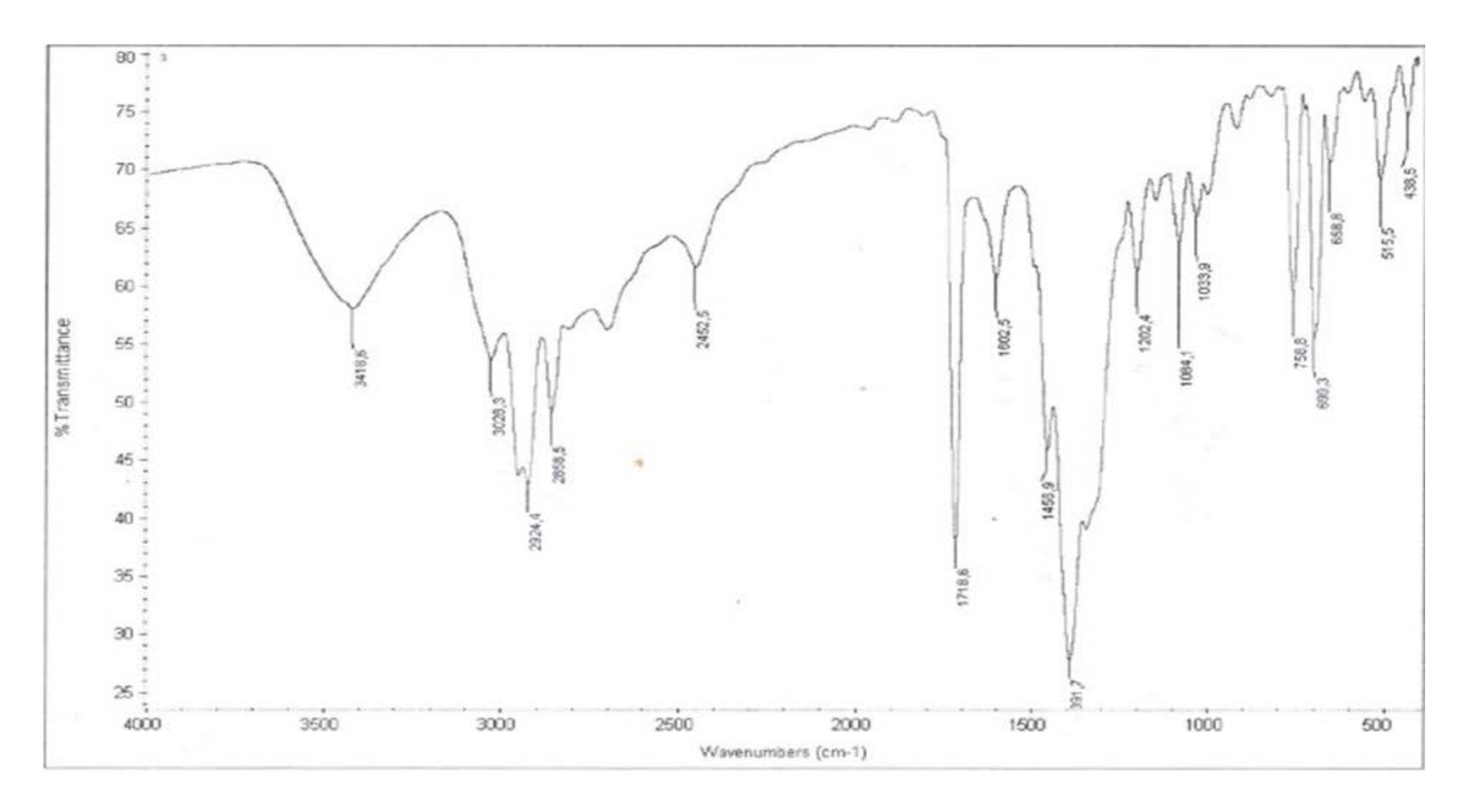


Рисунок 46. ИК – спектр N-(В-D-МАЛЬТОЗИЛ)-КАРБАМИД-2,6-ДИФЕНИЛ-3-АМИЛПИПЕРИДИН-4-ОНА.

## Приложения 4.

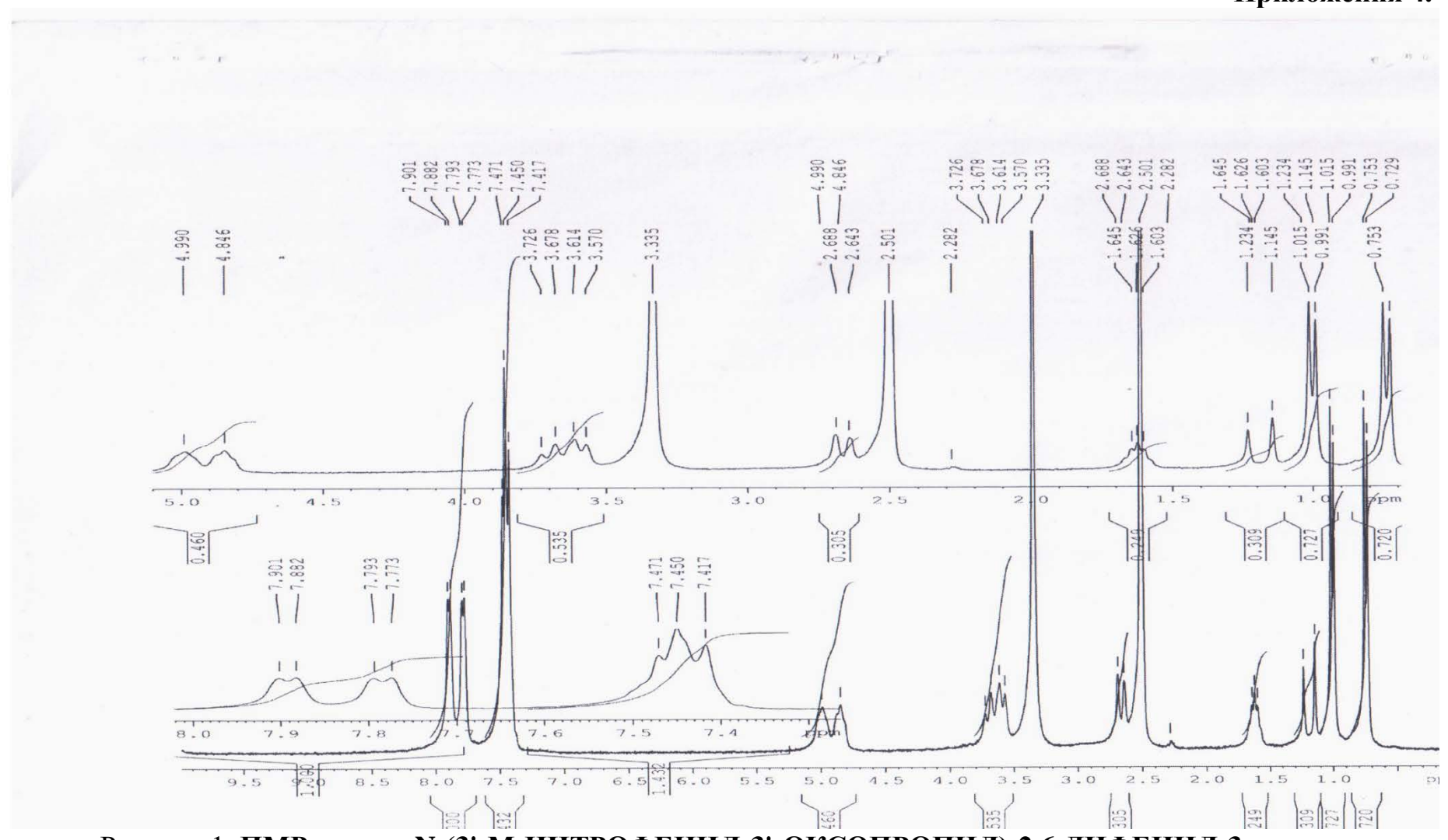


Рисунок 1. ПМР- спектр N-(3'-М-НИТРОФЕНИЛ-3'-ОКСОПРОПИЛ)-2,6-ДИФЕНИЛ-3-ИЗОПРОПИЛПИПЕРИДИН-4-ОНА

## Приложение 5.

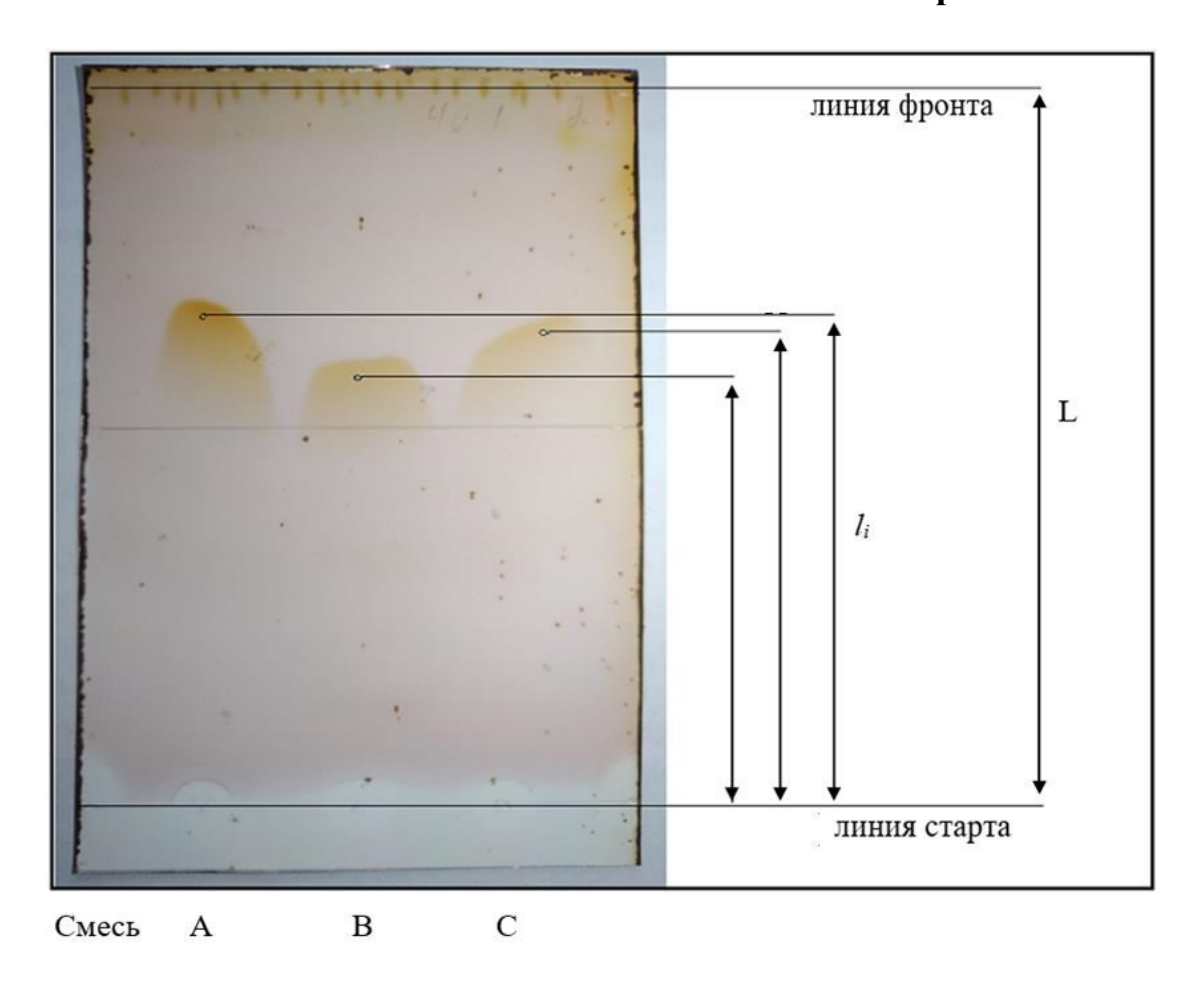


Рисунок 1- Результат тонкослойной хроматографии

где: Смесь A - кетон. Смесь B - N-( $\beta$ ,D-арабинопиранозил)-карбамида-2,6дифенил-3-изопропилпиперидин-4-она. Смесь C - фильтрат синтезированного продукта.



Рисунок 2. Результат тонкослойной хроматографии.

где: Смесь A-2,6-дифенил-3-изопропилпиперидин-4-она. Смесь B-N-( $\beta$ ,D-глюкопиранозил)-карбамида-2,6дифенил-3-изопропилпиперидин-4-она. Смесь C - фильтрат синтезированного продукта.